

შ.კ.ს. ჯეოინჰინირინგი  
საინჟინრო კოლეგი-ბიება, დაპროექტება,  
მშენებლობა



ზუგდიდი-გესტია-ლასდილის  
საავტომობილო გზის 116 კმ-ზე  
ეეჭყრული მონაკვეთის ასაჭვევი  
გვირაბის სამშენებლო უბნის  
საინჰინირო-გეოლოგიური გამოკვლევა

ტექნიკური ანგარიში

ნაწილი 3



შ.კ.ს. ჯეოინჰინირინგი  
საინჟინრო კვლევა-ძიება, დაპროექტება,  
მშენებლობა

ზუგდიდი-მესტია-ლასლილის საავტომობილო  
გზის 116 პმ-ზე მეცყორული მონაკვეთის  
ასაქცევი გვირაბის სამშენებლო უბის  
საინჰინირო-გეოლოგიური გამოკვლევა

ტექნიკური ანგარიში

ნაწილი 3

გენერალური დირექტორი

ლ. მიქაბერიძე

საინჟინრო კვლევების განყოფილების  
უფროსი

ლ. გორგიძე

საინჟინრო- გეოლოგიური სექტორის  
ხელმძღვანელი

ლ. სირბილაძე

გეოტექნიკური ლაბორატორიის ხელმძღვანელი

რ. კვირიკაშვილი

თბილისი  
2018

ს პ ჩ გ 3 0

ტექსტური ცაფილი

1.	შესავალი	3
2.	საინჟინერო-გეოლოგიური პირობების შესრულებულობა	5
3.	ბუნებრივი გარემოს დახასიათება	6
3.1	კლიმატი	6
3.2	გეომორფოლოგიური და ჰიდროგრაფიული პირობები	7
3.3	გეოლოგიური აგებულება და ტექტონიკა	9
3.4	ჰიდროგეოლოგიური პირობები	11
4.	საინჟინერო-გეოლოგიური პირობებები	11
4.1	საინჟინერო-გეოლოგიური ელემენტების დახასიათება	11
4.2	გრუნტის ტყლების ძირიული შედგენილობა და აგრესიულობა	23
4.3	საინჟინერო-გეოდინამიკური პირობები	24
4.3.1	მიწისზედა მშენებლობის საინჟინერო-გეოდინამიკური ვითარება	24
4.3.2	გვირაბის გაყვანის დროს მოსალოდნელი მოვლენები	26
5.	დასკვნები და რეკომენდაციები	28

გრაფიკული ცაფილი

რიგი №	ცაფილის დასახელება	ნახაზის ნომერი	ფურცლების რაოდენობა
1	საინჟინრო-გეოლოგიური რუკა, მასშტაბი 1:2000	GC-1838-1	1
2	გვირაბის გრძივი საინჟინრო-გეოლოგიური ჭრილი, მასშტაბი 1:1000	GC-1838-2	3
3	გვირაბის განივი საინჟინრო-გეოლოგიური ჭრილები, მასშტაბი 1:1000	GC-1838-3	17

## დანართები

დანართის №	დანართის დასახელება	ვურცლების რაოდენობა
1	ჭაბურლილების ლითოლოგიური სეეტები	16
2	გერტიკალური ელექტროზონდირების შედეგები	2
3	ლაბორატორიული კვლევის შედეგები	
3.1	არაკლდოვანი გრუნტები	
3.1.1	გრუნტების შედგენილობის და ფიზიკურ-მექასნიკური კვლევის კამური უწყისი	2
3.2	კლდოვანი ქანები	
3.2.1	კლდოვანი ქანების გამოცდა ერთდეკრძა კუმშვაზე	1
3.2.2	კლდოვანი ქანების წერტილოვანი გამოცდა სფერული იდენტორებით	9
3.2.3	კლდოვანი ქანების ძვრაზე გამოცდა ნაპრალების ზედაპირის გასწვრივ (მშრალ და დასველებულ ზედაპირებზე)	28
3.2.4	ფიზიკურ-მექანიკური მახასიათებლების მნიშვნელობების სტატისტიკური დამუშავების შედეგები	5
3.2.5	კლდოვანი ქანების დარბილების კოეფიციენტის განსაზღვრა	3
3.2.6	ანიზოტროპულობის კოეფიციენტის განსაზღვრა	4
3.3	გრუნტის წყლის და ზედაპირული წყლების ქიმიური ანალიზი	4
4	კლდოვანი მასივის ხარისხის (RMR) შეფასება ჭაბურლილების კერნის მიხედვით	3
5	ნაჩენებში კლდოვანი ქანების ნაპრალიანობის შესწავლა და დეტალური გეომექანიკური აღწერა	51
6	ფოტოდოკუმენტაცია	11
7	ტექნიკური დაგალება	2

## 1. ჰესავალი

წინამდებარე ტექნიკურ ანგარიშში წარმოდგენილია ზუგდიდი-მესტია-ლასდილის სააგრომობილო გზის 116 კმ-ზე მეწყრული მონაკვეთის ასაქცევი გვირაბის სამშენებლო უბნის საინჟინრო-გეოლოგიური გამოკვლევის შედეგები. კვლევები ჩატარებულია და წინამდებარე ტექნიკური ანგარიში შედგენილია საპროექტო-საკვლევაძიებო ინსტიტუტ „ტრანსპროექტ“-სა (შემკვეთი) და შპს „ჯეოინჟინირინგს“ (შემსრულებელი) შორის 2018 წლის 3 ოქტომბერს დადგებული №GC-1838 ხელშეკრულების შესაბამისად.

სამშენებლო ტერიტორია მდებარეობს საქართველოში, მდ. ენგურის ხეობაში და ადმინისტრაციულად მიეკუთვნება მესტიის მუნიციპალიტეტის ეცერის ოემს.

### კვლევითი სამუშაოების ფარგლებში განხორციელდა:

- არსებული ფონდური და ლიტერატურული მასალის მოძიება და შესწავლა;
- საინჟინრო-გეოლოგიურ აგეგმვა;
- გერტიკალური და ჰორიზონტალური საძიებო ჭაბურღილების ბურღვა;
- გერტიკალური ელექტროზონდირება;
- კლდოვანი ქანის ნაჩენების დეტალური გეომექანიკური აღწერა;
- ჭაბურღილის კერნიდან და ნაჩენებიდან აღვეული ნიმუშების ფიზიკურ-მექანიკური თვისებების ლაბორატორიული გამოკვლევა;
- გრუნტის წყლისა და ზედაპირული წყლების სინჯების ქიმიური ანალიზი და აგრესიულობის შეფასება;
- საველე და ლაბორატორიული კვლევების მასალების საოფისე დამუშავება და ტექნიკური ანგარიშის შედეგნა.

საინჟინრო-გეოლოგიური აგეგმვა მოიცავდა ზუგდიდი-მესტია-ლასდილის სააგრომობილო გზის დაახლოებით 2 კმ სიგრძის მონაკვეთს, სადაც პროექტდება მეწყრული მონაკვეთის ასაქცევი გვირაბი. იგი ასევე მოიცავს 610 მ. სიგრძის სახიდე გადასასვლელის (როგორც გვირაბის ალტერნატივის) განლაგების ზოლსაც.

საინჟინრო-გეოლოგიური აგეგმვის შედეგები მოცემულია საინჟინრო-გეოლოგიურ რუკაზე (ნახაზი №GC-1838-1). მასზე აღნიშნულია აგრეთვე ჭაბურღილების, გერტიკალური ელექტრო ზონდირების და ნაჩენების დეტალური გეომექანიკური აღწერის წერტილები, აგრეთვე ნაჩენებიდან გრუნტის ნიმუშების და ზედაპირული წყლის სინჯების აღების ადგილები.

გრუნტების ნიმუშების და გრუნტის წყლების სინჯების შედგენილობისა და თვისებების ლაბორატორიული გამოკვლევა განხორციელდა შ.კ.ს ჯეოინჟინირინგის ლაბორატორიაში, შესაბამისი სტანდარტების მიხედვით. საველე და ლაბორატორიული კვლევების ჩამონათვალი და სტანდარტები, რომელთა მიხედვითაც ეს კვლევები განხორციელდა, მოცემულია ცხრილ 1.1-ში.

**ცხრილი 1.1 სამუშაოთა შესრულების სტანდარტები**

Nº	დასახელება	ცდის შესრულების სტანდარტი
1	<b>საველე სამუშაოები:</b>	
1.1	გრუნტების ნიმუშების აღება, შეფუთვა, შენახვა	სახსტ. 12071-84
2	<b>ლაბორატორიული კვლევები:</b>	
2.1	გრანულომეტრიული შედგენილობა	სახსტ. 12536-79
2.2	სიმკვრივე	
2.3	მინერალური ნაწილის სიმკვრივე	სახსტ. 5180-84
2.4	ბუნებრივი ტენიანობა	
2.5	პლასტიკურობა	
2.6	კლდოვანი ქანების გამოცდა წერტილოვანი დატვირთვით	სახსტ. 24941-81
2.7	კლდოვანი ქანების გამოცდა ერთლერძა კუმშვაზე	სახსტ. 21153.2-84
2.9	კლდოვანი ქანების ძვრაზე გამოცდა ბუნებრივი ნაპრალის ზედაპირის გასწვრივ	ASTM D 5607
2.8	გრუნტის წყლების ქიმიური ანალიზი	სახსტ. 4889-72 სახსტ. 4245-72
3	გრუნტების კლასიფიკაცია	სახსტ. 25100-82

ტერიტორიის საინჟინრო-გეოლოგიური გამოკვლევისათვის შესრულებული საველე, ლაბორატორიული და კამერალური სამუშაოების სახეობები და მოცულობები, მოცემულია ცხრილ-1.2-ში.

**ცხრილი-12 უბნის საინჟინრო-გეოლოგიური გამოკვლევისათვის შესრულებული  
სამუშაოების სახეობები და მათი მოცულობები**

Nº	დასახელება	ერთეულის განზომილება	რაოდენობა
<b>1</b>	<b>საველე სამუშაოები</b>		
1.1	მისასვლელი გზების და გვირაბის ზოლის საინჟინრო-გეოლოგიური აგეგმვა 1:2000 მასშტაბში, გრუნტების ზედაპირული ნიმუშების აღებით	1 კმ	2
1.2	ვერტიკალური ჭაბურღილების ბურღვა გრუნტების დარღვეული და დაურღვევებული სტრუქტურის ნიმუშების აღებით (BH-2, BH-4)	ჭაბ/გრძ.მ	2/110
1.3	პორიზონტალური ჭაბურღილების ბურღვა გრუნტების დარღვეული და დაურღვევებული სტრუქტურის ნიმუშების აღებით (BH-3, BH-3A)	ჭაბ/გრძ.მ	2/124
1.4	გეოფიზიკური გამოკვლევა, გრუნტების ვერტიკალური ელექტრო ზონდირება გვირაბის ღერძის გასწრივ და პორტალურ უპნებზე.	გეზი	31
1.5	გეოფიზიკური გამოკვლევა, გრუნტების ვერტიკალური ელექტრო ზონდირება საპროექტო ხიდის განაპირა ბურჯებზე.	გეზი	2
<b>2</b>	<b>ლაბორატორიული კვლევები</b>		
2.1	არაკლდოვანი და კლდოვანი გრუნტების ფიზიკურ-მექანიკური თვისებების ლაბორატორიული გამოკვლევა	1 კომპლექსი	91
2.2	გრუნტების და გრუნტის წყლების ქიმიური ანალიზი	ანალიზი	4
<b>3</b>	<b>საოფისე სამუშაოები</b>		
3.1	არსებული ფონდური და ლიტერატურული მასალის მოძიება და შესწავლა	კომპლექტი	1
3.2	საველე და ლაბორატორიული კვლევების მასალების საოფისე დამუშავება	კომპლექტი	1
3.3	ანგარიშის შედგენა საინჟინრო-გეოლოგიური პირობების შესახებ	1 ანგარიში	1

**2. საინჟინერ-გეოლოგიური პირობების შესფავლილობა**

არსებული ფონდური საინჟინრო-გეოლოგიური, საინჟინრო-კვლევითი, საპროექტო და შესაბამისი მეცნიერული ლიტერატურის მოძიებისას დადგინდა, რომ მესტიის მუნიციპალიტეტში, ზუგდიდი-მესტია-ლასაღილის საავტომობილო გზის 116 კმ-ზე მეწყრული მონაკვეთის ასაქცევი გვირაბის დაპროექტების საკითხი არასდროს განხილულა და შესაბამისად ადრე არ ჩატარებულა რაიმე საინჟინრო-გეოლოგიური სამუშაოები. ამ ტექნიკური ანგარიშის შედგენისას გამოყენებული იქნა რაიონის შესახებ ჩვენს მიერ მოძიებული არსებული

საფონდო და ლიტერატურული მასალები, საკვლევი ტერიტორიის კლიმატური, გეომორფოლოგიური, ჰიდროლოგიური, გეოლოგიური და ჰიდროგეოლოგიური პირობების შესახებ. თუმცა, უნდა აღინიშნოს, რომ ტექნიკურ ანგარიშში მოცემული ინფორმაციის უდიდესი ნაწილი მიღებულია შ.ვ.ს ჯეოინჟინირინგის მიერ ჩატარებული და ცხრილ 1.2-ში მოცემული კომპლექსური საინჟინრო-გეოლოგიური კვლევების საფუძველზე.

### 3. ბუნებრივი გარემოს დახასიათება

#### 3.1 კლიმატი

კლიმატური მონაცემები აღებულია საქართველოს სამშენებლო კლიმატოლოგიური ნორმიდან - პნ 01.05-08, საპროექტო უბანთან ყველაზე ახლომდებარე მეტეოპუნქტზე „მესტია“-ს მიხედვით რომელიც მდებარეობს  $43^{\circ}03'$  განედსა და  $42^{\circ}45'$  გრძელზე და მისი აბს. ნოშენულია 1445 მ ზღვის დონიდან, ბარომეტრული წნევით 855 კპა.

აღნიშნული ნორმის ცხრილ 2-ში მოცემული სამშენებლო-კლიმატური მახასიათებლების მიხედვით, საპროექტო ტერიტორია მიეკუთვნება I კლიმატური რაიონის „გ“ ქვერაიონს.

#### ცხრილი 3.1 კლიმატური ქვერაიონის კლიმატური მახასიათებლები (ცხრილი-2)

კლიმატური რაიონი	კლიმატური ძვერაიონი	იანვრის საშუალო ტემპერატურა $^{\circ}\text{C}$	ზამთრის 3 თვის ქარის საშუალო სიჩქარე, მ/წმ	ივლისის საშუალო ტემპერატურა, $^{\circ}\text{C}$	ივლისის ფარდობითი ტენიანობა, %
I	I <sub>გ</sub>	-4-დან+2-მდე	-	+25-დან+28-მდე	-

#### ცხრილი 3.2 ჰაერის ტემპერატურა და ტენიანობა (ცხრილები 11, 12, 13)

#	კლიმატური მახასიათებლი	თვეების მიხედვით												წლიური
		I	II	III	IV	V	VI	VII	VIII	IX	X	XI	XII	
1	ჰაერის საშუალო თვიური და წლ. ტემპერატურა, $^{\circ}\text{C}$	-6.0	-4.6	-0.5	5.2	11.0	14.0	16.4	16.3	12.0	7.1	1.6	-4.1	5.7
2	ჰაერის ტემპერატურის აბსოლუტური მინიმუმი, $^{\circ}\text{C}$													-35
3	ჰაერის ტემპერატურის აბსოლუტური მაქსიმუმი, $^{\circ}\text{C}$													36
4	ყველაზე ცხელი თვის საშუალო მაქსიმუმი, $^{\circ}\text{C}$	-	-	-	-	-	-	24.8	-	-	-	-	-	-
5	ჰაერის ტემპერატურის საშუალო ამპლიტუდა, $^{\circ}\text{C}$	10.7	10.1	10.4	11.2	11.3	11.6	11.9	12.6	11.6	11.5	9.8	9.9	-
6	ჰაერის ფარდობითი ტენიანობა, %	80	78	74	72	68	70	70	71	76	78	79	80	75

**ცხრილი-3.3 ნალექების რაოდენობა და თოვლის საფარი (ცხრილები 15, 17)**

ნალექების რაოდენობა წელიწადში, მმ	ნალექების დღედამური მაქსიმუმი, მმ	თოვლის საფარის წონა, კპა	თოვლის საფარის დღეთი რიცხვი	თოვლის საფარის წყალშემცველობა, მმ
965	103	1.45	130	157

**ცხრილი-3.4 ქარის წევის ნორმატიული მნიშვნელობები (ცხრილი-18)**

W <sub>0</sub> 5 წელიწადში ერთხელ, კპა	W <sub>0</sub> 15 წელიწადში ერთხელ, კპა
0.17	0.23

**ცხრილი-3.5 ქარის უდიდესი სიჩქარე, შესაძლებელი 1, 5, 10, 15, 20 წელიწადში  
ერთხელ, მწმ (ცხრილი-19)**

1 წელიწადში	5 წელიწადში	10 წელიწადში	15 წელიწადში	20 წელიწადში
14	17	19	20	20

**ცხრილი-3.6 ქარის მიმართულების განმეორებადობა (ცხრილი-19)**

ქარის მახასიათებელი	მიმართულება								შტოლი
	წ	წა	ა	სა	ს	სდ	დ	წდ	
ქარის მიმართულების და შტოლის განმეორებადობა (%) წელიწადში	30	16	5	3	8	28	5	5	60

**ცხრილი 3.7 გრუნტების სეზონური გაყინვის ნორმატიული სიღრმე, სმ (ცხრილი-20)**

თიხა და თიხნარი გრუნტი	ქვიშა წერილი და მტვრისებრი, ქვიშნარი	ქვიშა საშუალო და მსხვილი, ხრეშოვგანი ქვიშა	მსხვილნატეხოვგანი გრუნტი
90	108	111	135

### 3.2 გეომორფოლოგიური და ჰიდროგრაფიული პირობები

გეომორფოლოგიურად საპროექტო ტერიტორია შედის ცენტრალური კავკასიონის იმ ოროგრაფიულ ნაწილში, რომელიც საქართველოს გეომორფოლოგიურ აღერჩილობაში იწოდება როგორც ზემო სვანეთის ქვაბული და მდ. ენგურის ხეობა, მის შენაკადებთან ერთად. იგი წარმოადგენს ტექტონიკურ-ეროზიულ დომულს, რომელიც ჩრდილოეთიდან ისაზღვრება კავკასიონის მთავარი ქედით, დასავლეთიდან კოდორის ქედით, ხოლო

სამხრეთიდან სვანეთისა და ოდიშის ქედებით. ყველა მხრიდან მაღალი ქედებით შემოზღუდულ ზემო სვანეთის ქვაბულს აქვს ერთადერთი გასასვლელი სამხრეთ-აღმოსავლეთის მხრიდან სოფ. ხაიშის შემდეგ ენგურის ხეობის სახით. მთელი ქვაბულის ყველაზე დაბალი ნიშნული სოფ. იდლიანთან შეადგენს 500 მეტრს. ქვაბულის სიღრმე, მდ. ენგურის დონიდან მისი შემოფარგვლელი ქედების თხემებამდე, შეადგენს 2500-3500 მეტრს.

ზემო სვანეთის ქვაბული მიეკუთვნება რთული მაღალმთიანი ქვაბულების ტიპს, დამახასიათებელი სხვადასხვა სახის ოროგრაფიული (გენეზისის მიხედვით ძირითადად ეროზიული) დანაწევრებით. ენდოგენური მორფოლოგიური კომპლექსებიდან, ზემო სვანეთის რელიეფში გამოიყოფა წყლოვან-ეროზიული, მყინვარული და სელექტურ-დენუდაციური ფორმები. მეზო და მიკრორელიეფის შექმნაში წამყვანი როლი ეკუთვნის წყლოვან ეროზიას. მყინვარული ფორმები დამახასიათებელია მდინარეთა ხეობების ზედა ნაწილებისათვის, ტროგების სახით ზღვის დონიდან 1200-1800 მ. სიმაღლის ინტერვალში, აგრეთვე 2200-2400 მ. სიმაღლეთა ინტერვალში ქედების ფერდობებზე განვითარებული ფორმები, მყინვარული ცირკებისა და კარების სახით.

საკვლევი ტერიტორიის მთავარ ჰიდროგრაფიულ არტერიას წარმოადგენს მდ. ენგური თავისი მრავალრიცხოვანი შენაკადებით, რომელიც სათავეს იღებს მყინვარ ენგურზე, ზღვის დონიდან 2614 მ-ზე. ენგურის ხეობის ფსკერი ვიწრო და კლაქნილია, მისი სიგანე ზოგან მდინარის კალაპოტის სიგანეს არ აღემატება. სააგტომობილო გზა განლაგებულია ხეობის მარჯვენა ფერდობზე, მდინარიდან რამდენიმე ათეული მეტრის სიმაღლეზე. ხეობის ფერდობების დახრილობა ცვალებადია, უმეტესად ციცაბო, მათში ჩაჭრილია მრავალი მცირე და დიდი ეროზიული წარმოშობის ხევი.

უშალოდ საკვლევი უბანი მდებარეობს სვანეთის ქედის სამხრეთ კალთაზე, მდ. ენგურის ღრმად ჩაჭრილი ხეობის მარჯვენა ციცაბო ფერდობზე. საკვლევი უბინის ფარგლებში მკაფიოდ დაიკვირვება, პალეოგენეზისის, ამჟამად სტაბილიზირებული სეისმო-ტექტონოგენური ბლოკური მეწყრის სტრუქტურა.

საპროექტო გვირაბის განთავსების უბინის მიკრორელიეფი არაერთგვაროვანია, იგი ორ ეროზიულ, საკმაოდ ღრმად ჩაჭრილ ხევს შორისაა მოქცეული. მისგან აღმოსავლეთით განლაგებული ხევი – სოფ. კალაშთან. უბანი წარმოადგენს აღნიშნულ ხევებს შორის ფორმირებულ გვერდითა ქედს, ენგურისკენ დახრილი ზედაპირით. ქედის ზედა ნაწილი შედარებით გავაკებული და მოგლუვებულია, ხოლო ქედის ნაწილი შედარებით ციცაბო, უსწორმასწორო, ეროზირებული, მეწყრული და ტექნოგენურად სახეცვლილი მიკრორელიეფით. ეროზიული და მეწყრული პროცესების გავლენა რელიეფზე განსაკუთრებით საგრძნობია უშალოდ საპროექტო გვირაბის განლაგების უბანზე, სადაც აღნიშნული გვერდითა ქედის ცენტრალურ ნაწილში ფორმირებულია ფართე დარტაფი, გაშლილი ფსკერითა და ფერდობებით. როგორც გზის ზევით, ასევე ქვევით დარტაფის ფსკერისა და ფერდობების მიკრორელიეფში ზედაპირული

წყლების მუდმივი და დროებითი ნაკადების მოქმედებით მრავალი მცირე ეროზიული ხევი და ხრამი, აგრეთვე დენადპლასტიკური მეწყრული სხეულია წარმოქმნილი. კვეთს-რა აღნიშნულ დარტაფს, საავტომობილო გზა საპროექტო მონაკვეთის ფარგლებში მრავალ მოსახვევს აკეთებს, რაც აქ ფერდობის სხვადასხვა ნაწილში მომხდარი მეწყრული დეფორაციებითა და ამის გამო მისი რეაბილიტაციისათვის განხორციელებული მიწისა და სხვა სამშენებლო სამუშაოების წარმოებითაა გამოწვეული. ეროზიული ხრამთწარმოქმნის ხელშემწყობია მცენარეული საფარის სიმცირე ფერდობის ზედაპირზე, აგრეთვე ფერდობის ამგები კლდოვანი მასივის ზედაპირული ნაწილის გამოფიტულობა და მისი ტექტონიკური ბლოკური აგებულება სიღრმეში.

### 3.3 გეოლოგიური აგებულება და ტექტონიკა

ზემო სვანეთის ფარგლებში დიდი კავკასიონის სტრუქტურული კომპლექსი ნაწილდება მთავარი ქედის და სამხრეთი ფერდის ნაოჭა სისტემებად. მთავარი ქედი დასერილია სუბანედური და მათი მართობული სუბმერიდიანული რღვევებით, რომელიც მკვეთრად არის გამიჯნული სამხრეთი ფერდის ნაოჭა სისტემისგან რეგიონალური სტრუქტურული ნაკერის მეშვეობით, რომელიც ლიტერატურაში ცნობილია „მთავარი შეცოცების“ სახელით. ამ რღვევის გასწვრივ მთავარი ქედის კრისტალური გული რამდენიმე კილომეტრი პორიზონტალური ამპლიტუდით შემოცოცებულია სამხრეთი ფერდის ნაოჭა სისტემის ლიასურ ნალექებზე. „მთავარი შეცოცება“ არ წარმოადგენს ერთ მთლიან სიბრტყეს, რომლის გასწვრივაც ხდებოდა მოძრაობები, არამედ ერთმანეთთან დაკაგშირებულ რღვევით სისტემებს, რომლებიც მთლიანობაში ქმნიან აღნიშნულ ნაბერს.

საკვლევი ტერიტორია ტექტონიკურად მიეკუთვნება კავკასიონის ნაოჭა სისტემის ჩხალთა-ლაილის ზონას. მდ. ენგურის მარჯვენა ფერდობი, რომლის ფარგლებშიც თავსდება გამოკვლეული ტერიტორია, წარმოადგენს ანტიკლინის ჩრდილოეთ ფრთას. მის აგებულებაში მონაწილეობს მეზოზოური ტერიგენული ფორმაციის, ქვედა და შუა იურული ასაკის ე.წ. სორის წყების ნალექები ( $J_{1-2s}$ ), რომლებიც ლითოლოგიურად თიხაფიქლებითაა წარმოდგენილი. თიხაფიქლების ამ წყებაში ზოგან შერეულია ასპიდური ფიქლებიც, უფრო მეტი მეტამორფიზაციის ხარისხით, თუმცა უშუალოდ უბანზე ასპიდური ფიქლები პრაქტიკულად არ არის გამოვლენილი. თიხაფიქლები თხელშრეებრივი და ფურცლოვანია. თიხაფიქლების წყება ინტენსიურად დისლოცირებულია, ტექტონიკურად აშლილი ქარცლოვანი შეცოცებებით და სხვადასხვა მიმართულების რღვევებით, რომლებიც ქმნიან როული ტექტონიკური აგებულების მორფოსტრუქტურებს. საქართველოს ტექტონიკური რუკის მიხედვით (რედაქტორი ი.პ. გამყრელიძე, 2009წ) უბნის ჩრდილოეთით, მისგან 4 კმ-მდე მანძილში გადის ზემოთაღნიშნული სუბგანედური მიმართულების „მთავარი

შეცოცება“ (ტექტონიკური ზეწარი), რომელსაც სამხრეთიდან თითქმის პარალელურად მიუყვება მსხვილი ტექტონიკური რღვევა. ეს უკანასკნელი-კი საპროექტო უბანთან ახლოს, მისგან ჩრდილოეთით 1.0-1.5 კმ მანძილში გადის. ჩატარებული საველე კალევები ცხადყოფს, რომ საპროექტო უბანი აღნიშნული რეგიონალური რღვევების გავლენის ზონას მიეკუთვნება, სადაც მასივი უფრო დაბალი რანგის რღვევებითაა ცალკეულ ბლოკებად დანაწევრებული. ასეთი რღვევები უმეტესად უხილავია მეოთხეული წარმონაქმნებისა და ელუვიური საფარის ქვეშ, ბლოკები ერთიმეორის მიმართ მცირედად გადაადგილებული, თუმცა მასივის შიგნით და მათ შორის გვირაბის განლაგების ზოლში, არ არის გამორიცხული ტექტონიკურად აშლილი ან შეკუმშული ლოკალური ზონების არსებობა, მომატებული სამორ წნევებით. საინჟინრო-გეოლოგიური აგეგმვით ვიზუალურად დადგენილია ტექტონიკური რღვევის არსებობა, რომლითაც უბანზე იფარგლება მსხვილი ტექტონიკური ბლოკი. ბლოკი სავარაუდოდ სტრუქტურულ (სეისმოტექტოგენურ) მეწყერს წარმოადგენს (იხ. ანგარიშის გრაფიკული ნაწილი, ნახაზები №GC-1838-1 და №GC-1838-2), ძირითადი მასივისაგან აღნიშნული ნაპრალით გამხოლოებული და სხვა უფრო მცირე ნაპრალებით დანაწევრებული სხეულით. სტრუქტურული (სეისმოტექტოგენური) მეწყერი ამჟამად სტაბილურ მდგრმარეობაშია, თუმცა არ არის გამორიცხული მისი გარკვეული გადაადგილება ძირითადი მასივის მიმართ, განსაკუთრებით მეტ-ნაკლებად ძლიერი მიწისძვრის დროს.

ტექტონიკური რღვევა გამოვლენილია აგრეთვე საპროექტო გვირაბის დასავლეთი პორტალის უბანზე (რაც ემთხვევა ალტერნატიული სახიდე გადასავლების I ბურჯის განლაგების ადგილსაც), გვერდითა ქედის თხემის სიახლოვეს. რღვევით შემოფარგლულია გარკვეული ტერიტორია და იგი სავარაუდოდ, ასევე ტექტონიკური ბლოკს წარმოადგენს.

მდ. ენგურის აუზში ძირითადი კლდოვანი ქანები დაფარულია დელუვიურ-კოლუვიური და მეწყერული გენეზისის მეოთხეული არაკლდოვანი გრუნტების ცვალებადი სისქის ფენებით. მათ შორის დელუვიურ-კოლუვიური ნალექები (dlQIV) გავრცელებულია საპროექტო ტერიტორიის პერიფერიულ ნაწილში და მიმდებარე ზონაში, ხოლო მეწყერულ ნალექებს (dlQIV) უკავია მისი ცენტრალური, 200-დან 250 მ-მდე სიგანის ზოლი ხეობის ფსკერიდან გზამდე და მის ზევით 440 მ-მდე მანძილზე (იხ. ნახაზი №GC-1838-1). ძირითადი კლდოვანი ქანები ფერდობის მხოლოდ გარკვეულ უბნებზეა გაშიშვლებული ზედაპირზე. კლდოვანი ქანების ნაჩენებში შრეთა დაქანების აზიმუტი ჩრდილო-დასავლურ-ჩრდილო-აღმოსავლურია და იცვლება 330-30 გრადუსის ფარგლებში, ხოლო შრების დახრილობა 12-დან  $70^{\circ}$  - მდე მერყეობს. ნაჩენებში შესრულებულია ქანების ნაპრალიანობის გამოკვლევა და აღებულია ქანების მონოლითური სტრუქტურის ნიმუშები მათი ფიზიკურ-მექანიკური თვისებების გამოკვლევისათვის.

საქართველოში ამჟამად მოქმედი სამშენებლო ნორმებისა და წესების - „სეისმომედეგი მშენებლობა“ (პნ 01.01-09) მიხედვით, სამშენებლო უბნის სეისმურობა, MSK64 სკალის შესაბამისად, არის 9 ბალი.

### 3.4 პიღობეოლოგიური პირობები

საკვლევ უბანზე მიწისქვეშა წყლები, ცირკულაციის ტიპის მიხედვით, ორ ნაწილად იყოფა, - ფორული ცირკულაციისა და ნაპრალური ცირკულაციის წყლებად. პირველი მათგანი, ანუ ფორული ცირკულაციის წყლები და-კავშირებულია ფერდობების ფუძეში და განსაკუთრებით თვით ფერდობებზე განვითარებულ მეოთხეულ გრუნტებთან. აღნიშნული პორიზონტი მცირედ წყალ შემცველია, მათი კვება ხდება ატმოსფერული ნალექების ხარჯზე და ამდენად ტენის შემცველობა მათში იცვლება მეტი ან ნაკლები ნალექიანობის შესაბამისად. ამ გრუნტებზე ქვაბულის ან თხრილის დამუშევებისას მნიშვნელობანი წყალმოდენა მოსალოდნები არ არის.

ტერიტორიის ფარგლებში ერთ-ერთ წყალ შემცველ პორიზონტს კლდოვანი ქანების ნაპრალური წყლები წარმოადგენს. წყლის შემცველობა კლდოვან ქანებში დამოკიდებულია ქანების ნაპრალიანობის ხარისხზე. კლდოვანი მასივი არის სპორადულად გაწყლიანებული. გრუნტის წყლის სავარაუდო დონედ განისაზღვრება გამოფიტული და შედარებით საღი ქანების საკონტაქტო ზედაპირი. მასივის მონოლითური აგებულების ზონებში წყლის შემცველობა ნაკლებია, ხოლო შედარებით დარღვეული ანუ მეტი ღრულობის მქონე ზონები წარმოადგენენ მიწისქვეშა წყლების თავისებურ კოლექტორს და მეტად არის გაწყლიანებული. საკვლევ უბანზე გამოვლენილი წყაროების დებიტი 0.05-0.2 ლ/წმ-ში მერყეობს. ნაპრალური წყლების გამოვლენას აღგილი ექნება გვირაბის გაყვანის დროს, ძირითადად წვეთვის სახით. გვირაბში წყლის მოდენის ინტენსივობა დამოკიდებული იქნება მასივის დანაწევრების ხარისხზე მის ამა-თუ იმ მონაკვეთში. ყველაზე დიდი რაოდენობით წყალმოდენას ადგილი ექნება ტექტონიკური რღვევებიდან, ნაპრალებიდან და მათი ზონებიდან, სადაც ქანების ნაპრალიანობა, უმეტეს შედებების მიხედვით, მომატებულია. გვირაბში წყლის მოდენის პროგნოზი, მისი სხვადასხვა მონაკვეთში, მასივის ტექტონიკური პირობების გათვალისწინებით, მოცემულია გვირაბის გრძივ საინჟინრო-გეოლოგიურ ჭრილზე (იხ. ანგარიშის გრაფიკული ნაწილი, ნახაზი №GC-1838-2).

## 4. საინჟინრო-გეოლოგიური პირობებები

### 4.1 საინჟინრო-გეოლოგიური ელემენტების დახასიათება

საკვლევი ტერიტორიის გეოლოგიურ გარემოში, საველე და ლაბორატორიული გამოკვლევის შედეგების მიხედვით, გამოიყოფა გრუნტების 6 საინჟინრო-გეოლოგიური ელემენტი (სგვ).

გრუნტების კლასიფიკაცია გაკეთებულია სახ. სტ. 25100-82-ის მიხედვით.

საინჟინრო-გეოლოგიური ელემენტები (**სპე**) გრაფიკულად ასახულია სამშენებლო ტერიტორიის საინჟინრო-გეოლოგიურ რუკაზე და ჭრილებზე (ნახ. №№ GC-1838-1; GC-1838-2, GC-1838-3). გრუნტების საინჟინრო-გეოლოგიური კლასიფიკაცია, **სპე**-ების გავრცელება სიღრმეში ჭაბურღლილების მიხედვით, მოცემულია ცხრილ 4.1-ში.

#### ცხრილი-4.1 სპე-ების გავრცელება სიღრმეში ჭაბურღლილების მიხედვით

№ სპე	ელემენტის დასახელება	ჭაბურღლილის №			
		ჭაბ-2 (კერტ.)	ჭაბ-3 (პორიზ.)	ჭაბ-3ა (პორიზ.)	ჭაბ-4 (კერტ.)
1	დორდოვანი გრუნტი ქვიშნარის შემაგსებლით (ტე-ქნოგენური- tQ <sub>IV</sub> )	-	-	-	-
2	თიხნარი, ნახევრადმაგარი, ხვინჭიან-დორდიანი, ლოდების ჩანართებით (დელუვიურ-კოლუვიური- dcQ <sub>IV</sub> )	0.0-7.0	-	-	0.0-3.0
3	თიხნარი, დენადპლასტიკურიდან რბილპლასტიკურამდე, ხვინჭიან-დორდიანი, კენჭების, კაჭარის და ლოდების ჩანართებით (მეწყრული- dlQ <sub>IV</sub> )	-	-	-	-
4	თიხაფიქლები, გამოფიტული, მცირე სიმტკიცის, თხელ და ფურცლოვან-შრეებრივი (J <sub>1-2s</sub> )	7.0-19.0	0.0-4.0	0.0-4.0	3.0-22.0
5	თიხაფიქლები, დადაბლებული სიმტკიცის, რღვევის შესუსტებული ზონიდან (J <sub>1-2s</sub> )	26.0-38.5 45.7-46.2	-	31.0-37.0	31.0-34.0
6	თიხაფიქლები, სუსტად გამოფიტული, საშუალო სიმტკიცის, თხელ და ფურცლოვანშრეებრივი (J <sub>1-s</sub> )	19.0-26.0 38.5-45.7 46.2-70.0	4.0-32.0	4.0-31.0 37.0-92.0	34.0-40.0

**სპე-1** – დორდოვანი გრუნტი ქვიშნარის შემავსებლით - tQ<sub>IV</sub> ტექნოგენური გრუნტი. იგი საკვლევ უბანზე ფიქსირდება საავტომობილო გზის ყრილში. ელემენტი არ გამოვლენილა წვერის მიერ გაბურღლილ არცერთ ჭაბურღლილში, მისი გავრცელების ფარგლები მოცემულია საკვლევი უბნის საინჟინრო-გეოლოგიურ რუკაზე და ჭრილებზე (იხ. ნახ. GC-1838-1, GC-1838-2 და GC-1838-3). ნაჩენებიდან აღებულ ნიმუშზე განისაზღვრა ელემენტის გრანულომეტრიული შედგენილობა და ფიზიკური თვისებები. შედეგები მოცემულია ცხრილებში-4.2 და 4.3-ში

**ცხრილი-4.2 გრანულომუტრიული შედგენილობა**

ნაჩენი №	ნიმუშის ადგის ინტენსივობი, მ	ფრაქციის ზომა, მმ													
		>200.0	200.0-100.0	100.0-60.0	60.0-40.0	40.0-20.0	20.0-10.0	10.0-5.0	5.0-2.0	2.0-1.0	1.0-0.5	0.5-0.25	0.25-0.1	0.1-0.05	0.05-0.01
19	0.0-0.5	-	3.6	5.1	9.2	10.0	27.0	11.0	7.1	6.2	5.8	3.6	5.1	6.3	
28	0.0-0.5	-	4.2	6.3	7.5	15.9	19.6	9.1	6.6	4.9	7.5	2.7	4.6	11.1	

**ცხრილი-4.3 ფიზიკური თვისებები**

ნაჩენი №	ნიმუშის ადგის სიღრმის ინტენსივობი, მ	ბუნებრივი ტენიანობა, W%	შემაგსებლის ტენიანობა, W%	პლასტიკურობა			პონსისტენციის მაჩვენებელი, I <sub>L</sub>
				ტენიანობა, W %	ტენიანობა, W %	ტენიანობის რიცხვი, I <sub>P</sub>	
19	0.0-0.5	10.9	17.2	28.8	22.8	6.0	-0.93
28	0.0-0.5	9.5	15.4	29.3	23.8	5.5	-1.53

**მიღებული შედეგების მიხედვით:**

- სტ-1 ლორდოვანი გრუნტია, რადგან გრუნტში 10 მმ-ზე მსხვილი ფრაქცია მეტია 50 %-ზე;
- შემაგსებელი არის ქვიშნარი ვინაიდან მისი პლასტიკურობის რიცხვი იცვლება  $I_p$  - 5.5-დან 6.0-დან;
- ფენის სიმკვრივედ მიღებული უნდა იქნას  $\rho=2.0 \text{გრ/სმ}^3$ .

**სტ-2** – თიხნარი, ნახევრადმაგარი, ხვინჭიან-ლორდიანი, ლოდების ჩანართებით - dcQIV. ფენა დელუვიურ-კოლუვიური გრუნტია, იგი ფიქსირდება №2 და №4 ჭაბურღილებში. მისი სისქე იცვლება 3 მ-დან 7 მ-დან. საკვლევ უბანზე აღნიშნული საინჟინრო გეოლოგიური ელემენტი ფართოდ არის გავრცელებული და გვხვდება ფერდობებზე საფარი გრუნტის სახით. სგე-2-ის გავრცელების ფარგლები მოცემულია საინჟინრო-გეოლოგიურ რუკაზე და ჭრილებზე (იხ. ნახ. GC-1838-1, GC-1838-2 და GC-1838-3).

ფენიდან აღებულ ნიმუშებზე განისაზღვრა ელემენტის გრანულომეტრიული შედენილობა და ფიზიკური თვისებები. შედეგები მოცემულია ცხრილებში-4.4 და 4.5-ში

#### ცხრილი-4.4 სგვ-2-ის გრანულომეტრიული შედენილობა

	ნაწები №	ნაწები №	ფრაქციის ზომა, მმ			
49	0.3-0.5	0.3-0.5	ნიმუშის აღწის ინტერვალი, მ			
50	0.3-0.5	0.3-0.5	-	-	>200.0	
26	0.5-0.7	5.0	-	1.9	-	200.0-100.0
24	0.3-0.5	4.5	-	2.5	3.1	100.0-60.0
23	0.5-0.7	2.8	2.5	1.3	4.9	60.0-40.0
28	0.0-0.5	3.3	4.1	6.0	2.2	40.0-20.0
		4.2	3.3	2.1	5.4	20.0-10.0
		3.3	6.3	2.9	10.3	10.0-5.0
		1.5	4.9	4.1	5.1	5.0-2.0
		2.2	2.7	3.3	1.5	2.0-1.0
		6.0	3.3	2.9	4.4	1.0-0.5
		8.1	3.7	4.2	5.0	0.5-0.25
		2.0	2.5	3.3	3.9	0.25-0.1
		5.0	3.5	4.0	4.1	0.1-0.05
		7.4	6.0	3.6	5.0	0.05-0.01
		6.6	7.7	9.5	9.7	0.01-0.005
		10.8	6.9	8.4	10.5	<0.005
		36.8	38.1	37.4	40.2	

#### ცხრილი-4.5 სგვ-2-ის ფიზიკური თვისებები

	ნაწები №	ნაწები №	სიმკვრივე, გრ/სმ <sup>3</sup>
49	0.3-0.5	32.5	31.8
50	0.3-0.5	44.3	44.3
26	0.5-0.7	33.4	46.2
	მინრალური ნაწილების, მს	მინრალური, მს	გორიანობა, მ%
49	0.20	2.70	49.69
50	0.19	2.70	49.42
26	0.23	2.70	49.75
	1.80	1.80	0.988
	1.36	1.37	0.977
	4.0	4.1	0.990
	2.0	2.5	0.911
	5.0	3.5	
	7.4	6.0	
	6.6	7.7	
	10.8	6.9	
	36.8	38.1	
	გორიანობა, მ%	გორიანობა, მ%	გორიანობა, მ%

ნახევრი №	ნიმუშის აღების ხილტბის ინტენსივურობის, მ გუნდებითი გ ტანიანობა, W%	პლასტიკურობა			გუნდის გუნდების რიცხვი, I <sub>L</sub>	სიმკვრივე, გრ/სმ <sup>3</sup>	გორიანობა, n%	გორიანობის გაუფიცებები, e	ტენიანობის ხარისხი, S <sub>v</sub>			
		ტენდა W %	ტენდა W <sub>p</sub> %	კლასი რიცხვი, I <sub>p</sub>								
24	0.3-0.5	32.9	46.9	31.2	15.7	0.11	2.70	1.80	1.35	49.84	0.994	0.894
23	0.5-0.7	33.5	47.7	30.9	16.8	0.15	2.70	1.82	1.36	49.51	0.980	0.922
28	0.0-0.5	31.0	45.1	29.8	15.3	0.08	2.70	1.80	1.37	49.11	0.965	0.867

### მიღებული შედეგების მიხედვით:

- სტ-2 არის თიხნარი ვინაიდან პლასტიკურობის რიცხვი  $I_p=16.1$ ;
- თიხნარი არის ნახევრადმაგარი კონსისტენციის, ვინაიდან  $I_L=0.16$ ;
- ბუნებრივი სიმკვრივე  $\rho=1.81$  გრ/სმ<sup>3</sup>.

ფიზიკური თვისებების მახასიათებელთა სიდიდეებიდან გამომდინარე, ნორმატიული და საცნობარო ლიტერატურის მიხედვით, სგე-2-ის მექანიკური თვისებების მახასიათებელთა მნიშვნელობებად შეიძლება მივიღოთ:

- შინაგანი ხახუნის კუთხი  $\varphi=19^\circ$ ;
- შეჭიდულობის ძალა  $C=0.018$ მპა;
- დრეკადობის მოდული  $E=35$ მპა;
- პუასონის კოეფიციენტი  $\nu=0.37$ .

**სტ-3** - თიხნარი, დენადპლასტიკურიდან რბილპლასტიკურამდე, ხეინჭიან-ლორდიანი, აქნჭების, კაჭარის და ლოდების ჩანართებით. ელემენტი გენეტიკურად მეტყრული გრუნტია ( $dIQ_{IV}$ ) და ხასიათდება შედგენილობის და თვისებების არაერთგვაროვნებით. იგი ჭაბურლილებში არ დაფიქსირებულა, თუმცა საკლევი უბნის ფარგლებში ფართოდ არის წარმოდგენილი ფერდობზე, როგორც სავტომობილო გზის ზედა ნაწილში, ასევე მის ქვემოთ, მდ. ენგურის ხეობის ფსკერის მიმართულებით. მისი სისქე ვერტიკალური ელექტრო-ზონდირების მონაცემების მიხედვით იცვლება 8 - 25 მ-დე. სგე-3-ის გავრცელების ფარგლები მოცემულია საკლევი უბნის საინჟინრო-გეოლოგიურ რუკაზე და ჭრილებზე (იხ. ნახ. GC-1838-1, GC-1838-2 და GC-1838-3). ფენიდან აღებულ ნიმუშებზე განისაზღვრა ელემენტის გრანულომეტრიული შედგენილობა და ფიზიკური თვისებები. შედეგები მოცემულია ცხრილებში-4.6 და 4.7-ში

ცხრილი-4.6 სგვ-3-ის გრანულომეტრიული შედგენილობა

ნაჩენი №	ნიმუშის აღების ინტენსივო- ბ	ფრაქციის ზომა, მმ															
		>200.0	200.0-100.0	100.0-60.0	60.0-40.0	40.0-20.0	20.0-10.0	10.0-5.0	5.0-2.0	2.0-1.0	1.0-0.5	0.5-0.25	0.25-0.1	0.1-0.05	0.05-0.01	0.01-0.005	< 0.005
35	0.3-0.5	3.0	2.1	3.9	7.4	6.5	4.1	3.6	4.2	4.5	2.3	4.5	3.1	5.8	9.1	35.9	
36	0.3-0.5	4.0	4.5	5.5	2.6	4.9	5.1	3.8	2.5	2.7	3.0	1.9	3.6	4.4	3.2	12.3	36.0
38	0.3-0.5		5.9	4.2	6.5	5.5	4.0	2.1	2.4	3.9	5.1	4.5	3.3	5.7	4.9	7.1	34.9

#### **ცხრილი 4.7 სგვ-ის ფიზიკური თვისებები**

ნაჩენი №	ნიმუშის აღმნისი ინტენსივობი, გ												
		ბურგენტიკი ტენასნობა, W%											
35	0.3-0.5	39.0	44.4	28.6	15.8	0.66	2.70	1.80	1.88	1.29	52.04	1.085	0.971
36	0.3-0.5	40.0	46.1	30.1	16.0	0.81	2.70	1.81	1.91	1.27	53.12	1.133	0.992
38	0.3-0.5	38.5	43.7	28.0	15.7	0.67	2.70	1.78	1.85	1.29	52.40	1.101	0.944

მიღებული შედეგების მიხედვით:

- სგვ-3 არის თიხნარი ვინაიდან პლასტიკურობის რიცხვი  $7 < I_3 < 17$ ;
  - თიხნარი არის რბილპლასტიკური დენადპლასტიკურამდე კონსისტენციის, ვინაიდან კონსისტენციის მაჩვენებელი ( $I_L$ ) იცვლება 0.66-დან 0.81-დან;
  - ბუნებრივი სიმკერივის საშუალო მნიშვნელობა  $\rho = 1.80$  გრ/სმ<sup>3</sup>.

**სპე-4** – თიხაფიქლები გამოფიტული, მცირე სიმტკიცის, თხელ და ფურცლოვანშრეებრივი – (ქვედა და შეა იურული, სორის ქვედა და ზედა წყება - J<sub>1-2S</sub>). აღნიშნული ელგმენტი თოხივე ჭაბურლილში გვხვდება და გამოფიტვის ზონის სისქე იცვლება 4.0 -დან 22.0 მ-დე. სპე-4-ის გავრცელების ფარგლები მოცემულია საინჟინრო-გეოლოგიურ ჭრილებზე (იხ. ნახ. GC-1838-2 და GC-1838-3). აღნიშნული სგე-დან აღებული ნიმუშებისთვის განისაზღვა მათი ფიზიკურ-მექანიკური თვისებები. სიმტკიცის მაჩვენებლები განისაზღვრა წერტილოვანი დატვირთვის მეორედით (იხ. დანართი 3.2.2).

მიღებული შედეგები დამუშავდა სტატისტიკურად, სახსტანდარტ 20522-75-ის მოთხოვნათა შესაბამისად. მიღებული ნორმატიული და საანგარიშო მნიშვნელობები მოცემულია ქვემოთ, ცხრილ 4.8-ში.

**ცხრილი 4.8** სგვ-ის ფიზიკურ-მექანიკური თვისებების მახასიათებელთა სიდიდეების სტატისტიკური დამუშავების შედეგები

№ რიგი	ფიზიკურ-მექანიკური მაჩვენებლები	განზომილება	საანგარიშო მნიშვნელობა სანდოობის ალბათობისათვის:							
			λაპ. ყველ. გადახრა σ₅₁	გარიაციის აუცილესობა, V	ექსცესის პირდოვისნები	ასიმეტრიის პირდოვისნები	ნირმაღითული მნიშვნელობა, P	α=0.85	α=0.95	α=0.99
1	სიმკვრივე, ρ	გრ/სმ³	0.145	0.059	-0.889	-0.622	2.447	2.410	2.386	2.357
2	სიმტკიცის ზღვარი R <sub>c</sub>	გძმ/სმ²	50.613	0.831	1.385	-1.362	60.883	47.344	38.740	27.985

სტატისტიკური დამუშავების შედეგების მიხედვით, სახსტ.25100-82 შესაბამისად, თიხაფიქლები კლასიფიცირდება, როგორც „მცირე სიმტკიცის“ ქანი, რადგან სიმტკიცის მახასიათებლის ნორმატიული სიდიდე  $R_c=6.09$  მპა (ანუ  $15 \geq R_c \geq 5$  მპა). სგზ-ის დარბილების კოეფიციენტი  $K_{დარბ.}=0.67$  რის მიხედვითაც აღნიშნული ელემენტი დარბილებადია (იხ. დანართი-3.2.5). სიმკვრივის ნორმატიული მნიშვნელობა  $\rho=2.45$  გრ/სმ<sup>3</sup>.

მასივის ხარისხის (RMR) მნიშვნელობებიდან, აგრეთვე ნორმატიული და საცნობარო ლიტერატურის მიხედვით, სგე-4-ის მექანიკური თვისებების მახასიათებელთა სიდიდეებიდ შევავალი უნდა იქნას:

- შინაგანი ხახულის კუთხე  $\varphi=18^\circ$ ;
  - შეჭიდულობა  $C=0.075\text{მპა}$ ;
  - დრეპადობის მოდული  $E=3900\text{გპა}$ ;
  - პუსონის კოეფიციენტი  $v=0.33$ .

ჭაბურღლილების პერნის შეფასების მიხედვით განისაზღვრა სგვ-4-ის ჯამური რეიტინგი (RMR) და ხარისხი, რის მიხედვითაც  $RMR=26$  და კლდოვანი მასივი სადაც ფიქსირდება სგვ-4, კლასიფიცირდება როგორც IV კლასის - ცუდი კლდოვანი მასივი.

**სბგ-5** – თიხაფიქლები, დადაბლებული სიმტკიცის, რღვევის შესუსტებული ზონიდან – (ქვედა და შუა იურული, სორის ქვედა და ზედა წყება - J<sub>1-2s</sub>). აღნიშნული ელემენტი გამოვლინდა 3 ჭაბურღლილში სხვადასხვა სიღრმეებზე. სბგ-5-ის გავრცელების ფარგლები მოცემულია საკვლევი უბნის საინჟინრო-გეოლოგიურ ჭრილებზე (იხ. ნახ. GC-1838-2 და GC-1838-3). აღნიშნული სბგ-დან აღებული ნიმუშებისთვის განისაზღვა მათი ფიზიკურ-მექანიკური თვისებები. სიმტკიცის მაჩვენებლები განისაზღვრა წერტილოვანი დატვირთვის მეთოდით (იხ. დანართი 3.2.2).

მიღებული შედეგები დამუშავდა სტატისტიკურად, სახსტანდარტ 20522-75-ის მოთხოვნათა შესაბამისად და ნორმატიული და საანგარიშო მნიშვნელობები მოცემულია ქვემოთ, ცხრილ 4.9-ში.

360-4.9

სგვ-5-ის ფიზიკურ-მექანიკური თვისებების მახასიათებელთა სიღიღეების სტატისტიკური დამუშავების შედეგები

№ რიგი	ფიზიკურ-მექანიკური მაჩვენებლები	განვითარება	საქ. პერ. გადახრა σ <sub>6-1</sub>	გარიგის გოჭვიტენბი, V	ექცესის გრეფიტენბი	ასიმეტრიის გოჭვიტენბი	ნორმატიული მნიშვნელობა, ρ	საანგარიშო მნიშვნელობა სანდობის ალბათობისათვის:		
								α=0.85	α=0.95	α=0.99
1	სიმკვრივე, ρ	გრ/სმ <sup>3</sup>	0.045	0.019	-1.273	-0.138	2.387	2.365	2.350	2.325
2	სიმტკიცის ზღვარი, R <sub>c</sub>	გბძ/სმ <sup>2</sup>	6.363	0.145	-0.833	-0.661	43.897	40.883	38.675	35.168

სტატისტიკური დამუშავების შედეგების მიხედვით, სახს.გ.25100-82 შესაბამისად, თიხაფიქლები კლასიფიცირდება, როგორც „დაღაბლებული სიმტკიცის“ ქანი, რადგან სიმტკიცის მახასიათებლის ნორმატიული სიდიდე  $R_c=4.38$  მპა. სგვ-5-ის დარბილების კოეფიციენტი  $K_{დარბ.}=0.67$  რის მიხედვითაც აღნიშნული ელემენტი დარბილებადია. სიმკრივის ნორმატიული მნიშვნელობა  $\rho=2.39$  გრ/სტ<sup>3</sup>.

მასივის ხარისხის (RMR) მნიშვნელობებიდან, აგრეთვე ნორმატიული და საცნობარო ლიტერატურის მიხედვით, სგე-5-ის მექანიკური თვისებების მახასიათებლითა სიდიდეებად მიღებული უნდა იქნას:

- შინაგანი ხახუნის კუთხე  $\phi=14^\circ$ ;

- შეჭიდულობა  $C=0.065\text{მპა}$ ;
- დრეკადობის მოდული  $E=3000\text{მპა}$ ;
- პუასონის კოეფიციენტი  $\nu=0.35$ .

ჭაბურღილების კერნის შეფასების მიხედვით განისაზღვრა სგვ-4-ის ჯამური რეიტინგი (RMR) და ხარისხი, რის მიხედვითაც  $RMR=20$  და კლდოვანი მასივი სადაც ფიქსირდება სგვ-5 კლასიფიცირდება, როგორც Vკლასის - ძალიან ცუდი კლდოვანი მასივი.

სგვ-5-ის ანიზოტროპულობის დადგენის მიზნით, ჩატარდა პარალელური გამოცდები სიმტკიცეზე შრეებრიობის პარალელურად და მის მართობულად, რის მიხედვითაც თიხაფიქლები ავლენენ ანიზოტროპულ თვისებებს. პარალელური გამოცდის შედეგები მოცემულია ცხრილ-4.10-ში.

#### ცხრილი-4.10 სგვ-5-ის ანიზოტროპულობის გამოკვლევის შედეგები

ჭაბურღილის №	ნიმუშის სიღრმე, მ	სიმტკიცე ერთ-ლერძა კუმშვაზე, $Re, \text{ მ}^3/\text{სმ}^2$	სიმკვრივე, $\rho \text{ გ}/\text{სმ}^3$	გამოცდის მიმართულება
წყალგაჯერებულ მდგომარეობაში				
ჭაბ. 3ა	34.5-34.7	24.99	2.45	შრების გასწვრივ
		54.37		შრების მართობულად
ჭაბ. 3ა	35.0-35.5	19.41	2.42	შრების გასწვრივ
		47.86		შრების მართობულად

**სგვ-6** – თიხაფიქლები, სუსტად გამოფიტული, საშუალო სიმტკიცის, თხელ და ფურცლოვანშრებრივი – (ქვედა და შუა იურული, სორის ქვედა და ზედა წყება - J<sub>1-2s</sub>). აღნიშნული ელემენტი ოთხივე ჭაბურღილში გვხვდება გამოფიტვის ზონის ქვედა. სგვ-6-ის გავრცელების ფარგლები მოცემულია საკვლევი უბნის საინჟინრო-გეოლოგიურ ჭრილებზე (იხ. ნახ. GC-1838-2 და GC-1838-3). აღნიშნული სგვ-დან აღებული ნიმუშებისთვის განისაზღვა მათი ფიზიკურ-მექანიკური თვისებები. სიმტკიცის მაჩვენებლები განისაზღვრა წერტილოვანი დატვირთვის და გრუნტების ერთდერძა კუმშვაზე გამოცდის მეთოდით. სგვ-6-ის კლდოვანი ქანების ძვრაზე ლაბორატორიული გამოცდა ბუნებრივი ნაპრალის ზედაპირის გასწვრივ ჩატარდა როგორც მშრალი ზედაპირისთვის, აგრეთვე დასველებული ზედაპირისთვის (იხ. დანართი-3.2.3).

მიღებული შედეგები დამუშავდა სტატისტიკურად, სახსეტანდარტ 20522-75-ის მოთხოვნათა შესაბამისად და ნორმატიული და საანგარიშო მნიშვნელობები მოცემულია ქვემოთ, ცხრილ 4.11-ში.

**ცხრილი-4.11 ხევ-6-ის ფიზიკურ-მექანიკური თვისებების მახასიათებელთა სიდიდეების სტატისტიკური დამუშავების შედეგები**

ცხრილი	ფიზიკურ-მექანიკური მაჩვენებლები	განვითარება	საგ. გვარ. გამოყენება	გარემონტი, σ <sub>ε</sub> - გარემონტი, V	გენერიკული გენერიკული	ასიმეტრიული გენერიკული	ასიმეტრიული, ρ	საანგარიშო მნიშვნელობა სანდოობის ალბათობისათვის:		
								α=0.85	α=0.95	α=0.99
1	სიმკვრივე, ρ	გრ/სმ <sup>3</sup>	0.097	0.037	-0.252	0.405	2.602	2.588	2.579	2.569
2	სიმტკიცის ზღვარი R <sub>c</sub>	კმ/სმ <sup>2</sup>	127.222	0.511	-0.513	-0.203	249.18	229.905	218.327	204.720
3	შეჭიდულობა, C მშრალი ზედაპირისთვის	მპა	0.106	0.594	-1.859	-0.302	0.178	0.133	0.100	0.053
4	შინაგანი ხახუნის კუთხე, φ მშრალი ზედაპირისთვის	გრად.	6.448	0.283	-0.360	0.907	22.8	20.0	18.0	15.1
5	შეჭიდულობა, C დასველებული ზედაპირისთვის	მპა	0.060	0.760	-0.055	-0.977	0.079	0.054	0.035	0.008
6	შინაგანი ხახუნის კუთხე, φ დასველებული ზედაპირისთვის	გრად.	2.058	0.104	-0.525	0.503	19.7	18.8	18.2	17.3

სტატისტიკური დამუშავების შედეგების მიხედვით, სახს. 25100-82 შესაბამისად, თიხაფიქლები კლასიფიცირდება, როგორც „საშუალო სიმტკიცის“ ქანი, რადგან სიმტკიცის მახასიათებლის ნორმატიული სიდიდე R<sub>c</sub>=24.92 მპა (ანუ 50≥R<sub>c</sub>>15 მპა). ხევ-6-ის დარბილების კოეფიციენტი K<sub>დარბ.</sub>=0.80 რის მიხედვითაც აღნიშნული ელემენტი არადარბილებადია (იხ. დანართი-3.2.5). სიმკვრივის ნორმატიული მნიშვნელობა ρ=2.60 გრ/სმ<sup>3</sup>.

- შინაგანი ხახუნის კუთხე (მშრალი ზედაპირისტვის) φ=22.8°;
- შეჭიდულობა (მშრალი ზედაპირისთვის) C=0.178მპა;
- შინაგანი ხახუნის კუთხე (დასველებული ზედაპირისთვის) φ=19.7°;
- შეჭიდულობა (დასველებული ზედაპირისთვის) C=0.079მპა.

მასივის ხარისხის (RMR) მნიშვნელობებიდან, აგრეთვე ნორმატიული და საცნობარო ლიტერატურის მიხედვით, სგე-6-ის მექანიკური თვისებების მახასიათებელთა სიდიდეებად მიღებული უნდა იქნას:

- დრეკადობის მოდული  $E=12000\text{მპა}$ ;
- კუსონის კოეფიციენტი  $n=0.27$ .

ჭაბურღილების კერნის შეფასების მიხედვით განისაზღვრა სგე-6-ის ჯამური რეიტინგი (RMR) და ხარისხი, რის მიხედვითაც  $RMR=35$  და კლდოვანი მასივი სადაც ფიქსირდება სგე-6 კლასიფიცირდება, როგორც IV კლასის - ცუდი კლდოვანი მასივი.

სგე-6-ის ანიზოტროპულობის დადგენის მიზნით, ჩატარდა პარალელური გამოცდები სიმტკიცეზე შრეებრიობის პარალელურად და მის მართობულად, რის მიხედვითაც თიხაფიქლები ავლენენ ანიზოტროპულ თვისებებს. პარალელური გამოცდის შედეგები მოცემულია ცხრილ-4.12-ში.

#### ცხრილი-4.12 სგე-6-ის ანიზოტროპულობის გამოკვლევის შედეგები

ადგილმდებარეობა /ჭაბურღილის №	ნიმუშის სილრმე, მ	სიმტკიცე ერთლერდა კუმულაზე, $Re \text{ კმ}/\text{მ}^2$	სიმპრივე, $\rho \text{ გ}/\text{სმ}^3$	ქანის დასახელება
<b>წყალგაჯერებულ მდგომარეობაში</b>				
ჭაბ. 2	41.4-41.6	48.44	2.61	შრეების გასწვრივ
	41.4-41.6	876.48		შრეების მართობულად
ჭაბ. 2	52.0-52.15	13.13	2.71	შრეების გასწვრივ
		181.09		შრეების მართობულად
ჭაბ. 2	63.0-63.2	5.05	2.67	შრეების გასწვრივ
		111.40		შრეების მართობულად
ჭაბ. 3	4.2-4.4	31.70	2.64	შრეების გასწვრივ
		874.02		შრეების მართობულად
ჭაბ. 3	18.8-19.0	51.07	2.55	შრეების გასწვრივ
		491.54		შრეების მართობულად

ადგილმდებარეობა /ჭაბურღლილის №	ნიმუშის სიღრმე, მ	სიმტკიცე ერთლერძა კუმშვაზე, Rc კბ/სტ <sup>2</sup>	სიმპრივე, ρ გ/სმ <sup>3</sup>	ქანის დასახელება
ჭაბ. 3ა	7.0-7.2	24.24	2.72	შრეების გასწვრივ
		43.83		შრეების მართობულად
ჭაბ. 3ა	10.5-10.65	12.44	2.76	შრეების გასწვრივ
		19.83		შრეების მართობულად
ჭაბ. 3ა	15.6-15.8	30.70	2.67	შრეების გასწვრივ
		38.98		შრეების მართობულად
ჭაბ. 3ა	20.0-20.2	24.88	2.75	შრეების გასწვრივ
		142.23		შრეების მართობულად
ჭაბ. 3ა	24.8-25.0	60.34	2.70	შრეების გასწვრივ
		163.63		შრეების მართობულად
ჭაბ. 3ა	28.5-28.7	21.29	2.71	შრეების გასწვრივ
		250.32		შრეების მართობულად
ჭაბ. 3ა	46.5-46.7	91.44	2.62	შრეების გასწვრივ
		437.29		შრეების მართობულად
ჭაბ. 3ა	52.0-52.2	2.51	2.70	შრეების გასწვრივ
		285.62		შრეების მართობულად
ჭაბ. 3ა	56.0-56.2	7.54	2.65	შრეების გასწვრივ
		220.18		შრეების მართობულად
ჭაბ. 3ა	61.0-61.2	38.72	2.68	შრეების გასწვრივ
		307.09		შრეების მართობულად
ჭაბ. 3ა	66.2-66.4	30.12	2.57	შრეების გასწვრივ
		339.43		შრეების მართობულად
ჭაბ. 3ა	71.0-71.2	104.08	2.68	შრეების გასწვრივ
		292.69		შრეების მართობულად

ადგილმდებარეობა /ჭაბურღლილის №	ნიმუშის სიღრმე, მ	სიმტკიცე ერთლერძა პუმშაზე, Rc კბ/სტ <sup>2</sup>	სიმპრივე, ρ გ/სმ <sup>3</sup>	ქანის დასახელება
ჭაბ. 3ა	79.8-80.0	20.49	2.65	შრეების გასწვრივ
		300.18		შრეების მართობულად
ჭაბ. 3ა	85.0-85.2	42.57	2.64	შრეების გასწვრივ
		368.06		შრეების მართობულად
ჭაბ. 3ა	90.8-91.0	30.02	2.66	შრეების გასწვრივ
		311.77		შრეების მართობულად
ჭაბ. 4	27.0-27.2	13.12	2.66	შრეების გასწვრივ
		141.45		შრეების მართობულად
ჭაბ. 4	30.5-30.65	11.73	2.77	შრეების გასწვრივ
		56.63		შრეების მართობულად
ჭაბ. 4	32.2-32.4	75.42	2.76	შრეების გასწვრივ
		366.16		შრეების მართობულად
ჭაბ. 4	34.2-34.35	22.06	2.35	შრეების გასწვრივ
		49.81		შრეების მართობულად
ჭაბ. 4	37.0-37.2	10.67	2.42	შრეების გასწვრივ
		117.69		შრეების მართობულად

#### 4.2 გრუნტის ფილტრის ქიმიური შედგენილობა და აგრესიულობა

წყლების აგრესიულობის დასადგენად შესრულებულია წყლის სინჯების ქიმიური ანალიზი და განსაზღვრულია მათი აგრესიულობის ხარისხი სამშენებლო კონსტრუქციების ბეტონისა და არმატურისადმი. ქიმიური ანალიზი გაუკეთდა საკვლევ უბანზე არსებული წყაროებიდან აღებულ წყლის სინჯებს, ჰორიზონტალურ ჭაბურღლილში გამოვლენილ წყალს და ზედაპირული წყლების სინჯებს. ქიმიური ანალიზის შედეგების მიხედვით, გარემოში არ არის გამოვლენილი არავთარი აგრესიულობა წყალშეღწევადობის მიხედვით არცერთი მარკის ბეტონისადმი, იგი ხასიათდება სუსტი აგრესიულობით რკინაბეტონის არმატურისადმი, მისი პერიოდულად დასველების შემთხვევაში, ხოლო არ არის

აგრესიული მუდმივად წყალში ჩაძირვის პირობებში. ქიმიური ანალიზის შედეგები იხ. დანართ 3.3-ში.

#### 4.3 საინჟინრო-გეოლინამიკური პირობები

გამოკვლეული უბნის საინჟინრო-გეოლინამიკური პირობების დახასიათება მოცემულია ორ ნაწილად. პირველ ნაწილში გაანალიზებულია საპროექტო ტერიტორიაზე და მათ შორის გვირაბის პორტალებამდე მისასვლელი გზის ახალი მონაკვეთების განლაგების უბნებზე მიმდინარე გეოლოგიური პროცესები და მოვლენები, ანუ ეს ნაწილი ეძღვნება მიწისზედა სამშენებლო სამუშაოების, მათ შორის სახიდე გადასასვლელის ვარიანტის საინჟინრო-გეოლინამიკური პირობების შეფასებას. მეორე ნაწილში აღწერილია და ზოგადად დახასიათებულია საპროექტო გვირაბის გაყვანის დროს მოსალოდნელი გეოლოგიური პროცესები და მოვლენები.

##### 4.3.1 მიზისულა მშენებლობის საინჟინრო-გეოლინამიკური ვითარება

ზოგადად, მთიან რეგიონებში, სააგტომობილო გზების მშენებლობისა და ექსპლუატაციის გამართულებელ უმთავრეს გეოდინამიკურ მოვლენებს წარმოადგენს მირითადი მდინარეული არტერიებისა და მათი შენაკადების აქტიური ეროზიული მოქმედება. განსაკუთრებით ეს ეხება ისეთ მდინარეებს, როგორიც ენგური და მისი შენაკადებია. მდ. ენგურის ხარჯი დიდია და კალაპოტის საკმაოდ მაღალი გრძივი ქანობის პირობებში მას ძლიერი ეროზიული ზემოქმედების ძალა გააჩნია. იმ მონაკვეთებში, სადაც მდინარის კალაპოტი მტკიცე კლდოვან ქანებშია ჩაჭრილი, ეროზია შენელებული და ხეობის ფერდობები მდგრადია, ხოლო იმ მონაკვეთებში, სადაც იგი გადის მეოთხეულ, ფერდობებიდან დენუდირებული შეუკავშირებელი გრუნტებით გარემოცულ კალაპოტში, იგი ავითარებს როგორც სიღრმულ, ასევე გვერდით ეროზიას. გვერდითი ან სიღრმული ეროზიის ინტენსივობა დამოკიდებულია მრავალ ფაქტორზე, მათ შორის კალაპოტის ამა-თუ იმ მონაკვეთის დახრილობაზე, მასში წყლის დინების სიჩქარეზე, კალაპოტში და მის ნაპირებზე არსებული ნამსხვრევი მასალის მარცვლოვანებაზე, მარცვალთა ფორმაზე (დამრგვალებული, კუთხოვანი), მათ სიმტკიცეზე და სხვა.

მდ. ენგურს საპროექტო მონაკვეთის ფარგლებში არ გააჩნია ჭალა, ხეობის ფსკერის სიგანე აქ კალაპოტის სიგანით იფარგლება. კალაპოტის მიმდებარე ფერდობები ციცაბოა, რაც სავარაუდო იმაზე მიანიშნებს, რომ უპირატესად სიღრმულ ეროზიასა აქეს ადგილი, ხოლო გვერდითი ეროზია კომპენსირდება ფერდობებიდან დარულ-მეწყრული მოვლენებით ჩამონაცანი გრუნტის გატანის ხარჯზე. საპროექტო სავტომობილო გვირაბის განლაგების მონაკვეთში მიმდინარე გეოდინამიკური მოვლენების თავისებურებას ის წარმოდგენს, რომ აქ პარალელურად მიმდინარეობს ეროზიული და მეწყრული მოვლენები და ისინი ერ-

თიმეორის მასტიმულირებელ როლს ასრულებენ ფერდობის დენუდაციის უწყვეტ პროცესში. მდ. ენგურის ხეობის მარჯვენა ფერდობის ამ მონაკვეთის ამგები თიხაფიქლების თხელი და ფურცლოვანი შრეებრიობა, მასივის ზედაპირული ნაწილის გამოფიტულობა და მისი ტექტონიკური დანაწევრებულობა სიღრმეში, საფუძველს ქმნის ფერდობის ზედაპირზე თიხაროვანი და ფხვიერი ხვინჭა-დორდოვანი გრუნტების ცვალებადი სისქის ფენის წარმოქმნისათვის. ფენის თიხაროვანი კომპონენტში შერეული, თიხაფიქლების ბაზაზე წარმოქმნილი ხვინჭა და ლორდი ასევე ბრტყელი ფორმისაა, ხახუნისადმი დაბალი წინააღმდეგობით. აღნიშნულის გამო კლდოვანი მასივის ზედაპირზე წარმოქმნილი ფხვიერი შეუკავშირებელი ფენის ძვრისადმი წინააღმდეგობაც დაბალია მისი დასველების შემდეგ, რაც იწვევს გრუნტის ცალკეული მასების ჩაცურებას ფერდობებზე დენად-პლასტიკურ მდგომარეობაში. ჩაცურებული მასა აღწევს შესაბამისი მცირე ეროზიული ხევის (ხრამის) ფსკერს, სადაც ეს უკანასკნელი ახდენს მასზე ჩამდინარე წყლის დროებით შეგუბებას, ხოლო შეგუბებული წყლისა და გრუნტის შერეული მასა წარმოქმნის ქვატალახიან დვარცოფულ ნაკადს, რომელიც მდ. ენგურის კალაპოტისაკენ მიემართება. თავის მხრივ, მცირე ხევებისა და ხრამების ეროზიული მოქმედება, აღრმავებს-რა მათ ფსკერს და ზრდის ფერდობების ქანობს, ქმნის პირობებს მათი შემდგომი დამტკიცებულისათვის. ამდენად, როგორ უკვე ითქვა, ეროზიული და მეწყრული მოვლენები ერთიმეორის მასტიმულირებელი და საერთო ჯამში მდ. ენგურის ხეობის მარჯვენა ფერდობის ამ მონაკვეთის აქტიური დენუდაციის გამომწვევია. ცალკეული მეწყრული მოვლენები ერთ საერთო მეწყრულ მოვლენაში ერთიანდება და ერთი მთლიანი მეწყრის სახით წარმოგვიდგება ფერდობის მთელ სიმაღლეზე, გზის ქვემოთ მდ. ენგურამდე და გზის ზევით 440 მ-მდე მანძილზე, 200-250 მ. სიგანის ზოლის სახით. იგი თავის მხრივ წარმოადგენს მხოლოდ შუა და ზედაპირულ ნაწილს იმ სტრუქტურული (სეისმო-ტექტონოგენური) მეწყრისა, რომელიც მდ. ენგურის ხეობის მარჯვენა ფერდობის ამ მონაკვეთზეა განვითარებული კლდოვან მასივში და რომელიც ამჟამად, საგარაუდოდ, სტაბილიზირებულ მდგომარეობაშია. (სტრუქტურული მეწყრის მდებარეობისა მასივში და მისი მდგომარეობის ზოგადი ახსნა მოცემულია ზემოთ, პუნქტ 3-3-ში - „გეოლოგიური აგებულება და ტექტონიკა“).

მეწყრული სხეულის გზისზედა ნაწილის გარკვეული უბანი დატბორილია, რაც მის შიგნით გრუნტების მასების მეწყრულ გადადგილებას და ამით გამოწვეულ ფერდობის დეფორაციას უკავშირდება. წყლის შეტბორვა მეწყრული სხეულის გარკვეულ ნაწილში, მისი გააქტიურების წინაპირობას წარმოადგენს.

სხვა გეოდინამიკურ მოვლენათა შორის უბანზე უნდა აღინიშნოს აგრეთვე ქვაცვენები არსებული გზის ზედა ხელოვნური ფერდობიდან ისეთ მონაკვეთებში, სადაც მათი ქანობი ციცაბოა და აღილი აქვს ქანების ცალკეული ნატეხების ან გარკვეული მოცულობის ბლოკების ვადრნას გზის მიმართულებით.

ზემოთ აღწერილი გრავიტაციული პროცესების განვითარების შედაგედ წარმოქმნილი მეწყრები, ქვაცვენები და ეროზიული მოვლენები, განსაკუთრებით

უურადსადებია გვირაბის პორტალებამდე მისასვლელი გზის ახალი მონაკვეთების დაპროექტებისა და მშენებლობისას. პროექტის განვითარების შემდგომ, მშენებლობის განხორციელების ეტაპზე, გასათვალისწინებელია სათანადო მოცულობის დამატებითი დეტალური საინჟინრო-გეოლოგიური კვლევების ჩატარებისა და გეოლოგიური მოულოდნელობებისაგან დამზღვევი სათანადო საპროექტო-სამშენებლო ღონისძიებების განხორციელების აუცილებლობა.

წინამდებარე ტექსტის ამ ნაწილში უნდა ითქვას აგრეთვე გვირაბის ნაცვლად სახიდე გადასასვლელის მოწყობის გეოდინამიკური პირობების შესახებაც. სახიდე გადასასვლელის მოწყობა ივარაუდება მდ. ენგურის მარჯვენა ფერდობის ორ გვერდითა ქედს შორის, რომლებზეც, ამავე დროს, უნდა განლაგდეს გვირაბის პორტალები. ქედებს შორის განლაგებული დარტაფის ფსკერი მეწყრულ სხეულს უავია, რომლის სისქე ცნობილი არ არის. ხიდის დასავლეთი ბურჯის განლაგების ადგილზე გამოვლენილია ტექტონიკური რღვევით გამოყოფილი ბლოკი, რომლის ქვევით, ციცაბო ფერდობზე, მიმდინარეობს აქტიური ეროზიულ-დენუდაციური პროცესები, რაც სავარაუდოდ აღნიშნული ბლოკის ქვედა ნაწილის თანდათანობით ჩანგრევასთან უნდა იყოს დაკავშირებული. უცნობია ტექტონიკური ბლოკის მოწყვეტის სიღრმეც. თუ გავითვალისწინებთ ზოგადად უბნის ტექტონიკურ ბლოკურ აგებულებასაც, ცხადი ხდება, რომ გვირაბის ნაცვლად აქ ხიდის მოწყობა დაკავშირებული იქნება მრავალმხრივ სირთულეებთან.

#### 4.3.2 გვირაბის გაყვანის დროს მოსალოდნელი მოვლენები

საპროექტო გვირაბის მშენებლობის ხელისშემსლელად შეიძლება მოგვევლინოს ისეთი ფაქტორები, როგორიცაა:

- ქანების მასივის ფიზიკური მდგომარეობა და მოსალოდნელი გეოლოგიური მოვლენები;
- სამოო წნევები და დაძაბული მდგომარეობა;
- მხეოთავი ან ფეთქებადი აირების გამოვლენა.

ქანების მასივის მდგომარეობა, რაც გეოტექნიკურ კვლევებში იწოდება, როგორც **მასივის კლასი და ხარისხი (RMR)** გვირაბის განთავსების ზოლში განისაზღვრა ჭაბურლილებიდან ამოდებული სრული კერნის შესწავლისა და ნაჩენების დეტალური გეომექანიკური აღწერების საფუძველზე. მასივის კლასისა და ხარისხის განსაზღვრა ემყარება საველე და ლაბორატორიული კვლევის შედეგებს, რისთვისაც შეფასებულია:

- ქანების სიმტკიცე;
- კერნის ხარისხის მაჩვენებელი (RQD);
- ნაპრალთა სიხშირე;

- ნაპრალიანობის მახასიათებლები;
- გრუნტის წყლები;
- ქანების შრეებრიობის ორიენტაცია გვირაბის მიმართ.

კლდოვანი მასივის ხარისხის შეფასება მოცემულია დანართ-4-ში. მასივის კლასისა და ხარისხის (RMR) შეფასება ჭაბურღილებიდან აღებული კერნისა და ნახენების დეტალურ გეომექანიკური კვლევის შედეგების მიხედვით, მოცემულია გვირაბის გრძივ საინჟინრო-გეოლოგიურ ჭრილზე (იხ. გრაფიკული ნაწილი, ნახაზი №GC-1838-2), ხოლო ქვემოთ, ცხრილური სახით, მოცემულია კლდოვანი მასივის კლასი და ხარისხი გვირაბის სხვადასხვა მონაკვეთში პიკეტაჟის მიხედვით, მათი სიგრძეებისა და საინჟინრო-გეოლოგიური ელემენტების მითითებით.

#### **ცხრილი-11 ქანების ვანების კლასი და ხარისხი, მონაკვეთების მიხედვით**

პიკეტი +მ	მანძილი, მ	ჯამური რეიტინგი (RMR)	მასივის კლასი	მასივის ხარისხი	სამ №
3+64 ÷ 3+90	26	26	IV	ცუდი	4
3+90 ÷ 6+54	264	35	IV	ცუდი	6
6+54 ÷ 7+15	61	20	V	ძალიან ცუდი	5
7+15 ÷ 8+34	119	35	IV	ცუდი	6
8+34 ÷ 8+60	26	20	V	ძალიან ცუდი	5
8+60 ÷ 13+80	520	35	IV	ცუდი	6
13+80 ÷ 14+00	20	20	V	ძალიან ცუდი	5
14+00 ÷ 14+66	66	35	IV	ცუდი	6
14+66 ÷ 14.94	28	20	V	ძალიან ცუდი	5
14+94 ÷ 15+80	86	35	IV	ცუდი	6
15+80 ÷ 15+93	13	20	V	ძალიან ცუდი	5
15+93 ÷ 16+23	30	35	IV	ცუდი	6
16+23 ÷ 16+73	50	26	IV	ცუდი	4
სულ	1309				

ცხრილ-11-ში მოცემული მონაცემებიდან გამომდინარე, გვირაბის სიგრძის 1309 მეტრიდან 148 მეტრ ჯამურ სიგრძეზე მასივის რეიტინგი არის 20, მასივის კლასით V და ხარისხით ძალიან ცუდი, რაც მისი საერთო სიგრძის 12.75%-შეადგენს, ხოლო დანარჩენი 1161 მ. სიგრძეზე მასივის რეიტინგი არის 26-35-ის ფარგლებში, მასივის კლასით IV და ხარისხით ცუდი, რაც მისი საერთო სიგრძის 87.25%-შეადგენს.

ზემოთ აღნიშნული ტექტონიკური აგებულებისა და ბლოკურობის პირობებში, გვირაბის გაყვანისას არ არის გამორიცხული **სამთო წნევებისა და დაბაზული მდგომარეობის გამოვლენა** გვირაბის გარკვეულ ინტერვალებში, სადაც ამის გამო შესაძლებელია ქანების ცალკეული მასების ჩამოცვენა ან გამოტყორცები. ქანების ბურცვადობა, მათი ოვისებებიდან გამომდინარე,

მოსალოდნელი არ არის, თუმცა გრავიტაციული დაწოლის ან ტექტონიკური დაძაბულობის გამო, ნაპრალებს შორის შესაძლოა აღგილი პქონდეს ქანის ცალკეული ნატეხების ან მისი გარკვეული მასის გამოსოლვას და ჩამონგრევას გვირაბის თაღიდან და კედლებიდან.

გარდა მასივის ხარისხისა, გვირაბში სამუშაოების წარმოება შესაძლოა გაართულოს **მხეთავი ან ფეთქებადი აირების გამოვლენამ გვირაბის გაყვანის დროს**, რაც ზოგადად თიხაფიქლებით აგებული დახურული სტრუქტურის პირობებში არ არის გამორიცხული. ვინაიდან გვირაბი მასივში არ არის ღრმა განლაგების და იგი ხეობის ფერდობს მიუყვება მაქსიმალური ჩაღრმავებით 100-110 მ-მდე, მაგნე გაზების დიდი რაოდენობით გამოვლენა აქ მოსალოდნელი არ არის. ამავე დროს უნდა აღინიშნოს, რომ გვირაბის გაყვანა უნდა ხდებოდეს მუდმივი ვენტილაციის პირობებში.

ვინაიდან გვირაბი უნდა განლაგდეს ფერდობში მის პარალელურად, სადაც კარგი პირობებია შექმნილი მდ. ენგურის მიმართულებით გრუნტის (ნაპრალური) წყლების დრენირებისათვის, **გვირაბში წყალმოდენას** ადგილი ექნება წვეთვის, ძლიერი წვეთვის, იშვიათად უწყვეტი ჭავლების სახით, რდგვევის ზონებში. ძლიერ წყალმოდენას, უწყვეტი, ძლიერი ჭავლების სახით (თუ ასეთს საერთოდ ექნება აღგილი), ექნება დროებითი ხასიათი.

## 5. დასკვნები და რეკომენდაციები

1. საქართველოში ამჟამად მოქმედი სამშენებლო ნორმებისა და წესების 1.02.07-87 დანართ-10-ის თანახმად, ზუგდიდი-მესტია-ლასდილის სააგრომობილო გზის 116 ქმ-ზე მეწყრული მონაკვეთის ასაქცევი გვირაბის სამშენებლო ტერიტორიის საინჟინრო-გეოლოგიური პირობების სირთულე არის III კატეგორიის (რთული). საინჟინრო-გეოლოგიური პირობების სირთულე განპირობებულია ტერიტორიის გეომორფოლოგიური, გეოლოგიური და გეოდინამიკური პირობების სირთულით, რაც დეტალურადაა გადმოცემული ბუნებრივი გარემო პირობების დახასიათებაში (პუნქტი-3);
2. კლდოვანი ქანების მასივში, მისი სტრუქტურული პირობებისა და გამოფიტულიბის გათვალისწინებით გამოიყოფა 3 საინჟინრო-გეოლოგიური ელემენტი (სბმ-4, სბმ-5 და სბმ-6), ხოლო არაკლდოვან მეოთხეულ გრუნტებში გამოიყოფა 3 ელემენტი (სბმ-1, სბმ-2 და სბმ-3). მათ შორის სბმ-1 ტექნოგენური (ყრილის) დორდოვანი გრუნტია ქვიშნარის შემაგსებლით არსებული გზის ზოლში, სბმ-2 ხეობის ფერდობზე დროთა განმავლობაში მისი ზედა ნაწილიდან გადმოლექილი თიხნარია, ხვინჭალორდისა და ლოდების ჩანართებით, ხოლო სბმ-3 დენადპლასტიკური და რბილპლასტიკური, არაერთგვაროვანი თიხნარებია, ხვინჭალორდის,

კენჭების, კაჭარის და ლოდების ჩანართებით, რომელიც ფერდობზე განვითარებულ მეწყრულ სხეულშია წარმოდგენილ.

3. საინჟინრო-გეოლოგიური ელემენტების ფიზიკურ-მექანიკური თვისებების არამეტრთა ნორმატიული და საანგარიშო სიდიდეები მოცემულია ცხრილ-5.1-ში.

#### **ცხრილი-5.1 გრუნტების თვისებების მასასიათებელთა ნორმატიული მნიშვნელობები**

სამეცნიერო №	სგე-ების აღწერა	სიმკვრივე, ρ გვ/სმ <sup>2</sup>		ბუნებრივი. წყალმაჯაჭრ.	სიმტკიცე ერთლენდას გუმშვაბა, R <sub>C</sub> მმა	სინა-განი ხახუნის კუთხე f <sup>0</sup>	შესაძლებლობა, C მმა	ღრმა-ღრმის მოდული, E მპა	პუსტინის პრეცენტი, V	გადოვანი მასივის რეიტინგი RMR	კლდობანი მასივის ხარისხი
		ბუნებრივი.	წყალმაჯაჭრ.								
2	თიხნარი, ნახევრადმაგარი, ხვინჭიან-ლორდიანი, ლოდების ჩანართებით (dcQ <sub>IV</sub> )	1.81	1.89	—	19	0.018	35	0.37	—	—	—
4	თიხაფიქლები, გამოფიტული, მცირე სიმტკიცის, თხელ და ფურცლოვან-შრებრივი (J <sub>1-2s</sub> )	2.40	2.45	6.09	18	0.075	3900	0.33	26	IV-ცედი	—
5	თიხაფიქლები, დადაბლებული სიმტკიცის, რდგენის შესუსტებული ზონიდან (J <sub>1-2s</sub> )	2.33	2.39	4.34	14	0.065	3000	0.35	20	V-ძალიან ცედი	—
6	თიხაფიქლები, სუსტად გამოფიტული, საშუალო სიმტკიცის, თხელ და ფურცლოვან-შრებრივი (J <sub>1-2s</sub> )	2.56	2.60	24.92	19.7 22.8	0.079 0.178	12000	0.27	35	IV-ცედი	—

**შენიშვნა:** სგე-4-ის, სგე-5-ის და სგე-6-ის სიმკვრივის, სიმტკიცის და ძერის მასასიათებლების საანგარიშო სიდიდეები, სარწმუნობის სხვადასხვა ალბათობისათვის, მოცემულია ზემოთ, თითოეული მათგანის დახასიათება შემთხვევაში.

4. პიდროგეოლოგიურად ფორული ცირკულაციის წყლები დაკავშირებულია ფერდობებზე განვითარებულ მეოთხეულ გრუნტებთან. აღნიშნული პორიზონები მცირედ წყალშემცველია, მათი კვება ხდება ატმოსფერული ნალექების ხარჯზე და ამდენად ტენის შემცველობა მათში იცვლება მეტი

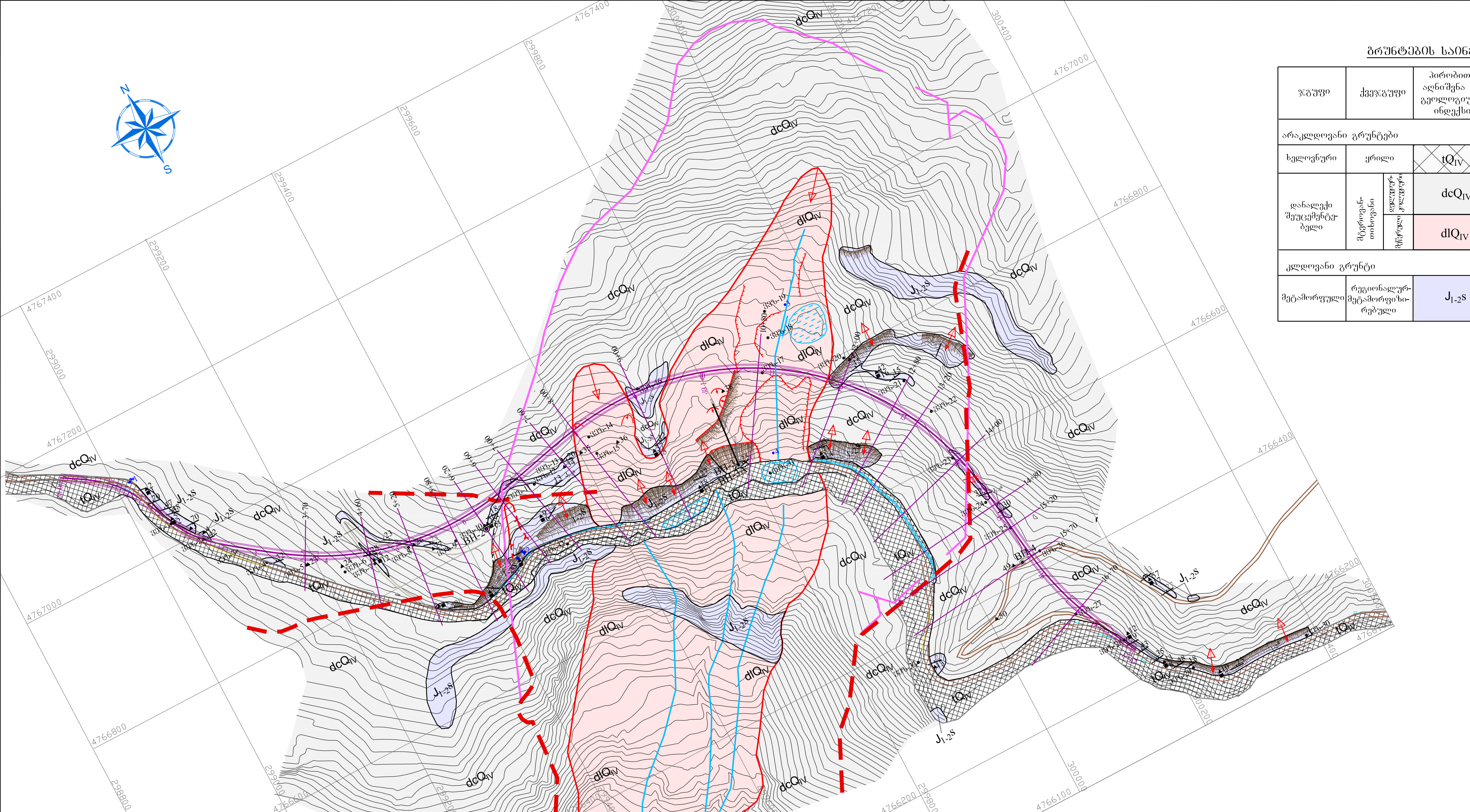
- ან ნაკლები ნალექიანობის შესაბამისად. ტერიტორიის ფარგლებში მთავარ წყალშემცველ ჰორიზონტს კლდოვანი ქანების ნაპრალური წყლები წარმოადგენს. კლდოვანი მასივი არის სპორადულად გაწყლიანებული. მასივის მონოლითური აგებულების ზონებში წყლის შემცველობა ნაკლებია, ხოლო შედარებით დარღვეული ანუ მეტი ღრულობის მქონე ზონები წარმოადგენებ მიწისქვეშა წყლების თავისებურ კოლექტორს და მეტად არის გაწყლიანებული. ნაპრალური წყლების გამოვლენას ადგილი ექნება გვირაბის გაყვანის დროს, ძირითადად წვეთვის სახით. გვირაბში წყლის მოდენის ინტენსივობა დამოკიდებული იქნება მასივის დანაწევრების ხარისხზე მის ამა-თუ იმ მონაკვეთში. უკლაზე დიდი რაოდენობით წყალმოდენას ადგილი ექნება ტექტონიკური რღვევებიდან, ნაპრალებიდან და მათი ზონებიდან, სადაც ქანების ნაპრალიანობა მომატებულია;
5. საპროექტო საავტომობილო გვირაბის განლაგების მონაკვეთი ეროზიული და მეწყრული მოვლენების აქტიური მიმდინარეობით გამოირჩევა, რაც წლების განმავლობაში ხელს უშლის საავტომობილო გზის ნორმალურ ფუნქციონირებას. აქ პარალელურად მიმდინარეობს ეროზიული და მეწყრული მოვლენები და ისინი ერთიმეორის მასტიმულირებელ როლს ასრულებენ ფერდობის დენუდაციის უწყვეტ პროცესში. ცალკეული მეწყრული მოვლენები ერთ საერთო მეწყრულ მოვლენაში ერთიანდება და ერთი მთლიანი მეწყრის სახით წარმოგვიდგება ფერდობის მთელ სიმაღლეზე, გზის ქვემოთ მდ. ენგურამდე და გზის ზევით 440 მ-მდე მანძილზე, 200-250 მ. სიგანის ზოლის სახით. იგი თავის მხრივ წარმოადგენს მხოლოდ შუა და ზედაპირულ ნაწილს იმ სტრუქტურული (ტექტოსეისმოგენური) მეწყრისა, რომელიც მდ. ენგურის ხეობის მარჯვენა ფერდობის ამ მონაკვეთზეა განვითარებული კლდოვან მასივში და რომელიც ამჟამად, საგარაუდოდ, სტაბილიზირებულ მდგომარეობაშია;
6. გვირაბის გაყვანის პროცესში ხელისშემსრულებლები ფაქტორს წარმოადგენს კლდოვანი მასივის ნაპრალიანობა, თხელი და ფურცლოვანი შრეებრიობა, მისი დანაწევრებულობა ტექტონიკური რღვევებით და მისი გაწყლიანება. აღნიშნულ ფაქტორთა გავლენით მასივის ხარისხი არის IV (ცუდი) და V (ძალიან ცუდი). მასივის ასეთი ხარისხი მიუთითებს გვირაბის თაღიდან და კედლებიდან ქანების გარკვეული მასის ბლოკების ჩამონგრევის შესაძლებლობას, რის გამოც გვირაბის გაყვანა უნდა მოხდეს შესაბამისი ტექნოლოგიით (გაყვანა მოკლე მონაკვეთებად, საჭირო შემთხვევაში თაღისა და კედლების დაანკერებით, ამ მონაკვეთების დაუყოვნებელი გამაგრებით და სხვა); გვირაბის გაყვანისას მოსალოდნელია გრუნტის წყლების გამოვლენა უპირატესად წვეთვის, ზოგჯერ წვრილი ჭავლების სახით, არ არის გამორიცხული მხელოვანი და/ან ფეთქებადსაშიში გაზების, აგრეთვე სამთო წნევების გამოვლენა;

7. წყლების აგრესიულობის დასადგენად შესრულებულია წყლის სინჯების ქიმიური ანალიზი და განსაზღვრულია მათი აგრესიულობის ხარისხი სამშენებლო კონსტრუქციების ბეტონისა და არმატურისადმი. ქიმიური ანალიზი გაუკეთდა საკვლევ უბანზე არსებული წყაროებიდან აღებულ წყლის სინჯებს, პორიზონტალურ ჭაბურლილში გამოვლენილ წყალს და ზედაპირული წყლების სინჯებს. ქიმიური ანალიზის შედეგების მიხედვით, გარემოში არ არის გამოვლენილი არავითარი აგრესიულობა წყალშედწევადობის მიხედვით არცერთი მარკის ბეტონისადმი, იგი ხასიათდება სუსტი აგრესიულობით რკინაბეტონის არმატურისადმი, მისი პერიოდულად დასველების შემთხვევაში;
8. ამჟამად შესრულებული კვლევების მიხედვით, უბანზე ხიდის მოწყობის ვარიანტის შესახებ შეიძლება ითქვას შემდეგი: ხიდის დასავლეთი ბურჯის განლაგების ადგილი წარმოადგენს ტექტონიკური რდვევით გამოყოფილ ბლოკს, რომლის ქვევით, ციცაბო ფერდობზე, მიმდინარეობს აქტური ეროზიულ-დენუდაციური პროცესები, რაც საგარაუდოდ აღნიშნული ბლოკის ქვედა ნაწილის თანდათანობით ჩანგრევასთან უნდა იყოს დაკავშირებული. თუ გავითვალისწინებთ ზოგადად უბნის ტექტონიკურ ბლოკებს აგებულებასაც, წინასწარი მონაცემებით ცხადი ხდება, რომ ხიდის განლაგების ზოლი მთლიანობაში არასტაბილურია, რაც ეჭვება აყენებს მისი მოწყობის შესაძლებლობას;
9. საქართველოში ამჟამად მოქმედი სამშენებლო ნორმებისა და წესების - „სეისმომედეგი მშენებლობა“ (პნ 01.01-09) მიხედვით, სამშენებლო უბნის სეისმურობა, MSK64 სკალის შესაბამისად, არის 9 ბალი.

## გრაფიკული ნაშროვი

რიგითი №	ნახაზის დასახელება	ნახაზის №	ფურცლების რაოდენობა
1	საინჟინრო-გეოლოგიური რუკა, მასშტაბი 1:4000	GC-1838-1	1
2	გვირაბის გრძივი საინჟინრო-გეოლოგიური ჭრილი, მასშტაბი 1:1000	GC-1838-2	3
3	გვირაბის განივი საინჟინრო-გეოლოგიური ჭრილები, მასშტაბი 1:1000	GC-1838-3	17

# საინჟინერო-გეოლოგიური კუპა



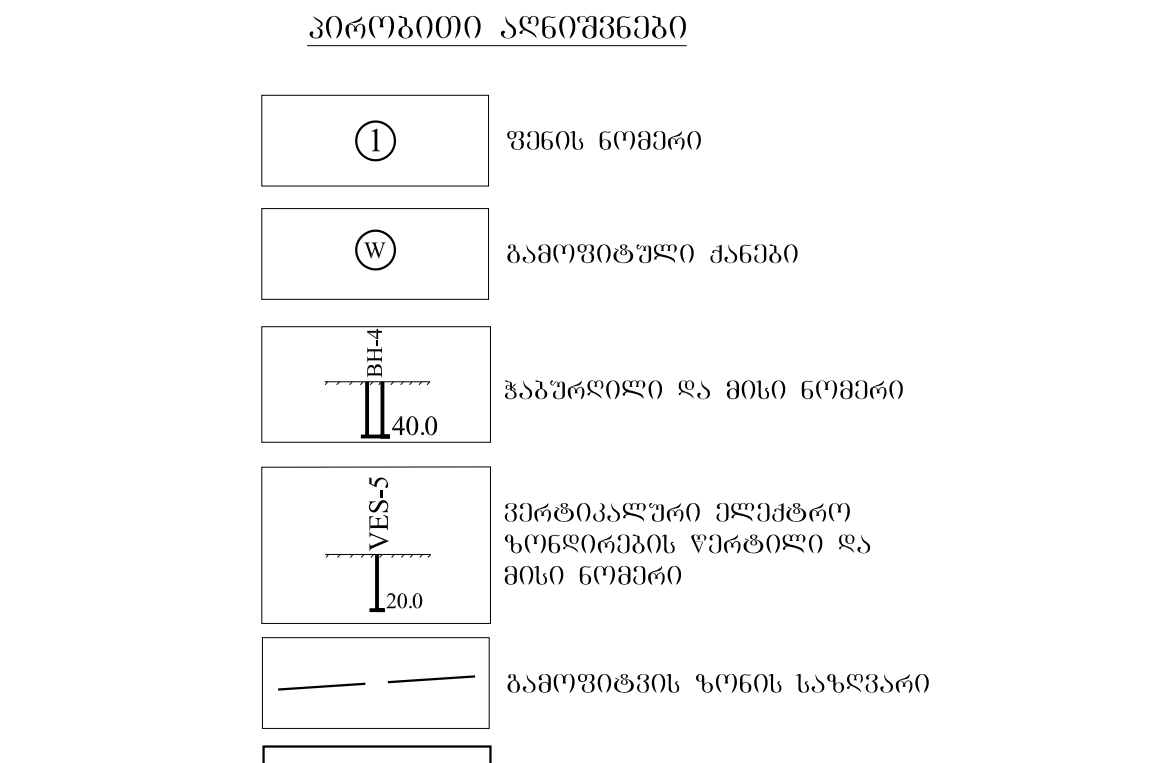
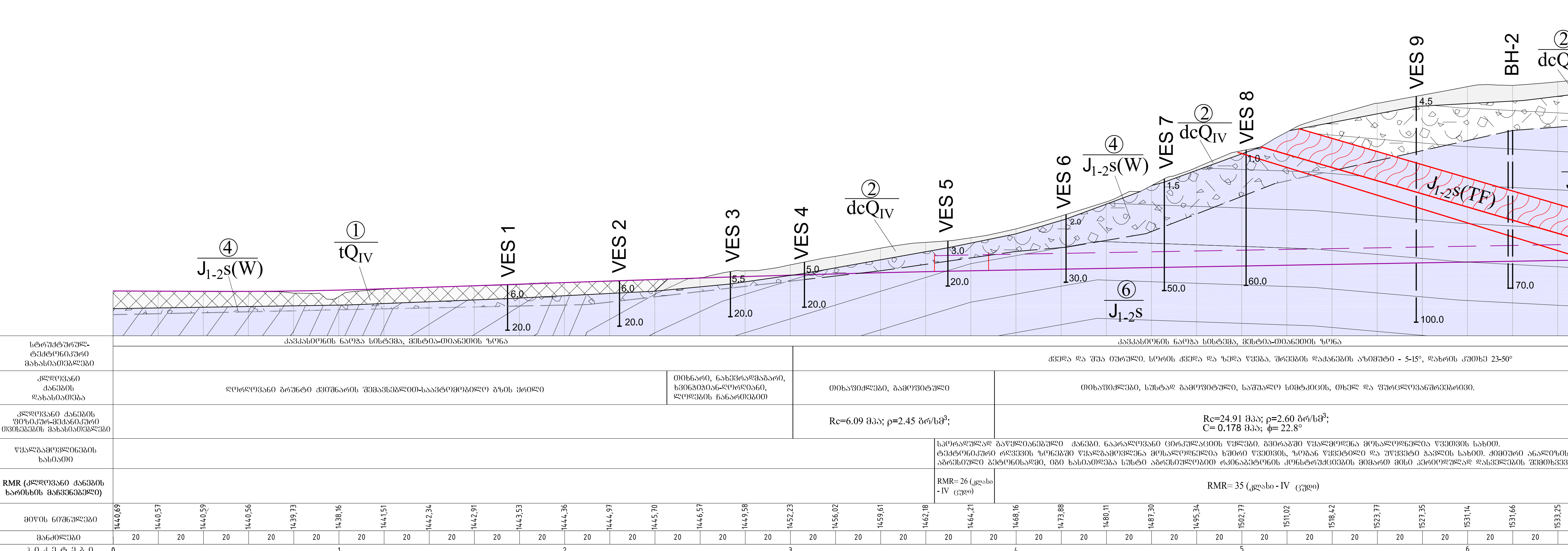
გრუნტების საინჟინერო-გეოლოგიური კლასიფიკაცია

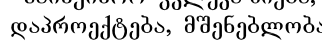
ჯგუფი	ქვეჯგუფი	პირდისით აღნიშვნა და გეოლოგური ინდიკაცია	გრუნტების აღწერა
არაკლდოვანი გრუნტები			
სელოფენური	ყრილი	tQ <sub>IV</sub>	დორდივანი გრუნტი ქვამნარის შემავსებლით-სააგრემობილი გზის ყრილი
დანალექი მეუკემებრივ ბენზინი	ფარგლები ფარგლები ფარგლები	dcQ <sub>IV</sub>	თიხნარი, ნახევრადმაგარი, ხვინჭისან-ლორდიანი, ლოდების ჩანართებით
კლდოვანი გრუნტი			
მეტამორფული მეტამორფული რეზისი	რეგიონალურ- მეტამორფული რეზისი	J <sub>1-2</sub> S	ქვედა და შეკრიურებული სირიანი ქვედა და ზედა წყლის თანაფიქლები, თხელ და ფურცლოვან მრეცებით.

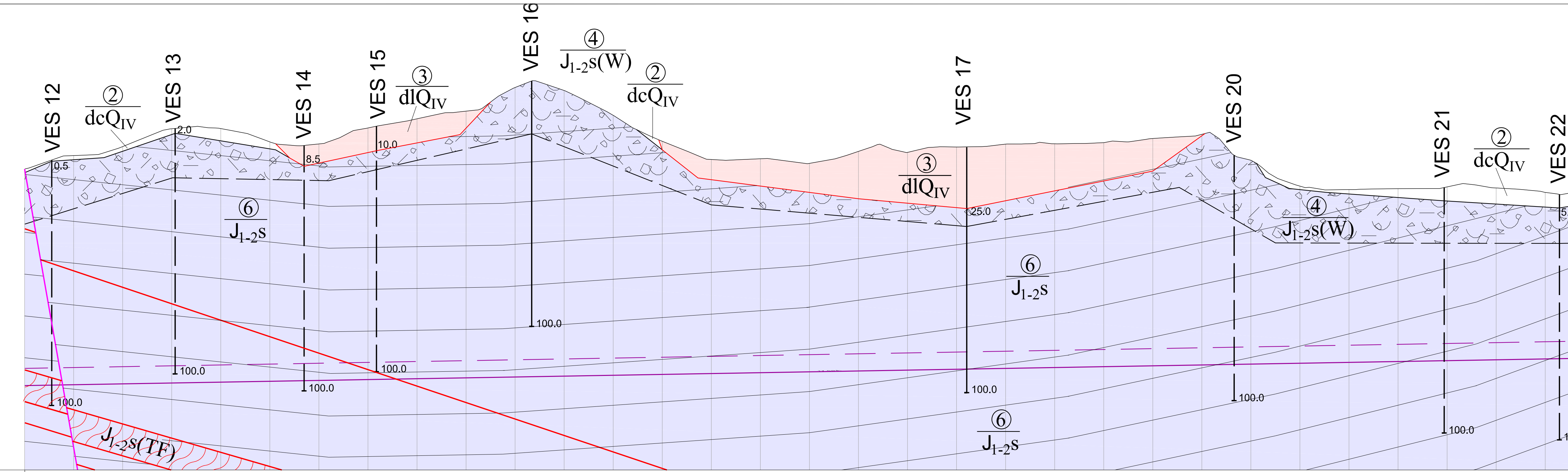
პირობითი აღნიშვნები

- საპროექტო ლერძი
- შრის მიმართება, დაანალიზი და დახრის კუთხები
- ტექტონიკური რღვევა
- მელის სტრუქტურული (სეისმო)ტექტონიკური, სტაბილუზორებული
- მელის დენადპლატიკური, აპტიური
- დახრამავა
- ქაცვება
- ზედაპირული რეალის ნაპარები
- დატბორვა
- სჭარი
- BH-4 ჰაუზირდილი და მისი ნომერი
- VES-24 ვერტიკალური ელექტრონიკური ვერტიკალური და მისი ნომერი
- 12 კლდოვანი ქანის ნახევა და მისი ნომერი
- ▲ 27 ნიმუშის აღგას ადგილი და მისი ნომერი
- 2 რყალის სინქის აღგას ადგილი და მისი ნომერი
- საძლვარი გეოლოგიურ მონიტორინგს შორის
- J<sub>1-2</sub>S გეოლოგიური ინდენსი
- განივი საინჟინერო-გეოლოგიური ჰიდროგრაფი

**გრაფიკი საინჟინერო-გეოლოგიური  
ჭრილი**



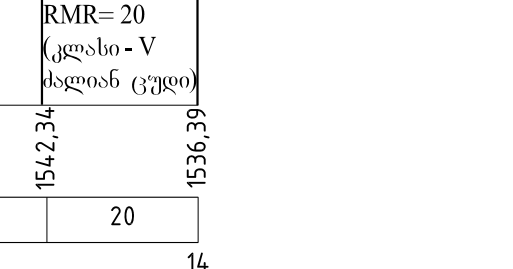
<p><b>შპს ჯეოინჰინირინგი</b> საინჟინრო კვლევა-მიება, დაპროექტება, მშენებლობა</p> 	<p>ზუგდიდი-მესტია-ლასდილის საავტომობილო ბზის 116 პზ-ზე მეწყრული მონაკვეთის ასაძლევი გვირაბის სამშენებლო უბნის საინჟინერო-გეოლოგიური გამოკვლევა.</p>
<p>გვირაბის ბრძივი საინჟინრო- გეოლოგიური ჰიდროგეოლოგი</p>	<p>GC-1838-2 ფარცხელი №1   რაოდენობა-</p>
<p>მასშტაბი 1:1000</p>	<p>თარიღი: 2018 წელი</p>

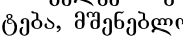


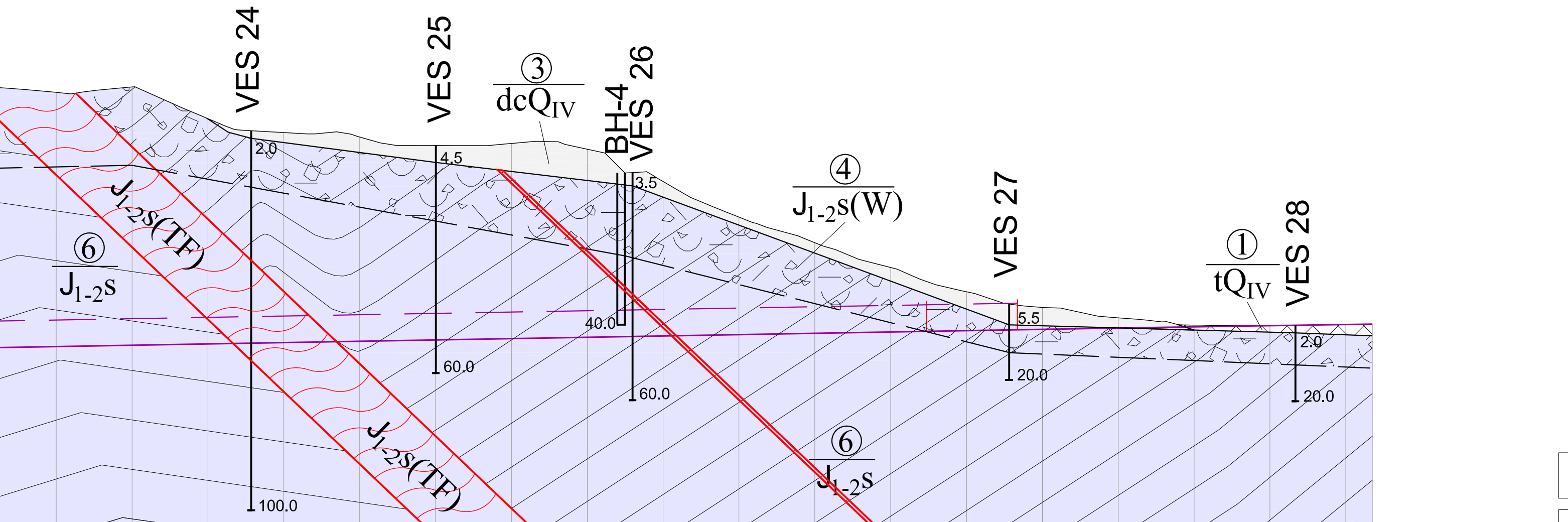
სტრუქტურულ-ფიზიკური მახასიათებლები		გავასიონის ნაოჭა სისტემა, მშენებელის ზონა		გავასიონის ნაოჭა სისტემა, მშენებელის ზონა	
ტეპტონიური მახასიათებლები	ტეპტონიური დახ.აზ.-30° დახ.კუ.30°	გვედა და შუა 0°-ზღვლი. სორის გვედა და ზედა ყვება. შრევების დაძანების აზიმუტი - 350-5°, დახრის კუთხე 13-20°	ტეპ. რეგ. ზონ. დახ. აზ. - 30°, დახრ. კუ. 30°	გვედა და შუა 0°-ზღვლი. სორის გვედა და ზედა ყვება. შრევების დაძანების აზიმუტი - 350-10°, დახრის კუთხე 12-23°	გვედა და შუა 0°-ზღვლი. სორის გვედა და ზედა ყვება. შრევების დაძანების აზიმუტი - 350-10°, დახრის კუთხე 12-23°
კლდოვანი ქანების დახასიათება	თიხავი- ქლები	თიხავიქლები, სუსტად ბამოვიტული, საშუალო სიმტკიცის, თხელ და ფურცლოვანშრევები.	თიხავიქლები რღვევის ზონიდან,	თიხავიქლები, სუსტად ბამოვიტული, საშუალო სიმტკიცის, თხელ და ფურცლოვანშრევები.	თიხავიქლები, სუსტად ბამოვიტული, საშუალო სიმტკიცის, თხელ და ფურცლოვანშრევები.
კლდოვანი ქანების ვიზუალურიკანიკური ვისტრების მახასიათებლები	Re=4.39 θპ; ρ=2.39 φ=22.8°	Re=24.91 გვპ; ρ=2.60 გრ/სგ <sup>3</sup> ; C= 0.178 გვპ; φ= 22.8°	Re=4.39 გვპ; ρ=2.39 გრ/სგ <sup>3</sup> ;	Re=24.91 გვპ; ρ=2.60 გრ/სგ <sup>3</sup> ; C= 0.178 გვპ; φ= 22.8°	Re=24.91 გვპ; ρ=2.60 გრ/სგ <sup>3</sup> ; C= 0.178 გვპ; φ= 22.8°

ტექნიკური რდების ზონებში ყვალგამოვლენა მოსალოდნელია ხშირი ფაქტოს, ზოგან ფაქტი და უწვეტი ჰავლის სახით

ქიმიური ანალიზის მიხედვით წყალი არარის აბრესიული გეტონისადმი, იგი ხასიათდება სუსტი აბრესიულობით რაზეაგეტონის კონსტრუქციების მიმართ მისი კერიოდულად დასგელების შემთხვევაში

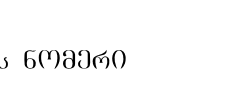


	<b>საინჟინრო კვლევა-მიება, დაპროექტება, მშენებლობა</b>  <b>გზის 116 პლ-ებ მეტყუდი მონაკვეთის ასაძლევი ბვირაბის სამშენებლო უნის საინჟინრო-გეოლოგიური გამოკვლევა.</b>
<b>ბვირაბის ბრძივი საინჟინრო- გეოლოგიური ჰრილები</b>	<b>GC-1838-2</b> <div style="display: flex; justify-content: space-around; align-items: center;"> <span>ფარველი №2</span> <span>რაოდენობა:</span> </div>
<b>მასშტაბი 1:1000</b>	<b>თარიღი: 2018 წელი</b>

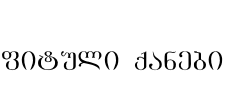


უფი	ქვეჯგუფი	პირობითი აღნიშვნა და გეოლოგიური ინდექსი	სტე №	გრუნტების აღწერა
ვნერი	ყრილი	$tQ_{IV}$	1	დორდოვანი გრუნტი ქვიშნარის შემავსებლით-სააგტომობილო გზის ყრილი
ლექი მენტ- კო	მტკნარ- თისებანი მტკნარი	$dcQ_{IV}$	2	თიხნარი, ნახევრადმაგარი, ხეინჭიჭიან-ლორდიანი, ლოდების ჩანართებით
	მტკნარი	$dlQ_{IV}$	3	თიხნარი, დენადპლასტიკურიდან-რბილპლასტიკურამდე, ხეინჭიჭიან- ლორდიანი, კენჭების, კაჭარის და ლოდების ჩანართებით
ივანი გრუნტები				
უფი	ქვეჯგუფი	პირობითი აღნიშვნა და გეოლოგიური ინდექსი	სტე №	კლდოვანი ქანების აღწერა
ტექნიკური მეტამორფუ- ლური	რეგიონალურ- მეტამორფოგეოლოგიური	$J_{1-2}s(W)$	4	ქვედა და შეა იურული. სორის ქვედა და ზედა წყება. თიხაფიქლები გამოფიტული, მცირე სიმტკიცის, თხელ და ფურცლოვანშრეებითი
		$J_{1-2}s(TF)$	5	ქვედა და შეა იურული. სორის ქვედა და ზედა წყება. თიხაფიქლები რღვევის შესუსტებული ზენიდან, დადაბლებული სიმტკიცის და მომატებული ნაპრალოვნებით
		$J_{1-2}s$	6	ქვედა და შეა იურული. სორის ქვედა და ზედა წყება. თიხაფიქლები, სუსტად გამოფიტული, საშეალო სიმტკიცის, თხელ და ფურცლოვანშრეებითი

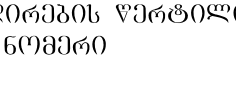
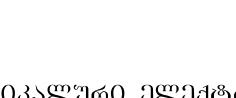
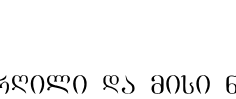
ეპილოგი



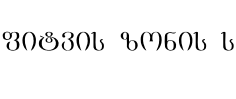
၁၂၆



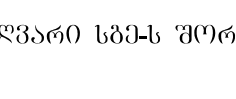
ՅՈՒԹԱԾՈ ԺԱՆՈՒԱՐ



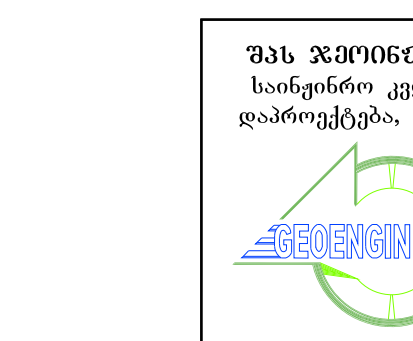
6000



## ՅՈՒԹՅՈՒՆ ՎԵՐԱԲԵՐՅԱԼ Ե



2020 RELEASE UNDER E.O. 14176



**ANSWER**

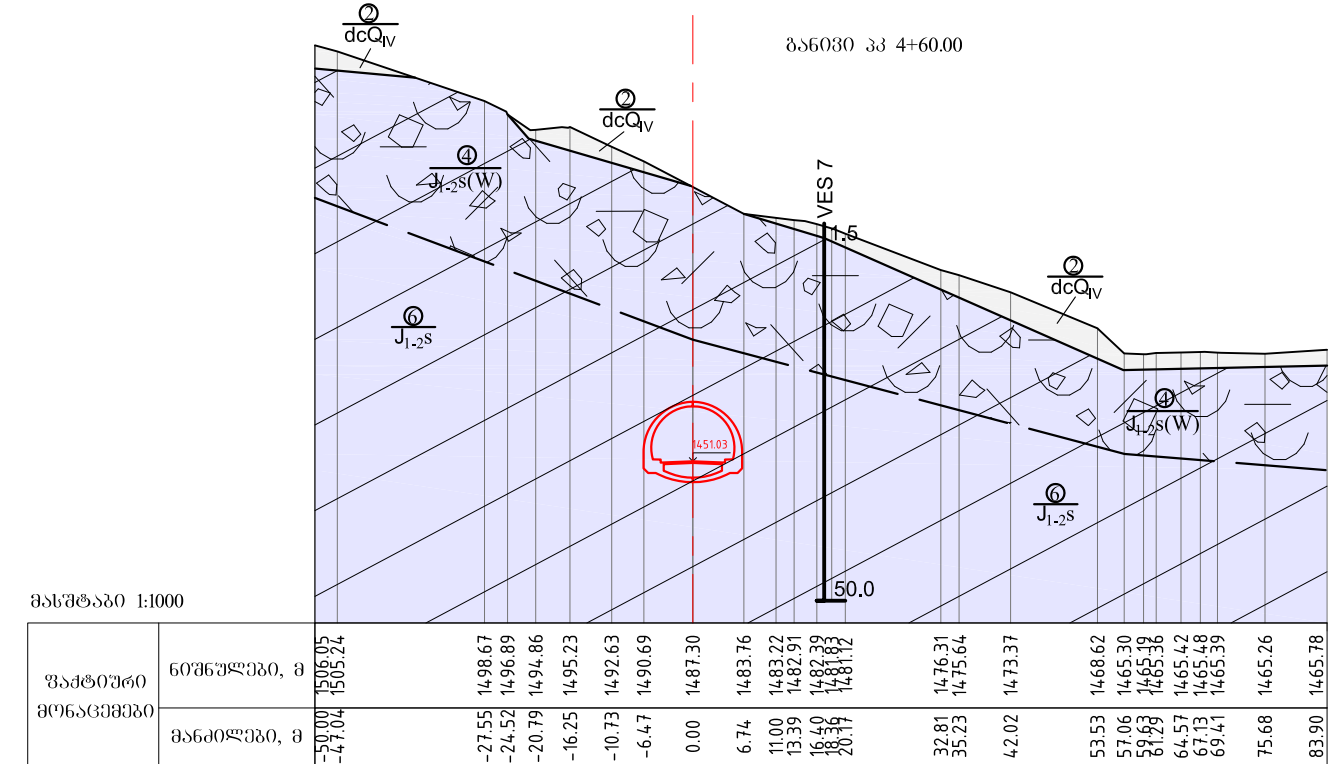
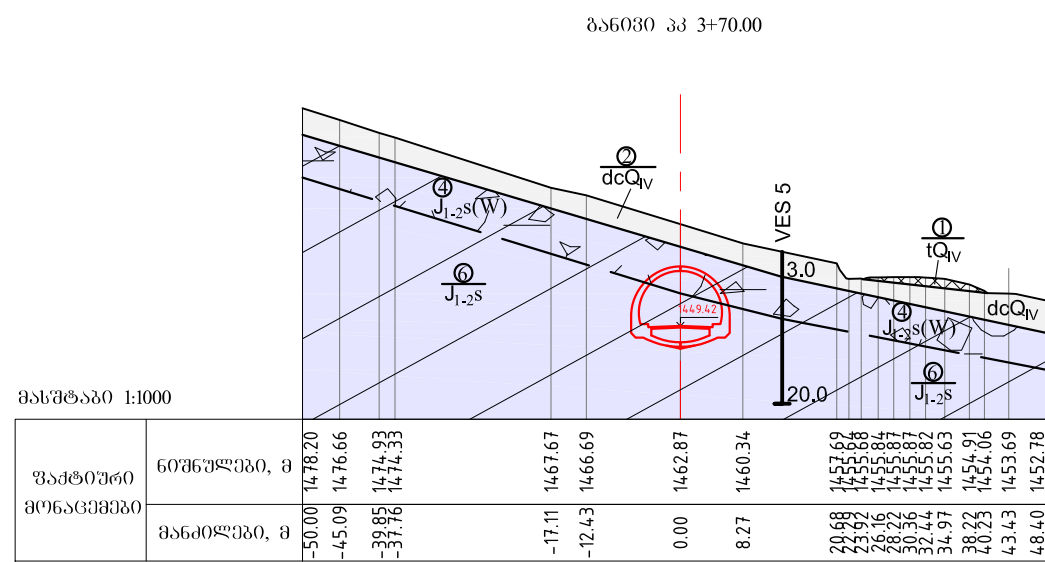
სირთულები მეცნიერება, ენგენიერობა	ზუგდიდი-მესტია-ლასდილის საავტომობილო გზის 116 კმ-ზე მეტყრული მონაკვეთი ასაძლევო გვირაბის სამშენებლო უბნის სამუშაოების განვითარებისათვის გამოყენება
---	---

© 2024 All rights reserved. This material may not be reproduced without the express written consent of the author.

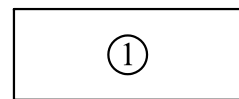
გვირჩების გრძელვა საინჟინორო- GC-1838-

000-123-00000-00000 | გვ. 3 გვ. 1

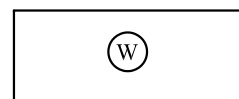
**განივი საინჟინერო-გეოლოგიური  
ჭრილები**



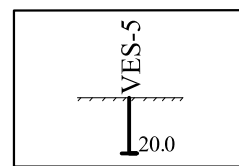
ՀՅԴՐԱԳՐՈՒԹԻՒՆ ՀԸՆՈՑՑԵՑՈ



ვენის გოგერი



გამოვიტული ქანები



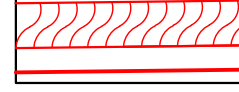
ვერტიკალური ელექტრო  
ზონდირების ვერტიკალი და  
მისი ნომერი



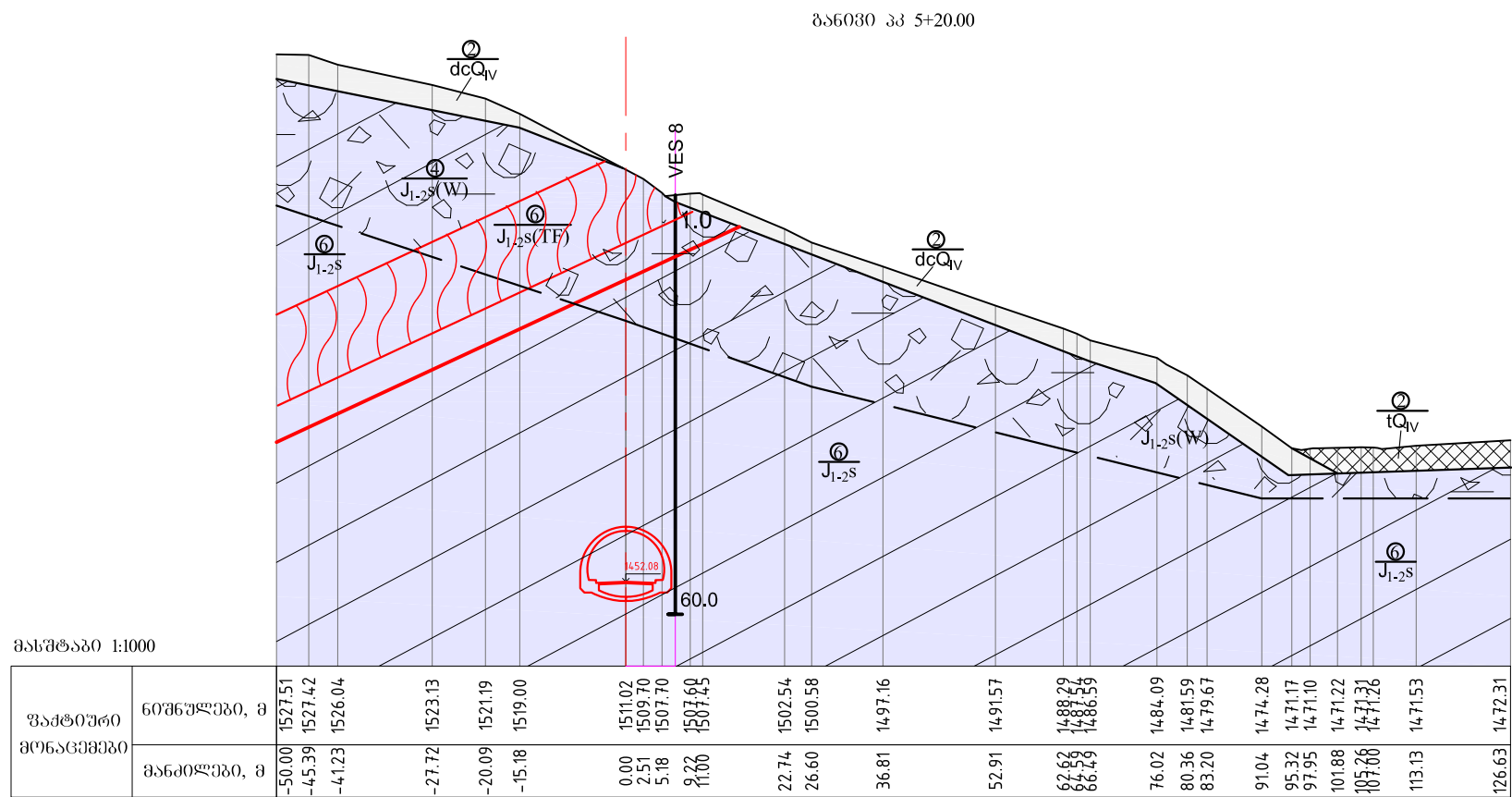
გამოვიტების ზონის სახლები



საზღვარი სგა-ს შორის



Digitized by srujanika@gmail.com



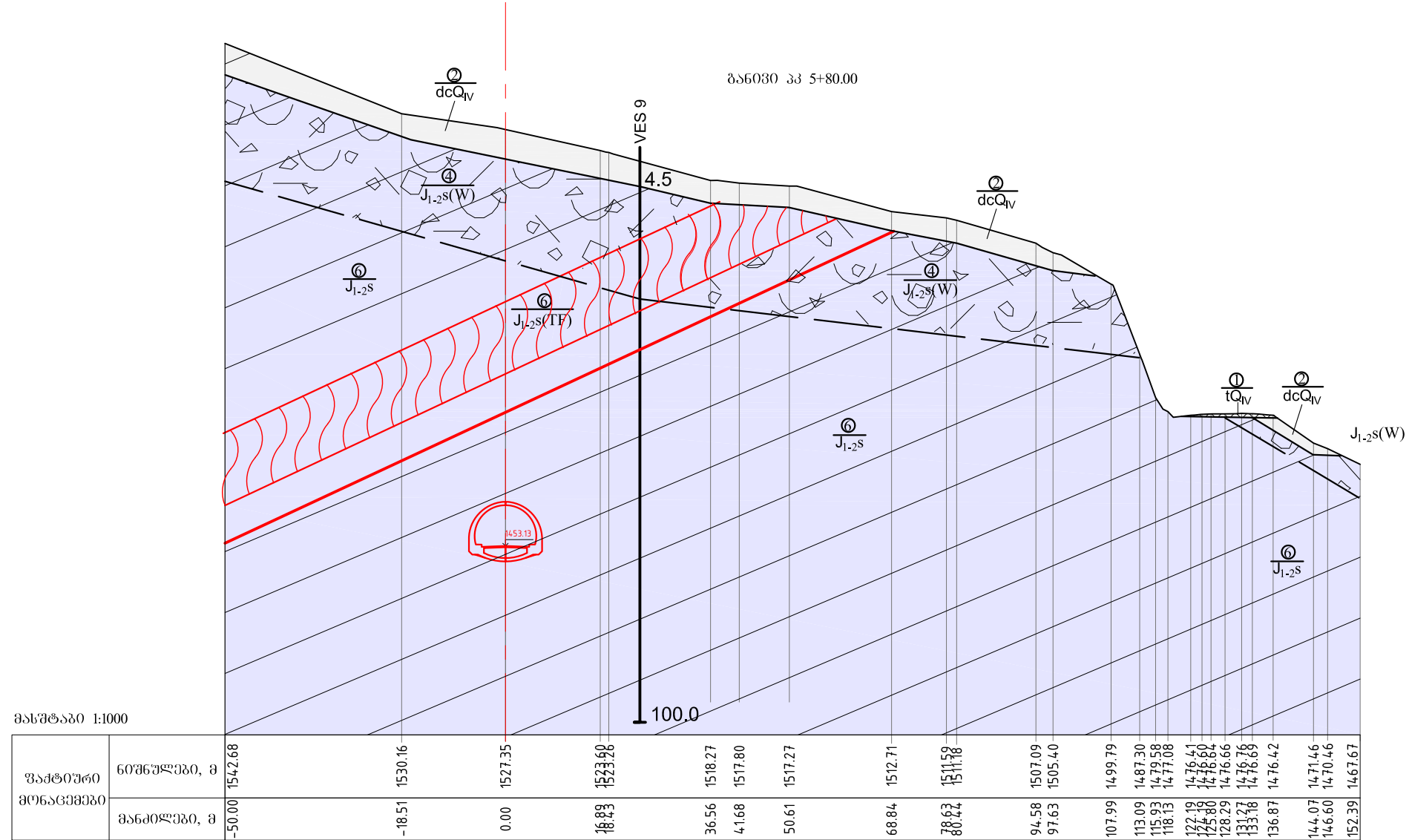
შპს ჯეოინირინგი  
საინჟინრო კოლეგია-მიება,  
დაპროექტება, მშენებლობა

ზუგდიდი-გესტია-ლასღილის საკუთრომობილო  
გზის 116 პზ-ზე გეღვრული მონაბეჭის  
ასაქცევი გვირჩაბის სამშენებლო უბნის  
საინიციატივულო გამოცვლებისა.

გვირაბის განვითარებულ სამსახურო-გეოლოგიური ჟრილები

შროლი პა 3+70, ჰროლი პა 4+60 GC-1838-3  
 ღა ჰროლი პა 5+20 ვერცხლი №1 რაოდენობა-17

მასშტაბი 1:1000 | თარიღი: 2018 წელი



### ვერობითი აღნიშვნები

①	გენეს ნომერი
②	გამოვლენი ქანები
VES-9	ვერტიკალური ელექტრო ზონის ნომერი
—	გამოვლენის ზონის საზღვარი
—	საზღვარი სტაციონარი
—	ტექტონიკური რღვევა



შპს ჯეოინჰინირინგი  
საინჟინრო კელევა-ძიება,  
დაპროექტება, მშენებლობა

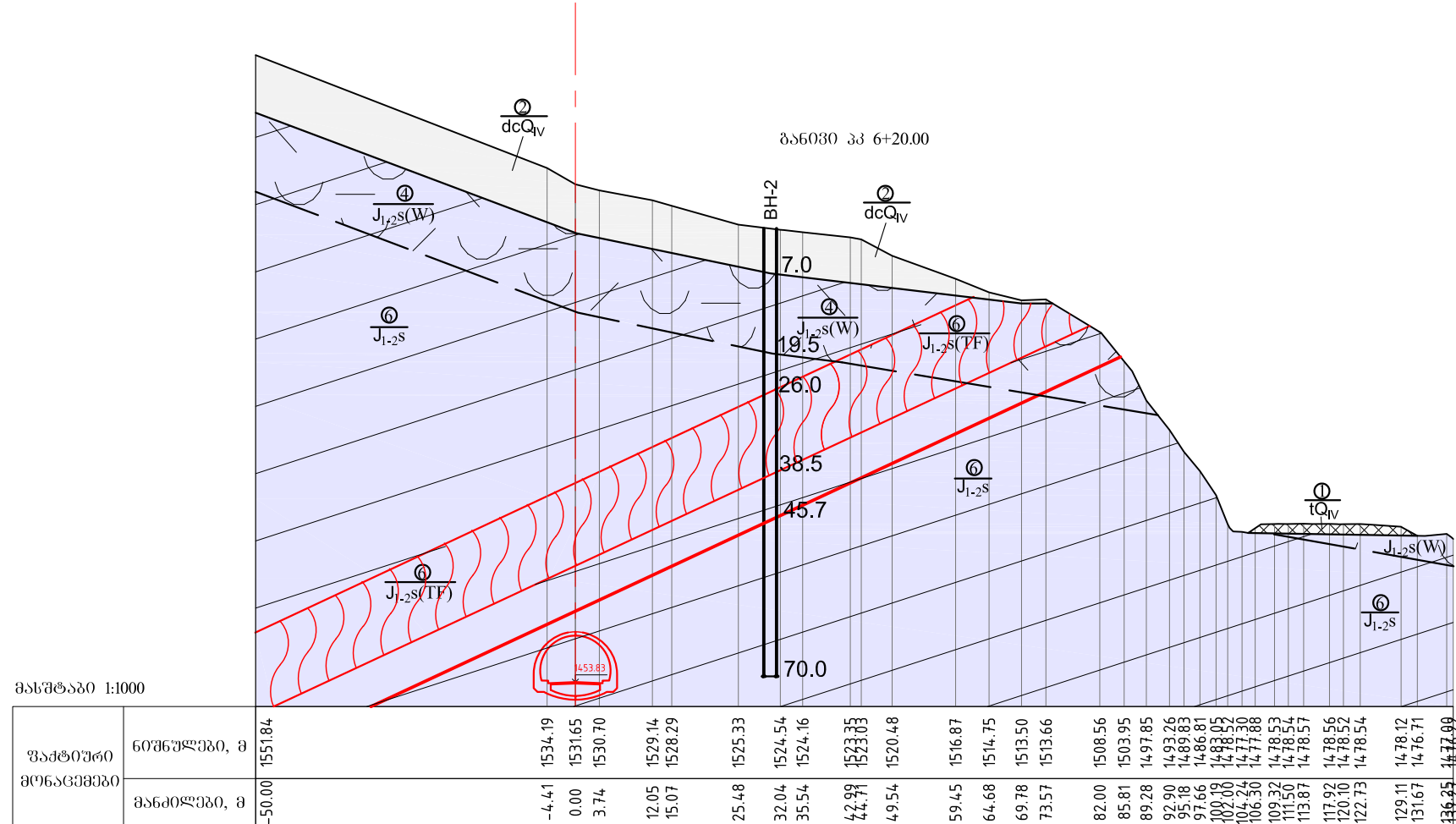
ზუბლიდვი-გესტია-ლასდილის სააპტომობილო  
გზის 116 პ-ზე მესტრული მონაკვეთის  
ასაძლევი გვირაბის სამშენებლო უბნის  
საინჟინრო-გეოლოგიური გამოკვლევა.

გვირაბის განვითარების სამსახური-გეოლოგიური ჭრილები

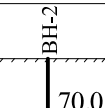
ჭრილი აკ 5+80 GC-1838-3

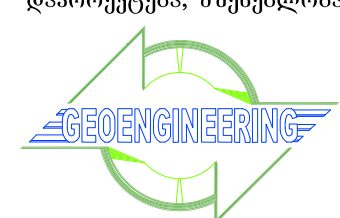
ვერცხლი N2 რაოდენობა-17

მასშტაბი 1:1000 თარიღი: 2018 წელი



კორობითი აღნიშვნები

(1)	ვენის ნომერი
(W)	გამოფიტული ძანები
	ჰაგურლილი და მისი ნომერი
	გამოფიტვის ზონის საზღვარი
	საზღვარი სბე-ს შორის
	ტექტონიკური რღვევა



ଶକ୍ତି ଜୟନ୍ତୀର୍ଣ୍ଣାନୀରେ  
ସାମନ୍ତରୀକୃତ କୁଳଗ୍ରହା-ମିଶ୍ରା,  
ଫାତରୀକୃତ ପାତରୀକୃତ ମହାନ୍ଦୀ

გვირაბის განვითარებული ფორმები

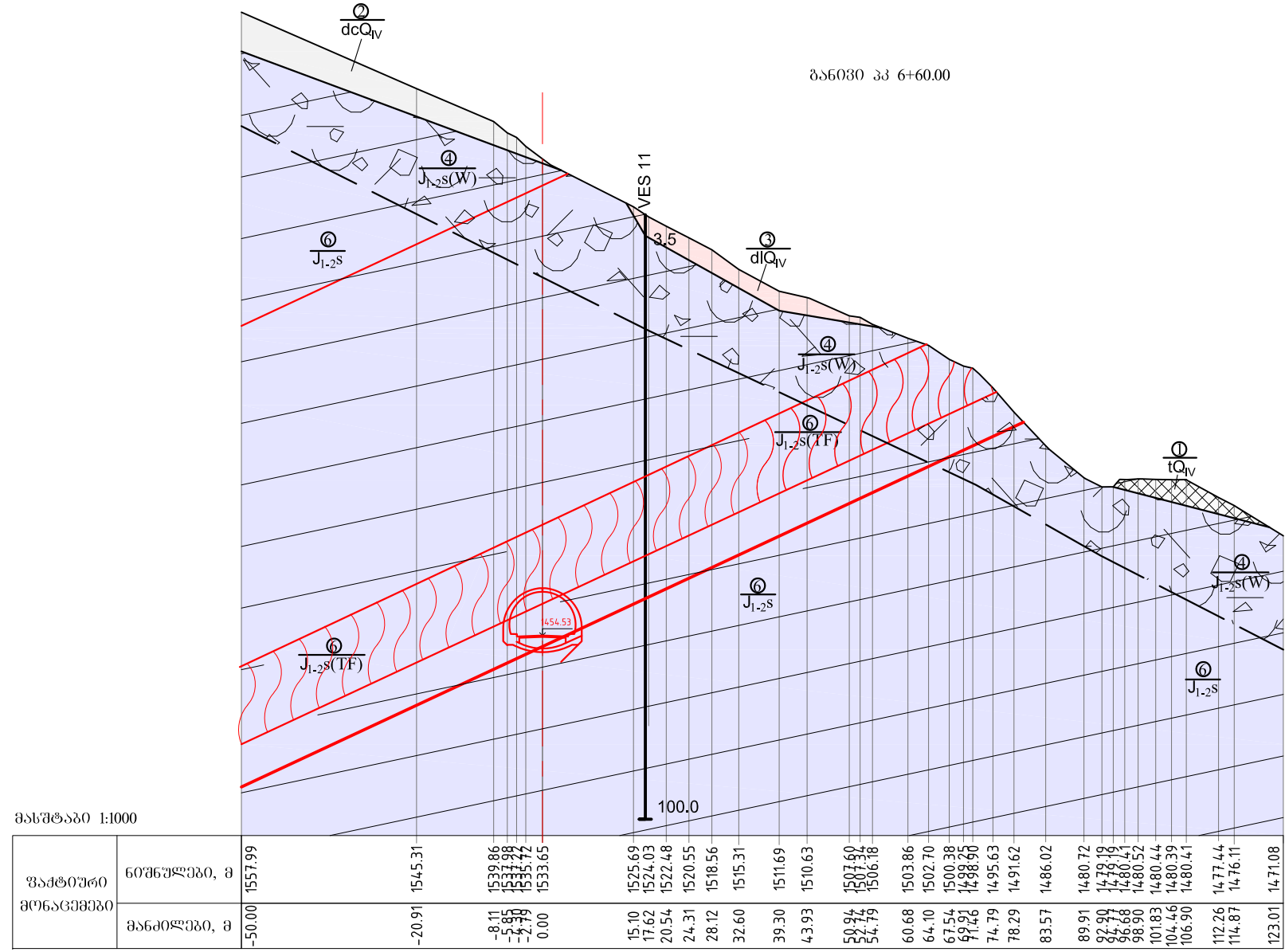
કુલાંગી જી 6+20

GC-1838-

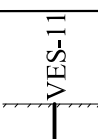
ଓ'ରବେଳୀ №୩ ରାମଲୀବନ୍ଦୀ-୧

გასტატი 1:1000

01.09.2018 10:00



პირობებით აღნიშვნები

(1)	ვენის ნომერი
(W)	გამოვიტყლი ქანები
VES-11  100.0	ვერტიკალური ელექტრო ზონდირების ვერტილი და მისი ნომერი
	გამოვიტყვის ზონის საზღვარი
	საზღვარი სგე-ს შორის
 	ტექტონიკური რღვევა



შპს ჯეოინჟინირინგი  
საინჟინრო კვლევა-ძიება,  
დაპროექტება, მშენებლობა

ზუგდიდი-გევატია-ლასილის საკუთრომობილო  
გზის 116 პა-ზე გეღვერცხლი მონაბეჭის  
ასაქცევი გვირაბის სამშენებლო უბის  
საინიციატივო გეორგილობიური გამოკვლევა.

გვირაბის განვითარებულობის შრიფტი

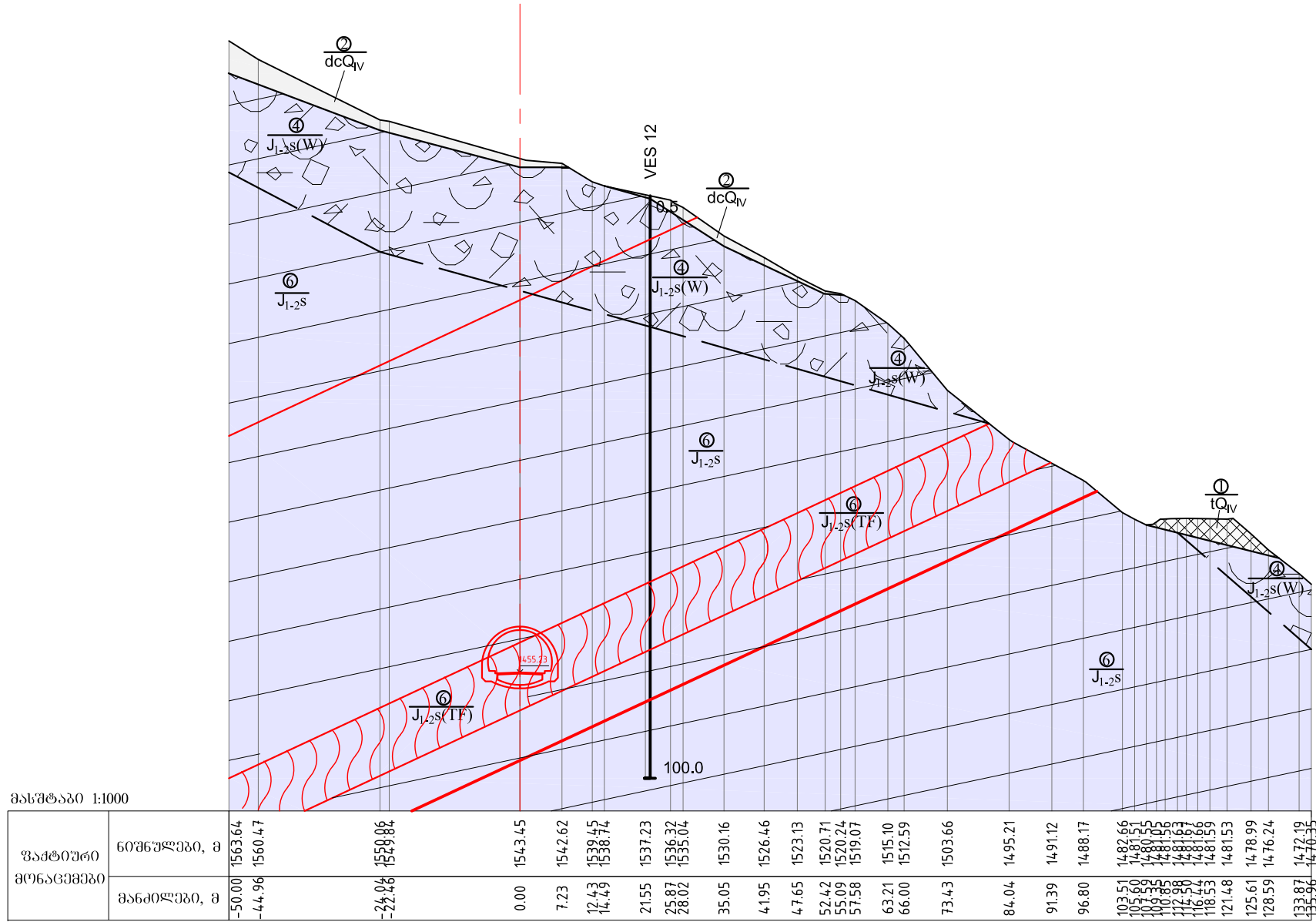
ଫୋଲୋ ପତ୍ର 6+60

ଓଡ଼ିଆ ପ୍ରେସ୍ ନଂ ୫ ରାଜ୍ୟଶବ୍ଦି-୧୮

કાર્યક્રમ 1:1000

ପାତ୍ରମାତ୍ରା 1:1000 ତାରିଖ: 2018 ଅକ୍ଟୋବର

გვ6030 კვ 7+00.00



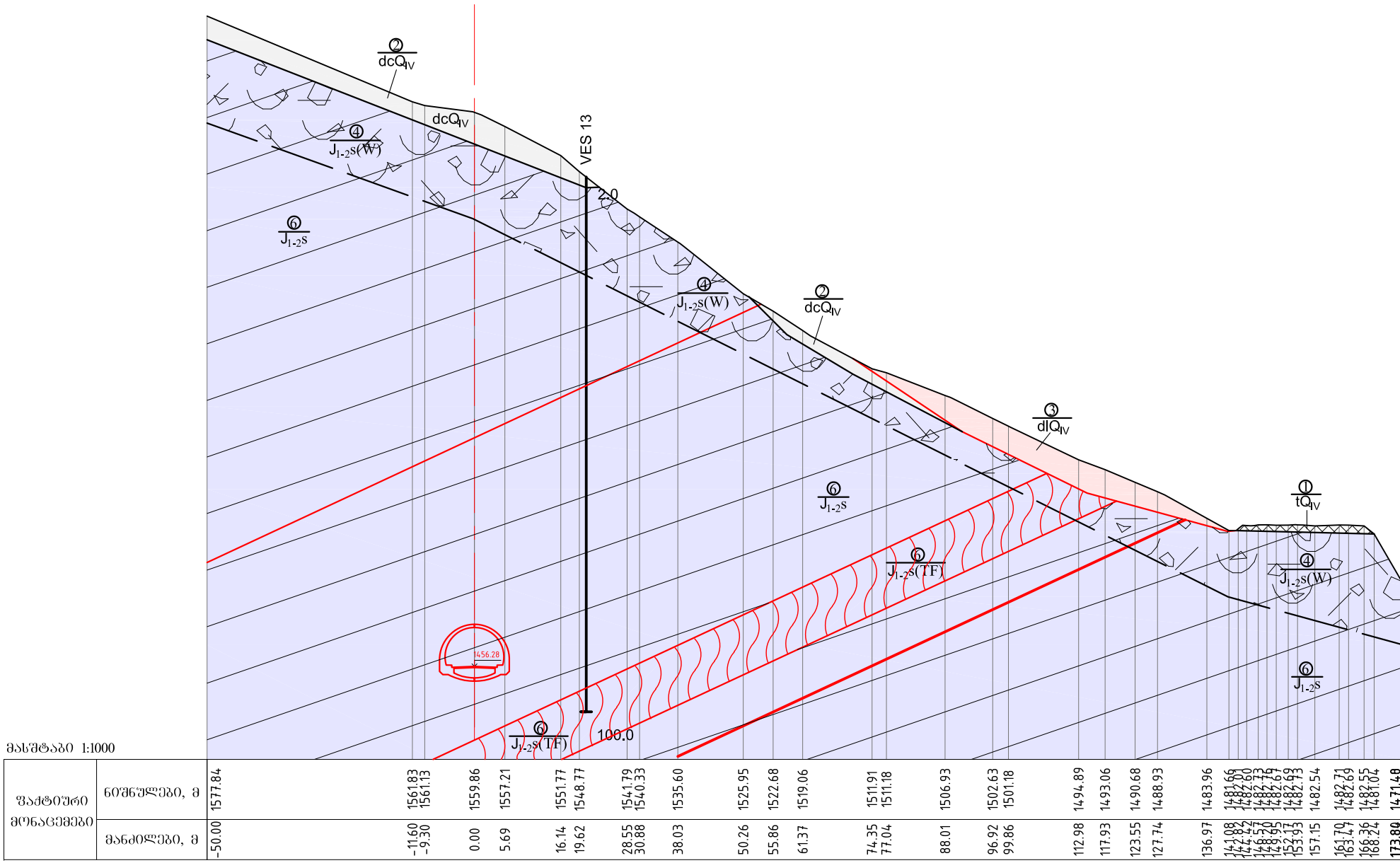
### პირობითი აღნიშვნები

①	განის ნომერი
②	გამოფიტული ქანები
VES-12	ვერტიკალური ელექტრო ზონდირების წერტილი და გისი ნომერი
— — —	გამოფიტვის ზონის სახლვარი
—	საზღვარი სტ-ს მორის
—	ტექონიკური რღვევა



ზუბდიდი-გესტია-ლასდილის სააპტომობილო გზის 116 კმ-ზე მეზრული მონაკვეთის ასაძლევი გვირაბის სამშენებლო უბნის საინჟინრო-გეოლოგიური გამოკვლევა.	
გვ6030 კვ 7+00	
GC-1838-3	ვარცელი №5 რაოდენობა-17
მასშტაბი 1:1000	თარიღი: 2018 წელი

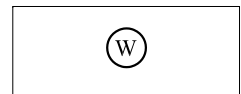
336030 33 7+60.00



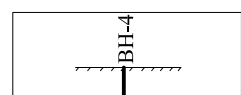
ՀՅՈՒՅՆԻ ԱԺԿՈՑԵՐԸ



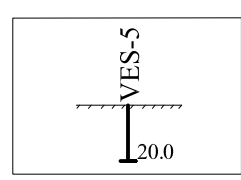
ვენის ლოგო



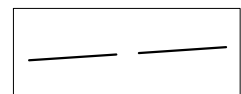
გამოვიტანი ქანები



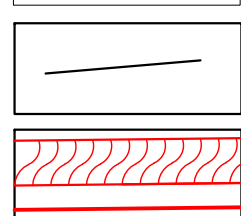
ჰაბურღილი და მისი ნომერი



ՅԵՐԱԿԱՆՈՒՐՈՒԹՅՈՒՆ ԵԼՈՎՔԻՐՈՒԹՅՈՒՆ



გამოფიტვის ზონის სახლვარი



— 18 —

შპს ჯეოინჟინირინგი  
საინჟინრო კვლევა-ძიება,  
დაპროექტება, მშენებლობა



ზუგდიდი-მცხეთია-ლასღილის საკაფეომობრივო  
გზის 116 პმ-ზე მეტყრული მონაკვეთის  
ასაკცევი გვირჩაბის სამუშაოებლო უბნის  
საინჟინერო-გეოლოგიური გამოკვლეული.

გვირაბის განვითარებულ სამსახურო-გეოლოგიური ჰარილები

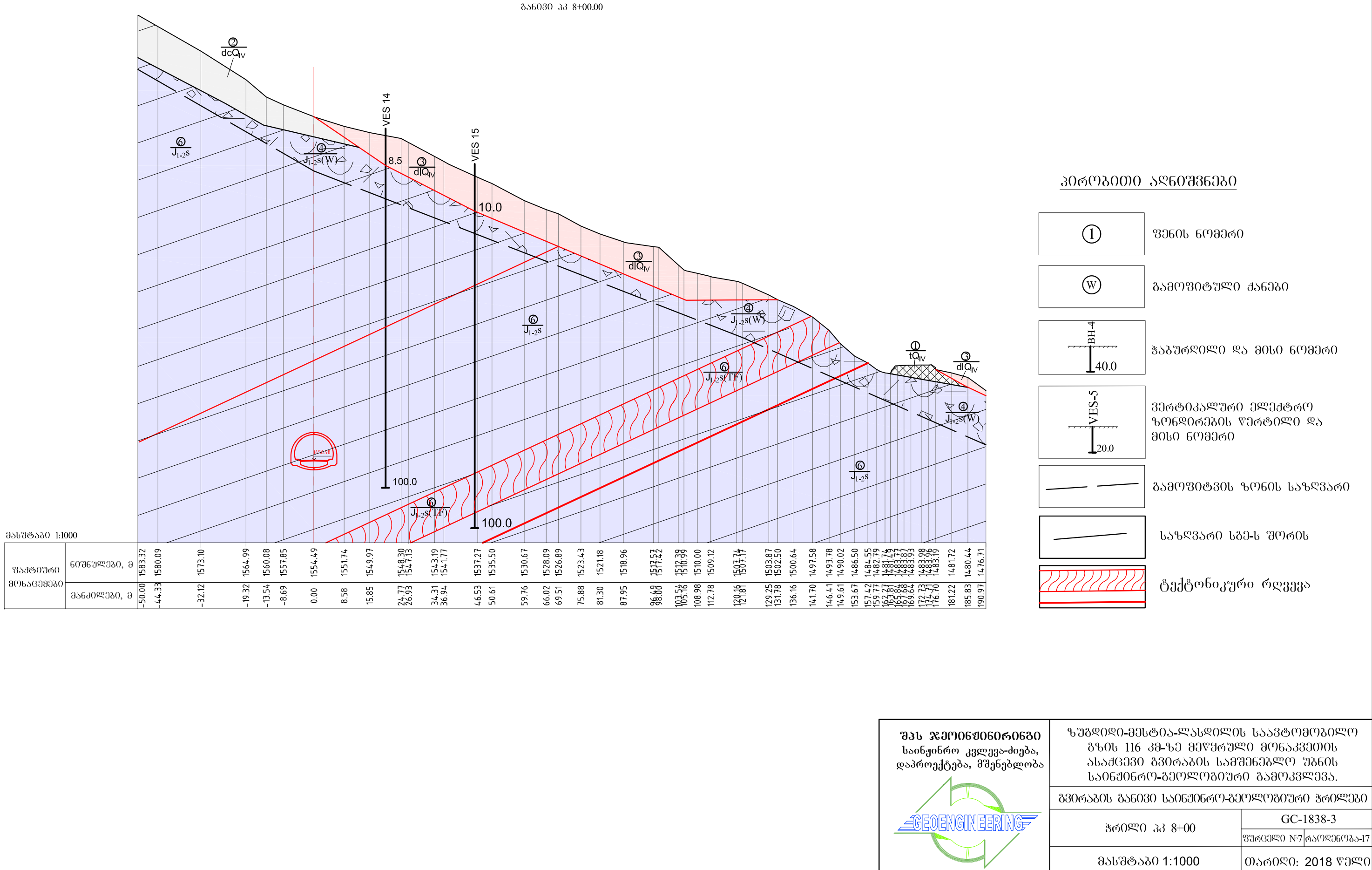
કુરોળો બાબ 7+60

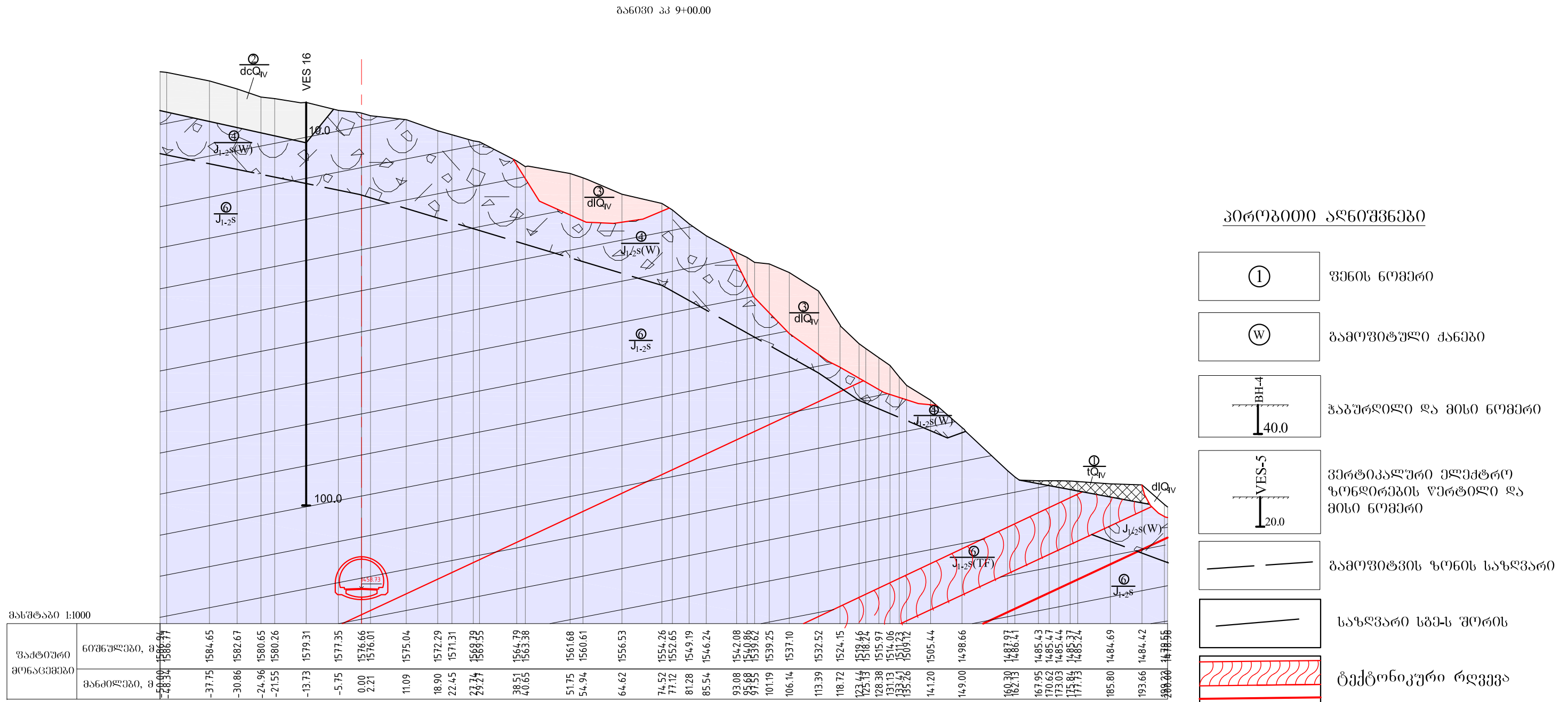
GC-1838

ვარცელი №6 | რაოდენობა-1

გასტაგი 1:1000

თარიღი: 2018 წელი





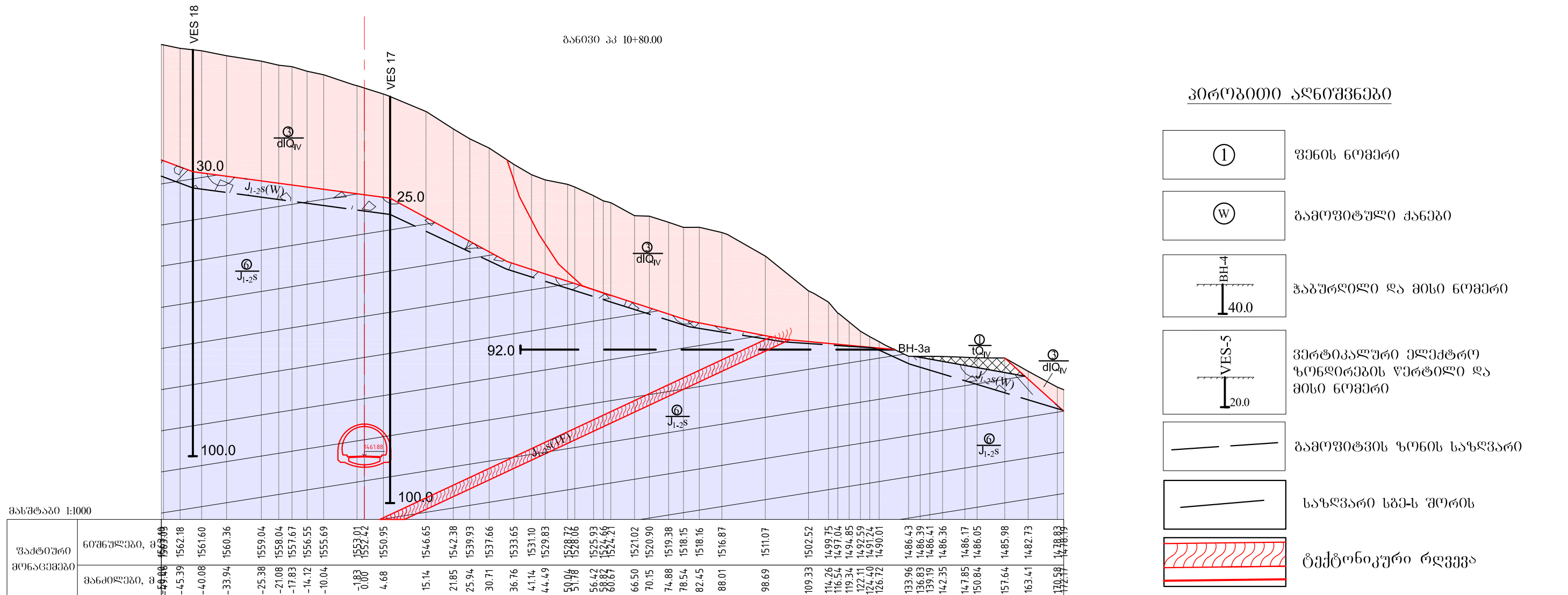
ზუბლიდვი-გესტია-ლასდილის სააპტომობილო  
ბზის 116 პ-ზე მესტრული მონაცემის  
ასამცევი გვირაბის სამშენებლო უპის  
საინჸინრო-გეოლოგიური ბამოვალება.

გვირაბის ბანიზო საინჸინრო-გეოლოგიური ჭრილები

შრილი კვ 9+00 GC-1838-3

ვერცელ N8 რაოდენობა-17

მასშტაბი 1:1000 თარიღი: 2018 წელი



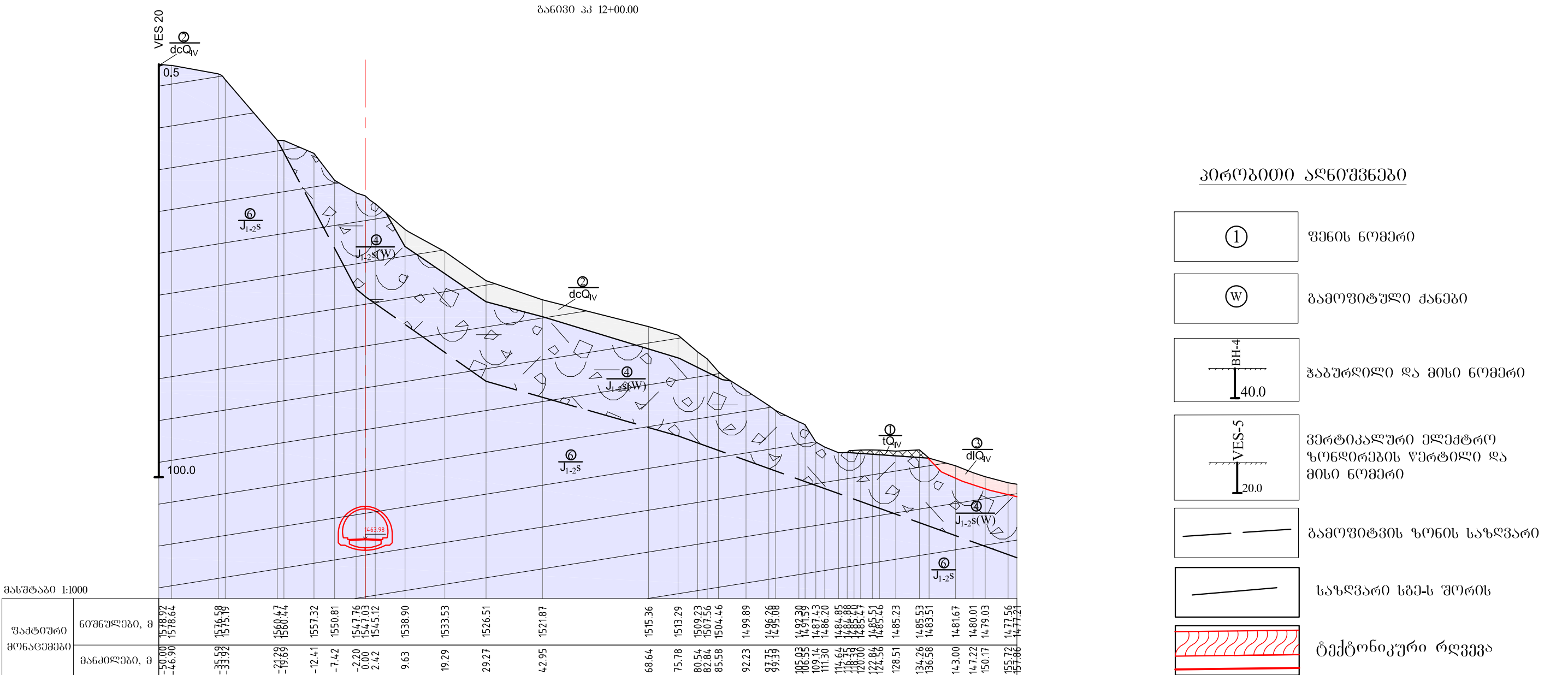
შპს ჯერიხინირიგი  
საინჟინრო კვლევა-ძიება,  
დაპროექტება, მშენებლობა

გვირაბის განვითარებულ სამსახურო-გეოლოგიური ჟრილები

GC-1838-3

ՑԱՐԾԵՎՈՒ ՆՅ9 ՀԱՅՈՂԱԲՈՒԺԱ-1

თარიღი: 2018 წელი



გას ჯონიშვილის  
საინჟინრო კოლეგიუმი,  
დაპროექტება, მშენებლობა

ზუბლიძე-გესტია-ლასლის სააპტომობილო  
გზის 116 პ-ზე მესტრული მონაცემის  
ასახვები გვირაბის სამშენებლო უპის  
საინჟინრო-გეოლოგიური გამოკვლევა.

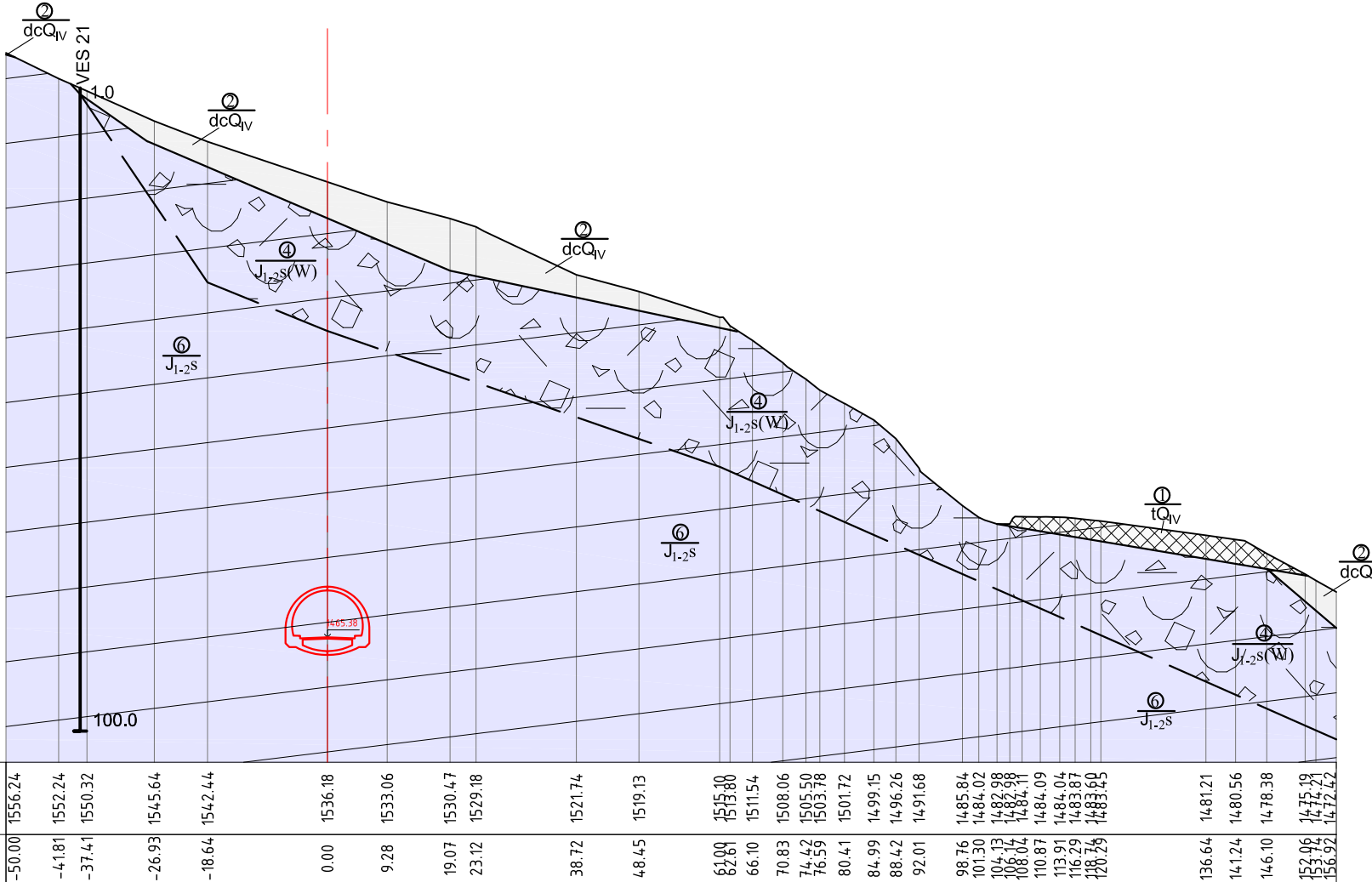
გვირაბის განვითარების გეოლოგიური ჟრილები

შრილი პ 12+00 GC-1838-3

ვარელი N10 რაოდენობა-17

მასშტაბი 1:1000 თარიღი: 2018 წელი

გას6030 კვ 12+80.00



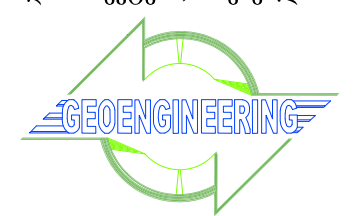
### კორობითი აღნიშვნები

- |       |   |
|-------|---|
| (1)   | ვენის ნომერი  |
| (W)   | გამოფიტული ქანები                                     |
| BH-4  | ჰაბურლილი და მისი ნომერი                              |
| VES-5 | ვერტიკალური ელექტრო ზონდირების წერტილი და მისი ნომერი |
|       | გამოფიტვის ზონის საზღვაო                              |
|       | საზღვარი სტას შორის                                   |

გასშტაბი 1:1000

ვაკტიუმი მონაცემები	60 მეტრი, გ
-50.00	1556.24
-41.81	1552.24
-37.41	1550.32
-26.93	1545.64
-18.64	1542.44
0.00	1536.18
9.28	1533.06
19.07	1530.47
23.12	1529.18
38.72	1521.74
48.45	1519.13
62.00	1515.10
66.10	1511.54
70.83	1508.06
74.47	1505.50
76.59	1503.78
80.41	1501.72
84.99	1499.15
88.47	1496.26
92.01	1491.68
98.76	1485.84
101.30	1484.02
104.13	1482.98
108.04	1482.11
110.87	1484.09
113.91	1484.04
116.29	1483.87
128.76	1483.49
136.64	1481.21
141.24	1480.56
146.10	1478.38
152.96	1475.19
156.92	1472.42

გას ჯეოინჸინირინგი  
საინჟინრო კელევა-ძიება,  
დაპროექტება, მშენებლობა



ზუბდიდი-გესტია-ლასდილის სააპტომობილო  
გზის 116 პ-ზე მესტრული მონაცემის  
ასაძლევი გვირაბის სამშენებლო უპის  
საინჟინრო-გეოლოგიური გამოკვლევა.

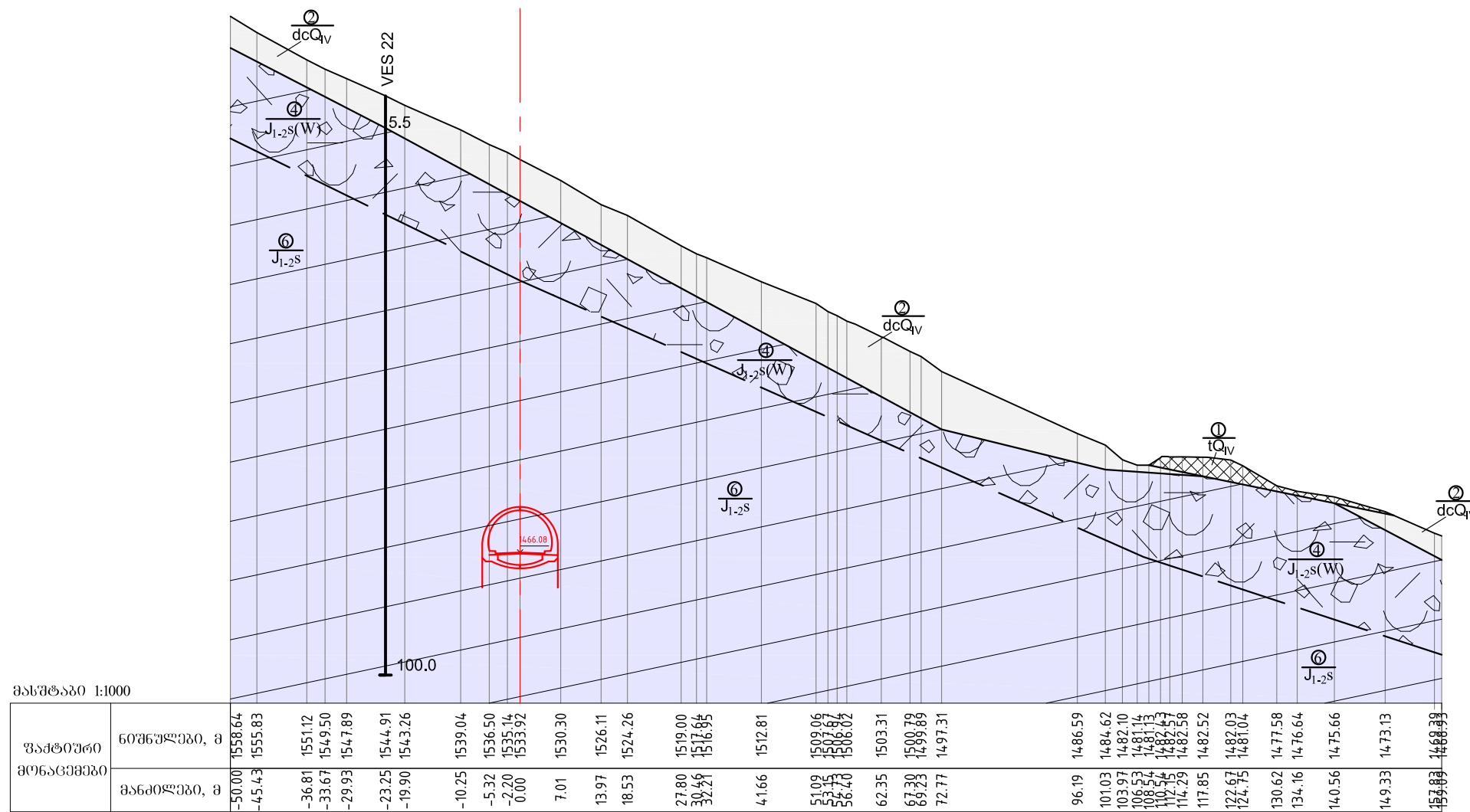
გვირაბის განვითარების გეოლოგიური ჟრილები

შრილი კვ 12+80 GC-1838-3

ვარელი N11 რაოდენობა 17

გასშტაბი 1:1000 თარიღი: 2018 წელი

356030 33 13+20.00



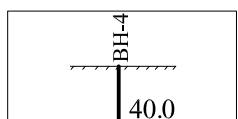
## პირობები აღნიშვნები



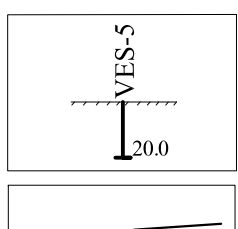
ვენის ნოარი



გამოვიტული ქანები



## ჭაბურღილი და მისი ნომერი

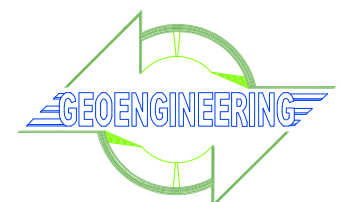


## გამოყენების ხონის საზღვარ



## გამოყიფვის ზონის საზღვარ

შპს ჯერიხინილინგი  
საინჟინრო კვლევა-ძიება,  
დაპროექტება, მშენებლობა



ზუგდიდი-გესტია-ლასდილის სააგვითომობილო  
გზის 116 პლ-ზე მეზრული მონაკვეთის  
ასაძლევი გვირაბის სამშენებლო უნის  
საქედაცვო-გეოლოგიური გამოკვლევა.

გვირაბის განვითარების სამინისტრო-გუოლოგიური ჰრილები

36080 33 13+20

GC-1838-

ვერცხლი №12 რაოდენობა-

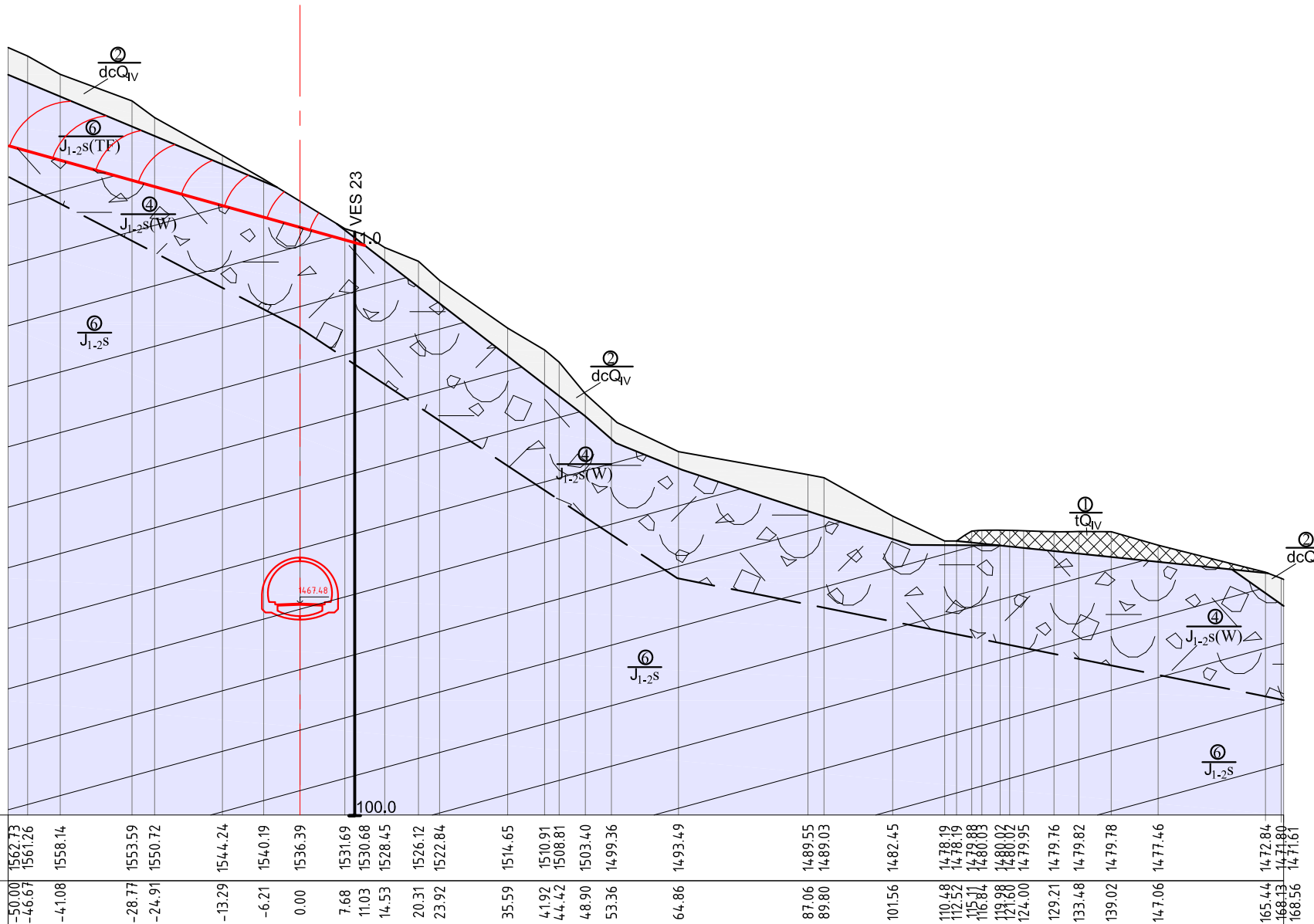
გასტატიკა 1:1000

026080: 2018 ვებ

გასშტაბი 1:1000

ვაკუმიუმი	60 მეტრი, მ
მონაცემები	მაგისტრალი, მ

056030 33 14+00.00



პირობითი აღნაგვები

- ვანის ნომერი
- გამოვიტული ქანები
- ჰაბურლილი და მისი ნომერი
- პერტიკალური ელექტრო ზონდირების წერტილი და მისი ნომერი
- გამოვიტვის ზონის საზღვარი
- საზღვარი სტა-ს ზორის
- ტექტონიკური რღვევა



გას ჯონიშვილინიგი  
საინჟინრო კელევა-ძიება,  
დაპროექტება, მშენებლობა

ზუგდიდი-გესტია-ლასდილის სააპტომობილო  
გზის 116 პ-ზე მესტრული მონაკვეთის  
ასაძლევი გვირაბის სამშენებლო უბნის  
საინჟინრო-გეოლოგიური გამოკვლევა.

გვირაბის განვითარების გეოლოგიური ჟრილები

შრიღი აპ 14+00 GC-1838-3

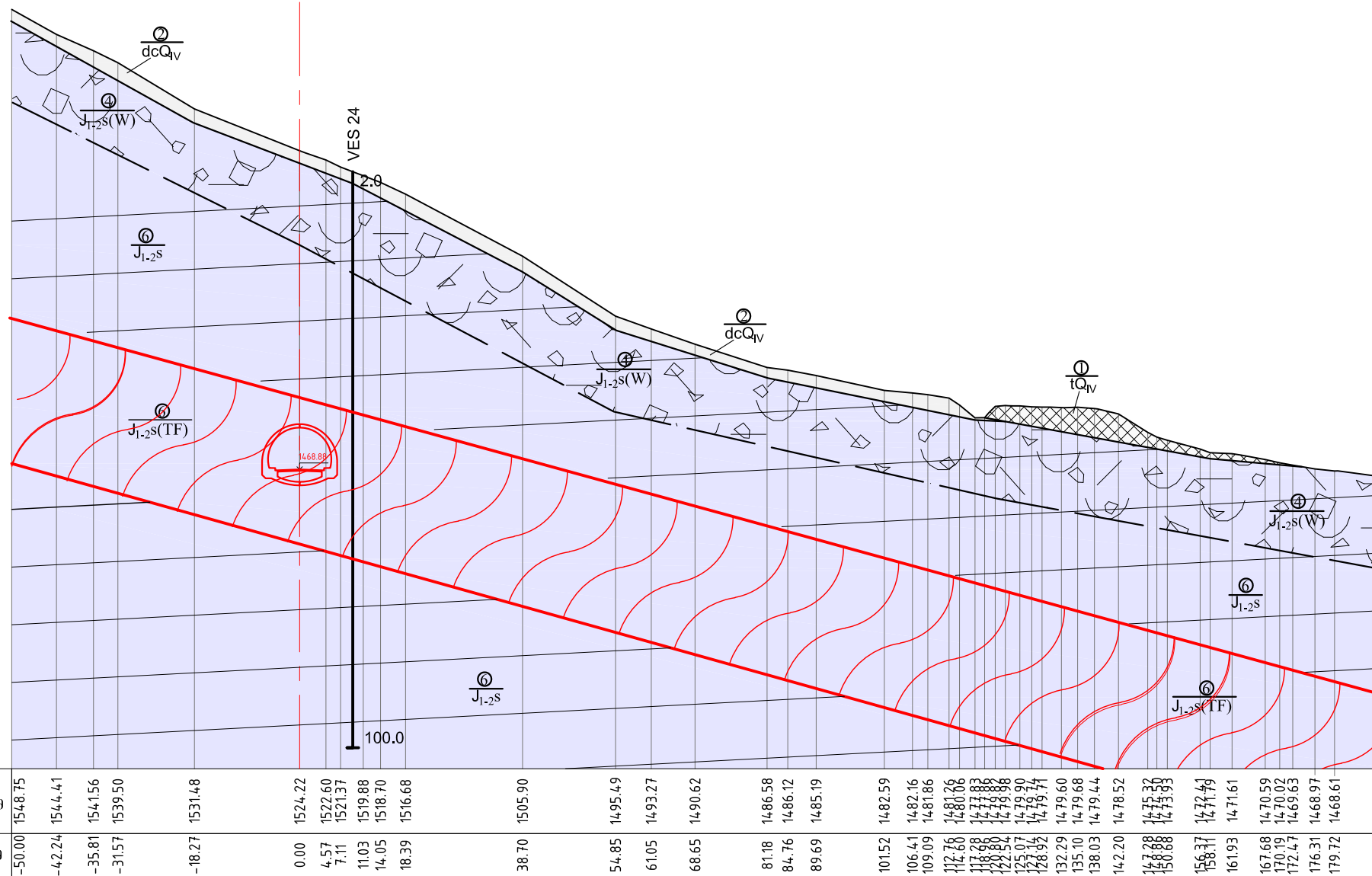
ფურცელი №13 რაოდენობა-17

გასშტაბი 1:1000 თარიღი: 2018 წელი

მასშტაბი 1:1000

ვაკუუმი მოცემები	60 მეტრი, მ
მანძილი	80 მეტრი, მ

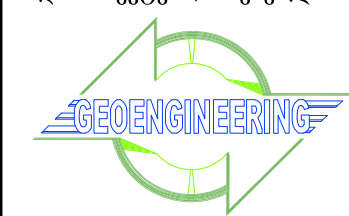
გ56030 33 14+80.00



### პირობითი აღნიშვნები

- |       |   |
|-------|---|
| ①     | ვანის ნომერი  |
| (W)   | გამოფიტული ქანები                                     |
| BH-4  | ჰაბურდილი და მისი ნომერი                              |
| VES-5 | ვერტიკალური ელექტრო ზონდირების წერტილი და მისი ნომერი |
| —     | გამოფიტვის ზონის საზღვარი                             |
| —     | საზღვარი სბე-ს შორის                                  |
| —     | ტექტონიკური რღვევა                                    |

შპს ჯეოინჰინირინგი  
საინჟინრო კოლეგიუმი,  
დაპროექტება, მშენებლობა



ზუბლიდვი-გესტია-ლასდილის სააპტომობილო  
გზის 116 პ-ზე მესტრული მონაკვეთის  
ასაძლევი გვირაბის სამშენებლო უბნის  
საინჟინრო-გეოლოგიური გამოკვლევა.

გვირაბის განვითარების გეოლოგიური ჟრილები

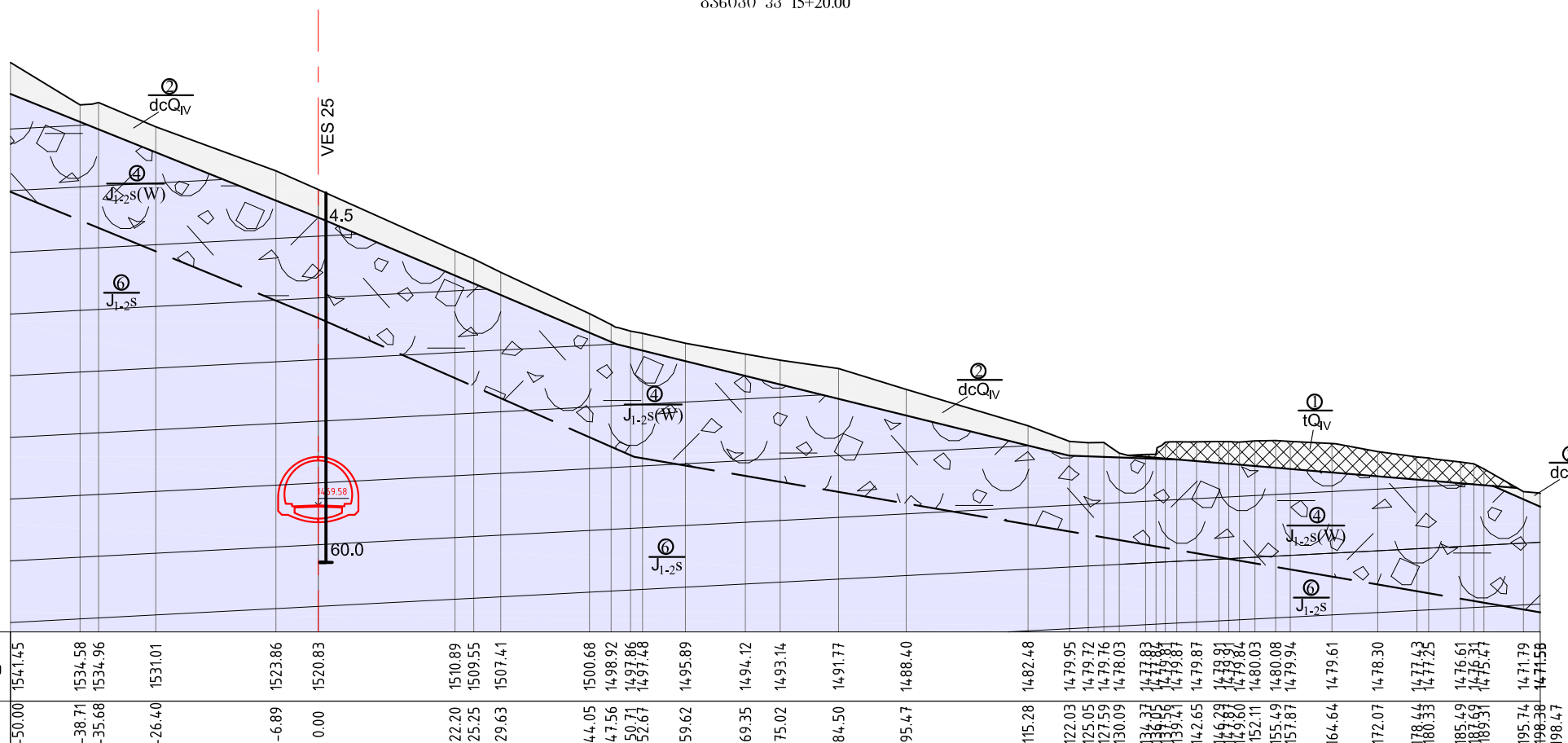
შრილი აკ 14+80 GC-1838-3

ვარელი N14 რაოდ0698-17

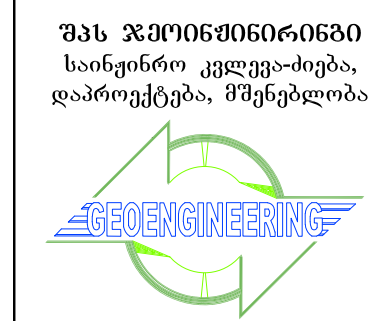
მასშტაბი 1:1000 თარიღი: 2018 წელი

ბანია კვ 15+20.00

### პირობები აღნიშვნები



(1)	ვანის ნომერი
(W)	ბაზოზოტული ქანი
BH-4 40.0	ჰაბურლილი და მისი ნომერი
VES-5 20.0	გერტიკალური ელექტრო ზონდირების წერტილი და მისი ნომერი
	ბაზოზოტვის ზონის საზღვარი
	საზღვარი სტანდარტის



გას ჯონიშვილის  
საინჟინრო კონსალტინგი,  
დაპროექტება, მშენებლობა

ზუგდიდი-გესტია-ლასდილის სააპტომობილო  
ბაზის 116 პ-ზე მესტრული მონაცემის  
ასახვები გვირაბის სამშენებლო უპის  
საინჟინრო-გეოლოგიური ბაზოკვლევა.

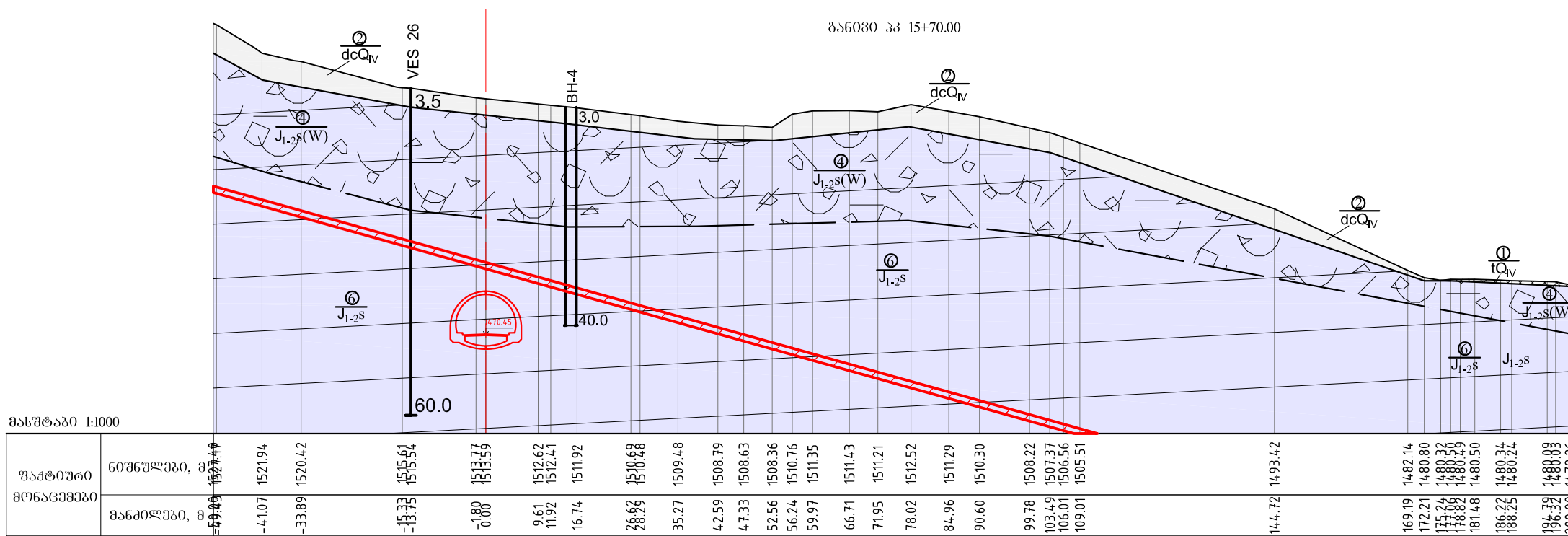
გვირაბის ბაზი საინჟინრო-გეოლოგიური ჭრილები

ჭრილი კვ 15+20 GC-1838-3

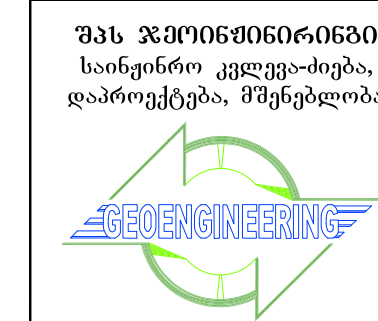
ვარელი N15 რაოდენობა-17

მასშტაბი 1:1000 თარიღი: 2018 წელი

30 რობითი აღნიშვნები



①	ვენის ნომერი
W	გამოვიტანი ქანები
BH-4	ჰაბურდილი და მისი ნომერი
VES-5	ვერტიკალური ელექტრო ზონდირების წერტილი და მისი ნომერი
—	გამოვიტანის ურის საზღვარი
—	საზღვარი სბო-ს შორის
——	ტექტონიკური რღვევა



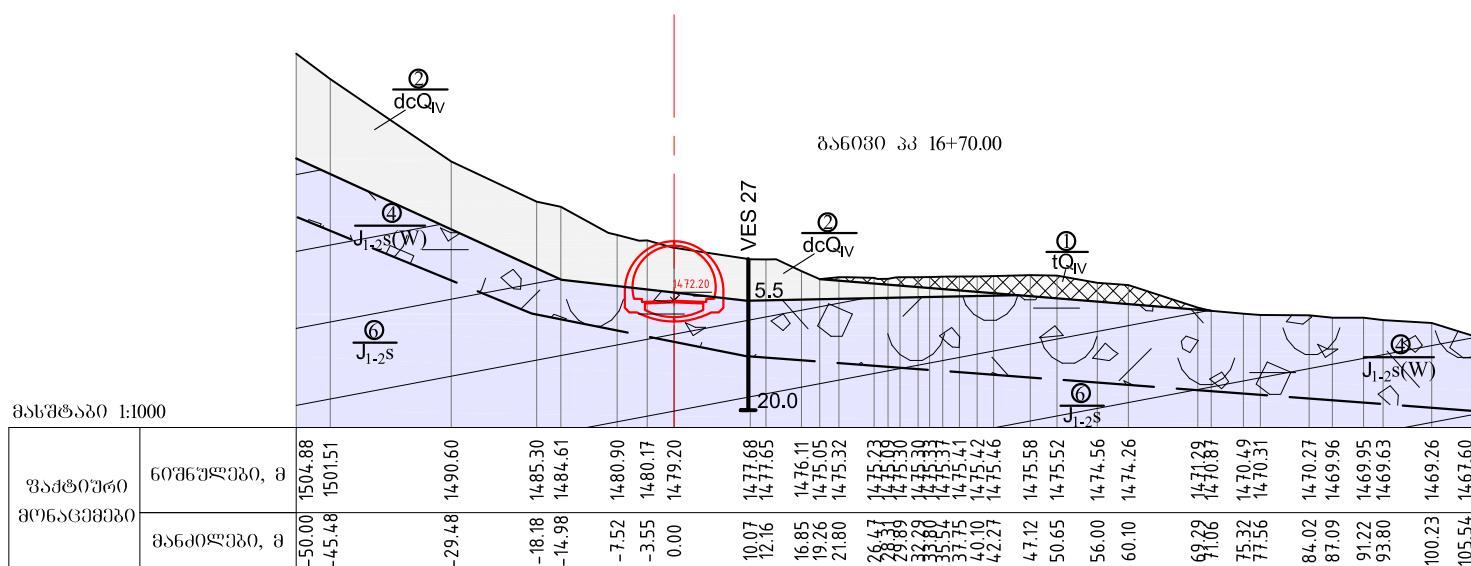
ზუბლიძე-გესტია-ლასლის სააპტოლოები  
გზის 116 პ-ზე მესტია მონაცემის  
ასახვები გვირაბის სამშენებლო უნის  
საინიციალურ-გეოლოგიური გამოკვლევა.  
გვირაბის განვითარების გეოლოგიური ფრილები  
შრილი კვ 15+70 GC-1838-3  
ვარელი N16 რაოდენობა-17  
მასშტაბი 1:1000 თარილი: 2018 წელი

	ვენის ნომერი
	გამოვიტული ძალები
	ჰაბურლილი და მისი ნომერი
	გერტიპალური ელექტრო ზონდირვა ვერტილი და მისი ნომერი
	გამოვიტვის ზონის საზღვარი
	საზღვარი სბე-ს შორის

ბრუნტების საინიციატო-გეოლოგიური კლასიფიკაცია

არაკლდოვანი გრუნტები

ჯგუფი	ქვეჯგუფი	პირობითი აღნიშვნა და გეოლოგიური ინდექსი	საგე №	გრუნტების აღწერა
ხელოვნური	ყრილი	$tQ_{IV}$	1	ღორღოვანი გრუნტი ქვიშნარის შემაგსებლით-საავტომობილო გზის ყრილი
დანალექი შეუცემებულ-ბელი	მეცნიერებულ-თიხოვანი მუნკრენი	$dcQ_{IV}$	2	თიხნარი, ნახევრადმაგარი, ხვინჭიჭიან-ღორღლიანი, ლოდების ჩანართებით
კლდოვანი გრუნტები				
ჯგუფი	ქვეჯგუფი	პირობითი აღნიშვნა და გეოლოგიური ინდექსი	საგე №	კლდოვანი ქანების აღწერა
მეცნიერებულ-რეალური მემკონიანებები	რეალური მემკონიანებები	$J_{1-2}s(W)$	4	ქვედა და შუა იურული. სორის ქვედა და ზედა წყება. თიხაფიქლები გამოფიტული, მცირე სიმტკიცის, თხელ და ფურცლოვანშრეებრივი
		$J_{1-2}s(TF)$	5	ქვედა და შუა იურული. სორის ქვედა და ზედა წყება. თიხაფიქლები რდვევის შესასტებული ზონიდან, დადაბლებული სიმტკიცის და მომატებული ნაპრალოვნებით
		$J_{1-2}s$	6	ქვედა და შუა იურული. სორის ქვედა და ზედა წყება. თიხაფიქლები, სუსტად გამოფიტული, საშუალო სიმტკიცის, თხელ და ფურცლოვანშრეებრივი.



გვირაბის განვითარების სამსახური-გეოლოგიური ჰაილები

કુલોંગ અને 16+70

GC-1838-

ვერცხლი №17 | რაოდენობა

გასმტაბი 1:100

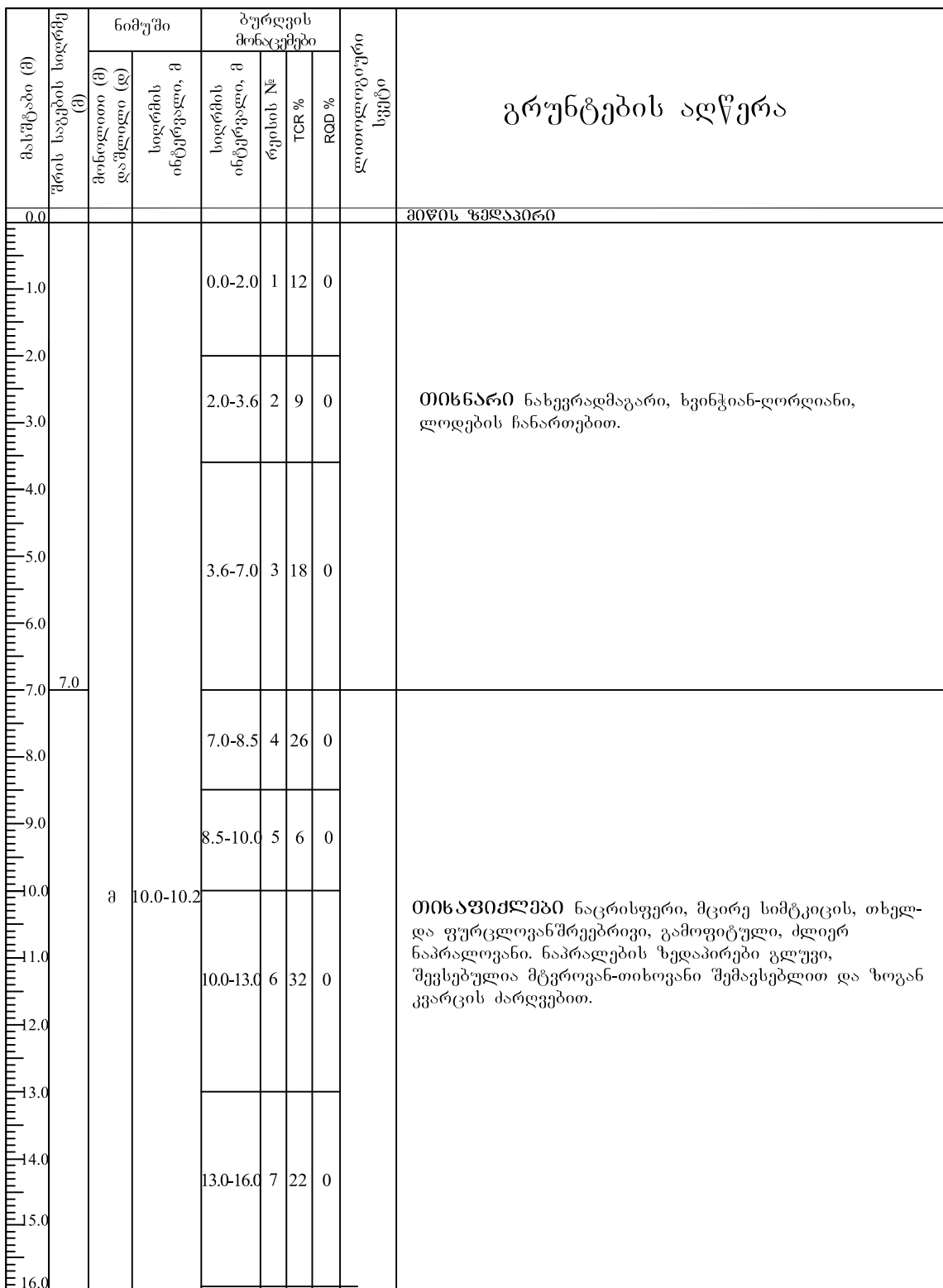
03/08/2018 33

## დანართები

დანართის №	დანართის დასახმლება	ფურცლების რაოდენობა
1	ჭაბურღილების ლითოლოგიური სვეტები	16
2	გერტიკალური ელექტროზონდირების შედეგები	2
3	ლაბორატორიული კვლევის შედეგები	
3.1	არაკლდოვანი გრუნტები	
3.1.1	გრუნტების შედგენილობის და ფიზიკურ-მექასინიკური კვლევის კამური უწყისი	2
3.2	კლდოვანი ქანები	
3.2.1	კლდოვანი ქანების გამოცდა ერთლერძა კუმშვაზე	1
3.2.2	კლდოვანი ქანების წერტილოვანი გამოცდა სფერული იდენტორებით	9
3.2.3	კლდოვანი ქანების ძვრაზე გამოცდა ნაპრალების ზედაპირის გასწვრივ (მშრალ და დასველებულ ზედაპირებზე)	28
3.2.4	ფიზიკურ-მექანიკური მახასიათებლების მნიშვნელობების სტატისტიკური დამუშავების შედეგები	5
3.2.5	კლდოვანი ქანების დარბილების კოეფიციენტის განსაზღვრა	3
3.2.6	ანიზოტროპულობის კოეფიციენტის განსაზღვრა	4
3.3	გრუნტის წყლის და ზედაპირული წყლების ქიმიური ანალიზი	4
4	კლდოვანი მასივის ხარისხის (RMR) შეფასება ჭაბურღილების კერნის მიხედვით	3
5	ნაჩენებში კლდოვანი ქანების ნაპრალიანობის შესწავლა და დეტალური გეომექანიკური აღწერა	51
6	ფოტოდოკუმენტაცია	11
7	ტექნიკური დავალება	2

დანართი 1  
ჭაბურღილების ლითოლოგიური  
სვეტები

<u>დაწყების თარიღი:</u> 16.10.2018 <u>დამთავრების თარიღი:</u> 22.10.2018		<b>ჭაბურლილი №2</b>
<u>გეშენერცეფლი:</u> შპს „ჯეონინინინგი“ <u>საბურღალი დანადგარი:</u> XY-52 <u>გერღვის შემოდი:</u> სკატური (პირიზონტალური) <u>შეურჩავი:</u> ქ. მამულაშვილი	<u>პურდების დიამეტრი (მმ) -</u> HQ-NQ	<u>კოორდინატები:</u> X(მ): 299434 Y(მ): 4766817 Z(მ): 1525



<u>უნიტები:</u> TCR-კერნის სრული გამოსავალი RQD- ქანის ხარისხის მაჩვენებელი	<u>ჭაბურდილში გრუნტის წყლის დონე (მ):</u> არ გამოვლინდა	<u>უნიტები:</u> ო. გიანაშვილი
<b>შპს. ჯეონინინინგი</b>	<u>პროექტის დასახულება:</u> ზეგდიდი-შესტია- ლასდილის სააგრომობილო გზის 116 კმ-ზე მეტყრული მონაკვეთის ასაკევე გვირაბის სამშენებლო უბის ს.გ. გამოკვლევა	<b>სელშეკრულება</b> №:GC-1838

<u>დაწყების თარიღი:</u> 16.10.2018 <u>დამთავრების თარიღი:</u> 22.10.2018	<u>გურჯის დიაგუნი (გ)</u> - HQ-NQ	<b>ჭაბურლილი №2</b>
<u>უმსრულდებული:</u> შპს „ჯეონიკინინგია“ <u>ხსბურღლი დანადგარი:</u> XY-52 <u>ტერეზის მეოდები:</u> სპეცური (პორიზონტალური) <u>მშურღლავი:</u> მ. მარტინაშვილი		<u>კორესპონდენციალი:</u> X(გ): 299434 Y(გ): 4766817 Z(გ): 1525

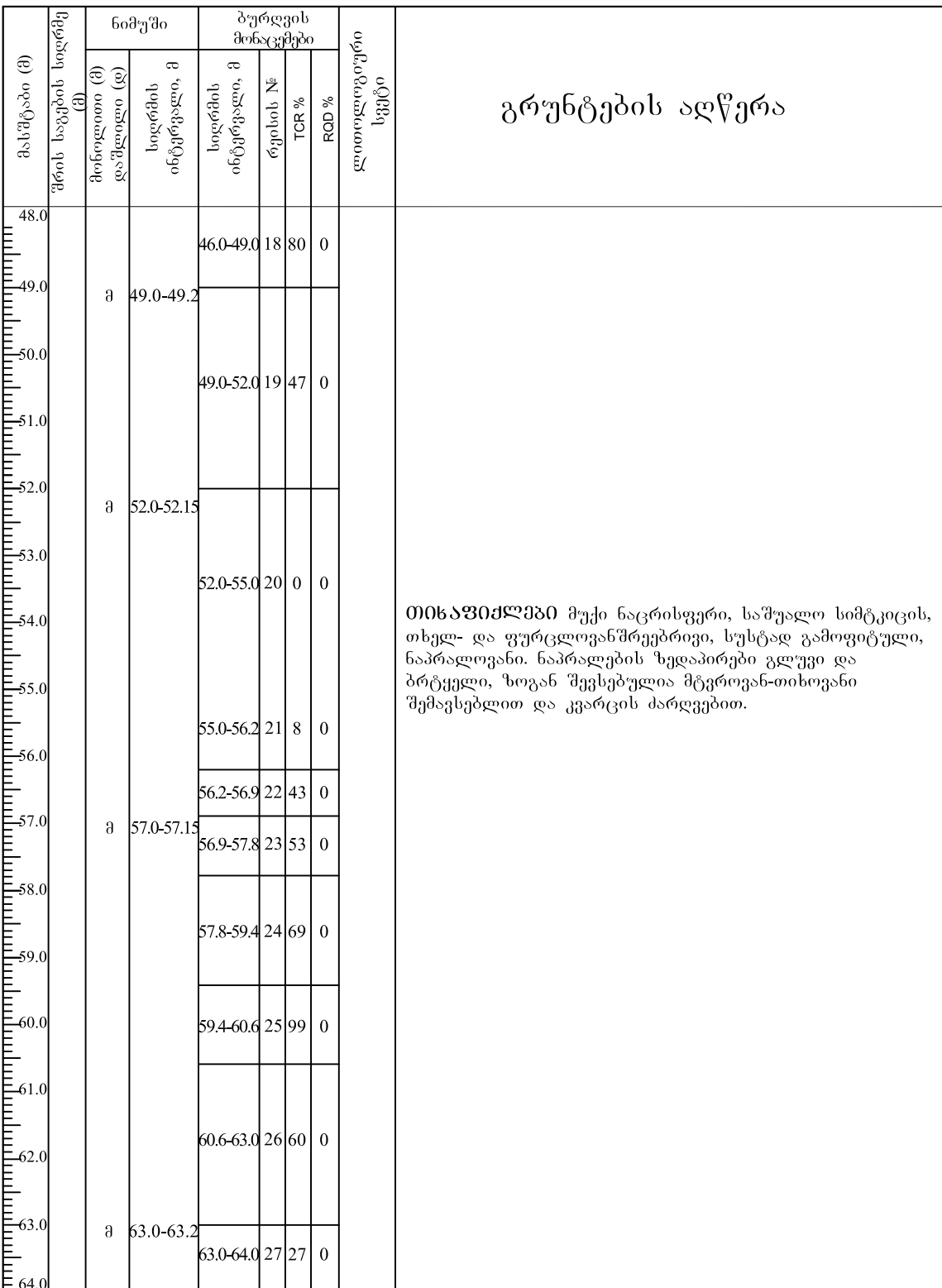
მასშტაბი (გ) ერთსახურის სიმაღლე (მ)	ნიმუში მონილითი (გ) დანადგარი (გ)	ბურჯვის მონაცემები			ლილობური სკანი	გრუნტების აღწერა	
		სიღრმე მილიმეტრი, მ	რეგისტრაციის ინტენსივობა, გ	TCR %	RQD %		
16.0							
17.0							
18.0							
19.0							
19.5							
20.0	8	20.0-20.2	16.0-19.0 8	10	0		თიხაცილები ნაცრისფერი, მცირე სიმტკიცის, თხელ-და ფურცლოვანშრეებრივი, გამოფიტული, ძლიერ ნაპრალოვანი. ნაპრალების ზედაპირები გლუვი, შეგსებულია მტკროვან-თიხოვანი შემაგებლით და ზოგან კვარცის ძარღვებით.
21.0			19.0-22.0 9	84	0		
22.0							
23.0			22.0-25.0 10	82	0		
24.0							
25.0	8	25.0-25.2					თიხაცილები მუქი ნაცრისფერი, საშუალო სიმტკიცის, თხელ-და ფურცლოვანშრეებრივი, სუსტად გამოფიტული, ნაპრალოვანი. ნაპრალების ზედაპირები გლუვი და ბრტყელი, ზოგან შეგსებულია მტკროვან-თიხოვანი შემაგებლით და კვარცის ძარღვებით.
26.0			25.0-28.0 11	80	0		
27.0							
28.0			28.0-31.0 12	81	0		
29.0							
30.0			31.0-34.0 13	76	0		
31.0							
32.0							

<u>უნიტები:</u> TCR-კერნის სრული გამოსავალი RQD- ქანის ხარისხის მაჩვენებელი	<u>ჭაბურღლილი ში გრუნტის წყლის დონე (გ):</u> არ გამოვლინდა	<u>უნიტები:</u> ო. გიანაშვილი
<b>შპს. ჯეონიკინინგია</b>	<u>პროექტის დახარვებები:</u> ზეგდიდი-მესტია-ლასდილის საავტომობილო გზის 116 კმ-ზე მეტყრული მონაკვეთის ასაქცევი გვირაბის სამშენებლო უბის სტ. გამოკვლევა	<u>ხელშეკრულება</u> N:GC-1838

<p><u>დაწყების თარიღი:</u> 16.10.2018  <u>დამთავრების თარიღი:</u> 22.10.2018</p> <p><u>შემსრულებელი:</u> „შპს „ჯგუფინგინირინგი“  <u>საბჭოთა დანადგარი:</u> XY-52</p> <p><u>ბეჭრის შემთხვე:</u> სკეტური (პოროზონტალური)  <u>მშენება:</u> მ. მამულაშვილი</p>	<p><b>ბეჭრის დიამეტრი (მმ) -</b></p> <p style="text-align: center;">HQ-NQ</p>	<p><b>შპს ურლილი №2</b></p> <p><u>კორელიაცია:</u>  X(მ): 299434  Y(მ): 4766817  Z(მ): 1525</p>
--	---	--

<u>შენიშვნები:</u> TCR-კვრის სრული გამოსავალი RQD- ქანის ხარისხის მაჩვენებელი	<u>ჭაბურღილში გრუნტის წყლის დონე (მ):</u> არ გამოკლინდა	<u>შემსრულებელი</u> ო. გიანაშვილი
<b>შპს. ჯერიცხილინგი</b>	<b>პროექტის დახახლება:</b> ზუგდიდი-მესტია-ლასიდილის სააგრომობილო გზის 116 კმ-ზე მეტერული მონაკვეთის ასაქცვები გვირაბის სტანციაზე უძნის ს.კ. ამოკლება	<b>ხელშეკრულება</b> №:GC-1838 <b>ფურცელი 3 / 5</b>

<u>დაწყების თარიღი:</u> 16.10.2018 <u>დამთავრების თარიღი:</u> 22.10.2018		<b>ჭაბულდოლი №2</b>
<u>მემორულებელი:</u> შპს „ჯეინტინინგი“ <u>საბურღლი დასაღვერი:</u> XY-52 <u>გურევის მფრიდა:</u> სკოტური (პორიზონტალური) <u>შეურლავი:</u> მ. მამულაშვილი	<b>ბურღვის დიამეტრი (მმ) -</b> HQ-NQ	<u>კოორდინატები:</u> X(მ): 299434 Y(მ): 4766817 Z(მ): 1525



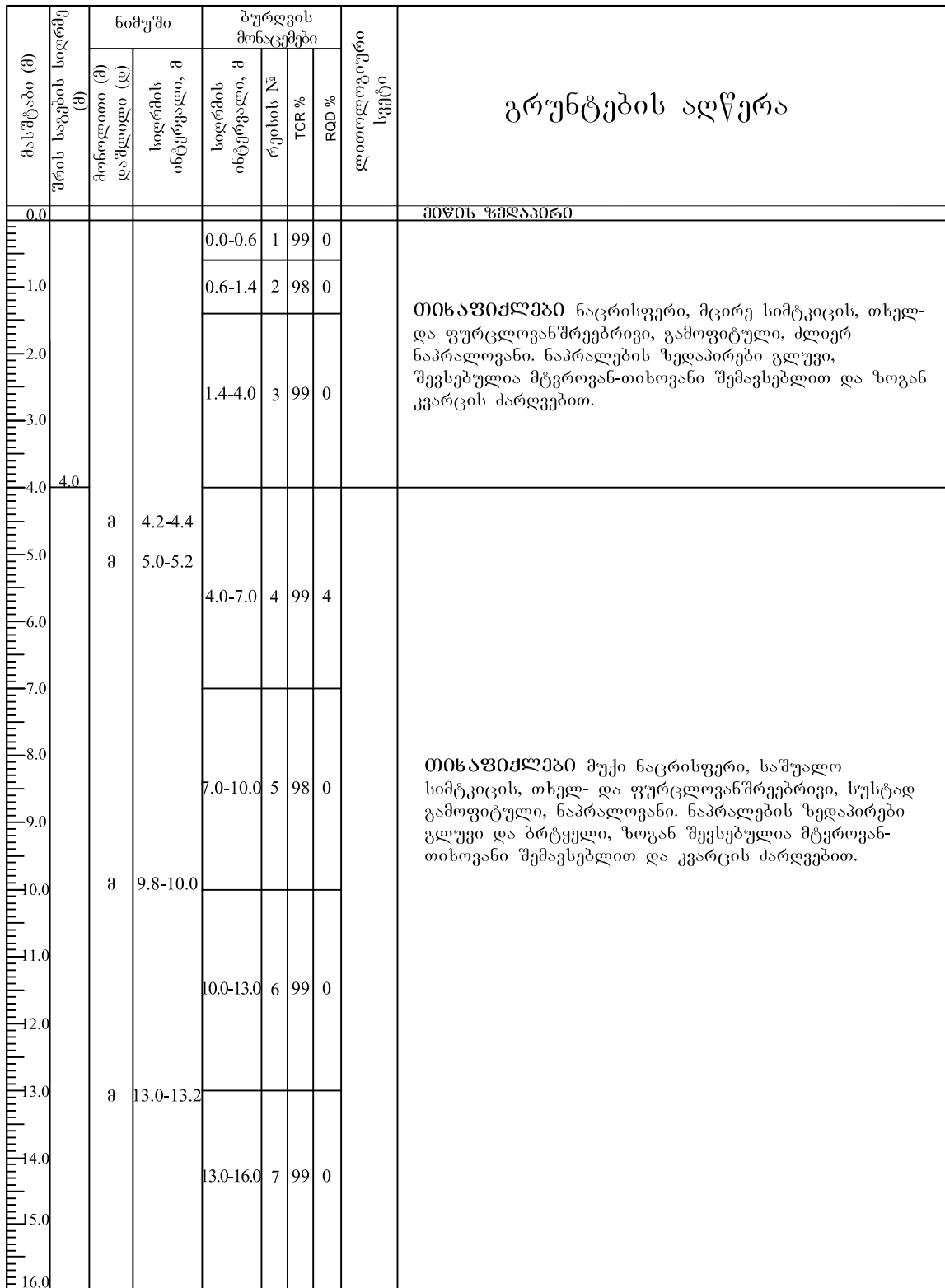
<u>უნიტები:</u> TCR-კერნის სრული გამოსავალი RQD- ქანის ხარისხის მაჩვენებელი	<u>ჭაბულილში გრუნტის წყლის დონე (მ):</u> არ გამოვლინდა	<u>შემსრულებელი:</u> ო. გიანაშვილი
<b>შპს. ჯერინგინინგი</b>	<u>პროექტის დასახულება:</u> ზეგდიდი-შესტიალასდილის სააგტომობილო გზის 116 კმ-ზე მეტწული მონაკვეთის ასაქცევი გეირაბის სამშენებლო უბნის სტ. გამოკლევა	<u>სელშეკრულება</u> №:GC-1838 <u>ფურცელი</u> 4 / 5

<u>დაწყების თარიღი:</u> 16.10.2018 <u>დამთავრების თარიღი:</u> 22.10.2018	<u>ბურჯის დიამეტრი (მმ)</u> - HQ-NQ	<b>ჭაბურლილი №2</b>
<u>უკმცელებელი:</u> შპს „ჯეონინირინგი“ <u>საბურღალი დანადგარი:</u> XY-52 <u>ბურჯის მფლობელი:</u> სკოტური (პორონონტალური) <u>შეურავი:</u> ქ. მარულაშვილი	<u>კოორდინატები:</u> X(მ): 299434 Y(მ): 4766817 Z(მ): 1525	

მასშტაბი (მ) ერთ სახურის სიგრძე (მ)	ნომერი (მ) მოწყვლითი (მ) და სალიკი (ლ)	ნივრების ინტენსივურობა, მ სიდრეში ინტენსივურობა, მ	ბურჯის მინიკეტბი			დიამეტრი სახური	გრუნტების აღწერა
			რეზონა ნომერი N	TCR %	RQD %		
64.0							
65.0							
66.0							
67.0							
68.0							
69.0	8	69.0-69.2	64.0-67.0	28	23	0	
70.0			67.0-70.0	29	45	0	
71.0							
72.0							
73.0							
74.0							
75.0							
76.0							
77.0							
78.0							
79.0							
80.0							

<u>გენერაცია:</u> TCR-გერნის სრული გამოსავალი RQD- ქანის ხარისხის მაჩვენებელი	<u>ჭაბურღილში გრუნტის წყლის დონე (მ):</u> არ გამოვლინდა	<u>უკმცელებელი:</u> მ. გიანაშვილი
<b>შპს. ჯეონინირინგი</b>	<u>პროექტის დახასულება:</u> ზეგდიდი-მესტია- ლასდილის საავტომობილო გზის 116 ქმ-ზე მეტწული მონაკვეთის ასაქცევი გვირაბის სამშენებლო უბნის ს.გ. გამოკვლევა	<u>ხელშეკრულება</u> №:GC-1838

<p><u>დაწყების თარიღი:</u> 10.10.2018  <u>დამთავრების თარიღი:</u> 12.10.2018</p> <p><u>შემსრულებელი:</u> ქავს „აკონიქნირინგი“  <u>საბურღლი დასახლებაში:</u> XY-52  <u>გურედის მფრთმა:</u> სპატური (პორიზონტალური)  <u>შეუძლება:</u> მ. მაშვლაშვილი</p>	<p><u>გურედის დიამეტრი (მმ)</u> - 76</p>	<p><b>ჭაბურღლილი №3</b></p> <p><u>კოორდინატები:</u>  X(მ): 299790  Y(მ): 4766731  Z(მ): 1488</p>
--	--	--



<u>შენიშვნები:</u>	<b>ჭაბურდილ ში გრუნტის წყლის დონე (ზ):</b> არ გამოვლინდა	<b>შემსრულებელი</b> ო. გიანაშვილი
<b>შპს. ჯეოინჟინინგი</b>	<b>პრეგრესის დახახულება:</b> ზუგდიდი-მესტია-ლაციონის სააგრომობილო გზის 116 კმ-ზე მეწარული მონაკვეთის ასაქცევი გვირაბის სამშენებლო უბნის ს.გ. გამოკვლევა	<b>ხელშეკრულება</b> №:GC-1838 <b>ფურცელი 1 / 2</b>

დაწყების თარიღი: 10.10.2018 დამთავრების თარიღი: 12.10.2018		ჭაბურლილი №3
შემსრულებელი: ქა „ჯორიშინინგი“ საბურღი დანარგარი: XY-52 ბურღის ძეთვით: სპეცური (პორიზიზალური) ბურღით: მ. მამულაშვილი	ბურღის დიამეტრი (მმ) - 76	კორდინატები: X(მ): 299790 Y(მ): 4766731 Z(მ): 1488

მასშტაბი (მ) ტიპის საბურღის სიმაღლე (მ)	ნიმუში მინიმუმი (მ) და მაქსიმუმი (მ)	ბურღის სიმაღლეასახი, მ	ბურღის მონაცემები				ლილოვადი საფუძველი
			სიმაღლის მინიმუმი, მ	რეგისის №	TCR %	RQD %	
16.0							
17.0							
18.0							
19.0	მ	18.8-19.0	16.0-19.0	8	99	0	
20.0							
21.0							
22.0	მ	23.0-23.2	19.0-22.0	9	83	0	
23.0	მ	23.0-23.2	22.0-25.0	10	77	0	
24.0							
25.0							
26.0							
27.0	მ	28.5-28.7	25.0-28.0	11	97	0	
28.0	მ	28.5-28.7					
29.0	მ	30.6-30.75	28.0-31.0	12	68	0	
30.0	მ	30.6-30.75					
31.0	მ	30.6-30.75	31.0-32.0	13	27	0	
32.0	მ	30.6-30.75					
32.0	მ	32.0					

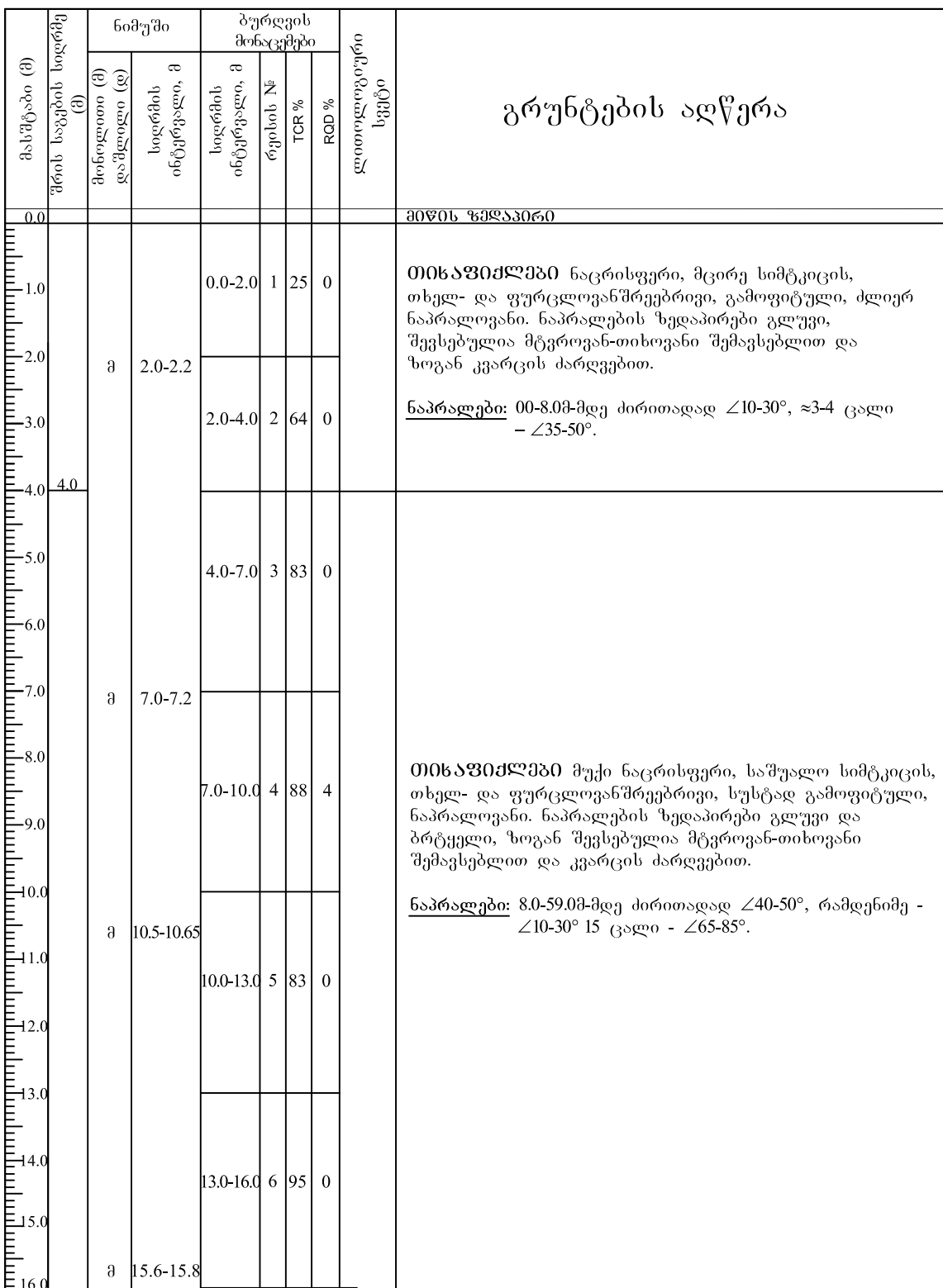
გრუნტების აღწერა

თისავისლები მუქი ნაცრისფერი, საშალო სიმტკიცის, თხელ- და ფურცლოვანშრებრივი, სუსტად გამოვატული, ნაპრალოვანი. ნაპრალების ზედამირები გლუვი და ბრტყელი, ზოგან შევსებულია მტვროვან-თიხოვანი შემაგსებლით და კვარცის ძარღვებით.

\* ბურღვა შეჩერდა 32.0 მ-ზე იმის გამო, რომ საბურღი ინსტრუმენტი იჭედებოდა (სავარაუდოდ, ტექტონიკურად დაძაბულ ზონაში მოხვდა).

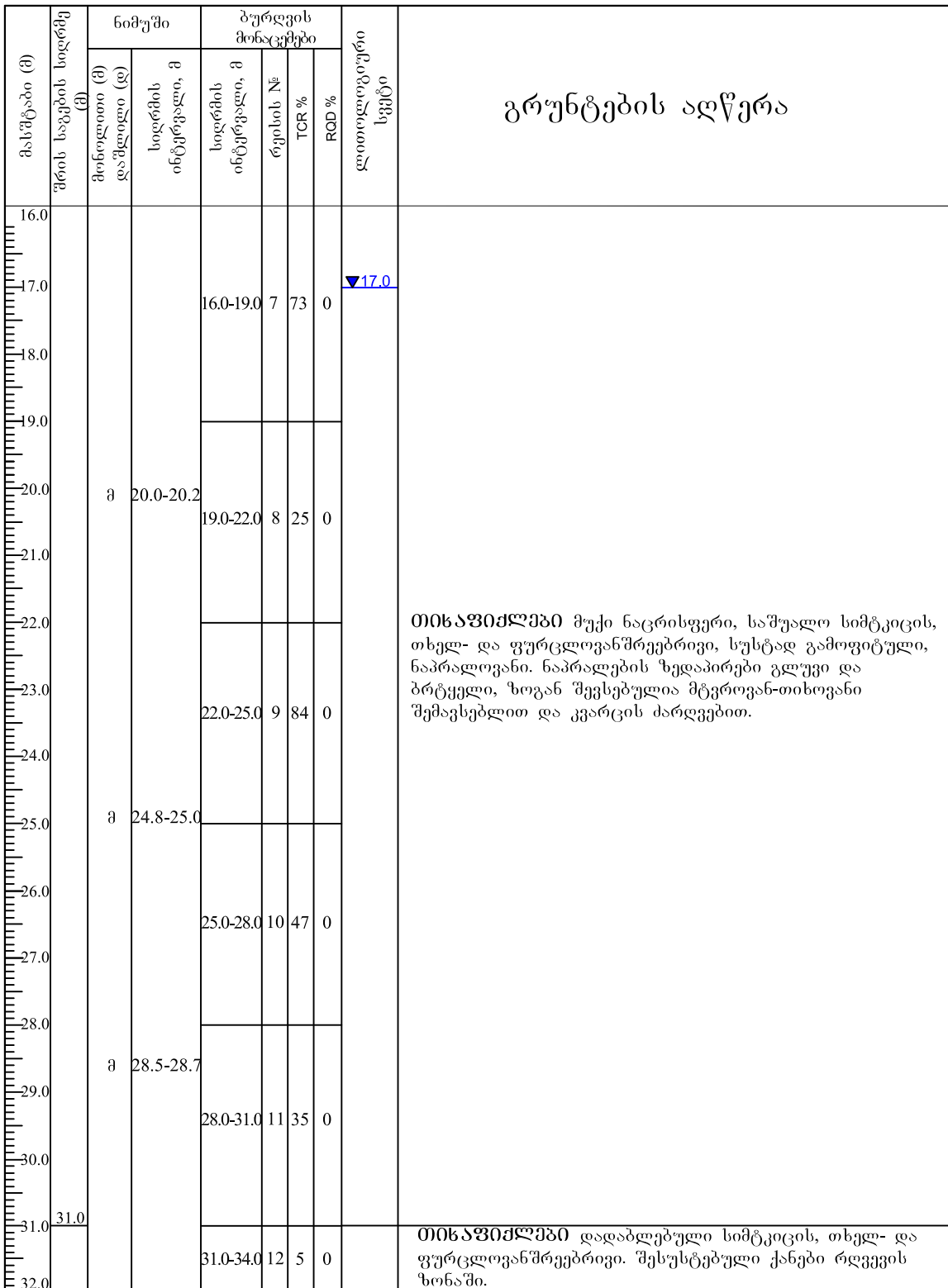
უნიკალური მუქი ნაცრისფერი, საშალო სიმტკიცის, თხელ- და ფურცლოვანშრებრივი, სუსტად გამოვატული, ნაპრალოვანი. ნაპრალების ზედამირები გლუვი და ბრტყელი, ზოგან შევსებულია მტვროვან-თიხოვანი შემაგსებლით და კვარცის ძარღვებით.	ჭაბურღილში გრუნტის წყლის დონე (მ): არ გამოვლინდა	შემსრულებელი:
მ. გიანაშვილი	სერიულება №: GC-1838	გურიელი 2 / 2

<u>დაწყების თარიღი:</u> 04.11.2018 <u>დამთავრების თარიღი:</u> 17.1.2018		<u>გამოშენებული ტაბული №3a</u>
<u>შემსრულებელი:</u> შპს „ჯეოსინირინგი“ <u>საბჭრო დანადგროვი:</u> ХХ-52 <u>გურედის ქორდი:</u> სკოტური (პოროზონტალური) <u>გურდავი:</u> მ. მამულაშვილი	<u>ბურდების დიამეტრი (მმ)</u> - HQ-NQ	<u>კოორდინატები:</u> X(მ): 299788 Y(მ): 4766730 Z(მ): 1488



<u>უნიკალური მუნიციპალიტეტი:</u> TCR-კერნის სრული გამოსავალი RQD- ქანის ხარისხის მჩვენებელი	<u>გადამდინარე გრუნტის წყლის დონე (მ):</u> 17.0	<u>უნიკალური მუნიციპალიტეტი:</u> ო. გიანაშვილი
<b>შპს. ჯეოსინირინგი</b>	<u>პროექტის დასახულება:</u> ზედიდი-შესტია- ლასდილის სააგრომობილო გზის 116 კმ-ზე მეწყრული მონაკვეთის ასაქცევი გეორაბის სამშენებლო უბნის ს.გ. გამოკვლევა	<u>სელშეკრულება</u> №:GC-1838

<u>დაწყების თარიღი:</u> 04.11.2018 <u>დამთავრების თარიღი:</u> 17.1.2018	<u>ბურღის დიამეტრი (მმ) -</u> HQ-NQ	<u>შპს უნდოლი №3a</u>
<u>გემოსულებელი:</u> შპს „ჯეონინინინგია“ <u>საბურღო დანართი:</u> XY-52 <u>ბურღის მფლობელი:</u> სეგმენტი (ცარიზონტალური) <u>მშენება:</u> ქ. მაშულაშვილი	<u>კორდინატები:</u> X(მ): 299788 Y(მ): 4766730 Z(მ): 1488	



<u>უნდებელი:</u> TCR-კერნის სრული გამოსავალი RQD- ქანის ხარისხის მაჩვენებელი	<u>შპს უნდების წყლის დონე (მ):</u> 17.0	<u>უნდებელი:</u> ო. გიანაშვილი
<b>შპს. ჯეონინინინგი</b>	<u>პროექტის დასახულება:</u> ზეგდიდი-შესტიალასდილის სააგტომობილო გზის 116 ქმ-ზე მეწყრული მონაკვეთის ასაქცევი გეირაბის სამშენებლო უბნის ს.გ. გამოკლევა	<u>სელშეკრულება</u> №:GC-1838

<u>დაწყების თარიღი:</u> 04.11.2018 <u>დამთავრების თარიღი:</u> 17.1.2018	<u>ბურღის დიამეტრი (მმ)</u> - HQ-NQ	<u>ჭაბურლილი №3a</u> <u>კოორდინატები:</u> X(მ): 299788 Y(მ): 4766730 Z(მ): 1488
<u>უმცირესი დანართი:</u> შპს „ჯეონინირინგი“ <u>სიძურის დანართი:</u> XY-52 <u>გეოდეზის მოვლის:</u> სკეტური (პორიზონტალური) <u>ზღურლაში:</u> ქ. მაშულაშვილი		

მასშტაბი (მ)	გრძის საბეჭის სიღრღვე (მ)	ნიმუში		ბურღის მინიჭები		ლილობრივი საშინაო	გრუნტების აღწერა
		მონოლითი (მ)	გაუმჯობესებული (მ)	სიღრღვეს	თანამდებობა		
32.0							
33.0							
34.0							
34.5-34.7	34.5-34.7	31.0-34.0	12	3	0		
35.0							
36.0							
37.0	37.0	34.0-37.0	13	28	0		
37.8-38.0	37.8-38.0	37.0-40.0	14	81	0		
39.0							
40.0							
41.0							
42.0							
42.5-42.7	42.5-42.7	40.0-43.0	15	98	0		
43.0							
44.0							
45.0							
46.0							
46.5-46.7	46.5-46.7	43.0-46.0	16	95	0		
47.0							
48.0							

თიხავიძლები დადაბლებული სიმტკიცის, თხელ- და ფურცლოვანზრებრივი, სუსტად გამოფიტული, ნაპრალოვანი. ნაპრალების ზედაპირები გლუვი და ბრტყელი, ზოგან შევსებულია მტკროვან-თიხოვანი შემაგსებლით და კვარცის ძარღვებით.

ნაპრალები: 8.0-59.0მ-მდე ძირითადად  $\angle 40-50^\circ$ , რამდენიმე -  $\angle 10-30^\circ$  15 ცალი -  $\angle 65-85^\circ$ .

<u>უნიტები:</u> TCR-კერნის სრული გამოსავალი RQD - ქანის სარისხის მაჩვენებელი	<u>ჭაბურღილში გრუნტის წყლის დონე (მ):</u> 17.0	<u>უნიტები:</u> ო. გიანაშვილი
<u>შპს. ჯეონინირინგი</u>	<u>პროექტის დასახლება:</u> ზუგდიდი-შესტია-ლასიდილის სააგრომობილო გზის 116 ქმ-ზე მეტყრული მონაკვეთის ასაქცევი გვირაბის სამშენებლო უბნის სტ. გამოკვლევა	<u>ნებულება</u> №:GC-1838

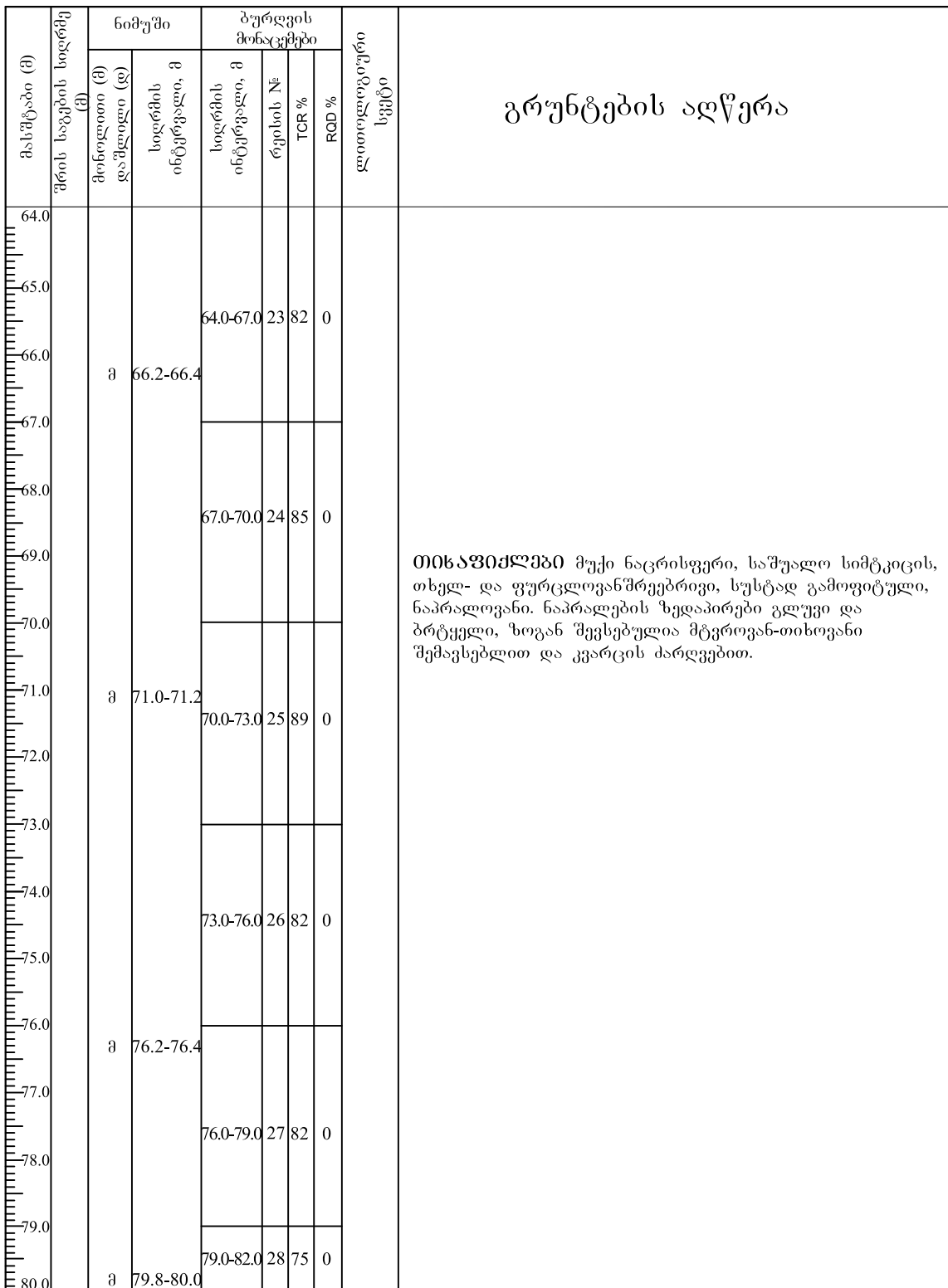
<u>დაწყების თარიღი:</u> 04.11.2018 <u>დამთავრების თარიღი:</u> 17.1.2018	<u>ბურღვის დიამეტრი (მმ) -</u> HQ-NQ	<b>ჭაბურღილი №3a</b>
<u>გემსრულებელი:</u> შპს „ჯეოინინგინერი“ საბურღო დასაღვარი: XY-52 გურღვის ძეფორდი: სკატური (პორიზონტალური) გერღვაცია: მ. მამულაშვილი		<u>კოორდინატები:</u> X(მ): 299788 Y(მ): 4766730 Z(მ): 1488

მასშტაბი (მ) მდინარის საბერის სიგრძე (მ)	ნიმუში მონილითი (მ) დასაღვარი (მ)	ბურღვის მონაცემები				დიამეტრი მეტრი	გრუნტის აღწერა	
		სიღრმე მეტრი	რეგისტრაციის ინდიკატორი, მ	ინტენსივურობის ნივთის N	TCR %	RQD %		
48.0		46.0-49.0	17	65	3			
49.0		49.0-52.0	18	80	0			
50.0								
51.0								
52.0	8	52.0-52.2	52.0-55.0	19	85	0		
53.0								
54.0								
55.0								
56.0	8	56.0-56.2	55.0-58.0	20	90	0		
57.0								
58.0								
59.0								
60.0								
61.0	8	61.0-61.2	58.0-61.0	21	83	0		
62.0								
63.0								
64.0								

თისავისლები მუქი ნაცრისფერი, საშუალო სიმტკიცის, თხელ- და ფურცლოვანშრეებრივი, სუსტად გამოფიტული, ნაპრალების ზედაპირები გლუვი და ბრტყელი, ზოგან შევსებულია მტკროვან-თიხოვანი შემავსებლით და კვარცის ძარღვებით.

<u>გენიუნები:</u> TCR-კერნის სრული გამოსაფალი RQD- ქანის ხარისხის მაჩვენებელი	<u>ჭაბურღილი ში გრუნტის წყლის დონე (მ):</u> 17.0	<u>გემსრულებელი:</u> ო. გიანაშვილი
<b>შპს. ჯეოინინგინერი</b>	<u>პროექტის დასახელება:</u> ზუგდიდი-ქეხია-ლასილის სააგტომობილო გზის 116 კმ-ზე მეწარული მონაკვეთის ასაქცვი გვირაბის სამშენებლო უბნის ს.გ. გამოკლევა	<u>სელშეკრულება</u> №:GC-1838 <u>ფურცელი</u> 4 / 6

<u>დაწყების თარიღი:</u> 04.11.2018 <u>დამთავრების თარიღი:</u> 17.1.2018	<b>ბურღის დიამეტრი (მმ)</b> - <b>HQ-NQ</b>	<b>ჭაბულდები №3ა</b> <u>კოორდინატები:</u> X(მ): 299788 Y(მ): 4766730 Z(მ): 1488
<u>შემსრულებელი:</u> ქპს „აგრინგინირინგი“ <u>საბურღო დასაღვარი:</u> XY-52 <u>ბურღის შემოქმედება:</u> სკატური (პოროზონტალური) <u>მბურღვა:</u> მ. მამულაშვილი		



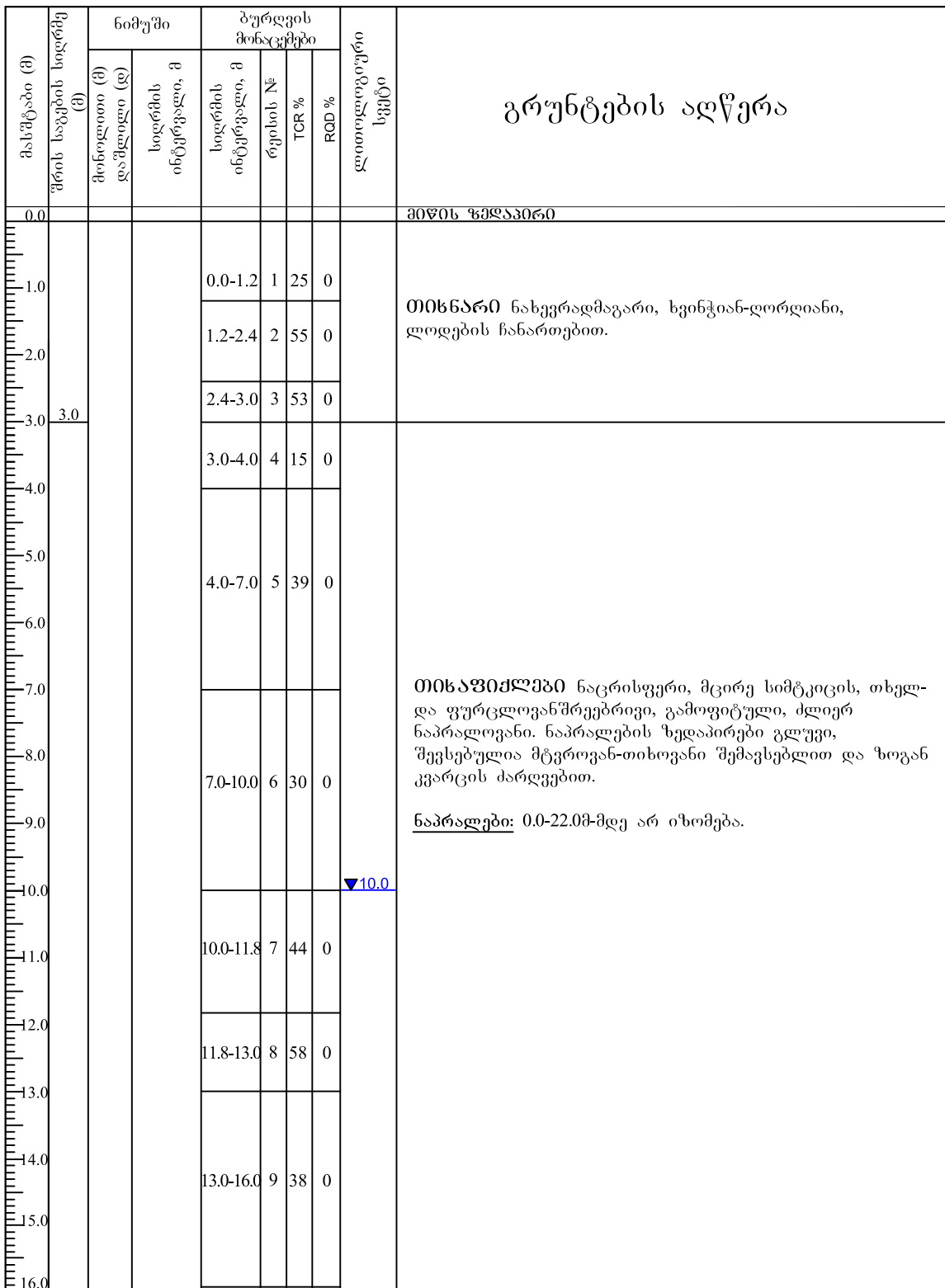
<u>შენიშვნები:</u>	<u>ჭაბურღილში გრუნტის წყლის დონე (მ):</u> 17.0	<u>შემსრულებელი:</u> ო. გიანაშვილი
<b>შპს. ჯერიცხილინგი</b>	<b>კრიკეტის დასახურება:</b> ზეგდიდი-მესტია-ლასიდილის საავტომობილო გზის 116 კმ-ზე მეწყრული მონაცემთის ასაქცევი გვირაბის სამუშაობლივ უბნის ს.გ. გამოკლიერები	<b>ხელშეკრულება</b> №:GC-1838 <b>ფურცელი 5 / 6</b>

<u>დაწყების თარიღი:</u> 04.11.2018 <u>დამთავრების თარიღი:</u> 17.1.2018	<b>ბურღვის დიამუხრი (გვ) -</b> <b>HQ-NQ</b>	<b>ჭაბურღილი №3ა</b>
<u>შემსრულებელი:</u> ქაბ. „ავტონიკინიზინგი“ <u>საბურთო დანადარღო:</u> XY-52 <u>ბურღვის შემთხვე:</u> სკვერი (პორტოცონტალური) <u>ბეჭრავა:</u> მ. მამულაშვილი	<u>კოორდინატები:</u> X(გ): 299788 Y(გ): 4766730 Z(გ): 1488	

მასშტაბი (მ)		ნომერი		ბურდვის მონაცემები		ლითოლოგიური სეკციი
გრადუსის საბჭების სივრცი	(მ)	მონილითი (მ) და შალილი (ლ)	სიღრმის ინტენსივობა, მ	სიღრმის ინტენსივობა, მ	რეზის N <sub>z</sub>	
80.0						
81.0						
82.0						
83.0						
84.0						
85.0	85.0-85.2	79.0-82.0	28	75	0	
86.0						
87.0						
88.0						
89.0						
90.0						
91.0	90.8-91.0	82.0-85.0	29	77	0	
92.0						
93.0						
94.0						
95.0						
96.0						

<u>შენიშვნები:</u>	<u>ჭაბურდილ ში გრუნტის წყლის დონე (მ):</u> 17.0	<u>შემსრულებელი:</u> ო. გიანაშვილი
<b>შპს. ჯერიხოსინი</b>	<b>პრეზენტის დასახლება:</b> ზუგდიდი-შესტია-ლისძილის საგრომობილო გზის 116 ქმ-ზე მეწყრული მონაცემთა ასაქცევი გვირაბის სამშენებლო უნის ს.გ. გამოკვლევა	<b>ხელშეკრულება</b> <b>№:GC-1838</b> <b>ფურცელი 6 / 6</b>

<p><u>დაწყების თარიღი:</u> 16.10.2018  <u>დამთავრების თარიღი:</u> 22.10.2018</p> <p><u>შემსრულებელი:</u> ქპს „ჯგუფინტინინგი“  <u>საბურთო დონაციარი:</u> XY-52  <u>ბურღალების შემთხვე:</u> სკოტური (პორიზონტალური)  <u>მშენებაზე:</u> შ. მამულაშვილი</p>	<p><u>ბურღალების დიამეტრი (მმ)</u> - HQ-NQ</p>	<p><b>ჭაბურღილი №4</b></p> <p><u>კოორდინატები:</u>  X(მ): 300079  Y(მ): 4766423  Z(მ): 1512</p>
---	--	---



<u>შენიშვნები:</u>	<u>ჯამურდილ ში გრუნტის წყლის დონე (მ):</u> 10.0	<u>შემსრულებელი</u> ო. გიანაშვილი
<b>შპს. ჯეოინჟინინგი</b>	<b>კრუნქის დასახურება:</b> ზეგდიდი-შესტიალასდილის სააგრიომებილო გზის 116 კმ-ზე მეწარული მონაკვეთის ასეჭვევი გვირაბის სამშენებლო უბნის ს.გ. გამოკვლევა	<b>ხელშეკრულება</b> №:GC-1838 <b>ფურცელი 1 / 3</b>

<u>დაწყების თარიღი:</u> 16.10.2018 <u>დამთავრების თარიღი:</u> 22.10.2018	<u>გურჯაანის დამტკიცებულებები:</u> HQ-NQ	<b>ჭაბურღილი №4</b>
<u>უმსხველებელი:</u> ჰპს „ჯეოინჟინირინგი“ <u>სამუშაო დანართი:</u> XY-52 <u>პურავის მდობელი:</u> სექტერი (პორიზონტალური) <u>შემუშავი:</u> მ. მამულაშვილი	<u>კოორდინატები:</u> X(გ): 300079 Y(გ): 4766423 Z(გ): 1512	

მასშტაბი (გ) მდინარის საბურის სიღრღე	ნიმუში მინიმუმი (გ) და მაქსიმუმი (გ)	ბურღვის მინიმუმი (გ)	ლიანოსის გურჯაანი			გრუნტების აღწერა	
			სიღრღე	TCR %	RQD %		
16.0			16.0-19.0	10	44	0	
17.0			19.0-22.0	11	47	0	
18.0			22.0-25.0	12	67	0	
19.0			25.0-28.0	13	96	0	
20.0			28.0-31.0	14	78	0	
21.0			31.0-34.0	15	39	0	
22.0	8	21.5-21.65					<p>თიხაზისლები ნაცრისფერი, მცირე სიმტკიცის, თხელ-და ფურცლოვანშრებრივი, გამოფიტული, ძლიერ ნაპრალოვანი. ნაპრალების ზედაპირები გლუვი, შეესქმულია მტკროგან-თიხოვანი შემაგსებლით და ზოგან კვარცის ძარღვებით.</p> <p><u>ნაპრალები:</u> 0.0-22.0მ-მდე არ იზომება.</p>
23.0							
24.0							
25.0	8	25.0-25.15					<p>თიხაზისლები მუქი ნაცრისფერი, საშალო სიმტკიცის, თხელ- და ფურცლოვანშრებრივი, სუსტად გამოფიტული, ნაპრალოვანი. ნაპრალების ზედაპირები გლუვი და ბრტყელი, ზოგან შევსტულია მტკროვან-თიხოვანი შემაგსებლით და კვარცის ძარღვებით.</p> <p><u>ნაპრალები:</u> 22.0-40.0მ-მდე ძირითადად <math>\angle 75-85^\circ</math>, <math>\approx 5-6</math> ცალი <math>- \angle 45-70^\circ</math>-მდე, იშვიათად <math>\angle 90^\circ</math>.</p>
26.0							
27.0	8	27.0-27.2					
28.0							
29.0							
30.0							
31.0	8	30.5-30.65					<p>თიხაზისლები დადაბლებული სიმტკიცის, თხელ- და ფურცლოვანშრებრივი. შესუსტებული ქანები რდვევის ზონაში.</p>
32.0							

<u>უნიტები:</u> TCR-კერნის სრული გამოსავალი RQD- ქანის ხარისხის მაჩვენებელი	<u>ჭაბურღილი მი გრუნტის წყლის დონე (გ):</u> 10.0	<u>უმსხველებელი:</u> ო. გიანაშვილი
<b>შპს. ჯეოინჟინირინგი</b>	<u>პროექტის დასახულება:</u> ზეგდიდი-შესტიალასდილის საგრომობრივო გზის 116 კმ-ზე მეტყველი მონაკვეთის ასაკევი გიორაბის სამშენებლო უბის სტ. გამოკვლევა	<u>სელშეკრულება</u> №: GC-1838

<u>დაწყების თარიღი:</u> 16.10.2018 <u>დამთავრების თარიღი:</u> 22.10.2018	<u>გურლების დიამეტრი (მმ)</u> - HQ-NQ	<b>ჭაბურლილი №4</b>
<u>შემსრულებელი:</u> შპს „ჯეოინფინირინგი“ <u>სამსახურის დანადგარი:</u> XY-52 <u>გურლების შემთხვევი:</u> სკამტური (პორიზონტალური) <u>გურლები:</u> ქ. მამულაშვილი	<u>კოორდინატები:</u> X(მ): 300079 Y(მ): 4766423 Z(მ): 1512	

მასშტაბი (მ)	გრძის საბეჭის სიღრმე (მ)	ნიმუში		ბურლვის მინცემები		ლითოლოგიური საკითხი	გრუნტების აღნიშვნა
		მონოლითი (მ)	დაშლები (მ)	სიღრმეს	თემპერატურა, გ	რეზის ჩ.	
32.0							
33.0							
34.0	34.0	გ	32.0-32.4	31.0-34.0	15	39	0
35.0							
36.0							
37.0							
38.0							
39.0							
40.0							
41.0							
42.0							
43.0							
44.0							
45.0							
46.0							
47.0							
48.0							

<u>გენოგენები:</u> TCR-კერნის სრული გამოსავალი RQD- ქანის სარისხის მაჩვენებელი	<u>ჭაბურლილ ში გრუნტის წყლის დონე (მ):</u> 10.0	<u>შემსრულებელი:</u> ო. გიანაშვილი
<b>შპს. ჯეოინფინირინგი</b>	<u>პროგრესის დანართება:</u> ზედამდებარებული მონაცემებით, გზის 116 კმ-ზე მეტყველი მონაცემების ასაქცევი გვირაბის სამშენებლო უბნის ს.გ. გამოკვლევა	<u>სელშეკრულება</u> №:GC-1838

ნანართი 2  
ვერტიკალური ელექტროზონდირების  
შედეგები

**სელშეკრულება № GC-1838**

**პროექტის დასახელება:** ზუგდიდი-მესტია-ლასდილის საავტომობილო გზის 116 კმ-ზე მეწყრული მონაკვეთის ასაქცევი გვირაბის სამშენებლო უბნის საინჟინრო-გეოლოგიური გამოკვლევა

**ვერტიკალური ელემტორუზოდირების შედეგები**

ვეზის №	კვ +	ქანების სიღრმული გალეაგება, მ	ელემტორ- ფინალობა ρ მმ.მ	ვეზ-ის კოორდინატები	
				X	Y
39%-1	1+74,8	0,0-6,0	150	299045	4767030
		6,0-20,0	290		
39%-2	2+24,4	0,0-6,0	130	299076	4766991
		6,0-20,0	270		
39%-3	2+73,5	0,0-5,5	210	299109	4766953
		5,5-20,0	280		
39%-4	3+6,3	0,0-5,0	110	299139	4766919
		5,0-20,0	220		
39%-5	3+69,8	0,0-3,0	220	299186	4766890
		3,0-20,0	295		
39%-6	4+22,2	0,0-2,0	170	299230	4766865
		2,0-30,0	260		
39%-7	4+65,7	0,0-1,5	200	299276	4766847
		1,5-50,0	260		
39%-8	5+14,6	0,0-1,0	250	299325	4766845
		1,0-60,0	290		
39%-9	5+77,3	0,0-4,5	290	299388	4766822
		4,5-100	300		
39%-10	6+24,7	0,0-7,0	150	299434	4766817
		7,0-100	270		
39%-11	6+70,1	0,0-3,5	110	299481	4766841
		3,5-100	195		
39%-12	7+11,1	0,0-0,5	270	299523	4766841
		0,5-100	290		
39%-13	7+61,4	0,0-2,0	160	299573	4766854
		2,0-100	220		
39%-14	8+13,9	0,0-8,5	110	299622	4766864
		8,5-100	250		
39%-15	8+43,5	0,0-10,0	90	299651	4766839
		10,0-100	220		
39%-16	9+6,8	0,0-10,0	170	299714	4766892
		10,0-100	250		
39%-17	10+84,2	0,0-25,0	110	299880	4766830
		25,0-100	260		
39%-18	10+96,1	0,0-30,0	70	299910	4766870
		30,0-100	190		

## სელშეკრულება №GC-1838

პროექტის დასახელება: ზუგდიდი-მესტია-ლასდილის საავტომობილო გზის 116 კმ-ზე მეწყრული მონაკვეთის ასაქცევი გვირაბის სამშენებლო უბნის საინჟინრო-გეოლოგიური გამოკვლევა

## ვერტიკალური ელემტოროზოდირების შედეგები

ვეზის №	კვ +	ქანების სიღრმული გალაბება, მ	ელემტორ- ფინანგება ρ ომ.მ	ვეზ-ის კოორდინატები	
				X	Y
30%-19	10+96,8	0,0-22,0	100	299923	4766905
		22,0-100,0	230		
30%-20	11+93,2	0,0-0,5	150	299991	4766795
		0,5-100	250		
30%-21	12+79,8	0,0-1,0	110	300051	4766727
		1,0-100	210		
30%-22	13+25,8	0,0-5,5	145	300065	4766671
		5,5-100	260		
30%-23	13+91,7	0,0-1,0	190	300061	4766599
		1,0-100	290		
30%-24	14+71,4	0,0-2,0	135	300073	4766522
		2,0-100	280		
30%-25	15+20,2	0,0-4,5	130	300087	4766474
		4,5-60,0	280		
30%-26	15+71,9	0,0-3,5	160	300079	4766421
		3,5-60,0	290		
30%-27	16+71,2	0,0-5,5	190	300112	4766324
		5,5-20,0	270		
30%-28	17+46,7	0,0-2,0	200	300155	4766260
		2,0-20,0	280		
30%-29		0,0-1,0	110	300223	4766180
		1,0-20,0	220		
30%-30		0,0-1,0	270	300385	4766146
		1,0-20,0	300		
30%-31		0,0-20,0	80	299824	4766700
		20,0-60,0	250		
30%-32		0,0-5,5	130	299525	4766745
		5,5-100	250		
30%-33		0,0-5,0	230	299884	4766367
		5,0-100	290		

ჩანართი 3  
ლაბორატორიული კვლევის  
შედეგები

# **დანართი 3.1**

## **არაკლდოვანი გრუნტები**

## **დანართი 3.1.1**

### **გრუნტების შედგენილობის და ფიზიკურ-მექასნიკური კვლევის კამური უწყისი**





## **დანართი 3.2**

### **კლდოვანი ქანები**

**დანართი 3.2.1**  
**კლდოვანი ქანების გამოცდა**  
**ერთლერძა კუმშვაზე**



ପ୍ରଦୀପ କାମିନ୍ଦୁ ଏବଂ ଶ୍ରୀ କାମିନ୍ଦୁ ପାତ୍ର ପାଇଁ ପରିବାରଙ୍କ ଅଧିକାରୀ ହେଲେ ।

კლირვანი ქანის ნიმუშის გამოცდა ერთოვერა კუმშვაზე  
სტანდარტი ისტ 21153-2-84

## **დანართი 3.2.2**

### **კლდოვანი ქანების წერტილოვანი გამოცდა სფერული იდენტორებით**



პროექტის დასახულება: GC-1838 ზეპლიტ-შესტიალასტილის საკულტომნილო გზის 116 ქმ-ზე მეზორული მონაცემთის ასაქცევი გვირაბის სამშენებლო უბნის სინჟირო-ბეფლორგური გამო გვლევა

卷之三

3

სიმულაციური მოდელის ნომერის ნივთები, გ	ნომერის ნივთები, გ	ნომერი N <sub>0</sub>	მრავალი მასა $\Delta P_{\text{vis}}$	შახლების ფარისი, $Sp,$ $b\delta^2$	სიმტკიცის ზღვარი ხლოშენის ხლოშენის $\sigma_{\text{P}_{\text{vis}}}$ / $b\delta^2$	სიმტკიცის ზღვარი გამოწვევის გამოწვევის $\sigma_{\text{vis}}$ / $b\delta^2$	სიმტკიცის ზღვარი გამოწვევის $\sigma_{\text{vis}}$ / $b\delta^2$	სიმტკიცის ზღვარი გამოწვევის $\sigma_{\text{vis}}$ / $b\delta^2$	სიმტკიცის ზღვარი გამოწვევის $\sigma_{\text{vis}}$ / $b\delta^2$
აღმინდებარება /განვითარების N <sub>0</sub>	28(1)	4	1	77.0	13.16	4.21	67.40	79.29	2.55
ღამინდების წერტილი	3(1)	4	2	98.0	13.86	5.09	81.45	89.00	2.52
ღამინდების წერტილი	3(1)	4	3	89.0	10.80	5.56	82.09	79.14	2.48
ღამინდების წერტილი	34(1)	4	1	172.0	29.92	5.13	99.23	99.23	2.42
ღამინდების წერტილი	34(1)	4	2	151.0	21.00	6.20	4.95	56.10	2.49
ღამინდების წერტილი	34(1)	4	3	62.0	12.60	3.51	114.48	74.18	2.54
ღამინდების წერტილი	34(1)	4	1	162.0	18.00	7.16	4.64	36.65	2.49
ღამინდების წერტილი	34(1)	4	2	144.0	28.56	4.46	71.39	71.39	2.52
ღამინდების წერტილი	34(1)	4	3	42.0	13.20	2.29	36.65	36.65	2.52

ଦୂର୍ଧ୍ୱାଶ୍ରମୀକାରୀ-ଲ୍ଲାଙ୍ଘନିକାରୀ ହେଉଥିଲୁ ଏହାରେ ପରିଚାଳନା କରିବାରେ ଅନୁରୋଧ କରିଛନ୍ତି।



კულტურული მნაბეჭდის ასაკევი გვირაბის  
ინწოდებულებული გზის 116 ქვეშ მეწყრული მონაცემთას ასაკევი გვირაბის  
სისტემის გამოყენება

୧୯୪୫-୮୩ ମାର୍ଚ୍ଚିଆରୀ ଦିନ ଶତାବ୍ଦୀ ଏବଂ କାନ୍ତିର ଜୀବନରେ ଏହାରେ ଅନୁଭବ ହେଲାମାତ୍ରାଣେ

აღგილდებარებულის /პატიოლოგის №		ნიმუშის სიღრმე, მ	ნიმუშის №	მრავალში ძალია $\Delta P$ , ქ	გასლენის ფართის სი- $\text{m}^2$	სიტენიკის ხელვარი ხელვაზე მოწყვეტილი ფრაქტის სი- $\text{m}^2$	სიტენიკის ხელვარი ხელვაზე მოწყვეტილი ფრაქტის სი- $\text{m}^2$	სიტენიკის ხელვარი ხელვაზე მოწყვეტილი ფრაქტის სი- $\text{m}^2$	სიტენიკის ხელვარი ხელვაზე მოწყვეტილი ფრაქტის სი- $\text{m}^2$
წელის დანაწელება									
ბ.ბ. 2	25.0-252	6	1	119.00	7.50	10.12	7.48	161.84	2.53
		3	2	154.00	11.28	9.42		150.72	2.50
		1	17.00	12.18	0.98		15.74	46.32	
	41.4-416	6	2	88.00	13.64	4.60	3.03	73.55	48.44
		3	59.00	11.88	3.50		56.02		2.56
	41.4-416	6	1	839.00	7.80	68.57		1097.15	
		2	271.00	3.41	39.93	54.78	638.96	876.48	
		3	300.00	2.70	55.83		893.33		
		1	509.00	12.00	29.90		478.46		
	47.0-472	6	2	243.00	6.44	22.07	28.18	353.18	450.88
		3	385.00	7.36	32.56		521.01		
		1	188.00	13.60	9.85		157.59		
		2	240.00	12.69	13.33	11.15	213.33	178.36	
		3	171.00	11.75	10.26		164.16		
		1	19.00	21.16	0.74		11.85		
	52.0-52.15	6	2	23.00	20.68	0.90	0.82	14.41	13.13
		1	169.00	8.40	12.83		205.21		2.71
		2	95.00	5.52	9.81	11.32	156.96	181.09	
		1	9.00	23.97	0.32	0.32	5.05	5.05	2.71
	63.0-632	6	1	68.00	13.64	3.55	6.96	56.83	111.40
		2	130.00	7.52	10.37			165.96	
		1	70.00	15.98	3.29		52.62		
		2	50.00	16.65	2.32	1.98	37.12	31.70	
	4.2-4.4	6	3	7.00	15.64	0.34		5.37	
		1	550.00	6.27	51.32		821.05		
		2	584.00	5.44	61.19	54.63	979.06	874.02	
		3	429.00	4.76	51.37				2.61





აღილმდებარებას /ჰაბურილის N <sup>o</sup>	ნომერის სიზღვარი, გ	ნომერის სიზღვარი, გ	მრავალშვილი სახლის ტარო, $\Delta P_{\text{მ}} \text{ kPa}$	გასხლების ტარო, $S_P \text{ kN/m}^2$	სიმტკიცის ხდების მიზანი სიმტკიცის ხდების მიზანი სიმტკიცის ხდების მიზანი	სიმტკიცის ხდების მიზანი სიმტკიცის ხდების მიზანი	სიმტკიცის ხდების მიზანი
გაბ. 4	27.0-27.2	6	1	19.00	20.70	0.74	0.82
			2	23.00	21.16	0.90	14.35
			1	169.00	10.34	11.03	8.84
			2	95.00	9.43	6.65	106.38
გაბ. 4	30.5-30.65	6	1	65.00	11.52	4.02	176.52
			2	32.00	7.22	3.06	141.45
			1	139.00	24.99	4.71	4.71
			1	418.00	12.74	22.89	11.73
გაბ. 4	32.2-32.4	6	1	37.00	22.54	1.38	1.38
			1	44.00	14.82	2.12	3.11
			2	84.00	14.56	4.11	65.77
			1	17.00	20.65	0.67	75.42
გაბ. 4	37.0-37.2	6	1	110.00	9.87	7.36	366.16
			1	384.0	17.44	16.84	22.06
			2	253.0	15.04	12.62	33.85
			3	362.0	15.52	17.49	49.81
			1	516.0	16.25	24.29	65.77
			2	441.0	13.50	24.01	38.87
			3	378.0	13.65	20.35	384.16
			1	364.0	20.00	14.74	366.16
			2	224.0	6.75	19.41	22.99
			3	89.0	8.64	6.57	325.66
ღამისინგების წერტილი	5(1)	4	1	466.0	6.46	42.20	235.87
			2	856.0	27.90	26.23	310.61
			3	256.0	11.78	15.16	217.18
			1	1240.0	47.60	25.79	105.07
ღამისინგების წერტილი	8(2)	4	2	394.0	42.50	8.97	442.38
			3	426.0	10.40	27.65	442.38
ღამისინგების წერტილი	9(1)	4	1	364.0	20.00	14.74	332.84
			2	224.0	6.75	19.41	20.80
			3	89.0	8.64	6.57	143.51
ღამისინგების წერტილი	10(1)	4	1	466.0	6.46	42.20	412.64
			2	856.0	27.90	26.23	445.81
			3	256.0	11.78	15.16	242.53
ღამისინგების წერტილი	11(1)	4	1	1240.0	47.60	25.79	412.64
			2	394.0	42.50	8.97	332.84
			3	426.0	10.40	27.65	260



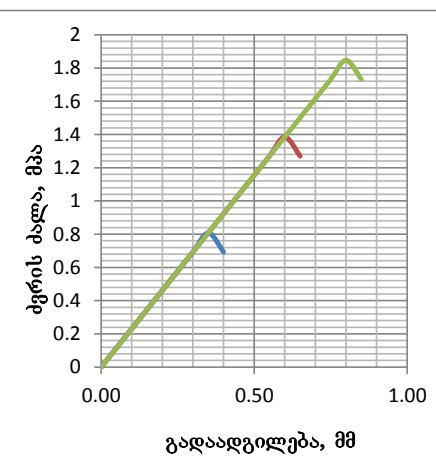
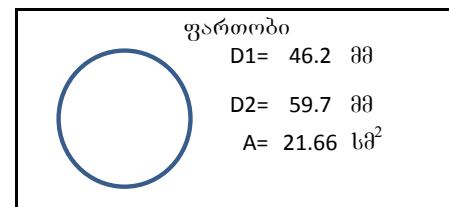


**ლანართი 3.2.3**  
კლდოვანი ქანების ძვრაზე გამოცდა  
ნაპრალების ზედაპირის გასწვრივ  
(მშრალ და დასველებულ  
ზედაპირებზე)

## კლდოვანი ქანების ძვრაზე გამოცდა ბუნებრივი ნაპრალის ზედაპირის გასწვრივ

პროექტის დასახელება: GC-1838 ზუგდიდი-მესტია-ლასდილის სააგტომობილო გზის 116 ქმ-ზე  
მეწყრული მონაკვეთის ასაქცევი გვირაბის სამშენებლო უბნის საინჟინრო-გეოლოგიური  
გამოკვლევა.

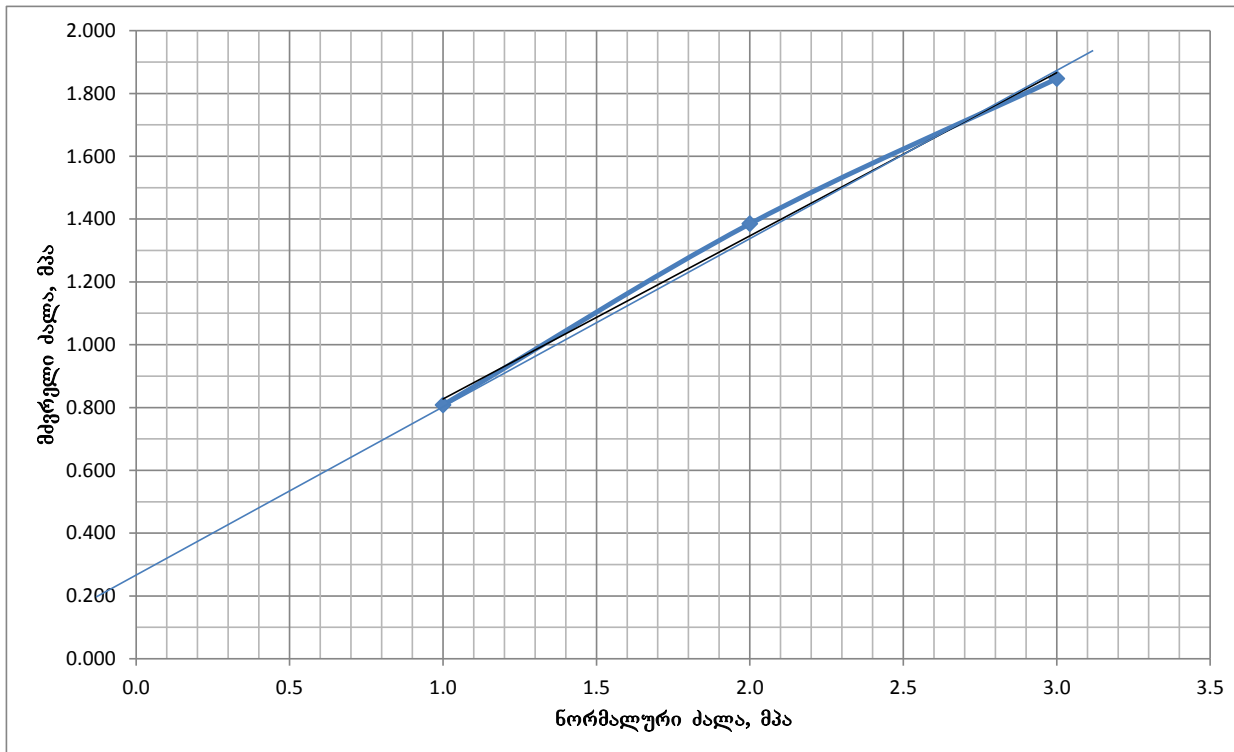
BH-2 h=3.8-3.9						
გრუნტის დასახელება: თიხა ფიქალი						
ვერტიკალური დატვირთვა, ქნ			D მმ	ძვრის მაღა, მპა		
N=2.2N s=1MPa	N=4.4N s=2.0MPa	N=6.6kN s=3.0MPa		for s=1MPa	for s=2.0MPa	for s=3.0MPa
0	0	0	0.00	0	0	0
0.25	0.25	0.25	0.05	0.115	0.115	0.115
0.50	0.50	0.50	0.10	0.231	0.231	0.231
0.75	0.75	0.75	0.15	0.346	0.346	0.346
1.00	1.00	1.00	0.20	0.462	0.462	0.462
1.25	1.25	1.25	0.25	0.577	0.577	0.577
1.50	1.50	1.50	0.30	0.693	0.693	0.693
1.75	1.75	1.75	0.35	0.808	0.808	0.808
2.00	2.00	2.00	0.40	0.693	0.923	0.923
	2.25	2.25	0.45		1.039	1.039
	2.50	2.50	0.50		1.154	1.154
	2.75	2.75	0.55		1.270	1.270
	3.00	3.00	0.60		1.385	1.385
	2.75	3.25	0.65		1.270	1.500
		3.50	0.70			1.616
		3.75	0.75			1.731
		4.00	0.80			1.847
		3.75	0.85			1.731
			0.90			
			0.95			



ცდა ჩატარდა ASTM D 5607-ის მიხედვით

BH-2 h=3.8-3.9

ნორმალური ძალა, მპა	ძვრის ძალა, მპა
1.0	0.808
2.0	1.385
3.0	1.847



$$Tg\varphi = (1.847 - 0.300) / 2.8 = 0.553$$

$$\varphi = 28.9^\circ$$

$$c = 0.300 \text{ MPa}$$

შეასრულა: ნ. ჯვარიძე

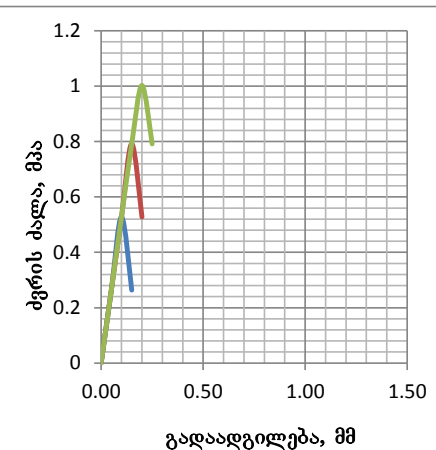
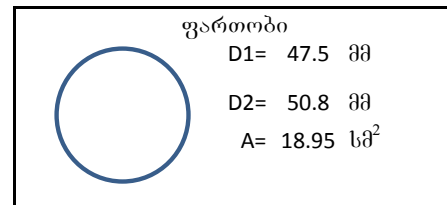
შეამოწმა: რ. ყაგელაშვილი

თარიღი: 21.11.2018

## კლდოვანი ქანების ძვრაზე გამოცდა ბუნებრივი ნაპრალის ზედაპირის გასწვრივ

პროექტის დასახელება: GC-1838 ზუგდიდი-მესტია-ლასდილის სააგტომობილო გზის 116 ქმ-ზე  
მეწყრული მონაკვეთის ასაქცევი გვირაბის სამშენებლო უბნის საინჟინრო-გეოლოგიური  
გამოკვლევა.

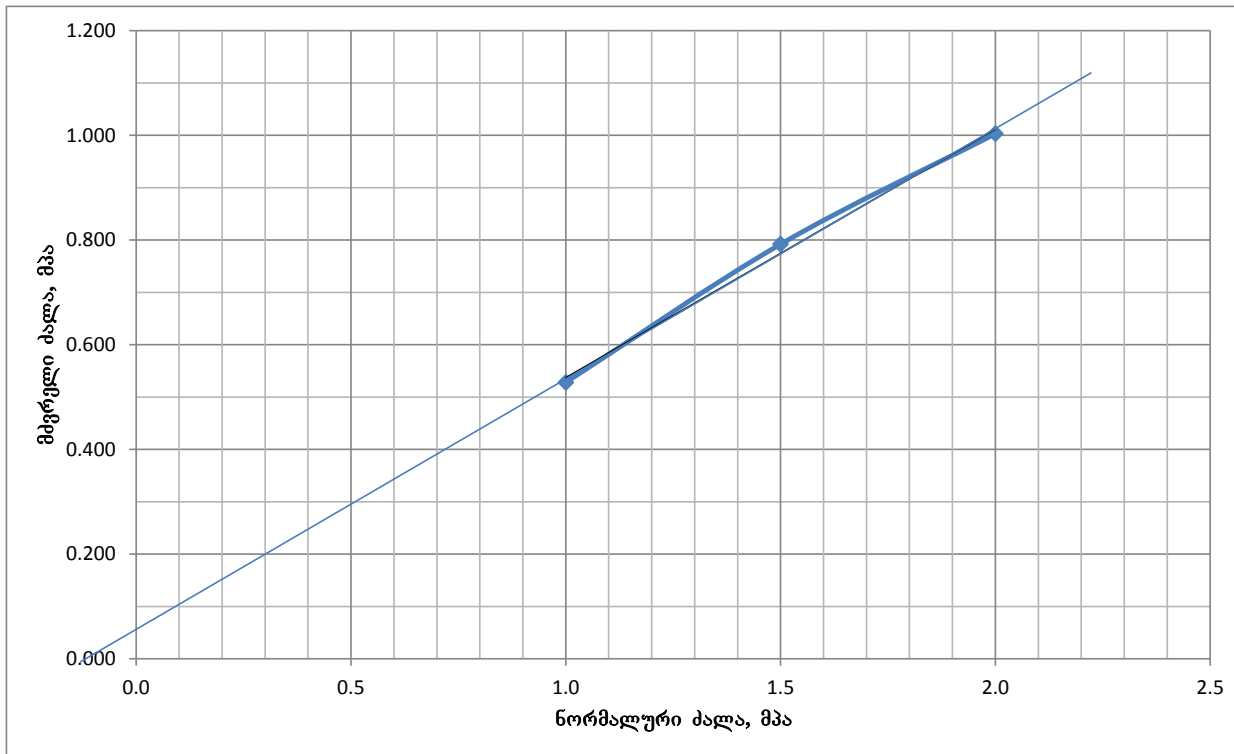
BH-2 h=20.0-20.2						
გრუნტის დასახელება: თიხა ფიქალი						
ვერტიკალური დატვირთვა, ქნ			<i>D</i> მმ	ძვრის ძალა, მპა		
N=1.9N s=1MPa	N=2.8N s=1.5MPa	N=3.8kN s=2.0MPa		for s=1MPa	for s=1.5MPa	for s=2.0MPa
0	0	0	0.00	0	0	0
0.5	0.5	0.5	0.05	0.264	0.264	0.264
1.0	1.0	1.0	0.10	0.528	0.528	0.528
0.5	1.5	1.5	0.15	0.264	0.792	0.792
	1.0	1.9	0.20		0.528	1.003
		1.5	0.25			0.792
			0.30			
			0.35			
			0.40			
			0.45			
			0.50			
			0.55			
			0.60			
			0.65			
			0.70			
			0.75			
			0.80			
			0.85			
			0.90			
			0.95			



ცდა ჩატარდა ASTM D 5607-ის მიხედვით

BH-2 h=20.0-20.2

ნორმალური ძალა, მპა	ძვრის ძალა, მპა
1.0	0.528
1.5	0.792
2.0	1.003



$$Tg\varphi = (1.003 - 0.080)/1.85 = 0.497$$

$$\varphi = 26.4^\circ$$

$$c = 0.080 \text{ MPa}$$

შეასრულა: ნ. ჯვარიძე

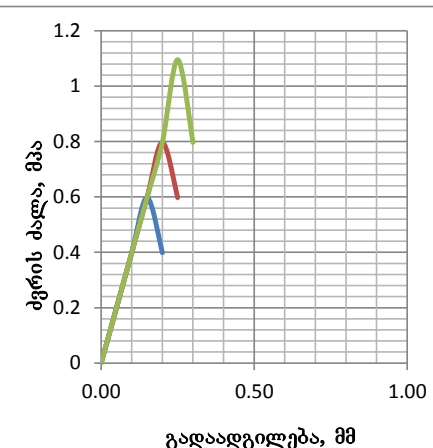
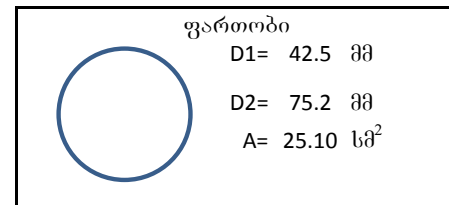
შეამოწმა: რ. ყაგელაშვილი

თარიღი: 5.11.2018

## კლდოვანი ქანების ძვრაზე გამოცდა ბუნებრივი ნაპრალის ზედაპირის გასწვრივ

პროექტის დასახელება: GC-1838 ზუგდიდი-მესტია-ლასდილის სააგტომობილო გზის 116 ქმ-ზე  
მეწყრული მონაკვეთის ასაქცევი გვირაბის სამშენებლო უბნის საინჟინრო-გეოლოგიური  
გამოკვლევა.

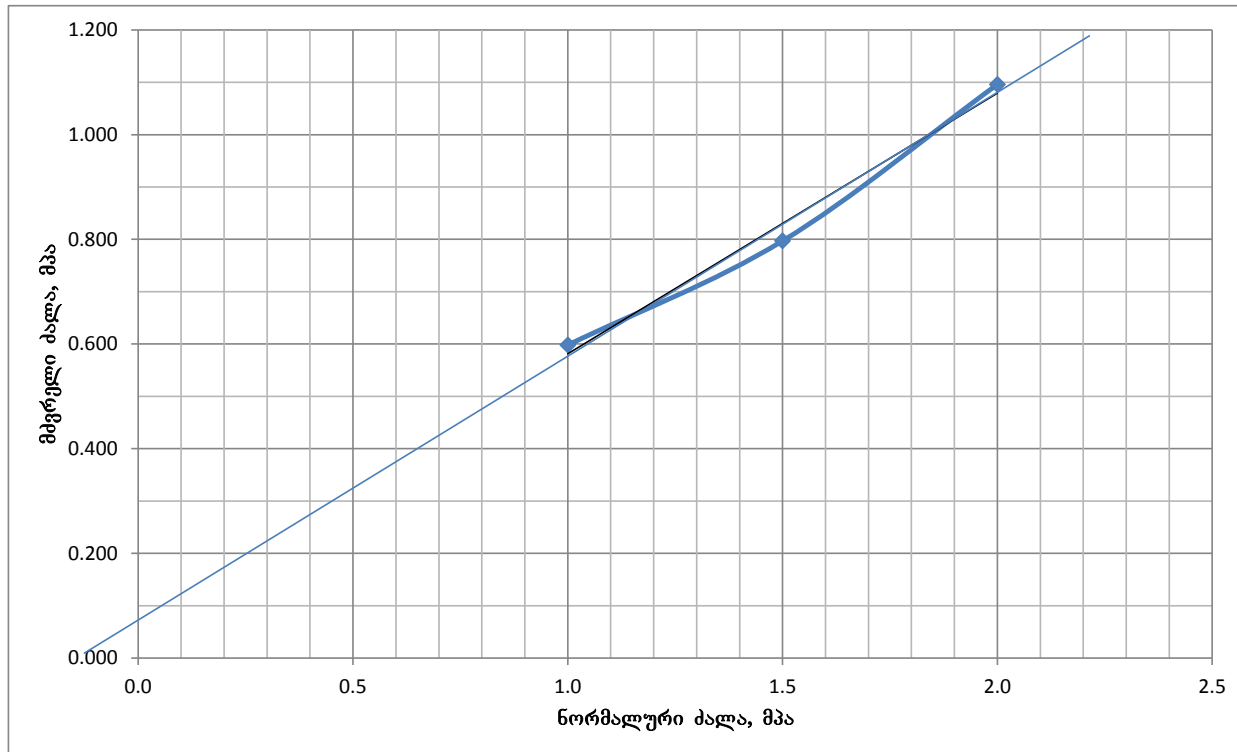
BH-2 h=69.0-69.2					
გრუნტის დასახელება: თიხა ფიქალი					
ვერტიკალური დატვირთვა, ქნ			<i>D</i> მმ	ძვრის ძალა, მპა	
N=2.5N s=1MPa	N=3.8N s=1.5MPa	N=5.0kN s=2.0MPa		for s=1MPa	for s=1.5MPa
0	0	0	0.00	0	0
0.5	0.5	0.5	0.05	0.199	0.199
1.0	1.0	1.0	0.10	0.398	0.398
1.5	1.5	1.5	0.15	0.598	0.598
	2.0	2.0	0.20		0.797
		2.8	0.25		1.096
			0.30		
			0.35		
			0.40		
			0.45		
			0.50		
			0.55		
			0.60		
			0.65		
			0.70		
			0.75		
			0.80		
			0.85		
			0.90		



ცდა ჩატარდა ASTM D 5607-ის მიხედვით

BH-2 h=69.0-69.2

ნორმალური ძალა, მპა	ძვრის ძალა, მპა
1.0	0.598
1.5	0.797
2.0	1.096



$$Tg\phi = (1.096 - 0.100) / 1.85 = 0.538$$

$$\phi = 28.3^\circ$$

$$c = 0.100 \text{ MPa}$$

შეასრულა: 6. ჯეარიძე

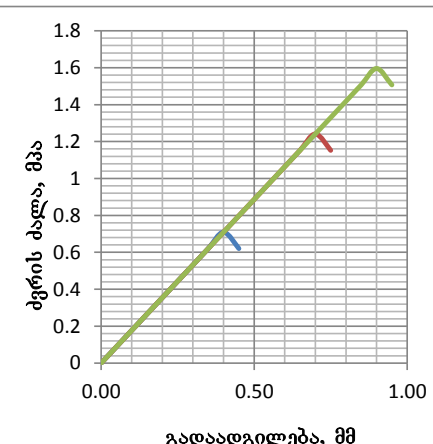
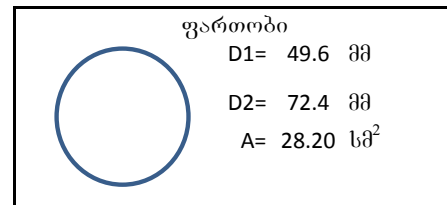
შეამოწმა: რ. ყაველაშვილი

თარიღი: 5.11.2018

## კლდოვანი ქანების ძვრაზე გამოცდა ბუნებრივი ნაპრალის ზედაპირის გასწვრივ

პროექტის დასახელება: GC-1838 ზუგდიდი-მესტია-ლასდილის სააგტომობილო გზის 116 ქმ-ზე  
მეწყრული მონაკვეთის ასაქცევი გვირაბის სამშენებლო უბნის საინჟინრო-გეოლოგიური  
გამოკვლევა.

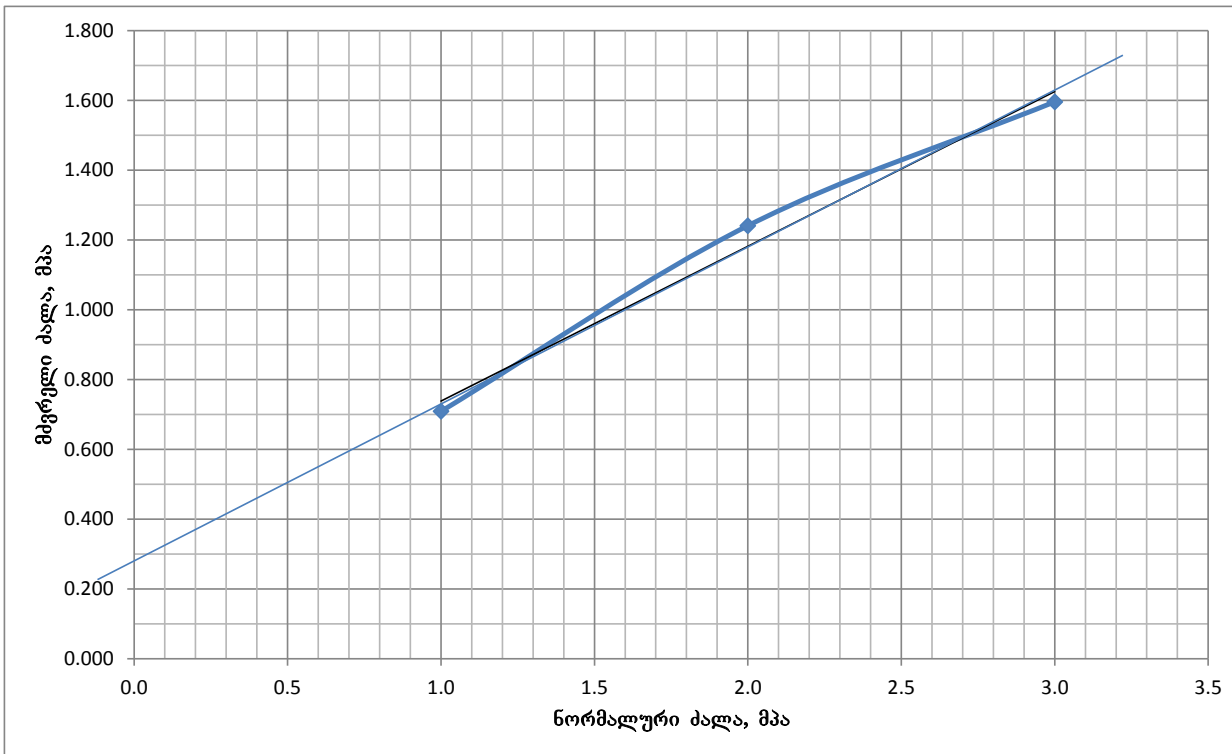
BH-3 h=8.88-8.90						
გრუნტის დასახელება: თიხა ფიქალი						
ვერტიკალური დატვირთვა, ქნ			D მმ	ძვრის მაღა, მპა		
N=2.8N s=1MPa	N=5.6N s=2.0MPa	N=8.4kN s=3.0MPa		for s=1MPa	for s=2.0MPa	for s=3.0MPa
0	0	0	0.00	0	0	0
0.25	0.25	0.25	0.05	0.089	0.089	0.089
0.50	0.50	0.50	0.10	0.177	0.177	0.177
0.75	0.75	0.75	0.15	0.266	0.266	0.266
1.00	1.00	1.00	0.20	0.355	0.355	0.355
1.25	1.25	1.25	0.25	0.443	0.443	0.443
1.50	1.50	1.50	0.30	0.532	0.532	0.532
1.75	1.75	1.75	0.35	0.621	0.621	0.621
2.00	2.00	2.00	0.40	0.709	0.709	0.709
2.25	2.25	2.25	0.45	0.621	0.798	0.798
	2.50	2.50	0.50		0.887	0.887
	2.75	2.75	0.55		0.975	0.975
	3.00	3.00	0.60		1.064	1.064
	3.25	3.25	0.65		1.152	1.152
	3.50	3.50	0.70		1.241	1.241
	3.25	3.75	0.75		1.152	1.330
		4.00	0.80			1.418
		4.25	0.85			1.507
		4.50	0.90			1.596
		4.25	0.95			1.507



ცდა ჩატარდა ASTM D 5607-ის მიხედვით

BH-3 h=8.88-8.90

ნორმალური ძალა, მპა	ძვრის ძალა, მპა
1.0	0.709
2.0	1.241
3.0	1.596



$$Tg\varphi = (1.596 - 0.300) / 2.8 = 0.463$$

$$\varphi = 24.8^\circ$$

$$c = 0.300 \text{ MPa}$$

შეასრულა: ნ. ჯვარიძე

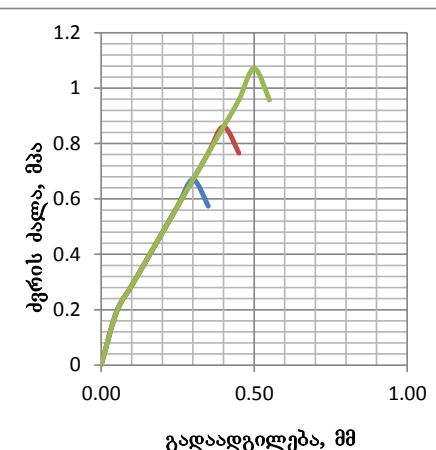
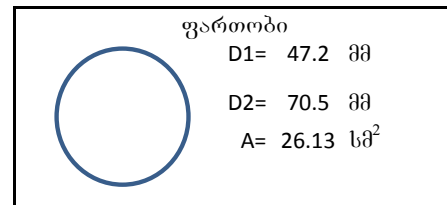
შეამოწმა: რ. ყაგელაშვილი

თარიღი: 21.11.2018

## კლდოვანი ქანების ძვრაზე გამოცდა ბუნებრივი ნაპრალის ზედაპირის გასწვრივ

პროექტის დასახელება: GC-1838 ზუგდიდი-მესტია-ლასდილის სააგტომობილო გზის 116 ქმ-ზე  
მეწყრული მონაკვეთის ასაქცევი გვირაბის სამშენებლო უბნის საინჟინრო-გეოლოგიური  
გამოკვლევა.

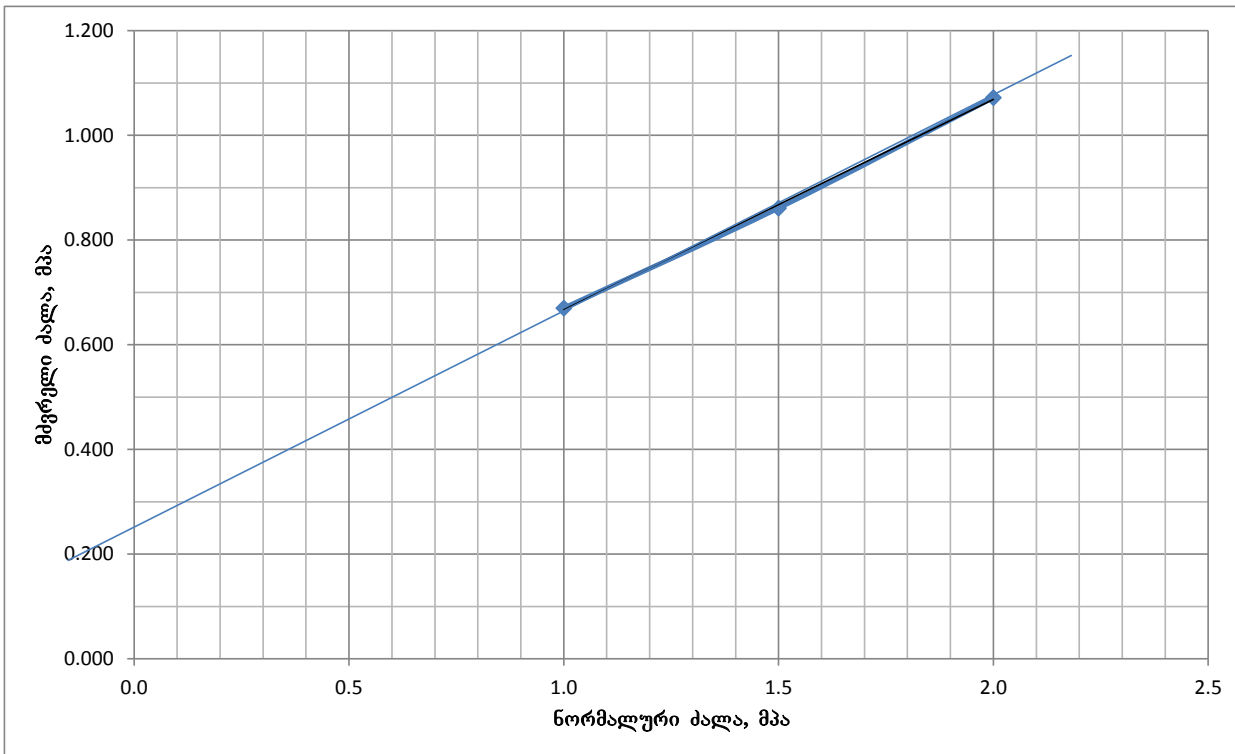
BH-3 h=42.5-42.7						
გრუნტის დასახელება: თიხა ფიქალი						
ვერტიკალური დატვირთვა, ქნ			D მმ	ძვრის მაღა, მპა		
N=2.6N s=1MPa	N=3.9N s=1.5MPa	N=5.2kN s=2.0MPa		for s=1MPa	for s=1.50MPa	for s=2.0MPa
0	0	0	0.00	0	0	0
0.50	0.50	0.50	0.05	0.191	0.191	0.191
0.75	0.75	0.75	0.10	0.287	0.287	0.287
1.00	1.00	1.00	0.15	0.383	0.383	0.383
1.25	1.25	1.25	0.20	0.478	0.478	0.478
1.50	1.50	1.50	0.25	0.574	0.574	0.574
1.75	1.75	1.75	0.30	0.670	0.670	0.670
1.50	2.00	2.00	0.35	0.574	0.765	0.765
	2.25	2.25	0.40		0.861	0.861
	2.00	2.50	0.45		0.765	0.957
		2.80	0.50			1.072
		2.50	0.55			0.957
			0.60			
			0.65			
			0.70			
			0.75			
			0.80			
			0.85			
			0.90			
			0.95			



ცდა ჩატარდა ASTM D 5607-ის მიხედვით

BH-3 h=42.5-42.7

ნორმალური ძალა, მპა	ძვრის ძალა, მპა
1.0	0.670
1.5	0.861
2.0	1.072



$$Tg\varphi = (1.072 - 0.270) / 2.0 = 0.401$$

$$\varphi = 21.9^\circ$$

$$c = 0.270 \text{ MPa}$$

შეასრულა: ნ. ჯვარიძე

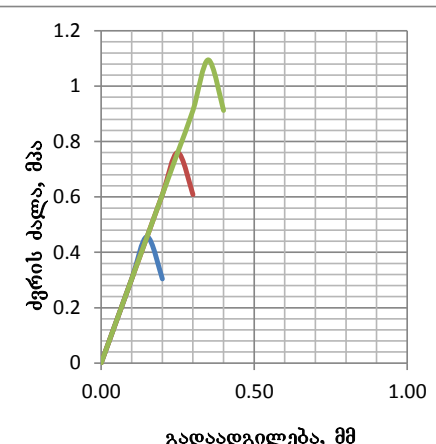
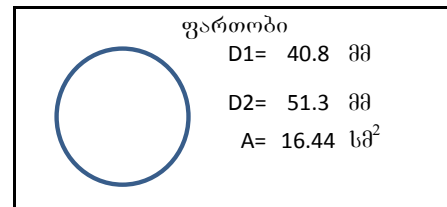
შეამოწმა: რ. ყაგელაშვილი

თარიღი: 21.11.2018

კლდოვანი ქანების ძვრაზე გამოცდა ბუნებრივი ნაპრალის ზედაპირის გასწვრივ

პროექტის დასახელება: GC-1838 ზუგდიდი-მესტია-ლასდილის სააგტომობილო გზის 116 ქმ-ზე  
მეწყრული მონაკვეთის ასაქცევი გვირაბის სამშენებლო უბნის საინჟინრო-გეოლოგიური  
გამოკვლევა.

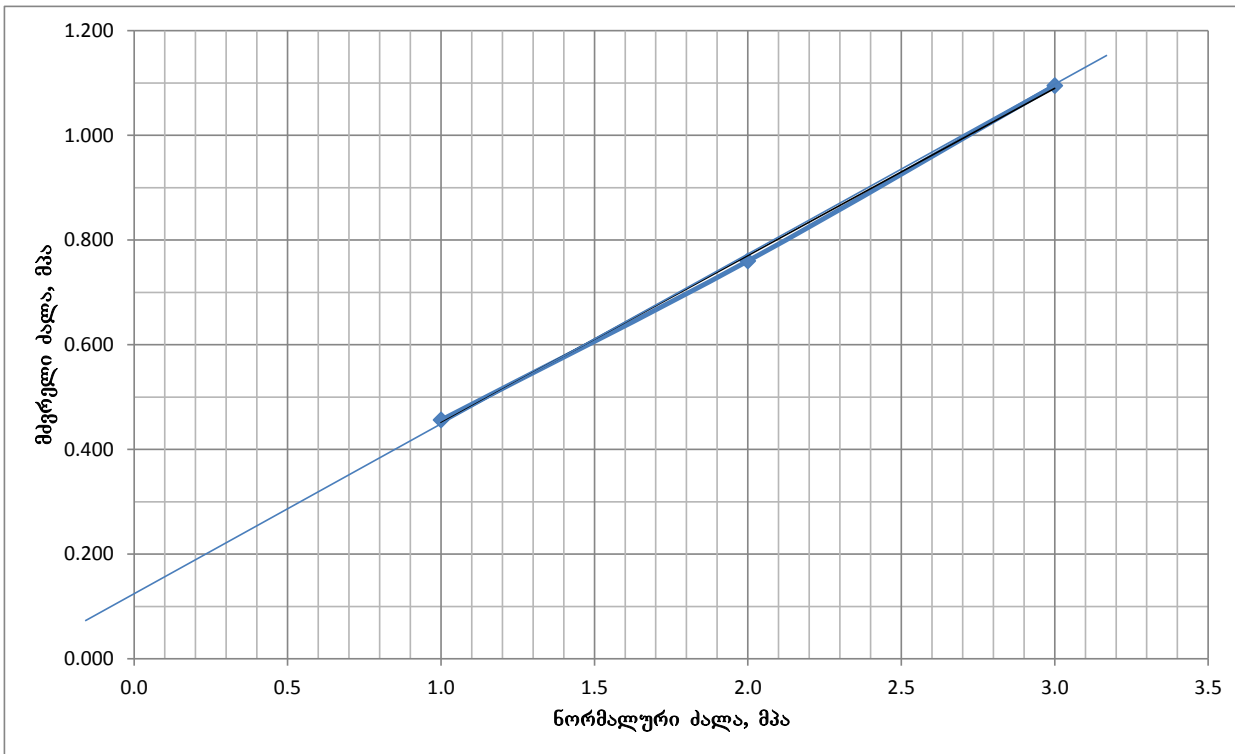
BH-4 h=25.0-25.15						
გრუნტის დასახელება: თიხა ფიქალი						
ვერტიკალური დატვირთვა, ქნ			D მმ	ძვრის მაღა, მპა		
N=1.7N s=1MPa	N=3.4N s=2.0MPa	N=5.1kN s=3.0MPa		for s=1MPa	for s=2.0MPa	for s=3.0MPa
0	0	0	0.00	0	0	0
0.25	0.25	0.25	0.05	0.152	0.152	0.152
0.50	0.50	0.50	0.10	0.304	0.304	0.304
0.75	0.75	0.75	0.15	0.456	0.456	0.456
0.50	1.00	1.00	0.20	0.304	0.608	0.608
	1.25	1.25	0.25		0.760	0.760
	1.00	1.50	0.30		0.608	0.912
		1.80	0.35			1.095
		1.50	0.40			0.912
			0.45			
			0.50			
			0.55			
			0.60			
			0.65			
			0.70			
			0.75			
			0.80			
			0.85			
			0.90			
			0.95			



ცდა ჩატარდა ASTM D 5607-ის მიხედვით

BH-4 h=25.0-25.15

ნორმალური ძალა, მპა	ძვრის ძალა, მპა
1.0	0.456
2.0	0.760
3.0	1.095



$$Tg\varphi = (1.095 - 0.100) / 3.0$$

$$0.332$$

$$\varphi = 18.3^\circ$$

$$c = 0.100 \text{ MPa}$$

შეასრულა: ნ. ჯვარიძე

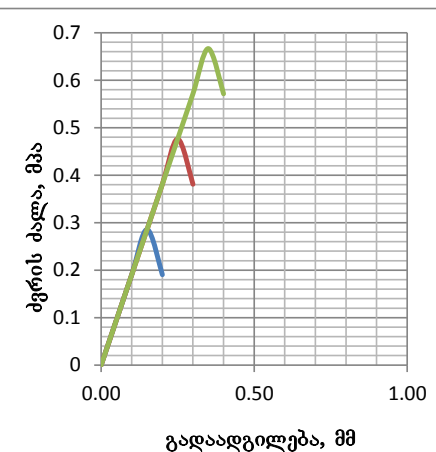
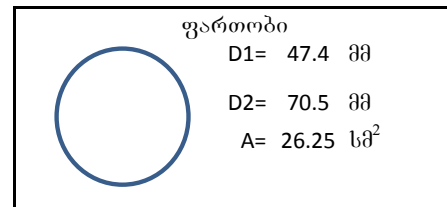
შეამოწმა: რ. ყაგელაშვილი

თარიღი: 21.11.2018

**კლდოვანი ქანების ძვრაზე გამოცდა ბუნებრივი ნაპრალის ზედაპირის გასწვრივ**

პროექტის დასახელება: **GC-1838** ზუგდიდი-მესტია-ლასდილის სააგტომობილო გზის 116 ქმ-ზე  
მეწყრული მონაკვეთის ასაქცევი გვირაბის სამშენებლო უბნის საინჟინრო-გეოლოგიური  
გამოკვლევა.

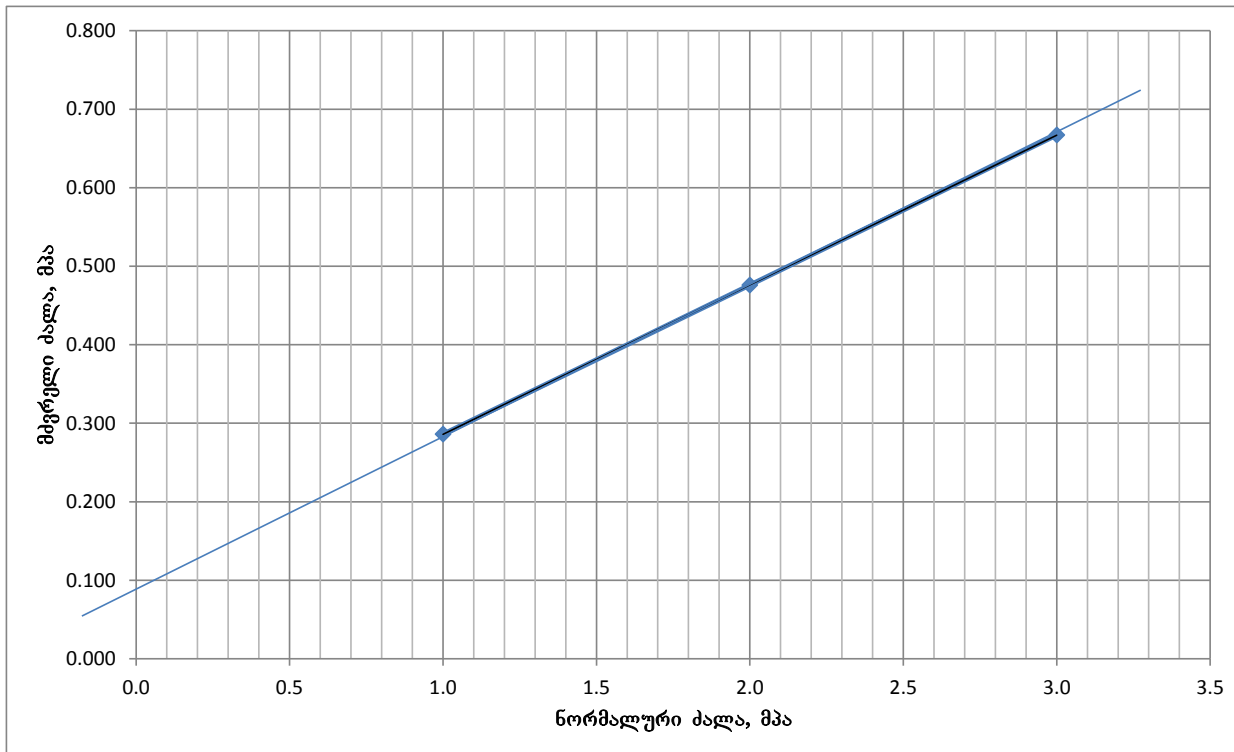
<b>BH-4 h=25.0-25.15</b>						
გრუნტის დასახელება: თიხა ფიქალი						
ვერტიკალური დატვირთვა, კნ			<b>D მმ</b>	ძვრის მაღა, მპა		
N=2.6N s=1MPa	N=3.9N s=2.0MPa	N=5.2kN s=3.0MPa		for s=1MPa	for s=2.0MPa	for s=3.0MPa
0	0	0	<b>0.00</b>	0	0	0
0.25	0.25	0.25	<b>0.05</b>	0.095	0.095	0.095
0.50	0.50	0.50	<b>0.10</b>	0.190	0.190	0.190
0.75	0.75	0.75	<b>0.15</b>	0.286	0.286	0.286
0.50	1.00	1.00	<b>0.20</b>	0.190	0.381	0.381
	1.25	1.25	<b>0.25</b>		0.476	0.476
	1.00	1.50	<b>0.30</b>		0.381	0.571
		1.75	<b>0.35</b>			0.667
		1.50	<b>0.40</b>			0.571
			<b>0.45</b>			
			<b>0.50</b>			
			<b>0.55</b>			
			<b>0.60</b>			
			<b>0.65</b>			
			<b>0.70</b>			
			<b>0.75</b>			
			<b>0.80</b>			
			<b>0.85</b>			
			<b>0.90</b>			
			<b>0.95</b>			



ცდა ჩატარდა ASTM D 5607-ის მიხედვით

BH-4 h=25.0-25.15

ნორმალური ძალა, მპა	ძვრის ძალა, მპა
1.0	0.286
2.0	0.476
3.0	0.667



$$Tg\varphi = (0.667 - 0.095)/3.0$$

$$0.191$$

$$\varphi = 10.8^\circ$$

$$c = 0.095 \text{ MPa}$$

შეასრულა: ნ. ჯვარიძე

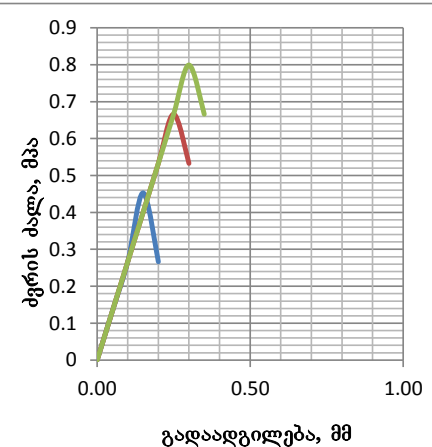
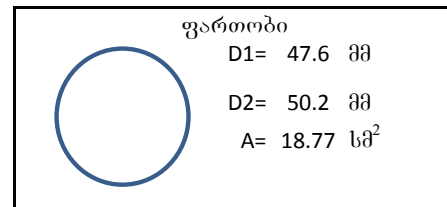
შეამოწმა: რ. ყაგელაშვილი

თარიღი: 22.11.2018

## ქლდოვანი ქანების ძვრაზე გამოცდა დასველებულ ზედაპირზე

**პროექტის დასახელება: GC-1838 ზუგდიდი-მესტია-ლასდილის სააგტომობილო გზის 116 ქმ-ზე  
მეწყრული მონაკვეთის ასაქცევი გვირაბის სამშენებლო უბნის საინჟინრო-გეოლოგიური  
გამოკვლევა.**

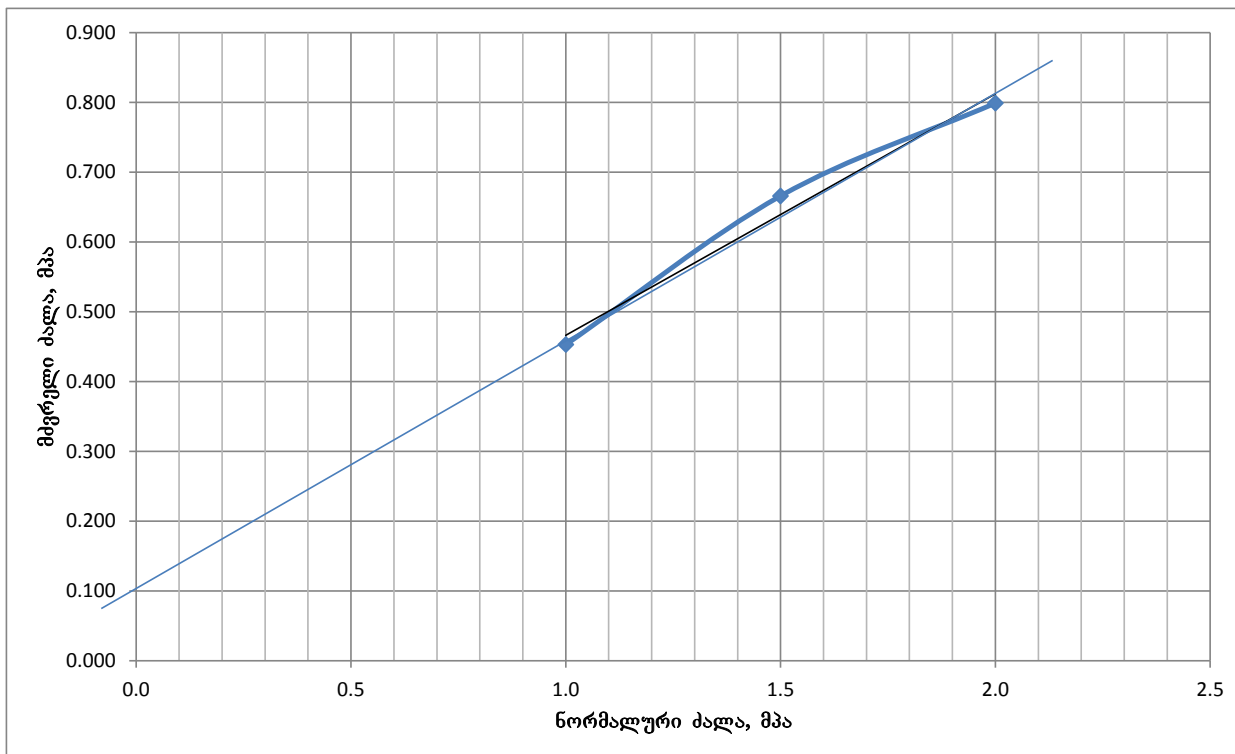
BH-2 h=57.0-57.15						
გრუნტის დასახელება: თიხა ფიქალი						
ვერტიკალური დატვირთვა, ქნ			D მმ	ძვრის მაღა, მპა		
N=1.9N s=1MPa	N=2.8N s=1.5MPa	N=3.8kN s=2.0MPa		for s=1MPa	for s=1.5MPa	for s=2.0MPa
0	0	0	0.00	0	0	0
0.25	0.25	0.25	0.05	0.133	0.133	0.133
0.50	0.50	0.50	0.10	0.266	0.266	0.266
0.85	0.75	0.75	0.15	0.453	0.400	0.400
0.50	1.00	1.00	0.20	0.266	0.533	0.533
	1.25	1.25	0.25		0.666	0.666
	1.00	1.50	0.30		0.533	0.799
		1.25	0.35			0.666
			0.40			
			0.45			
			0.50			
			0.55			
			0.60			
			0.65			
			0.70			
			0.75			
			0.80			
			0.85			
			0.90			
			0.95			



ცდა ჩატარდა ASTM D 5607-ის მიხედვით

BH-2 h=57.0-57.15

ნორმალური ძალა, მპა	ძვრის ძალა, მპა
1.0	0.453
1.5	0.666
2.0	0.799



$$Tg\varphi = (0.799 - 0.100)/2.0 = 0.350$$

$$\varphi = 19.3^\circ$$

$$c=0.100 \text{ MPa}$$

შეასრულა: ნ. ჯვარიძე

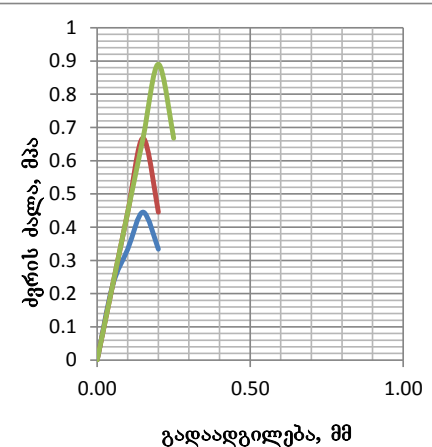
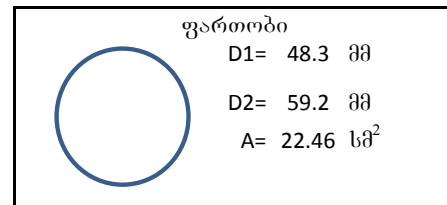
შეამოწმა: რ. ყაგელაშვილი

თარიღი: 22.11.2018

## ქლდოვანი ქანების ძვრაზე გამოცდა დასველებულ ზედაპირზე

**პროექტის დასახელება: GC-1838 ზუგდიდი-მესტია-ლასდილის სააგტომობილო გზის 116 ქმ-ზე  
მეწყრული მონაკვეთის ასაქცევი გვირაბის სამშენებლო უბნის საინჟინრო-გეოლოგიური  
გამოკვლევა.**

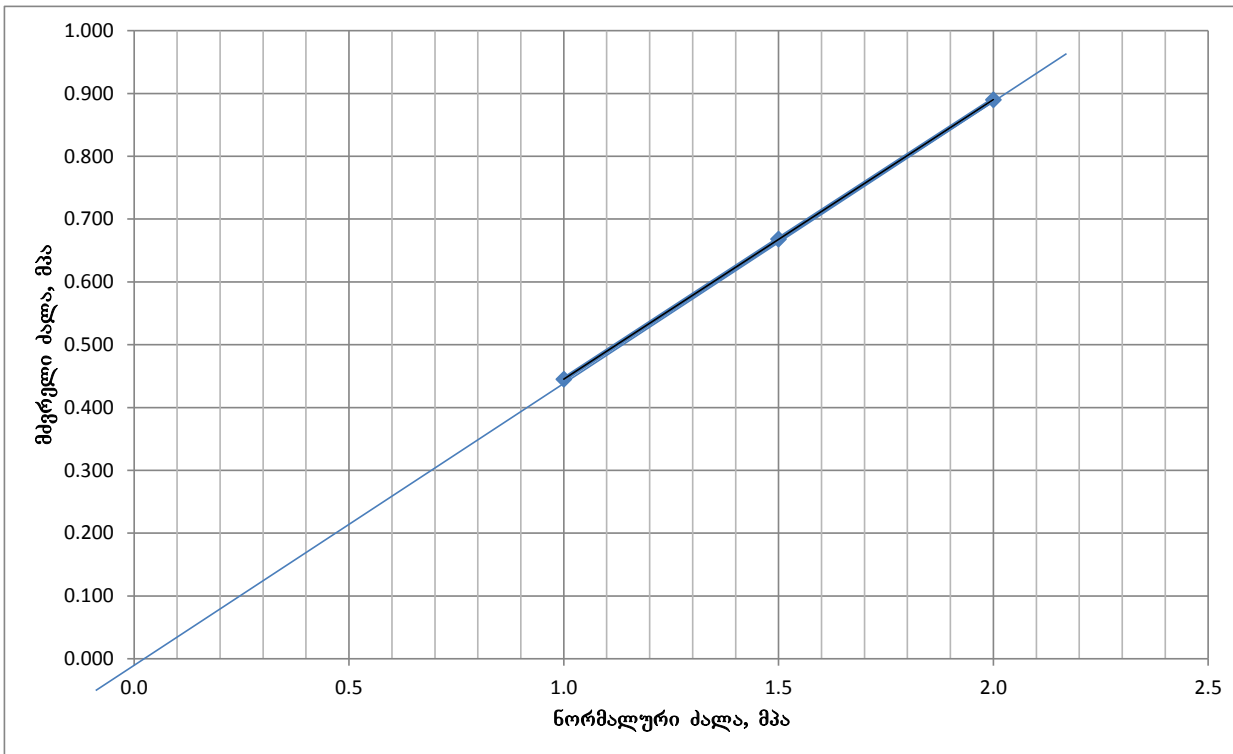
BH-2 h=69.0-69.2						
გრუნტის დასახელება: თიხა ფიქალი						
ვერტიკალური დატვირთვა, ქნ			<i>D</i> მმ	ძვრის ძალა, მპა		
N=2.2N s=1MPa	N=3.3N s=1.5MPa	N=4.4kN s=2.0MPa		for s=1MPa	for s=1.5MPa	for s=2.0MPa
0	0	0	0.00	0	0	0
0.50	0.50	0.50	0.05	0.223	0.223	0.223
0.75	1.00	1.00	0.10	0.334	0.445	0.445
1.00	1.50	1.50	0.15	0.445	0.668	0.668
0.75	1.00	2.00	0.20	0.334	0.445	0.890
		1.50	0.25			0.668
			0.30			
			0.35			
			0.40			
			0.45			
			0.50			
			0.55			
			0.60			
			0.65			
			0.70			
			0.75			
			0.80			
			0.85			
			0.90			
			0.95			



ცდა ჩატარდა ASTM D 5607-ის მიხედვით

BH-2 h=69.0-69.2

ნორმალური ძალა, მპა	ძვრის ძალა, მპა
1.0	0.445
1.5	0.668
2.0	0.890



$$Tg\varphi = (0.890 - 0.025) / 3.0 = 0.288$$

$$\varphi = 16.1^\circ$$

$$c = 0.025 \text{ MPa}$$

შეასრულა: ნ. ჯვარიძე

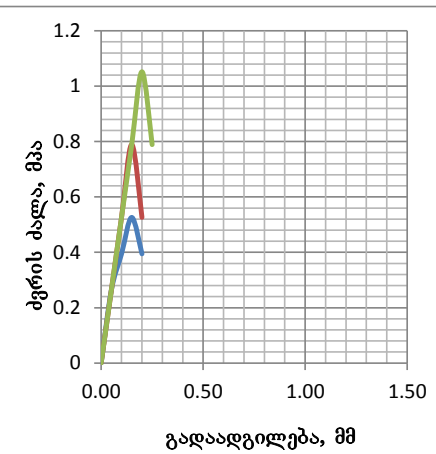
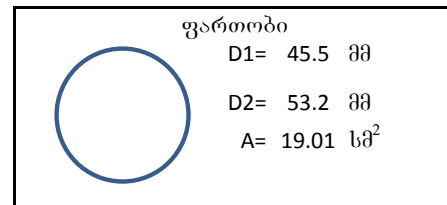
შეამოწმა: რ. ყაგელაშვილი

თარიღი: 22.11.2018

## ქლდოვანი ქანების ძვრაზე გამოცდა დასველებულ ზედაპირზე

პროექტის დასახელება: **GC-1838** ზუგდიდი-მესტია-ლასდილის სააგტომობილო გზის 116 ქმ-ზე  
მეწყრული მონაკვეთის ასაქცევი გვირაბის სამშენებლო უბნის საინჟინრო-გეოლოგიური  
გამოკვლევა.

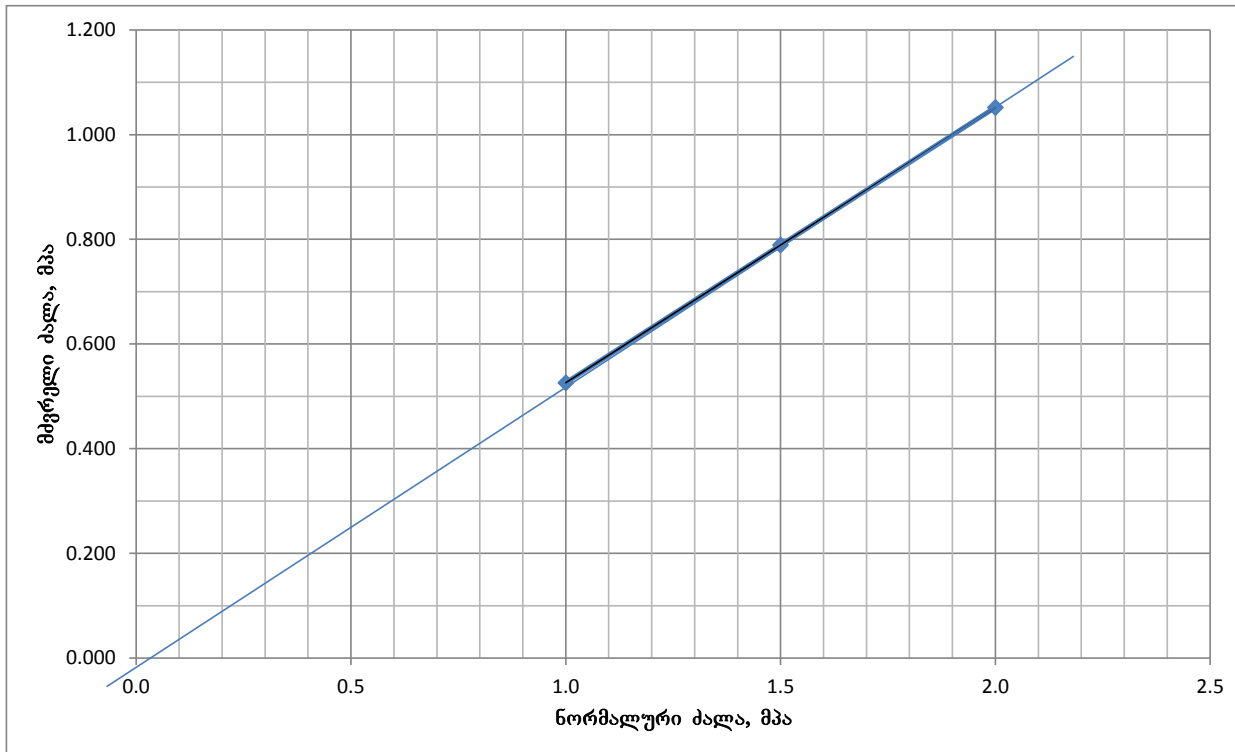
BH-3 h=30.6-30.75						
გრუნტის დასახელება: თიხა ფიქალი						
ვერტიკალური დატვირთვა, ქნ			<i>D</i> მმ	ძვრის ძალა, მპა		
N=1.9N s=1MPa	N=2.8N s=1.5MPa	N=3.8kN s=2.0MPa		for s=1MPa	for s=1.5MPa	for s=2.0MPa
0	0	0	0.00	0	0	0
0.50	0.50	0.50	0.05	0.263	0.263	0.263
0.75	1.00	1.00	0.10	0.395	0.526	0.526
1.00	1.50	1.50	0.15	0.526	0.789	0.789
0.75	1.00	2.00	0.20	0.395	0.526	1.052
		1.50	0.25			0.789
			0.30			
			0.35			
			0.40			
			0.45			
			0.50			
			0.55			
			0.60			
			0.65			
			0.70			
			0.75			
			0.80			
			0.85			
			0.90			



ცდა ჩატარდა ASTM D 5607-ის მიხედვით

BH-3 h=30.6-30.75

ნორმალური ძალა, მპა	ძვრის ძალა, მპა
1.0	0.526
1.5	0.789
2.0	1.052



$$Tg\phi = (1.052 - 0.025)/3.0 = 0.342$$

$$\phi = 18.9^\circ$$

$$c = 0.025 \text{ MPa}$$

შეასრულა: 6. ჯეარიძე

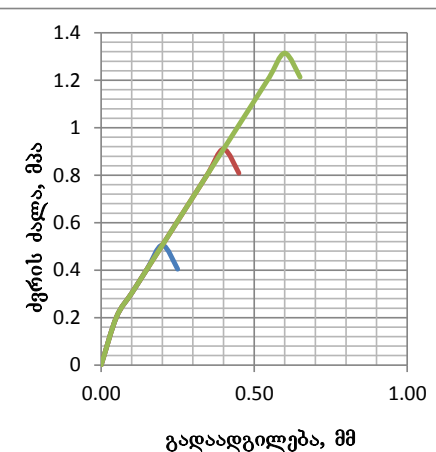
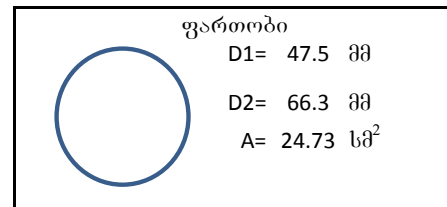
შეამოწმა: რ. ყაველაშვილი

თარიღი: 22.11.2018

## ქლდოვანი ქანების ძვრაზე გამოცდა დასველებულ ზედაპირზე

**პროექტის დასახელება: GC-1838 ზუგდიდი-მესტია-ლასდილის სააგტომობილო გზის 116 ქმ-ზე  
მეწყრული მონაკვეთის ასაქცევი გვირაბის სამშენებლო უბნის საინჟინრო-გეოლოგიური  
გამოკვლევა.**

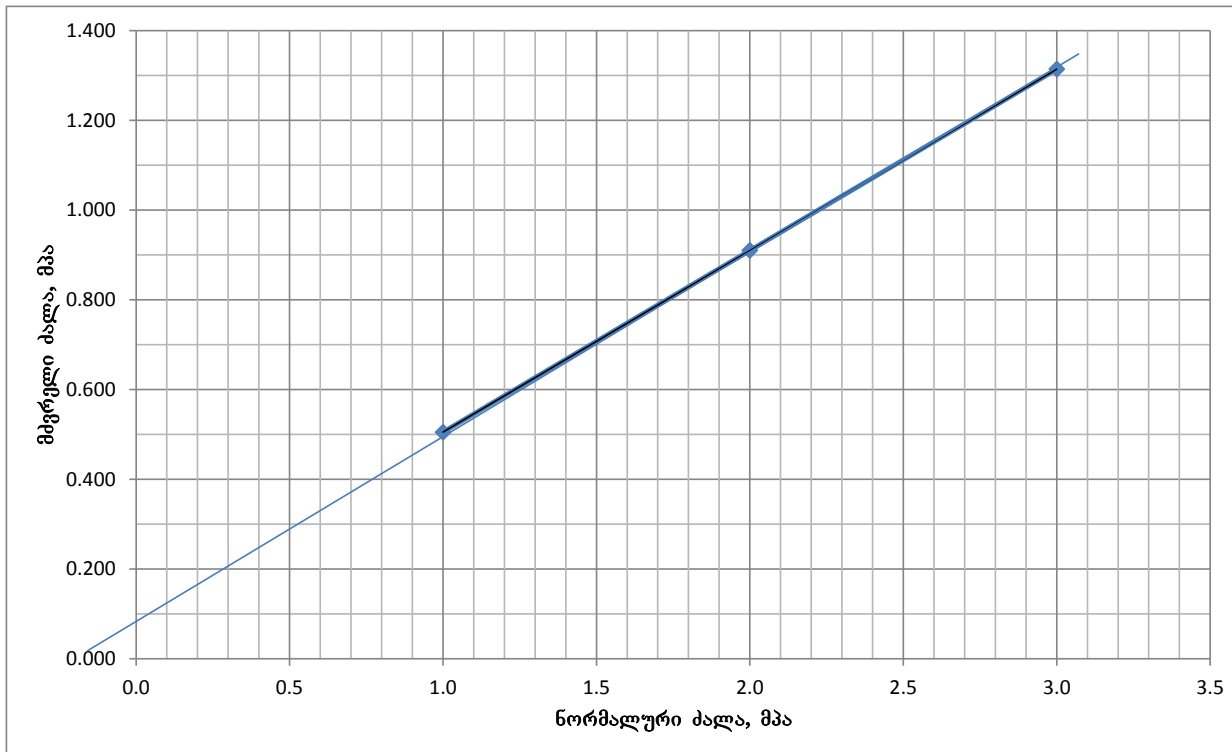
BH-3 h=12.8-13.0						
გრუნტის დასახელება: თიხა ფიქალი						
ვერტიკალური დატვირთვა, ქნ			D მმ	ძვრის მაღა, მპა		
N=2.5N s=1MPa	N=5.0N s=2.0MPa	N=7.5kN s=3.0MPa		for s=1MPa	for s=2.0MPa	for s=3.0MPa
0	0	0	0.00	0	0	0
0.50	0.50	0.50	0.05	0.202	0.202	0.202
0.75	0.75	0.75	0.10	0.303	0.303	0.303
1.00	1.00	1.00	0.15	0.404	0.404	0.404
1.25	1.25	1.25	0.20	0.505	0.505	0.505
1.00	1.50	1.50	0.25	0.404	0.607	0.607
	1.75	1.75	0.30		0.708	0.708
	2.00	2.00	0.35		0.809	0.809
	2.25	2.25	0.40		0.910	0.910
	2.00	2.50	0.45		0.809	1.011
		2.75	0.50			1.112
		3.00	0.55			1.213
		3.25	0.60			1.314
		3.00	0.65			1.213
			0.70			
			0.75			
			0.80			
			0.85			
			0.90			
			0.95			



ცდა ჩატარდა ASTM D 5607-ის მიხედვით

BH-3 h=12.8-13.0

ნორმალური ძალა, მპა	ძვრის ძალა, მპა
1.0	0.505
2.0	0.910
3.0	1.314



$$Tg\varphi = (1.314 - 0.100)/3.0 = 0.405$$

$$\varphi = 22.0^\circ$$

$$c = 0.100 \text{ MPa}$$

შეასრულა: ნ. ჯვარიძე

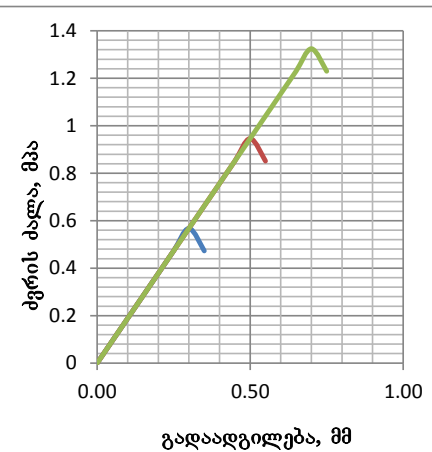
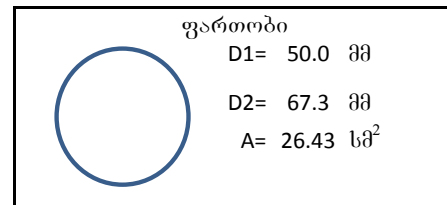
შეამოწმა: რ. ყაგელაშვილი

თარიღი: 21.11.2018

## ქლდოვანი ქანების ძვრაზე გამოცდა დასველებულ ზედაპირზე

**პროექტის დასახელება: GC-1838 ზუგდიდი-მესტია-ლასდილის სააგტომობილო გზის 116 ქმ-ზე  
მეწყრული მონაკვეთის ასაქცევი გვირაბის სამშენებლო უბნის საინჟინრო-გეოლოგიური  
გამოკვლევა.**

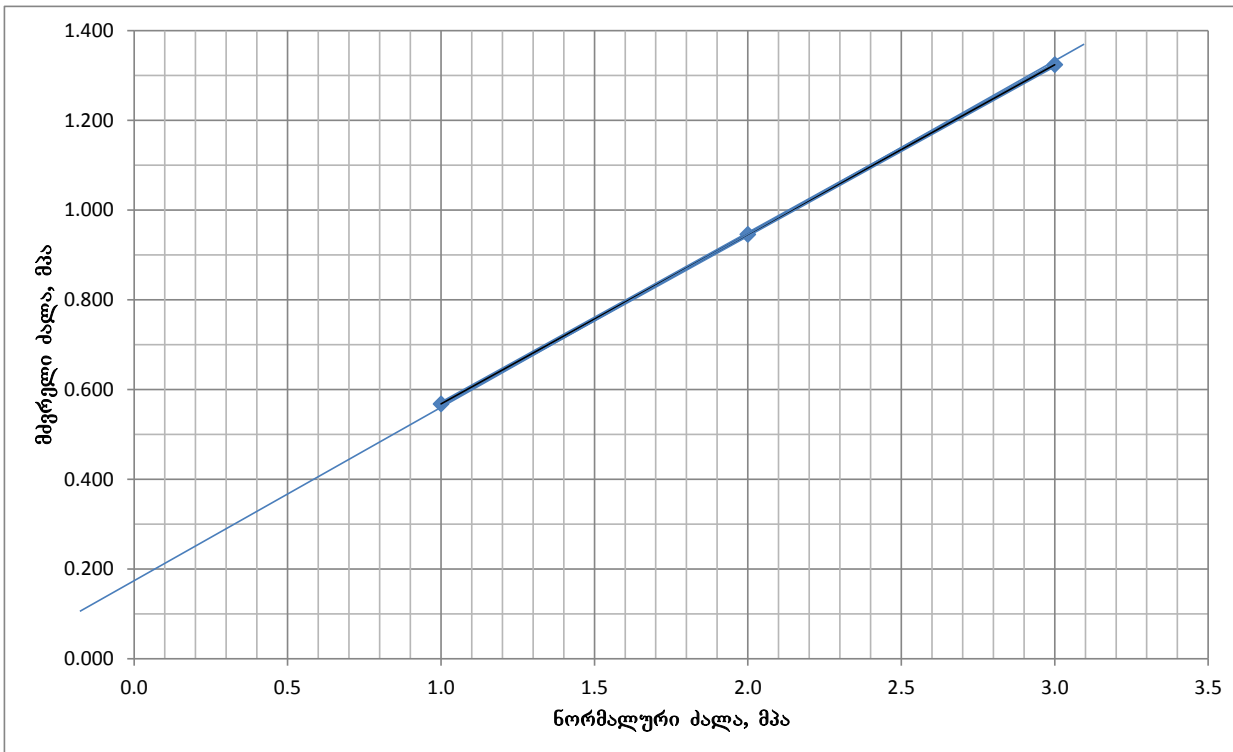
BH-3 h=42.5-42.7						
გრუნტის დასახელება: თიხა ფიქალი						
ვერტიკალური დატვირთვა, ქნ			D მმ	ძვრის მაღა, მპა		
N=2.68N s=1MPa	N=5.2N s=2.0MPa	N=7.8kN s=3.0MPa		for s=1MPa	for s=2.0MPa	for s=3.0MPa
0	0	0	0.00	0	0	0
0.25	0.25	0.25	0.05	0.095	0.095	0.095
0.50	0.50	0.50	0.10	0.189	0.189	0.189
0.75	0.75	0.75	0.15	0.284	0.284	0.284
1.00	1.00	1.00	0.20	0.378	0.378	0.378
1.25	1.25	1.25	0.25	0.473	0.473	0.473
1.50	1.50	1.50	0.30	0.568	0.568	0.568
1.75	1.75	1.75	0.35	0.473	0.662	0.662
	2.00	2.00	0.40		0.757	0.757
	2.25	2.25	0.45		0.851	0.851
	2.50	2.50	0.50		0.946	0.946
	2.25	2.75	0.55		0.851	1.040
		3.00	0.60			1.135
		3.25	0.65			1.230
		3.50	0.70			1.324
		3.25	0.75			1.230
			0.80			
			0.85			
			0.90			
			0.95			



ცდა ჩატარდა ASTM D 5607-ის მიხედვით

BH-3 h=42.5-42.7

ნორმალური ძალა, მპა	ძვრის ძალა, მპა
1.0	0.568
2.0	0.946
3.0	1.324



$$Tg\varphi = (1.324 - 0.195)/3.0 = 0.376$$

$$\varphi = 20.6^\circ$$

$$c = 0.195 \text{ MPa}$$

შეასრულა: ნ. ჯვარიძე

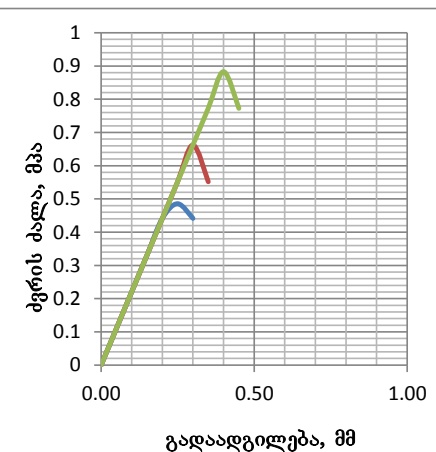
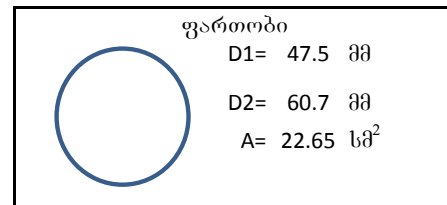
შეამოწმა: რ. ყაგელაშვილი

თარიღი: 21.11.2018

## ქლდოვანი ქანების ძვრაზე გამოცდა დასველებულ ზედაპირზე

**პროექტის დასახელება: GC-1838 ზუგდიდი-მესტია-ლასდილის სააგტომობილო გზის 116 ქმ-ზე  
მეწყრული მონაკვეთის ასაქცევი გვირაბის სამშენებლო უბნის საინჟინრო-გეოლოგიური  
გამოკვლევა.**

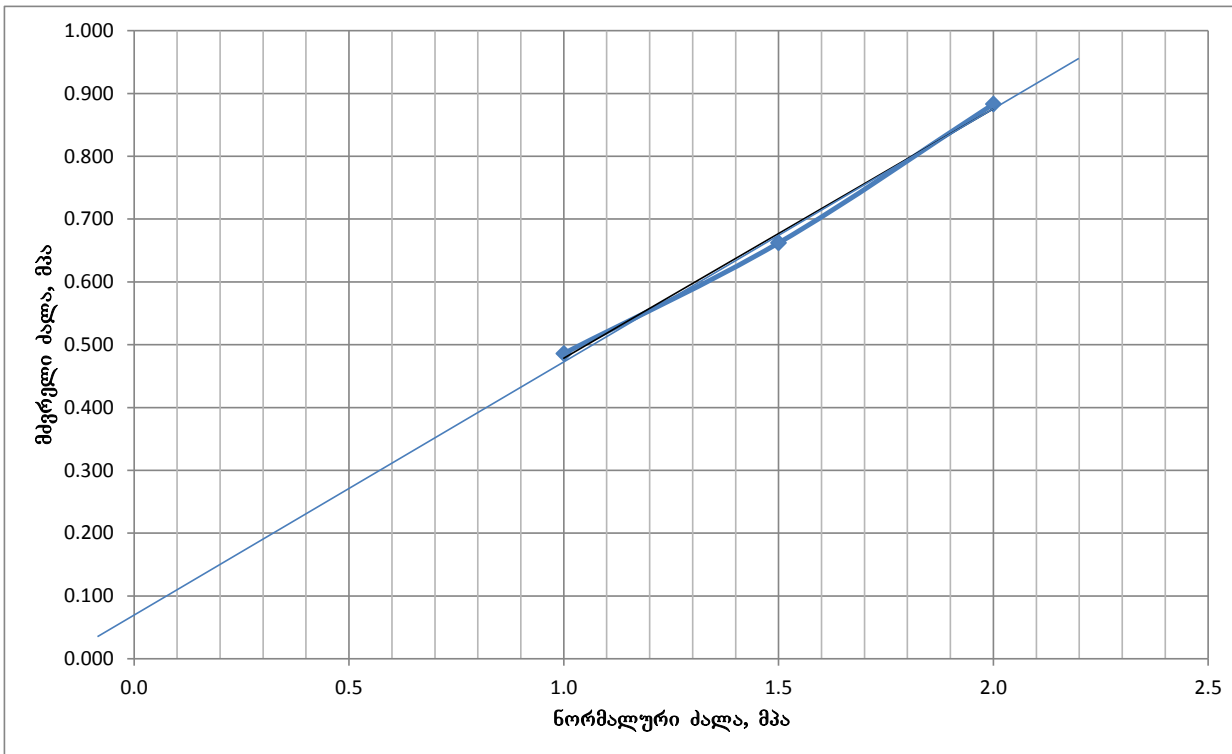
BH-4 h=4.0-4.10						
გრუნტის დასახელება: თიხა ფიქალი						
ვერტიკალური დატვირთვა, ქნ			D მმ	ძვრის მაღა, მპა		
N=2.39N s=1MPa	N=3.5N s=1.5MPa	N=4.6kN s=2.0MPa		for s=1MPa	for s=1.5MPa	for s=2.0MPa
0	0	0	0.00	0	0	0
0.25	0.25	0.25	0.05	0.110	0.110	0.110
0.50	0.50	0.50	0.10	0.221	0.221	0.221
0.75	0.75	0.75	0.15	0.331	0.331	0.331
1.00	1.00	1.00	0.20	0.442	0.442	0.442
	1.25	1.25	0.25		0.552	0.552
	1.50	1.50	0.30		0.662	0.662
	1.75	1.75	0.35			0.773
		2.00	0.40			0.883
		1.75	0.45			0.773
			0.50			
			0.55			
			0.60			
			0.65			
			0.70			
			0.75			
			0.80			
			0.85			
			0.90			
			0.95			



ცდა ჩატარდა ASTM D 5607-ის მიხედვით

BH-4 h=4.0-4.10

ნორმალური ძალა, მპა	ძვრის ძალა, მპა
1.0	0.486
1.5	0.662
2.0	0.883



$$Tg\varphi = (0.883 - 0.070)/2.0 = 0.407$$

$$\varphi = 22.1^\circ$$

$$c = 0.070 \text{ MPa}$$

შეასრულა: ნ. ჯვარიძე

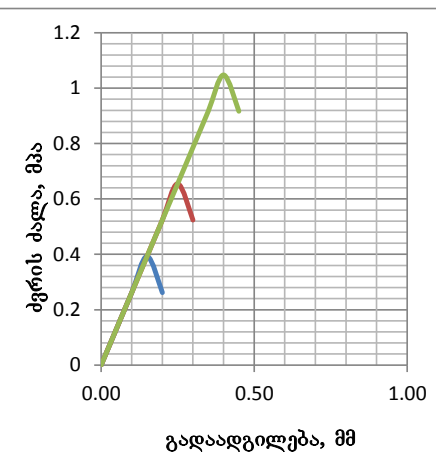
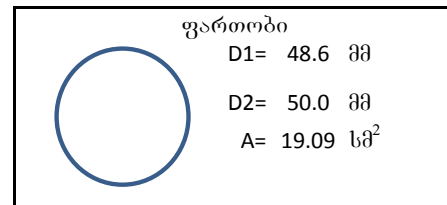
შეამოწმა: რ. ყაგელაშვილი

თარიღი: 21.11.2018

## ქლდოვანი ქანების ძვრაზე გამოცდა დასველებულ ზედაპირზე

**პროექტის დასახელება: GC-1838 ზუგდიდი-მესტია-ლასდილის სააგტომობილო გზის 116 ქმ-ზე  
მეწყრული მონაკვეთის ასაქცევი გვირაბის სამშენებლო უბნის საინჟინრო-გეოლოგიური  
გამოკვლევა.**

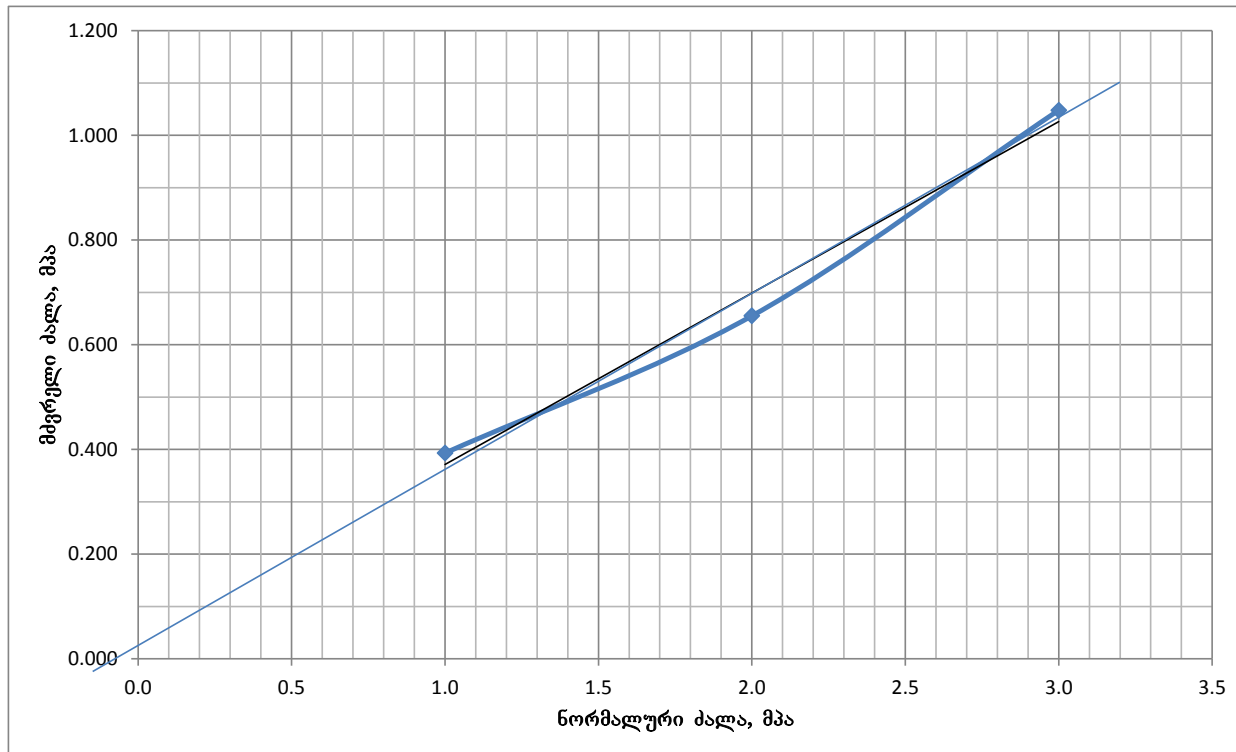
BH-4 h=21.5-21.65						
გრუნტის დასახელება: თიხა ფიქალი						
ვერტიკალური დატვირთვა, ქნ			D მმ	ძვრის მაღა, მპა		
N=1.9N s=1MPa	N=3.8N s=2.0MPa	N=5.7kN s=3.0MPa		for s=1MPa	for s=2.0MPa	for s=3.0MPa
0	0	0	0.00	0	0	0
0.25	0.25	0.25	0.05	0.131	0.131	0.131
0.50	0.50	0.50	0.10	0.262	0.262	0.262
0.75	0.75	0.75	0.15	0.393	0.393	0.393
0.50	1.00	1.00	0.20	0.262	0.524	0.524
	1.25	1.25	0.25		0.655	0.655
	1.00	1.50	0.30		0.524	0.786
		1.75	0.35			0.917
		2.00	0.40			1.048
		1.75	0.45			0.917
			0.50			
			0.55			
			0.60			
			0.65			
			0.70			
			0.75			
			0.80			
			0.85			
			0.90			
			0.95			



ცდა ჩატარდა ASTM D 5607-ის მიხედვით

BH-4 h=21.5-21.65

ნორმალური ძალა, მპა	ძვრის ძალა, მპა
1.0	0.393
2.0	0.655
3.0	1.048



$$Tg\varphi = (1.048 - 0.040)/2.9 = 0.348$$

$$\varphi = 19.2^\circ$$

$$c = 0.040 \text{ MPa}$$

შეასრულა: ნ. ჯვარიძე

შეამოწმა: რ. ყაგელაშვილი

თარიღი: 21.11.2018

**დანართი 3.2.4**  
**ფიზიკურ-მექანიკური**  
**მახასიათებლების მნიშვნელობების**  
**სტატისტიკური დამუშავების**  
**შედეგები**

პროექტის დასახულება: GC-1838 ზუგდიდი-მესტია-ლანგილის სავტომობილო გზის 116 კმ-ზე მეწყული მონაკვთის ასაქცევა  
გვირაბის სამშენებლო უბნის საინინრო-გეოლოგიური გამოკლევა

ფიზიკურ-ტექნიკური მასახიათქმების მნიშვნელობების სტატისტიკური დამუშავების შედეგი  
უკალგაჯურებულ შენის საინინრო-გეოლოგიური გამოკლევა

ტემა	განსაზღვრის მართვისას		A <sup>a</sup> აღნიშნული აღნიშნული	სასარიტო მნიშვნელობა a=0.95	a=0.99
	სასარიტო	საბიულო			
1 სიმძლივის მაჩვნენიერები	17	17	0.145	0.059	-0.889
2 სიმძლივი, ρ	17	16	50.613	0.831	1.385
3 სიმძლივის მაჩვნენიერები, R <sub>C</sub>	17	17	0.145	0.059	-0.889

პროექტის დასახულება: GC-1838 ზუგდიდი-მესტია-ლანდილის სავტომობილო გზის 116 კმ-ზე მეწყრული მონაკვეთის ასაქცვევი გვირაბის სამშენებლო უბნის საინინრო-გეოლოგიური გამოკლევა

ფიზიკურ-ტექნიკური მასახიათქმლების მნიშვნელობების სტატისტიკური დამუშავების შედეგის შეალობაჯერებულ უბნის საინინრო-გეოლოგიური გამოკლევა

ტემა	განსაზღვრის მართვის მიზანების		A <sup>a</sup> ადამიანების იმპერიალისტური დამუშავების შედეგი	სასამართლო მნიშვნელობა	
	სასამართლებო მასახი	საბიულო		a=0.85	a=0.95
1	სისტემურ-ტექნიკური მასახიათქმლების მიზანების	6	6	0.045	0.019
2	სისტემურ-ტექნიკური მასახიათქმლების მიზანების	6	6	6.363	0.145

პროექტის დასახელება: GC-1838 ზუგდიდი-მესტია-ლანდილის სავტომობილო გზის 116 კმ-ზე მეწყრული მონაცემის ასაქცევა  
გვირაბის სამშენებლო უბნის საინინრო-გეოლოგიური გამოკვლევა

ფიზიკურ-ტექნიკური მასახიათქმლების მნიშვნელობების სტატისტიკური დამუშავების შედეგის  
შეალბაჯერებულ უბნის საინინრო-გეოლოგიური გამოკვლევა

ტემა	განსაზღვრის მიზანების სასაქის		A <sup>a</sup> , ადაპტება ამასიტება		სასარიტო მნიშვნელობა							
	სასაქის საბილოო	სასაქის საბილოო	ადგინიშნული დიაგრამა	ადგინიშნული დიაგრამა	ა=0.85	ა=0.95	ა=0.99					
1	ხილის მაჩვნეობები	გ/ტ <sup>b</sup>	50	50	0.097	0.037	-0.252	0.405	2.602	2.588	2.579	2.569
2	ხილის მაჩვნეობები, $\rho$	გ/ტ <sup>b</sup>	50	48	127.222	0.511	-0.513	-0.203	249.186	229.905	218.327	204.720

პროექტი: GC-1838 ზუგდიდი-მესტია-ლასილის საავტომობილოს გზის 116 კმ-ზე გეწყველი მონაცემთის ასაქცევი გვირაბის სამშენებლო უბნის საინჟინრო-გეოლოგიური გამოგვლევა

ტერიტორიაზე სანებრივი მნიშვნელობის ბუნებრივ მიზომალისა და

ნომერი	მდგრადი მაჩვენებელი	განსაზღვრის რაოდენობა		Λ იტერაციული დაზიანებები	A ეღამებების სამნივრო	იტერაციული დაზიანებების კოეფიციენტი	საანგარიშო მნიშვნელობა
		საშენი	საბოლოო				
1	ტექილობა, C	გვა.	7	7	0.106	0.594	-1.859
2	შინაგანი ხახუნის ძეგლები, φ	გრად.	7	7	6.448	0.283	-0.360

**პროექტი:** GC-1838 ბუგდიდი-ძეგია-ლასდილის სავტომობილო გზის 116 კმ-ზე მეწყრული მონაკვეთის ასაქცევი გეორგიაში

**დანართი 3.2.5**  
**კლდოვანი ქანების დარბილების**  
**კოეფიციენტის განსაზღვრა**

**დარბილების კოეფიციენტის განსაზღვრა (სგვ 4)**

ადგილმდებარეობა	სიმტკიცე ბუნებრივ მდგომარეობაში, $Rc$ , $\text{კგ/სმ}^2$	სიმტკიცე წყალგაჯერებულ მდგომარეობაში, $Rc$ , $\text{კგ/სმ}^2$	დარბილების კოეფიციენტი
დაკვირვების წერტილი 14(1)	154.33	99.71	0.65
დაკვირვების წერტილი 27(1)	178.28	119.36	0.67
დაკვირვების წერტილი 28(2)	146.24	99.42	0.68

დარბილების კოეფიციენტის განსაზღვრა (სგვ 5)

ადგილმდებარება /ჭაბურღის ლის №	ნიმუშის სიღრმე, მ	მიმართულება	სიმტკიცე ბუნებრივ მდგრმარეობაში, $Rc, \text{ кН}/\text{м}^2$	სიმტკიცე წყალგაჯერებულ მდგრმარეობაში, $Rc, \text{ кН}/\text{м}^2$	დარბილების კოეფიციენტი
ჭაბ. 3a	34.5-34.7	თიხაფიქალი	80.10	54.37	0.68
ჭაბ. 3a	35.0-35.5	თიხაფიქალი	71.87	47.86	0.67

**დარბილების კოეფიციენტის განსაზღვრა  
სტ-6**

ადგილმდე ბარეობა /ჭაბურღი ლის №	ნიმუშის სიღრმე, მ	მიმართულება	სიმტკიცე ბუნებრივ მდგომარეობაში, Rc, კვ/სმ <sup>2</sup>	სიმტკიცე წყალგაჯერებულ მდგომარეობაში, Rc, კვ/სმ <sup>2</sup>	დარბილების კოეფიციენტი
ჭაბ. 3ა	46.5-46.7	თიხაფიქალი	450.32	437.29	0.97
ჭაბ. 3ა	52.0-52.2	თიხაფიქალი	349.04	285.62	0.82
ჭაბ. 3ა	56.0-56.2	თიხაფიქალი	311.04	220.18	0.71
ჭაბ. 3ა	61.0-61.2	თიხაფიქალი	311.04	307.09	0.99
ჭაბ. 3ა	66.2-66.4	თიხაფიქალი	717.13	339.43	0.47

**დანართი 3.2.6**  
**ანიზოტროპულობის კოეფიციენტის**  
**განსაზღვრა**

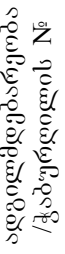
პროექტის დასახელება: GC-1838 ზუგდიდი-მესტია-ლასდილის საავტომობილო გზის 116 კმ-ზე მეწყრული მონაბეჭის ასაქცევი გვირაბის სამშენებლო უბნის საინჟინრო-გეოლოგიური გამოკვლევა

ანიზოტროპულობის კოეფიციენტი (სგმ-5)

ნიმუშის აღების სიღრმე, მ / კმ <sup>2</sup>	ნიმუშის აღების სიღრმე, მ	სგმ №	სიმტკიცე ერთდერძა კუმულატივ, Rc, კგ/სმ <sup>2</sup>	სიმკვრივე, ρ გ/სმ <sup>3</sup>	გამოცდის მიმართულება
მყალბაჯენებულ მდგრადარაწივი					
ჭაბ. 38	34.5-34.7	5	24.99 54.37	2.45	შრეების გასწვრივ შრეების მართობულად
ჭაბ. 38	35.0-35.5	5	19.41 47.86	2.42	შრეების გასწვრივ შრეების მართობულად

პროექტის დასახელება: GC-1838 ზუგდიდი-მესტია-ლასდილის საავტომობილო გზის 116 კმ-ზე მეწყრული მონაკვეთის ასაქცევი გვირაბის სამშენებლო უბნის საინჟინრო-გეოლოგიური გამოკვლევა

ანიჭოფროკულობის კოეფიციენტი (სგმ-6)

 ნიმუშის აღების სიღრმე, მ	ნიმუშის აღების სიღრმე, მ	სიმტკიცე ერთლერძა კუმშვაზე, RC, კგ/ცმ <sup>2</sup>	სიმკვრივე, ρ გ/ცმ <sup>3</sup>	ქანის დასახელება (გამოცდის მიმართულება)
ცვალგაჯერებულ მდგრადარაღი				
ჭაბ. 2	41.4-41.6	48.44	2.61	თიხაფიქალი (შრეების გასწვრივ)
	41.4-41.6	876.48		თიხაფიქალი (შრეების მართობულად)
ჭაბ. 2	52.0-52.15	13.13	2.71	თიხაფიქალი (შრეების გასწვრივ)
		181.09		თიხაფიქალი (შრეების მართობულად)
ჭაბ. 2	63.0-63.2	5.05	2.67	თიხაფიქალი (შრეების გასწვრივ)
		111.40		თიხაფიქალი (შრეების მართობულად)
ჭაბ. 3	4.2-4.4	31.70	2.64	თიხაფიქალი (შრეების გასწვრივ)
		874.02		თიხაფიქალი (შრეების მართობულად)
ჭაბ. 3	18.8-19.0	51.07	2.55	თიხაფიქალი (შრეების გასწვრივ)
		491.54		თიხაფიქალი (შრეების მართობულად)
ჭაბ. 3ა	7.0-7.2	24.24	2.72	თიხაფიქალი (შრეების გასწვრივ)
		43.83		თიხაფიქალი (შრეების მართობულად)
ჭაბ. 3ა	10.5-10.65	12.44	2.76	თიხაფიქალი (შრეების გასწვრივ)
		19.83		თიხაფიქალი (შრეების მართობულად)
ჭაბ. 3ა	15.6-15.8	30.70	2.67	თიხაფიქალი (შრეების გასწვრივ)
		38.98		თიხაფიქალი (შრეების მართობულად)

სამუშაოს დასახელება / პროცენტი	ნიმუშის აღების სიღრმე, მ	სიმტკიცე ერთლერძა გუმშვაზე, Rc, კგ/სმ <sup>2</sup>	სიმკრივე, მ გ/სმ <sup>3</sup>	ქანის დასახელება (გამოცდის მიმართულება)
ჭაბ. 3ა	20.0-20.2	24.88	2.75	თიხაფიქალი (შრეების გასწვრივ)
		142.23		თიხაფიქალი (შრეების მართობულად)
ჭაბ. 3ა	24.8-25.0	60.34	2.70	თიხაფიქალი (შრეების გასწვრივ)
		163.63		თიხაფიქალი (შრეების მართობულად)
ჭაბ. 3ა	28.5-28.7	21.29	2.71	თიხაფიქალი (შრეების გასწვრივ)
		250.32		თიხაფიქალი (შრეების მართობულად)
ჭაბ. 3ა	46.5-46.7	91.44	2.62	თიხაფიქალი (შრეების გასწვრივ)
		437.29		თიხაფიქალი (შრეების მართობულად)
ჭაბ. 3ა	52.0-52.2	2.51	2.70	თიხაფიქალი (შრეების გასწვრივ)
		285.62		თიხაფიქალი (შრეების მართობულად)
ჭაბ. 3ა	56.0-56.2	7.54	2.65	თიხაფიქალი (შრეების გასწვრივ)
		220.18		თიხაფიქალი (შრეების მართობულად)
ჭაბ. 3ა	61.0-61.2	38.72	2.68	თიხაფიქალი (შრეების გასწვრივ)
		307.09		თიხაფიქალი (შრეების მართობულად)
ჭაბ. 3ა	66.2-66.4	30.12	2.57	თიხაფიქალი (შრეების გასწვრივ)
		339.43		თიხაფიქალი (შრეების მართობულად)
ჭაბ. 3ა	71.0-71.2	104.08	2.68	თიხაფიქალი (შრეების გასწვრივ)
		292.69		თიხაფიქალი (შრეების მართობულად)

ნოტაციული დოკუმენტის /ქადაგი/ N <sup>o</sup>	ნიმუშის აღების სიღრმე, მ	სიმტკიცე ერთლერძა კუმუნაზე, Rc, კგ/სმ <sup>2</sup>	სიმკვრივე, ρ გ/სმ <sup>3</sup>	ქანის დასახელება (გამოცდის მიმართულება)
ჭაბ. 3ა	79.8-80.0	20.49	2.65	თიხაფიქალი (შრეების გასწვრივ)
		300.18		თიხაფიქალი (შრეების მართობულად)
ჭაბ. 3ა	85.0-85.2	42.57	2.64	თიხაფიქალი (შრეების გასწვრივ)
		368.06		თიხაფიქალი (შრეების მართობულად)
ჭაბ. 3ა	90.8-91.0	30.02	2.66	თიხაფიქალი (შრეების გასწვრივ)
		311.77		თიხაფიქალი (შრეების მართობულად)
ჭაბ. 4	27.0-27.2	13.12	2.66	თიხაფიქალი (შრეების გასწვრივ)
		141.45		თიხაფიქალი (შრეების მართობულად)
ჭაბ. 4	30.5-30.65	11.73	2.77	თიხაფიქალი (შრეების გასწვრივ)
		56.63		თიხაფიქალი (შრეების მართობულად)
ჭაბ. 4	32.2-32.4	75.42	2.76	თიხაფიქალი (შრეების გასწვრივ)
		366.16		თიხაფიქალი (შრეების მართობულად)
ჭაბ. 4	34.2-34.35	22.06	2.35	თიხაფიქალი (შრეების გასწვრივ)
		49.81		თიხაფიქალი (შრეების მართობულად)
ჭაბ. 4	37.0-37.2	10.67	2.42	თიხაფიქალი (შრეების გასწვრივ)
		117.69		თიხაფიქალი (შრეების მართობულად)

**დანართი 3.3**  
**გრუნტის წყლის და ზედაპირული  
წყლების ქიმიური ანალიზი**

პროექტის დასახელება: GC-1838 ზუგდიდი-მესტია-ჭალასლილის სააგრძომობოლო გზის 116 გმ-ზე მეწყრული  
მონაცემთის ასაქცვაში გვირაბის სამშენებლო უბნის საინჟინრო-გეოლოგიური გამოკვლეული

### გრუნტის წყლის ქიმიური შედგენილობის ლაბორატორიული კვლევის შედეგი

№	გაზიონ ხინჯის ადგის ალგილმუნარება	იდენტიფიცირდა იდენტიფიცირდა	შემცველობა 1 ლიტრში						PH	
			ანონები			კალინები				
1	წყარო 767111	299026/4	მგ-ლ %	1151.21	231.80	312.05	333.81	40.00	60.80	288.65
			მგ-ექ	0.00	3.80	8.80	6.95	2.00	5.00	12.55
2	ლინდობილი ნაკრალები გამოსული წყალი	299467/4 766763	მგ-ლ %	1414	170.80	0.00	35.55	10.21	25.58	64.21
			მგ-ექ	0.00	2.80	0.00	0.00	56	0.00	0.00
			მგ-ექ	0.00	100.00	0.00	0.00	2.79	0.00	0.00
				0.00	100.00	0.00	100.00	0.00	0.00	0.00
3	მეწყრული ხევის წყალი	299953/4 766300	მგ-ლ %	188.4	158.60	0.00	48.03	44.00	17.02	0.00
			მგ-ექ	0.00	2.60	0.00	1.00	2.20	1.40	0.00
4	მეწყრული ხევის წყალი	299841/4 766723	მგ-ლ %	556.4	0.00	72.22	27.78	61.00	39.00	0.00
			მგ-ექ	0.00	158.60	198.58	8.17	32.00	19.46	118.91
5	ჭაბ. ვა-ის წყალი	299780/4 766731	მგ-ლ %	983.2	0.00	31.06	66.91	2.03	1.60	5.17
			მგ-ექ	0.00	268.40	255.31	249.57	56.00	53.50	7.50
				0.00	4.40	7.20	5.20	2.79	4.40	234.60
				0.00	26.19	42.87	30.94	16.64	26.20	7.60
				0.00	0.00	0.00	0.00	0.00	0.00	57.16

შ.კ. „ჯეოინჟინირინგის“ გეოტექნიკური  
ლაბორატორის ხელმძღვანელი:

რ. ქაველაშვილი

რიგითი ნო	სინჯის აფების აქტილურებულების აღმდეგი	გეორგიანიტები	აგრესიულობის მაჩვენებლები	წყლის აგრესიულობის ნაგებობებისადმი					
				განლაგებულ ქანებში $K_{\text{g}} > 0.1\text{მ}/\text{დღ.ღ}$			განლაგებულ ქანებში $K_{\text{g}} < 0.1\text{მ}/\text{დღ.ღ}$		
				ბეტვის მარტა წყალშედლების მიხედვით					
				W4	W6	W8	W4	W6	W8
1	წყარო	299026/4767111	ბიკარბონატული სიხისტე, მგ-ექ्स/ლ  წყალბადიონის მაჩვენებელი  აგრესიული ნახშირმჟავას შემცველობა, მგ/ლ  მაგნეზიალური მარილების შემცველობა, მგ/ლ  ამონიუმის მარილების შემცველობა, მგ/ლ  მაღალი ტუტიანობის შემცველობა, მგ/ლ  სულფატები ბეტონებისათვის  პორტლანდცემენტი (GOCT10178-76)  პორტლანდცემენტი (GOCT10178-76) კლინკერის შემცველობით C <sub>3</sub> S არაუმეტებელ 65%-ისა, C <sub>3</sub> A არაუმეტებელ 7%, C <sub>3</sub> A+C <sub>4</sub> AF არაუმეტებელ 22%	არა	არა	არა	არა	არა	არა
				არა	არა	არა	არა	არა	არა
				-	-	არა	-	-	არა
				არა	არა	არა	არა	არა	არა
				-	-	-	-	-	-
				არა	არა	არა	არა	არა	არა
				სულფატები ცემენტი	არა	არა	არა	არა	არა
				პორტლანდცემენტი (GOCT10178-76)	არა	არა	არა	არა	არა
				პორტლანდცემენტი (GOCT10178-76) კლინკერის შემცველობით C <sub>3</sub> S არაუმეტებელ 65%-ისა, C <sub>3</sub> A არაუმეტებელ 7%, C <sub>3</sub> A+C <sub>4</sub> AF არაუმეტებელ 22%	არა	არა	არა	არა	არა
				სულფატები ცემენტი	არა	არა	არა	არა	არა

რიგითი ნო	სინჯის აფების აქტილურებულების აღმდეგი	გეორგიანიტები	აგრესიულობის მაჩვენებლები	წყლის აგრესიულობის ნაგებობებისადმი					
				განლაგებულ ქანებში $K_{\text{g}} > 0.1\text{მ}/\text{დღ.ღ}$			განლაგებულ ქანებში $K_{\text{g}} < 0.1\text{მ}/\text{დღ.ღ}$		
				ბეტვის მარტა წყალშედლების მიხედვით					
				W4	W6	W8	W4	W6	W8
2	ფერდობიდან ნაპრალებში გამოსული წყლი	299467/4766763	ბიკარბონატული სიხისტე, მგ-ექ्स/ლ  წყალბადიონის მაჩვენებელი  აგრესიული ნახშირმჟავას შემცველობა, მგ/ლ  მაგნეზიალური მარილების შემცველობა, მგ/ლ  ამონიუმის მარილების შემცველობა, მგ/ლ  მაღალი ტუტიანობის შემცველობა, მგ/ლ  სულფატები ბეტონებისათვის  პორტლანდცემენტი (GOCT10178-76)  პორტლანდცემენტი (GOCT10178-76) კლინკერის შემცველობით C <sub>3</sub> S არაუმეტებელ 65%-ისა, C <sub>3</sub> A არაუმეტებელ 7%, C <sub>3</sub> A+C <sub>4</sub> AF არაუმეტებელ 22%	არა	არა	არა	არა	არა	არა
				არა	არა	არა	არა	არა	არა
				-	-	არა	-	-	არა
				არა	არა	არა	არა	არა	არა
				-	-	-	-	-	-
				არა	არა	არა	არა	არა	არა
				სულფატები ცემენტი	არა	არა	არა	არა	არა
				პორტლანდცემენტი (GOCT10178-76)	-	-	-	-	-
				პორტლანდცემენტი (GOCT10178-76) კლინკერის შემცველობით C <sub>3</sub> S არაუმეტებელ 65%-ისა, C <sub>3</sub> A არაუმეტებელ 7%, C <sub>3</sub> A+C <sub>4</sub> AF არაუმეტებელ 22%	-	-	-	-	-
				სულფატები ცემენტი	-	-	-	-	-

## წყლის აგრესიულობის ხარისხი ბეტონის მიმართ

რიგითი №	სინჯის აღების ადგილშემდებარებების	კონტრინაციაზე	აგრესიულობის მაჩვენებლები	წყლის აგრესიულობის ნაგებობებისადმი					
				განდაგებულ ქანებში $K_{\eta} > 0.1\text{მ}/\text{დღე}$		განდაგებულ ქანებში $K_{\eta} < 0.1\text{მ}/\text{დღე}$		ბეტონის მარტა წყალშედლწვალობის მიხედვით	
				W4	W6	W8	W4	W6	W8
3	მეწარული ხევის წყალი	29953/4766300	ბიკარბონატული სიხისტე, მგ-ექ्स/ლ	არა	არა	არა	არა	არა	არა
				წყალბადიონის მაჩვენებელი	არა	არა	არა	არა	არა
				აგრესიული ნახშირმჟავას შემცველობა, მგ/ლ	-	-	არა	-	არა
				მაგნეზიალური მარილების შემცველობა, მგ/ლ	არა	არა	არა	არა	არა
				ამონიუმის მარილების შემცველობა, მგ/ლ	-	-	-	-	-
				მაღალი ტუბინგის მარილების შემცველობა, მგ/ლ	არა	არა	არა	არა	არა
				სულფატები ბეტონებისათვის					
				პორტლანდცემენტი (GOCT10178-76)	არა	არა	არა	არა	არა
				პორტლანდცემენტი (GOCT10178-76) კლინკერის შემცველობით $C_3S$ არაუმტებელი 65%-ისა, $C_3A$ არაუმტებელი 7%, $C_3A+C_4AF$ არაუმტებელი 22%	არა	არა	არა	არა	არა
				სულფატმედგომ ცემენტი	არა	არა	არა	არა	არა

რიგითი №	სინჯის აღების ადგილშემდებარებების	კონტრინაციაზე	აგრესიულობის მაჩვენებლები	წყლის აგრესიულობის ნაგებობებისადმი					
				განდაგებულ ქანებში $K_{\eta} > 0.1\text{მ}/\text{დღე}$		განდაგებულ ქანებში $K_{\eta} < 0.1\text{მ}/\text{დღე}$		ბეტონის მარტა წყალშედლწვალობის მიხედვით	
				W4	W6	W8	W4	W6	W8
4	მეწარული ხევის წყალი	29984/4766723	ბიკარბონატული სიხისტე, მგ-ექ्स/ლ	არა	არა	არა	არა	არა	არა
				წყალბადიონის მაჩვენებელი	არა	არა	არა	არა	არა
				აგრესიული ნახშირმჟავას შემცველობა, მგ/ლ	-	-	არა	-	არა
				მაგნეზიალური მარილების შემცველობა, მგ/ლ	არა	არა	არა	არა	არა
				ამონიუმის მარილების შემცველობა, მგ/ლ	-	-	-	-	-
				მაღალი ტუბინგის მარილების შემცველობა, მგ/ლ	არა	არა	არა	არა	არა
				სულფატები ბეტონებისათვის					
				პორტლანდცემენტი (GOCT10178-76)	არა	არა	არა	არა	არა
				პორტლანდცემენტი (GOCT10178-76) კლინკერის შემცველობით $C_3S$ არაუმტებელი 65%-ისა, $C_3A$ არაუმტებელი 7%, $C_3A+C_4AF$	არა	არა	არა	არა	არა
				სულფატმედგომ ცემენტი	არა	არა	არა	არა	არა

## წყლის აგრესიულობის ხარისხის ბეტონის მიმართ

რიგითი №	სინჯის აღების ალბორნებულებების ასეულობების	კორიდინაციის კორიდინაციის	აგრესიულობის მაჩვენებლები	წყლის აგრესიულობის ნაგებობებისადმი					
				განვითარებულ ქასების			განვითარებულ ქასების		
				$K_w > 0.1\text{f}/\text{დღე}$			$K_w < 0.1\text{f}/\text{დღე}$		
				ბეტონის მარტა წყალშედლწევადობის მიხედვით					
5	ჭაბ. 3a-ის წყალი	299780/4766731	ბიკარბონატული სიხისტე, მგ-ექვ/ლ	W4	W6	W8	W4	W6	W8
				არა	არა	არა	არა	არა	არა
				არა	არა	არა	არა	არა	არა
				-	-	არა	-	-	არა
				არა	არა	არა	არა	არა	არა
				-	-	-	-	-	-
				არა	არა	არა	არა	არა	არა
				სულფატები ბეტონებისათვის					
				პორტლანდცემენტი (GOCT 10178-76)	არა	არა	არა	არა	არა
5	ჭაბ. 3a-ის წყალი	299780/4766731	პორტლანდცემენტი (GOCT 10178-76) კლინკერის შემცველობით $C_3S$ არაუმტებელ 65%-ია, $C_3A$ არაუმტებელ 7%, $C_3A+C_4AF$ არაუმტებელ 22%	არა	არა	არა	არა	არა	არა
				სულფატმედებო ცემენტი	არა	არა	არა	არა	არა

## წყლის აგრესიული ზემოქმედების ხარისხის მეტადისა და რეინა-ბეტონის გონისტრუქციების მიმართ

რიგითი №	სინჯის აღების ალბორნებულებების ასეულობები	კორიდინაციის კორიდინაციის	წყლის აგრესიული ზემოქმედების ხარისხის რეინა-ბეტონის კონსტრუქციის არმატურაზე	გარემოს აგრესიული ზემოქმედების ხარისხის ნახტომისადან ფოლადზე, გრუნტის წყლის დონის დაბლა იმ ქანებისათვის რომელთა ფილტრაციის კოეფიციენტი $>0.1\text{f}/\text{დღე-დამე}$		
				მუდმივად წყალში	პერიოდულად დასველებით	
1	წყარო	299026/4 767111	არა	სუსტი		მაღალი
2	ფერდობიდან ნაპრალებში გამოსული წყალი	299467/4 766763	-	-		-
3	მეწყრული ხევის წყალი	299953/4 766300	არა	არა		დაბალი
4	მეწყრული ხევის წყალი	299841/4 766723	არა	სუსტი		საშუალო
5	ჭაბ. 3a-ის წყალი	299780/4 766731	არა	სუსტი		მომატებული

# დანართი 4

## კლდოვანი მასივის ხარისხის (RMR) შეფასება ჭაბურღილების კერნის მიხედვით



ପ୍ରଦୀପନାୟିକା ନଂ ୨

RMR (იზმენება)										
კუბურლილი №2										
კლდოვანი მასივის ხარისხის შეფასება										
ნაწილი:		გვერდი: 1/1								
კლდოვანი მასივის რეიტინგი										
ნაპრალთა სიგრძე		E.1	E.2	E.3	შემაჯუბეული	E.5	დღაცურაციულის			
გახსნილობა		გორკვლიანობა	ხორციანობა	შემაჯუბეული	გამოფიტულობა	დღამარცირებელი	დღაცურაციულის			
აზეიდინი		(გ) ცემაზინი	(გ) დგადამიყრებზე	აზეიდინი	აზეიდინი	აზეიდინი	აზეიდინი			
აზეიდინი		აზეიდინი	აზეიდინი	აზეიდინი	აზეიდინი	აზეიდინი	აზეიდინი			
(გ) დიჭყად დამარტინებული იარენდებ		<60	5	1-3	4	0.1-5	3	ბრტყელი	3	
აზეიდინი		0	3	<60	5	1-3	4	ბლუკები	3	
RQD (%)		25	4	6	2	0	3	ბრტყელი	3	
აზეიდინი		4.3	1	0	3	<60	5	ბლუკები	3	
(ე) ამონაზე დამარტინებული იარენდებ		19.5	4	7.0	25	4	0	3	ბრტყელი	
აზეიდინი		26.0	5	38.5	25	4	0	3	ბლუკები	
აზეიდინი		38.5	6	45.7	25	4	0	3	ბრტყელი	
აზეიდინი		45.7	5	46.2	25	4	0	3	ბრტყელი	
აზეიდინი		46.2-70	6	62.5	4	0	3	<60	5	
აზეიდინი		62.5	7	73.5	4	0	3	ბრტყელი	5	
აზეიდინი		73.5	8	80.0	4	0	3	ბრტყელი	5	
აზეიდინი		80.0	9	86.5	4	0	3	ბრტყელი	5	
აზეიდინი		86.5	10	93.0	4	0	3	ბრტყელი	5	
აზეიდინი		93.0	11	99.5	4	0	3	ბრტყელი	5	
აზეიდინი		99.5	12	100.0	4	0	3	ბრტყელი	5	
აზეიდინი		100.0	13	100.0	4	0	3	ბრტყელი	5	
აზეიდინი		100.0	14	100.0	4	0	3	ბრტყელი	5	
აზეიდინი		100.0	15	100.0	4	0	3	ბრტყელი	5	
აზეიდინი		100.0	16	100.0	4	0	3	ბრტყელი	5	
აზეიდინი		100.0	17	100.0	4	0	3	ბრტყელი	5	
აზეიდინი		100.0	18	100.0	4	0	3	ბრტყელი	5	
აზეიდინი		100.0	19	100.0	4	0	3	ბრტყელი	5	
აზეიდინი		100.0	20	100.0	4	0	3	ბრტყელი	5	
აზეიდინი		100.0	21	100.0	4	0	3	ბრტყელი	5	
აზეიდინი		100.0	22	100.0	4	0	3	ბრტყელი	5	
აზეიდინი		100.0	23	100.0	4	0	3	ბრტყელი	5	
აზეიდინი		100.0	24	100.0	4	0	3	ბრტყელი	5	
აზეიდინი		100.0	25	100.0	4	0	3	ბრტყელი	5	
აზეიდინი		100.0	26	100.0	4	0	3	ბრტყელი	5	
აზეიდინი		100.0	27	100.0	4	0	3	ბრტყელი	5	
აზეიდინი		100.0	28	100.0	4	0	3	ბრტყელი	5	
აზეიდინი		100.0	29	100.0	4	0	3	ბრტყელი	5	
აზეიდინი		100.0	30	100.0	4	0	3	ბრტყელი	5	
აზეიდინი		100.0	31	100.0	4	0	3	ბრტყელი	5	
აზეიდინი		100.0	32	100.0	4	0	3	ბრტყელი	5	
აზეიდინი		100.0	33	100.0	4	0	3	ბრტყელი	5	
აზეიდინი		100.0	34	100.0	4	0	3	ბრტყელი	5	
აზეიდინი		100.0	35	100.0	4	0	3	ბრტყელი	5	
აზეიდინი		100.0	36	100.0	4	0	3	ბრტყელი	5	
აზეიდინი		100.0	37	100.0	4	0	3	ბრტყელი	5	
აზეიდინი		100.0	38	100.0	4	0	3	ბრტყელი	5	





## **დანართი 5**

**ნაჩენებში კლდოვანი ქანების  
ნაპრალიანობის შესწავლა და  
დეტალური გეომექანიკური აღწერა**

**პროექტი:** ზუგდიდი-მესტია-ლასდილის საავტომობილო გზის 116 კმ-ზე მეწყრული მონაკვეთის ასაქცევი გვირაბის სამშენებლო უბნის საინჟინრო-გეოლოგიური გამოკვლევა. (GC-1838)

**დაპერიგების წერტილი:** 2

**ნაპრალოვნების შესწავლის №1**

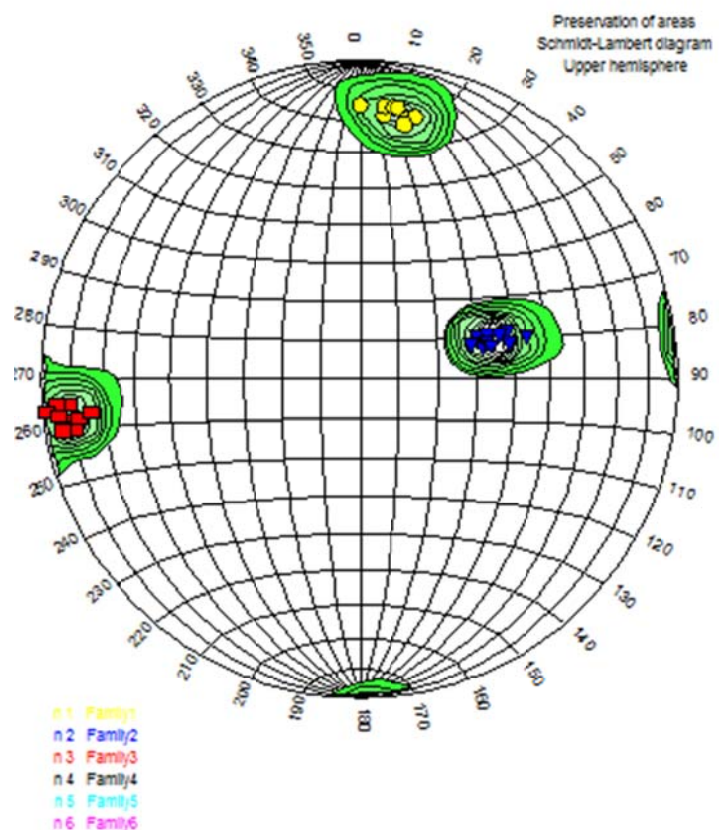
**ადგილმდებარეობა:** X 299037 Y 4767084;

**კლდოვანი მასივის აღწერა:** თიხაფიქალები ღია მოყავისფრო ნაცრისფერი, თხელ და ფურცლოვან შრეებრივ

**სურათები:**



დაგრამა



GC-1838-ზუგდიდი-მესტია-ლასდილის საავტომობილო გზის 116 კმ-ზე მეწყრული  
მონაკვეთის ასაქცევი გვირაბის სამშენებლო უბნის საინჟინრო-გეოლოგიური  
გამოკვლევა.

ნაპრალოგნების შესწავლის №1

ნაპრალთა სისტემა	დაქანების აზიმუტი გრად.	დახრის კუთხე	მანძილი ნაპრალებს ჭრის, მტ	ნაპრალთა სიგრძე, მ	დრულობა, მ	ნაპრალთა ზედაპირები და შემავალებელი	პლოტურობა B, სტ	დრულობა P, %
1	5	72	2	10	0.15	ნაპრალთა ზედაპირები და შემავალებელი გამოკვლევით, მშენებელი მარტინ გერმანი თიბისი გამოკვლევით, მშენებელი მარტინ გერმანი	8	1.4
	5	75	4	10	0.08			
	0	75	3	10	0.02			
	10	70	0.5	10	0.35			
	10	72	0.8	10	0.03			
	12	73	1.5	10	0.13			
	7	75	5	10	0.45			
	8	75	3	10	0.06			
	10	70	4	10	0.07			
	<b>საშუალო</b>	<b>7</b>	<b>73</b>	<b>2.6</b>	<b>10.0</b>	<b>0.15</b>		
2	72	35	15	0.7	0.05	ნაპრალთა ზედაპირები და შემავალებელი გამოკვლევით, მშენებელი მარტინ გერმანი თიბისი გამოკვლევით, მშენებელი მარტინ გერმანი	8	1.4
	75	33	22	0.8	0.32			
	69	32	4	1.2	0.12			
	70	35	18	0.5	0.1			
	72	30	12	1.1	0.11			
	73	34	8	0.4	0.05			
	75	35	5	0.8	0.02			
	76	40	28	0.6	0.08			
	75	45	22	1.6	0.17			
	71	40	12	0.7	0.35			
	72	38	11	0.80	0.02			
	<b>საშუალო</b>	<b>73</b>	<b>36</b>	<b>14.3</b>	<b>0.84</b>	<b>0.126</b>		
3	262	82	6	0.5	0.28	ნაპრალთა ზედაპირები და შემავალებელი გამოკვლევით, მშენებელი მარტინ გერმანი თიბისი გამოკვლევით, მშენებელი მარტინ გერმანი	8	1.4
	265	81	8	1.8	0.45			
	260	80	25	1.1	0.11			
	260	80	22	0.6	0.07			
	262	78	18	0.7	0.02			
	265	85	17	0.5	0.37			
	263	74	12	1.8	0.42			
	264	89	7	1.2	0.05			
	260	84	19	1.5	0.02			
	263	85	23	0.6	0.13			
<b>საშუალო</b>	<b>262</b>	<b>82</b>	<b>15.7</b>	<b>1.03</b>	<b>0.192</b>			

კონტრაქტი №. GC-1838

ზუგდიდი-მესტია-ლასღილის სავჭომობილო გზის 116 კმ-ზე მეწყრული მონაკვეთის ასაქცევი გვირაბის სამშენებლო უბნის საინჟინრო-გეოლოგიური გამოკვლევა.  
**ნაპრალოვნების შესწავლა №1**

შემაგრებელი	ზედაპირის ფორმა	(მდგრადიანება)	მიზანი
1	7	73	1
2	73	36	2
3	262	82	3

Jv= 51.2

RQD= 0.0

ქანის აღწერა	საკლასიფიკაციო პარამეტრები და მათი რეიტინგები														
	A-1	A-2	A-3	A-4	A-5										
ხორმისუფლად გამოფიტული თიხაფიქალი	15.4	2	0	3	109	8	სიგრძე, ხორციანობა, შემავსებელი, გამოფიტვა.	11	სკელი	გრუნტის წყალი	7	რეიტინგი	31	ჯამური რეიტინგი RMR	კლასი

**პროექტი:** ზუგდიდი-მესტია-ლასდილის საავტომობილო გზის 116 კმ-ზე მეწყრული მონაკვეტის ასაქცევი გვირაბის სამშენებლო უბნის საინჟინრო-გეოლოგიური გამოკვლევა. (GC-1838)

**დაკვირვების წერტილი:** 5

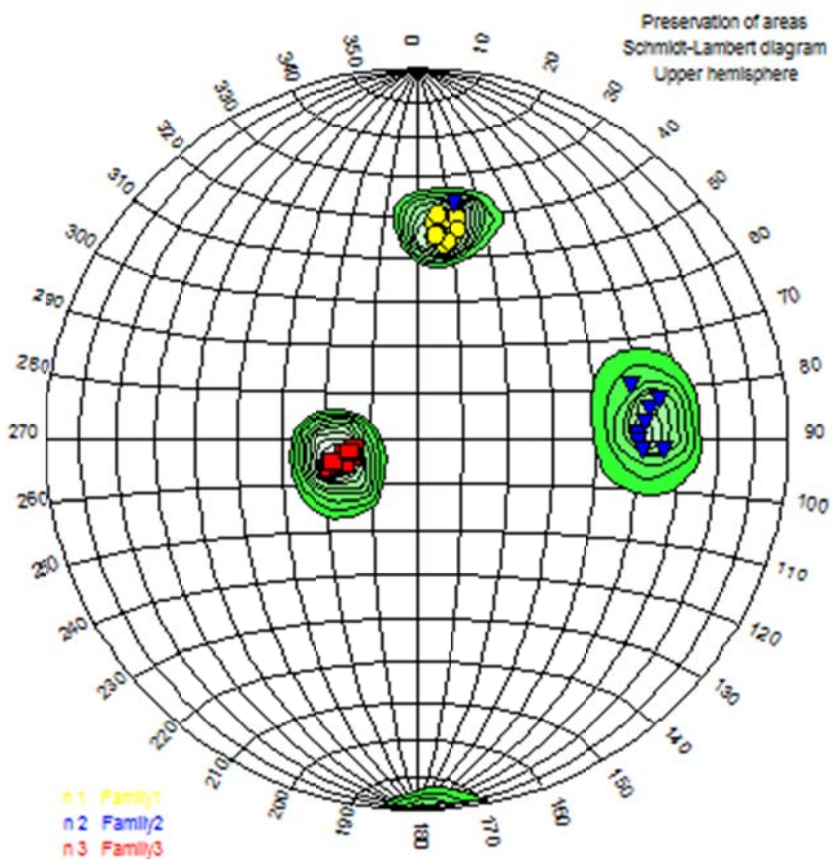
ნაპრალოვნების შესწავლის №2

ადგილმდებარეობა: X 299048 Y 4767030;

კლდოვანი მასივის აღწერა: თიხაფიქალები ღია მოყავისფრო ნაცრისფერი, თხელ და ფურცლოვან შრეებრი



დიაგრამა



GC-1838-ზუგდიდი-მექანიკა-ლაბორატორის საავტომობილო გზის 116 კმ-ზე მეწყრული  
მონაკვეთის ასაქცევი გვირაბის სამშენებლო უბნის საინჟინრო-გეოლოგიური გამოკვლევა.  
ნაპრალოგნების შესწავლის №2

**კონტრაქტი №. GC-1838**

ზუგდიდი-მესტია-ლასდილის საავტომობილო გზის 116 კმ-ზე მეწყრული მონაკვეთის ასაქცევი გვირაბის სამშენებლო უბნის საინჟინრო-გეოლოგიური გამოკვლევა.

**ნაპრალოვნების შესწავლა №2**

რიგ №	ღარენების აზიზული (°)	ღახრის გარე (°)	ნაკადულის სისქე	მანძილი (სმ)	სიგრძე (მ)	დრულიაბასებრი	ზედაპირის ფორმა	შემავსებელი
1	8	48	1	2.19	10	0.237	ბრტყელი და გლუვი, ზოგან საფეხურებრივი	მტვერი და თიხა
2	78	53	2	17.47	1.5	0.339		
3	256	16	3	19.54	1.1	0.162		

**Jv= 56.5**

**RQD= 0.0**

ქანის აღწერა	საქლასიფიკაციო პარამეტრები და მათი რეიტინგები									ჯაჭვი RMR	
	A-1		A-2		A-3		A-4		A-5		
	სიმტკიცე RQD, მმ	რეტინგი	რეტინგი	RQD, %	რეტინგი	რეტინგი	რეტინგი	რეტინგი	რეტინგი		
ხორმილი გამოფიტებული თხელი	16.9	2	0	3	130	8	სივრცე, ხორცლიანობა, შემავსებელი, გამოფიტვა.	12	სკელი	32	ჯაჭვი რეტინგი RMR

IV-ცენტ გლიცერინი მასივის კლასი

**პროექტი:** ზუგდიდი-მესტია-ლასდილის საავტომობილო გზის 116 კმ-ზე მეწყრული მონაკვეტის ასაქცევი გვირაბის სამშენებლო უბნის საინჟინრო-გეოლოგიური გამოკვლევა. (GC-1838)

**დაკვირვების წერტილი:** 6

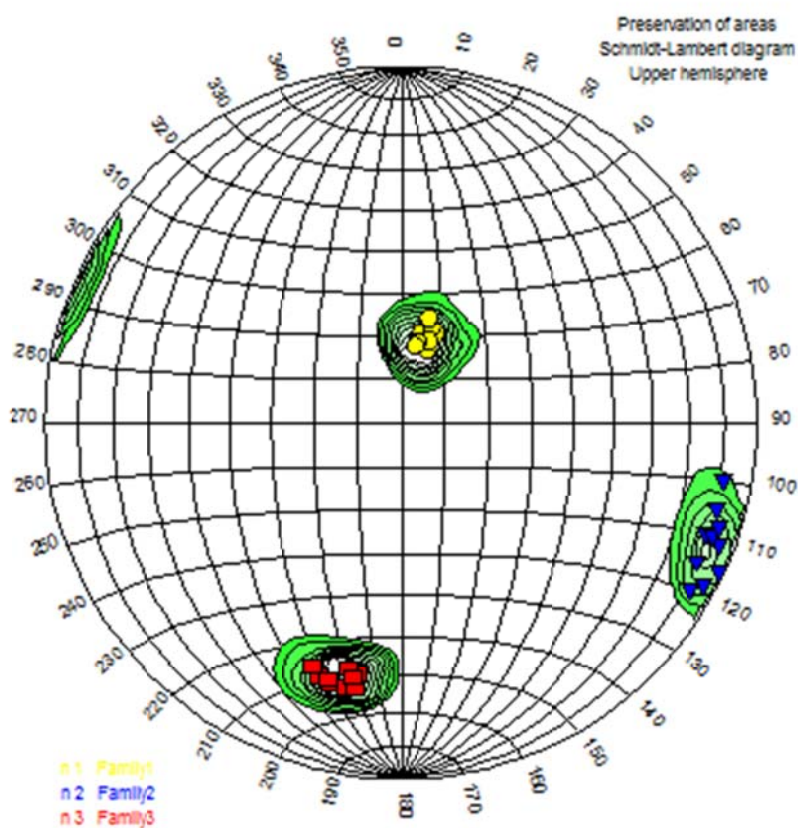
ნაპრალოვნების შესწავლის №3

ადგილმდებარეობა: X 299330 Y 4766750;

კლდოვანი მასივის აღწერა: თიხაფიქალები ღია მოყავისფრო ნაცრისფერი, თხელ და ფურცლოვან შრეებრი



დიაგრამა



GC-1838-ზუგდიდი-მესტია-ლასდილის საავტომობილო გზის 116 კმ-ზე მეწყრული  
მონაკვეთის ასაქცევი გვირაბის სამშენებლო უბნის საინჟინრო-გეოლოგიური  
გამოკვლევა.

ნაპრალოგნების შესწავლის №3

ნაპრალო სისტემა	დაქანების აზიმუტი გრად.	დახრის კუთხე	მანძილი ნაპრალებს შორის, სმ	ნაპრალო სიგრძე, მ	დრულობა, სმ	ნაპრალო ზედაპირები და შემაცნებელი	ბლოკურობა B, სმ	დრულობა P, %
1	10	20	0.5	10	0.01	ნაპრალო ზედაპირები და შემაცნებელი	15.6	0.7
	12	21	0.9	10	0.05			
	15	19	1.2	10	0.06			
	20	18	2.9	10	0.09			
	21	22	1.9	10	0.12			
	18	23	2.6	10	0.2			
	15	25	2.4	10	0.21			
	19	20	2.9	10	0.19			
	11	19	5	10	0.15			
	10	18	5.2	10	0.1			
საშუალო	<b>15</b>	<b>21</b>	<b>2.6</b>	<b>10</b>	<b>0.118</b>			
2	110	80	10	0.2	0.09	ნაპრალო ზედაპირები და შემაცნებელი	15.6	0.7
	100	81	15	0.2	0.02			
	111	85	20	0.6	0.09			
	115	81	34	0.8	0.15			
	118	86	70	0.7	0.25			
	120	83	52	0.6	0.3			
	110	82	46	0.1	0.4			
	105	81	28	0.5	0.34			
	108	83	60	0.9	0.33			
	115	88	75	0.6	0.25			
საშუალო	<b>111</b>	<b>83</b>	<b>41</b>	<b>0.52</b>	<b>0.222</b>			
3	190	60	50	0.5	0.23	ნაპრალო ზედაპირები მირთადად ბრტყელი და გლუვი. ზოგან კვარცის ძარღვებით.		
	195	65	45	0.6	0.4			
	192	65	20	0.9	0.25			
	198	64	23	0.8	0.29			
	200	62	15	1.2	0.12			
	190	61	45	1	0.16			
	192	60	55	1.1	0.18			
	196	64	45	1.1	0.05			
	190	65	35	0.9	0.09			
	191	62	30	0.5	0.18			
საშუალო	<b>193</b>	<b>63</b>	<b>36.3</b>	<b>0.86</b>	<b>0.195</b>			

**კონტრაქტი №. GC-1838**

ზუგდიდი-მესტია-ლასღილის საავტომობილო გზის 116 კმ-ზე მეწყრული მონაბეჭის ასაქცევი გვირაბის სამშენებლო უბნის საინჟინრო-გეოლოგიური გამოკვლევა.

**ნაპრალოგნების შესწავლა №3**

რიგ №	ლაქანის აზიმუტი (°)	ლახნის გულებე (°)	ნაპრალო სისტემა	მანძილი (მმ)	სიგრძე (მ)	ღრულობა(მმ)	ზედაპირის ფორმა	შემაგრებელი
1	15	21	1	2.6	10	0.118		
2	111	83	2	41	0.52	0.222		
3	193	63	3	36.3	0.86	0.195	ბრტყელი და გლუფი, ზოგან საფეხურებრივი	მტვერი და თიხა

**Jv= 44.4**

**RQD= 0.0**

ქანის აღწერა	საქლასიფიკაციო პარამეტრები და მათი რეიტინგები										
	A-1	A-2	A-3	A-4	A-5						
ნოტიერად გამოფიტული თიხაფიქალი	სიმტკიცე RC, მმ	რეიტინგი	RQD, %	რეიტინგი	მანძილი ნაპრალო შირის, მმ.						
	19	2	0	3	266	10	სიგრძე, ხორელიანობა, შემაგრებელი, გამოფიტვა.	12	რეიტინგი	გრულის წყლი	რეიტინგი
								7	34	ჯაჭური რეიტინგი RMR	IV-ცენტ

საშუალო	<b>15</b>	<b>21</b>	<b>2.6</b>	<b>10</b>	<b>0.118</b>
საშუალო	<b>111</b>	<b>83</b>	<b>41</b>	<b>0.52</b>	<b>0.222</b>
საშუალო	<b>193</b>	<b>63</b>	<b>36.3</b>	<b>0.86</b>	<b>0.195</b>

**პროექტი:** ზუგდიდი-მესტია-ლასდილის საავტომობილო გზის 116 კმ-ზე მეწყრული მონაკვეტის ასაქცევი გვირაბის სამშენებლო უბნის საინჟინრო-გეოლოგიური გამოკვლევა. (GC-1838)

**დაკვირვების წერტილი:** 7

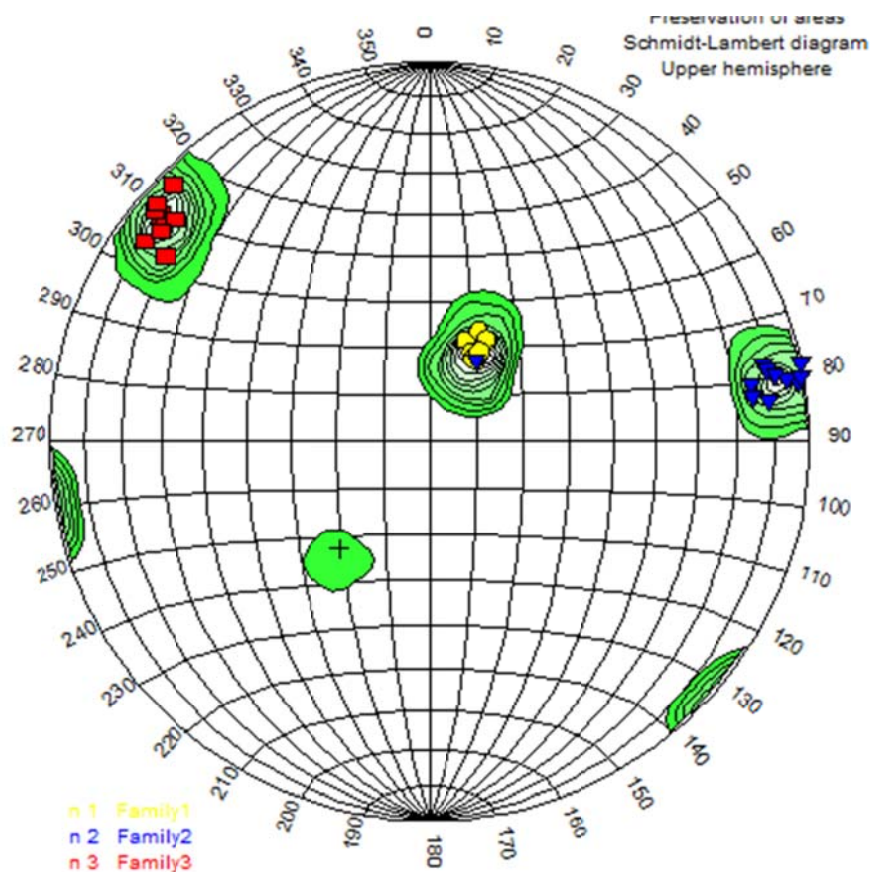
ნაპრალოვნების შესწავლის №4

ადგილმდებარეობა: X 299397 Y 4766730;

კლდოვანი მასივის აღწერა: თიხაფიქალები ღია მოყავისფრო ნაცრისფერი, თხელ და ფურცლოვან შრეებრი



დიაგრამა



GC-1838-ზუგდიდი-მესტია-ლასდილის საავტომობილო გზის 116 კმ-ზე მეწყრული  
მონაკვეთის ასაქცევი გვირაბის სამშენებლო უბნის საინჟინრო-გეოლოგიური  
გამოკვლევა.

ნაპრალოგნების შესწავლის №4

ნაპრალთა სისტემა	დაქანების აზიმუტი გრად.	დახრის კუთხე	მანძილი ნაპრალებს შორის, სმ	ნაპრალთა სიგრძე, მ	ლიულობა, სმ	ნაპრალთა ზედაპირები და შემაჭვებული	ბლოკურობა B, სმ	ლრულობა P, %
1	30	20	1	10	0.02	ნაპრალთა ზედაპირები და შემაჭვებული	ნაპრალთა ზედაპირები და შემაჭვებული	0.6
	25	22	1.5	10	0.05			
	20	23	5	10	0.06			
	30	25	5.9	10	0.09			
	25	21	6	10	0.12			
	28	20	7	10	0.12			
	24	26	10	10	0.18			
	29	25	15	10	0.2			
	29	22	18	10	0.2			
	საშუალო	<b>27</b>	<b>23</b>	<b>7.7</b>	<b>10</b>	<b>0.12</b>		
2	82	75	7	8	0.21	ნაპრალთა ზედაპირები და შემაჭვებული	ნაპრალთა ზედაპირები და შემაჭვებული	19.7
	80	75	10	0.8	0.02			
	77	79	30	1	0.08			
	81	88	7	2	0.04			
	80	85	12	2.5	0.18			
	78	80	15	1.5	0.13			
	79	82	6	3.2	0.08			
	80	89	69	3.5	0.01			
	78	90	10	2	0.12			
	82	75	45	0.9	0.31			
	83	79	65	0.8	0.15			
	საშუალო	<b>80</b>	<b>82</b>	<b>25.1</b>	<b>2.38</b>	<b>0.12</b>		
3	310	82	10	1	0.03			
	305	81	15	2	0.09			
	309	80	30	2.5	0.12			
	310	80	35	3.4	0.22			
	311	78	40	5	0.1			
	315	85	60	5.4	0.28			
	305	74	65	2	0.5			
	308	79	55	0.8	0.43			
	310	84	62	1.9	0.12			
	311	85	25	2	0.4			
საშუალო	<b>309</b>	<b>81</b>	<b>39.7</b>	<b>2.6</b>	<b>0.229</b>			
4	<b>220</b>	<b>30</b>	<b>0</b>	<b>0</b>	<b>2.2</b>	ტექტონიკური ნაპრალი		

**კონტრაქტი №. GC-1838**

ზუგდიდი-მესტია-ლასდილის საავტომობილო გზის 116 კმ-ზე მეწყრული მონაბეჭის  
ასაქცევი გვირაბის სამშენებლო უბნის საინჟინრო-გეოლოგიური გამოკვლევა.  
ნაპრალოგნების შესწავლა №4

რიგი N <sub>o</sub>	თავსაცემის აზიმუტი (°)	დანერის კუთხე (°)	ნაპრალოტა სისტემა	განცილები (ლმ)	სიგრძე (მ)	ღრულობა(სვ)	ზედაპირის ფორმა	შემავსებელი
1	27	23	1	7.7	10	0.12		
2	80	82	2	25.1	2.38	0.12		
3	309	81	3	39.7	2.6	0.229		

Jv= 19.5

RQD= 50.7

ქანის აღწერა	საკლასიფიკაციო პარამეტრები და მათი რეიტინგები								
	A-1		A-2		A-3		A-4		A-5
	ნიმუშიცემ RC, მმ	რეზინა	RQD, %	რეზინა	განცილები ნაპრალოტა შერის, მმ.	რეზინა	სიგრძე, ხორკლიანობა, შემავსებელი,	ნაპრალოტა გდებების სიგრძე	რეზინა
30.5	4	50.7	13	242		10	გამოვლენა	გამოვლენა	რეზინა
III - საშუალო							საშუალო რეიტინგი RMR	საშუალო რეიტინგი RMR	48

**პროექტი:** ზუგდიდი-მესტია-ლასდილის საავტომობილო გზის 116 კმ-ზე მეწყრული მონაკვეტის ასაქცევი გვირაბის სამშენებლო უბნის საინჟინრო-გეოლოგიური გამოკვლევა. (GC-1838)

**დაკვირვების წერტილი:** 8

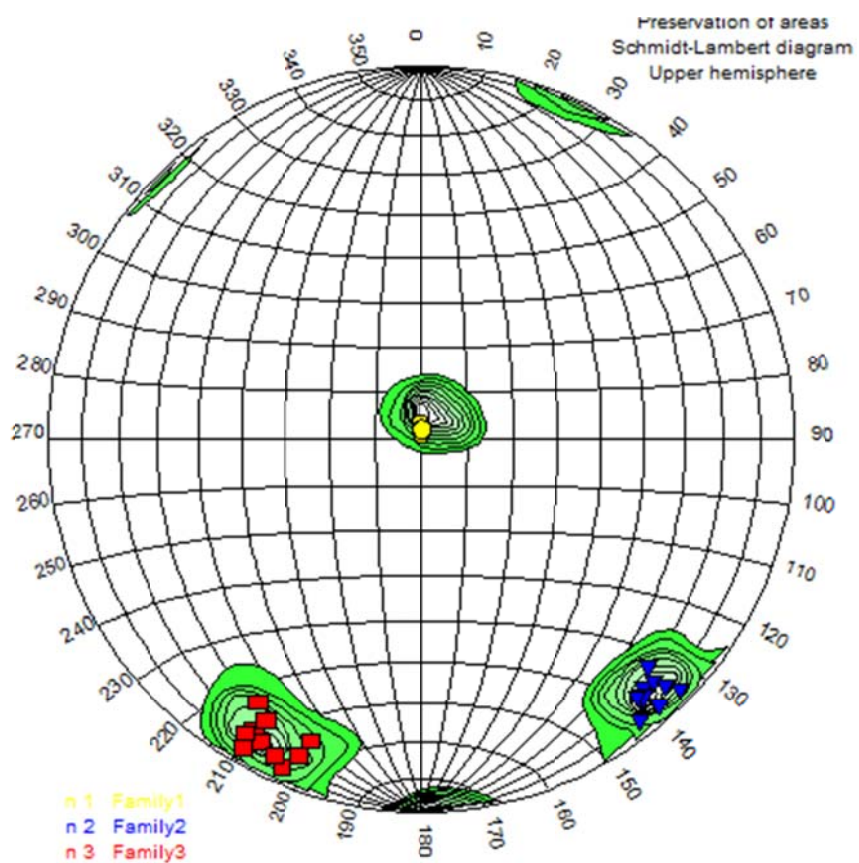
ნაპრალოვნების შესწავლის №5

ადგილმდებარეობა: X 299454 Y 4766750;

კლდოვანი მასივის აღწერა: თიხაფიქალები მოშავო მუქი ნაცრისფერი, თხელ და ფურცლოვან შრეებრი



დიაგრამა



GC-1838-ზუგდიდი-მესტია-ლასდილის საავტომობილო გზის 116 კმ-ზე მეწყრული  
მონაკვეთის ასაქცევი გვირაბის სამშენებლო უბნის საინჟინრო-გეოლოგიური გამოკვლევა.  
ნაპრალოვნების შესწავლის №5

ნაპრალო სისტემა	დაქანქის აზოგუდი ღრუბები	დახრის კუთხები	მანძილი ნაპრალოს შორის, მმ	ნაპრალო სიგრძე, მ	დრულობა, სგ	ნაპრალო ასაკის მედიანი და შემავალი	პლატფორმა B, სგ	დრულობა P, %
1	2	2	0.3	10	0.01	ნაპრალო ასაკის მედიანი და შემავალი	16.2	1.37
	1	2	0.9	10	0.05			
	2	1	1	10	0.09			
	3	2	10	10	0.2			
	1	3	12	10	0.25			
	0	2	15	10	0.5			
	2	1	8	10	0.52			
	1	1	1	10	0.45			
	0	2	0.5	10	0.38			
	3	2	2	10	0.2			
საშუალო	<b>2</b>	<b>2</b>	<b>5.1</b>	<b>10</b>	<b>0.27</b>			
2	135	75	10	1.3	0.03	ნაპრალო ასაკის მედიანი და შემავალი	16.2	1.37
	138	78	15	0.3	0.05			
	136	79	50	1.2	0.09			
	140	80	45	0.9	0.4			
	142	85	30	1.5	0.46			
	138	85	35	0.4	0.7			
	135	82	15	0.6	0.72			
	139	80	20	0.2	0.69			
	140	79	25	1.7	0.54			
	134	86	28	0.6	0.09			
საშუალო	<b>138</b>	<b>81</b>	<b>27.3</b>	<b>0.9</b>	<b>0.38</b>			
3	200	75	15	0.4	0.03	ნაპრალო ასაკის მედიანი და შემავალი	16.2	1.37
	210	79	10	1.2	0.09			
	203	85	30	0.8	0.1			
	208	81	45	5.6	0.5			
	201	80	55	0.3	0.6			
	205	83	42	1.3	0.5			
	209	75	20	0.7	0.2			
	212	72	19	1.2	0.15			
	211	81	25	1	0.09			
	210	85	45	0.9	0.05			
საშუალო	<b>207</b>	<b>80</b>	<b>30.6</b>	<b>1.3</b>	<b>0.23</b>			

**კონტრაქტი №. GC-1838**

ზუგდიდი-მესტია-ლასღილის საავტომობილო გზის 116 კმ-ზე მეწყრული მონაბეჭის ასაქცევი გვირაბის სამშენებლო უბნის საინჟინრო-გეოლოგიური გამოკვლევა.

**ნაპრალოგნების შესწავლა №5**

რიგ №	ლაქანის აგიზები (°)	გასხრის კუთხები (°)	ნაპრალო სისტემა	მანძილი (ლმ)	სიგრძე (მ)	დრულობა(სმ)	ზედაპირის ფორმა	შემავსებელი
1	2	2	1	5.1	10	0.27	ბრტყელი და გლუები, ზოგან საფეხურებრივი	ბტვერი და თიხა
2	138	81	2	27.3	0.9	0.38		
3	207	80	3	30.6	1.3	0.23		

Jv= 26.7

RQD= 27.0

ქანის აღწერა	საკლასიფიკაციო პარამეტრები და მათი რეიტინგები											
	A-1		A-2		A-3		A-4		A-5			
	სიმტკიცე RC, მპა	რეიტინგი	RQD, %	რეიტინგი	მანძილი ნაპრალო შერისხე, მმ.	რეიტინგი	ნაპრალო მდგრმდებრება	რეიტინგი	გრუმბის წელი	რეიტინგი	ჯაჭვირი რეიტინგი RMR	კლდოვანი მასივის კლასი
სუსტად გამოფიტებული თიხაფიქალი	31.6	4	27	8	210	10	სიგრძე, ხორჯლიანობა, შემავსებელი, გამოფიტება.	14	სველი	7	43	III-საშეულო

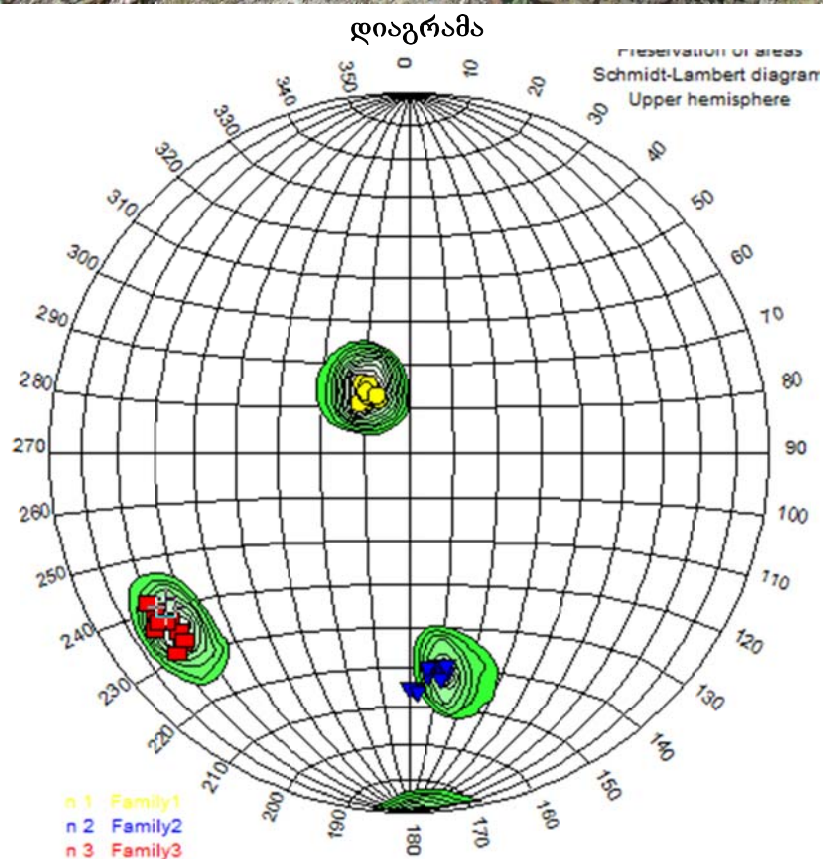
**პროექტი:** ზუგდიდი-მესტია-ლასდილის საავტომობილო გზის 116 კმ-ზე მეწყრული მონაკვეტის ასაქცევი გვირაბის სამშენებლო უბნის საინჟინრო-გეოლოგიური გამოკვლევა. (GC-1838)

**დაკვირვების წერტილი:** 9

**ნაპრალოვნების შესწავლის №6**

**ადგილმდებარეობა:** X 299510 Y 4766791;

**კლდოვანი მასივის აღწერა:** თიხაფიქალები მუქი ნაცრისფერი, თხელ და ფურცლოვან შრეებით



GC-1838-ზუგდიდი-მესტია-ლასდილის საავტომობილო გზის 116 კმ-ზე მეწყრული  
მონაცემის ასაქცევი გვირაბის სამშენებლო უბნის საინჟინრო-გეოლოგიური გამოკვლევა.  
ნაპრალოვნების შესწავლის №6

ნაპრალო სისტემა	დაქანების აზიმუტი გრად.	დახრის ტესტე	მანძილი ნაპრალებს შორის, სმ	ნაპრალო სიგრძე, მ	დრულობა, სმ	ნაპრალო ზედაპირები და შემაგრებული	ბლოკურობა B, სმ	ფრულობა P, %
1	320	15	1.5	10	0.01	ნაპრალო ზედაპირები და შემაგრებული	21.1	1.04
	330	17	2.5	10	0.05			
	315	16	5	10	0.09			
	325	15	5.6	10	0.12			
	326	19	6.2	10	0.2			
	329	18	10	10	0.3			
	330	14	11	10	0.15			
	324	16	15	10	0.27			
	325	17	14	10	0.08			
	330	15	12	10	0.04			
საშუალო	<b>325</b>	<b>16</b>	<b>8.3</b>	<b>10</b>	<b>0.13</b>			
2	172	50	15	0.8	0.06	ნაპრალო ზედაპირები და შემაგრებული	21.1	1.04
	170	52	20	1	0.07			
	179	55	25	2	0.12			
	175	51	29	1.5	0.26			
	175	52	30	0.8	0.46			
	172	53	40	0.9	0.9			
	180	55	45	3	0.88			
	178	56	35	3.4	0.74			
	170	50	32	4.5	0.65			
	175	50	20	5	0.4			
საშუალო	<b>175</b>	<b>52</b>	<b>29.1</b>	<b>2.3</b>	<b>0.45</b>			
3	235	70	10	0.7	0.01	ნაპრალო ზედაპირები და შემაგრებული	21.1	1.04
	230	71	15	0.9	0.05			
	232	70	20	1.2	0.09			
	238	72	60	1.5	0.1			
	240	73	55	1.9	0.15			
	235	75	45	2	0.19			
	229	74	55	2.2	0.25			
	230	70	35	2.8	0.4			
	235	71	42	4	0.45			
	236	73	55	3.1	0.5			
საშუალო	<b>234</b>	<b>72</b>	<b>39.2</b>	<b>2.0</b>	<b>0.22</b>			

კონტრაქტი №. GC-1838

ზუგდიდი-მესტია-ლასნილის საავტომობილო გზის 116 კმ-ზე მეწყრული მონაკვეთის ასაქცევი გვირაბის სამშენებლო უბნის საინჟინრო-გეოლოგიური გამოკვლევა.  
**ნაკრალოვნების შესწავლა №6**

ნიშანი	მიზანის გეგმის მიხედვით განვითარებული მიზანი						
1	325	16	1	8.3	10	0.13	ბრტყელი და გლუკი, ზოგან საფეხურებისი
2	175	52	2	29.1	2.3	0.45	
3	234	72	3	39.2	2.0	0.22	

Jv= 18.1

RQD= 55.4

ქანის აღწერა	საკლასიფიკაციო პარამეტრები და მათი რეიტინგები											
	A-1	A-2	A-3	A-4	A-5							
ხუსტებად გამოფიტებული თიხაფიქალი	სიმტკიცე R <sub>c</sub> , მმ	რეიტინგი	RQD, %	რეიტინგი	განბიჯილებული, მმ.	განბიჯილებული, მმ.	ნაკრალობა მდგრადირება	რეიტინგი	გრუნტის წყალი	რეიტინგი	ჯამური რეიტინგი RMR	კლიფების კლასი
21.7-12.4	2	55.4	13	255	10	სიგრძე, ხორცლანობა, შემაგრებელი, გამოფიტვა.	14	სეელი	7	46	III - IV	

**პროექტი:** ზუგდიდი-მესტია-ლასდილის საავტომობილო გზის 116 კმ-ზე მეწყრული მონაკვეტის ასაქცევი გვირაბის სამშენებლო უბნის საინჟინრო-გეოლოგიური გამოკვლევა. (GC-1838)

**დაკვირვების წერტილი: 10**

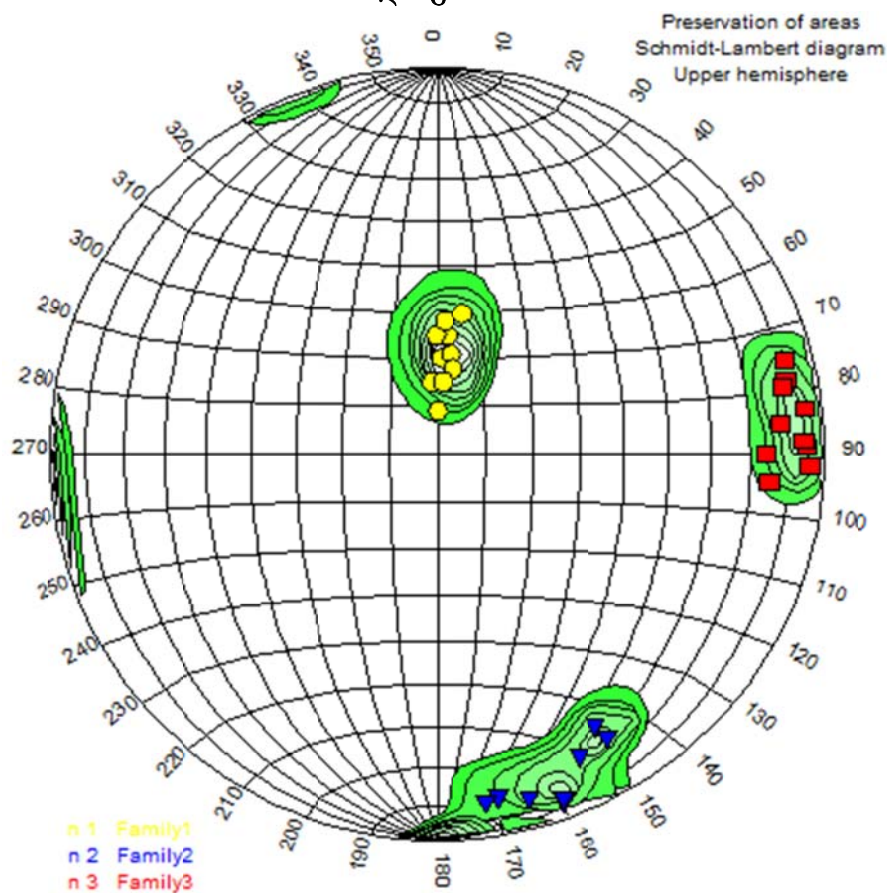
ნაპრალოვნების შესწავლის №7

ადგილმდებარება: X 300253 Y 4766152;

კლდოვანი მასივის აღწერა: თიხაფიქალები ნაცრისფერი, თხელ და ფურცლოვან შრეებით.



დიაგრამა



GC-1838-ზუგდიდი-მესტია-ლასდილის საავტომობილო გზის 116 კმ-ზე მეწყრული  
მონაცემის ასაქცევი გვირაბის სამშენებლო უბნის საინჟინრო-გეოლოგიური გამოკვლევა.  
ნაპრალოვნების შესწავლის №7

ნაპრალოთა სისტემა	დაქანების აზიმუტი გრაზ.	ღახრის კუთხე	მანძილი ნაპრალებს მორის, სმ	ნაპრალოთა სიგრძე, მ	დრულობა, სმ	ბლოკურობა B, სმ	დრულობა P, %
1	0	15	3	20	0.02	19.9	1.35
	0	9	5	20	0.09		
	2	20	9	20	0.04		
	5	25	4	20	0.12		
	10	30	10	20	0.2		
	0	25	15	20	0.4		
	3	28	18	20	0.5		
	8	21	8	20	0.44		
	10	18	20	20	0.42		
	4	15	14	20	0.38		
საშუალო	<b>4</b>	<b>21</b>	<b>10.6</b>	<b>20</b>	<b>0.26</b>		
2	150	70	5	2	0.05	19.9	1.35
	155	75	10	0.5	0.07		
	160	85	9	0.9	0.09		
	165	81	30	1.2	0.1		
	155	75	25	2.5	0.15		
	170	79	28	2	0.16		
	149	74	22	1.9	0.45		
	150	70	24	1.5	0.7		
	160	84	18	1.2	0.65		
	172	80	25	1	0.7		
საშუალო	<b>159</b>	<b>77</b>	<b>19.6</b>	<b>1.5</b>	<b>0.31</b>		
3	75	82	7	1.1	0.05	19.9	1.35
	78	81	15	1.2	0.09		
	79	80	35	2	0.05		
	83	85	45	1.9	0.1		
	85	78	60	0.5	0.16		
	89	85	55	0.9	0.5		
	90	74	48	0.8	0.8		
	92	86	35	1	0.75		
	88	84	29	1.5	0.65		
	95	75	52	1.8	0.5		
საშუალო	<b>85</b>	<b>81</b>	<b>38.1</b>	<b>1.3</b>	<b>0.37</b>		

ნაპრალოთა ზედაპირები მირითადად ბრტყელი და გლუვი. მცველობან თიხიანი შემავსებლით,  
ზოგან კვარცის ქარცვებით.

**ქონტრაქტი №. GC-1838**

ზუგდიდი-მესტია-ლასდიდის საავტომობილო გზის 116 კმ-ზე მეწყრული მონაკვეთის  
ასაქცევი გვირაბის სამშენებლო უბნის საინჟინრო-გეოლოგიური გამოკვლევა.  
**ნაპრალოვნების შესწავლა №7**

რიგ №	ღარენის აზიმუტი (°)	ღახრის კუთხე (°)	ნაპრალო სისტემა	მანძილი (ლმ)	სიგრძე (მ)	დრულობა(სტ)	ზედაპირის ფორმა	შემავსებელი
1	4	21	1	10.6	20	0.26		
2	159	77	2	19.6	1.5	0.31	ბრტყელი და გლუვი, ზოგან საფეხურებრივი	მტკერი და თიხა
3	85	81	3	38.1	1.3	0.37		

**Jv= 17.2****RQD= 58.4**

ქანის აღწერა	საკლასიფიკაციო პარამეტრები და მათი რეიტინგები																
	A-1	A-2	A-3	A-4	A-5	რეზისი	რეზისი	რეზისი									
სუსტად გამოფიტული თიხაფიქალი	სიმტკიცე RC, მას	RQD, %	მანძილი ნაპრალო შორის, მმ.	ნაპრალო მდგრმარეობა	რეზისი	25.2	4	58.4	13	228	10	სიგრძე, ხორცლიანობა, შემავსებელი, გამოფიტვა.	13	სველი	7	47	კატეგორი რეიტინგი RMR კლიფები მასივის კლასი

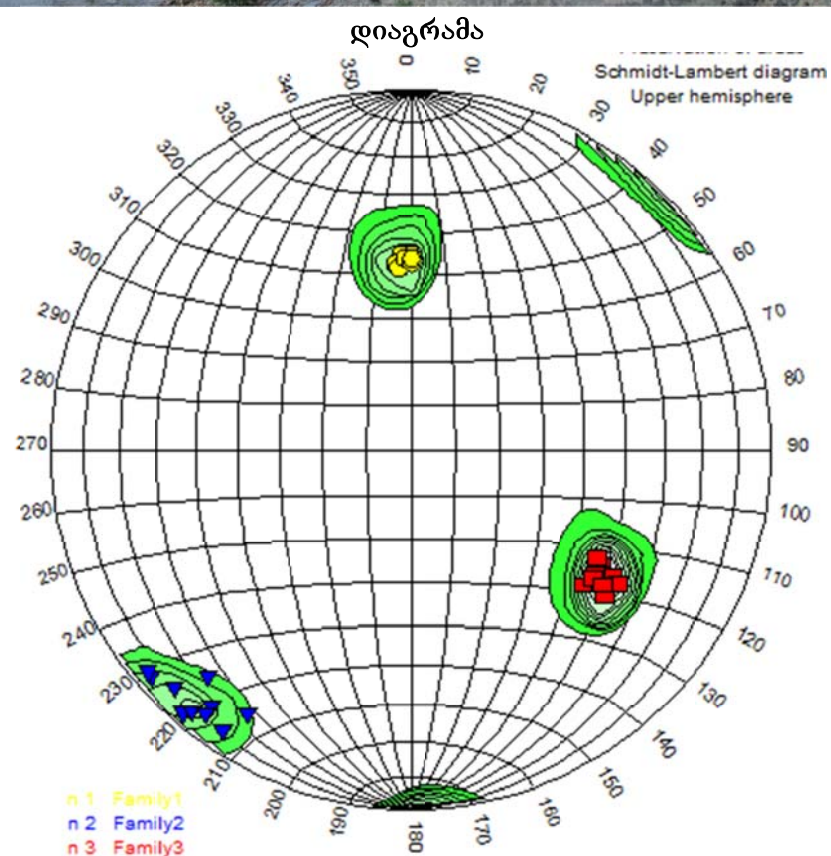
**პროექტი:** ზუგდიდი-მესტია-ლასდილის საავტომობილო გზის 116 კმ-ზე მეწყრული მონაკვეტის ასაქცევი გვირაბის სამშენებლო უბნის საინჟინრო-გეოლოგიური გამოკვლევა. (GC-1838)

**დაკვირვების წერტილი:** 11

**ნაპრალოვნების შესწავლის №8**

**ადგილმდებარეობა:** X 300190 Y 4766200;

**კლდოვანი მასივის აღწერა:** თიხაფიქალები ნაცრისფერი, თხელ და ფურცლოვან შრეებით



GC-1838-ზუგდიდი-მესტია-ლასდილის საავტომობილო გზის 116 კმ-ზე მეწყრული მონაკვეთის ასაქცევი გვირაბის სამშენებლო უბნის საინჟინრო-გეოლოგიური გამოკვლევა.

ნაპრალოვნების შესწავლის №8

ნაპრალთა სისტემა	დაქანქის აზიმუტი გრად.	დახრის კუთხე	მანძილი ნაპრალშის შროის, სმ	ნაპრალთა სიგრძე, მ	ლრულობა, სტ	ბლოკურობა B, სტ	ლრულობა P, %
1	359	45	3	10	0.02	ნაპრალთა ზედაპირები და უმაღვესობის მიხედვით უბნის ნაპრალთა ზედაპირები და უმაღვესობის მიხედვით	0.88
	359	45	4	10	0.02		
	357	45	12	10	0.05		
	358	44	8	10	0.12		
	355	43	2	10	0.08		
	356	42	25	10	0.25		
	360	45	12	10	0.08		
	358	44	15	10	0.23		
	360	43	13	10	0.45		
	360	44	3	10	0.16		
საშუალო	<b>358</b>	<b>44</b>	<b>9.7</b>	<b>10</b>	<b>0.15</b>		
2	222	73	15	0.7	0.27	ნაპრალთა ზედაპირები და უმაღვესობის მიხედვით უბნის ნაპრალთა ზედაპირები და უმაღვესობის მიხედვით	17.0
	225	82	20	1.5	0.18		
	229	85	12	2	0.08		
	212	75	15	1.5	0.15		
	218	79	23	1.8	0.42		
	225	82	42	1.2	0.28		
	230	85	18	1.5	0.18		
	221	86	26	1	0.12		
	220	84	12	0.8	0.15		
	218	82	43	0.5	0.17		
საშუალო	<b>222</b>	<b>81</b>	<b>22.6</b>	<b>1.25</b>	<b>0.20</b>		
3	121	52	27	2.2	0.02	ნაპრალთა ზედაპირები მირთადად ბრტყელი და გლუვი. მტკროვან თიხიანი შემავსებლით, ზოგან კვარცის მარლებით.	
	128	51	23	1.3	0.05		
	125	55	22	1.7	0.09		
	120	50	18	0.6	0.11		
	123	53	25	0.7	0.1		
	125	52	23	2.2	0.27		
	122	56	10	2.5	0.25		
	124	52	48	1.8	0.28		
	125	52	19	0.9	0.16		
	127	57	13	0.8	0.22		
	123	58	18	1.5	0.12		
	125	55	24	0.7	0.03		
საშუალო	<b>124</b>	<b>54</b>	<b>22.5</b>	<b>1.41</b>	<b>0.14</b>		

**ქონტრაქტი №. GC-1838**

ზუგდიდი-მესტია-ლასდიდის საავტომობილო გზის 116 კმ-ზე მეწყრული მონაცემთის  
ასაქცევი გვირაბის სამშენებლო უბნის საინჟინრო-გეოლოგიური გამოკვლევა.  
**ნაპრალოვნების შესწავლა №8**

რიგ №	ღარენა აზიმუტი (°)	ღახრის კუთხე (°)	ნაპრალო სისტემა	მანძილი (ლმ)	სიგრძე (მ)	დრუჟლობა(მმ)	ზედაპირის ფორმა	შემავსებელი
1	358	44	1	9.7	10	0.15	ბრტყელი და გლუვი, ზოგან საფეხურებრივი	მტგერი და თიხა
2	222	81	2	22.6	1.25	0.20		
3	124	54	3	22.5	1.41	0.14		

**Jv= 19.2****RQD= 51.7**

ქანის აღწერა	საკლასიფიკაციო პარამეტრები და მათი რეიტინგები													
	A-1	A-2	A-3	A-4	A-5	ნაპრალო მდგრადირევის	რეიტინგი	გრუნტის წყალი	რეიტინგი					
სუბჰად გამოფენილებული თიხაფილები	სიმტკიცე RC, მმ	რეიტინგი	RQD, %	რეიტინგი	განძილი ნაპრალო შირის, მმ.	183	10	სიგრძე, ხორციანობა, შემავსებელი, გამოფიტვა.	14	სველი	გრუნტის წყალი	რეიტინგი	ჯამური რეიტინგი RMR	კლდოვანი მასივის კლასი
26.2	4	51.7	13						7	48	III - სამტკიცელო			

**პროექტი:** ზუგდიდი-მესტია-ლასდილის საავტომობილო გზის 116 კმ-ზე მეწყრული მონაკვეტის ასაქცევი გვირაბის სამშენებლო უბნის საინჟინრო-გეოლოგიური გამოკვლევა. (GC-1838)

**დაკვირვების წერტილი:** 12

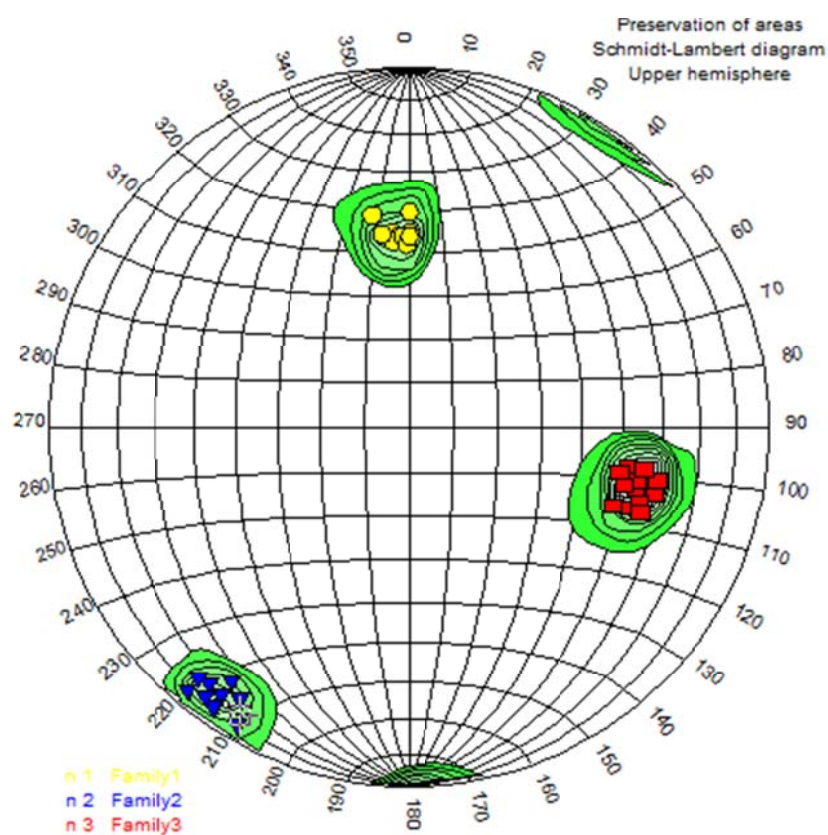
**ნაპრალოვნების შესწავლის №9**

**ადგილმდებარეობა:** X 300164 Y 4766260;

**კლდოვანი მასივის აღწერა:** თიხაფიქალები ნაცრისფერი, თხელ და ფურცლოვან შრეებრი



დიაგრამა



GC-1838-ზუგდიდი-მესტია-ლასდილის საავტომობილო გზის 116 კმ-ზე მეწყრული მონაკვეთის ასაქცევი გვირაბის სამშენებლო უბნის საინჟინრო-გეოლოგიური გამოკვლევა. ნაპრალოვნების შესწავლის №9

ნაპრალო სისტემა	დაქანქბის აზიმუტი გრად.	დახრის გუთხე	მანძილი ნაპრალებს შორის, სმ	ნაპრალო სიგრძე, მ	ლრულობა, სმ	ნაპრალო ზედაპირები და ტემპერატურები	პლოგურობა B, სმ	ლრულობა P, %
1	350	50	4	10	0.03	ნაპრალო ზედაპირები და ტემპერატურები გვარცის ძარღვებით.	15.4	0.96
	355	45	1	10	0.05			
	357	44	8	10	0.12			
	355	43	4	10	0.18			
	360	50	20	10	0.25			
	360	45	18	10	0.02			
	358	44	10	10	0.23			
	359	42	12	10	0.32			
	360	44	2	10	0.16			
	352	45	7	0	0.27			
საშუალო	<b>357</b>	<b>45</b>	<b>8.6</b>	<b>9</b>	<b>0.16</b>			
2	215	80	15	1.5	0.14	ნაპრალო ზედაპირები და ტემპერატურები გვარცის ძარღვებით.	15.4	0.96
	210	85	25	1.5	0.08			
	220	85	30	1.5	0.15			
	218	79	18	2.2	0.38			
	215	75	20	1.2	0.28			
	210	85	20	1.5	0.25			
	212	78	25	1.5	0.12			
	215	84	18	0.8	0.22			
	220	80	7	0.8	0.17			
	217	83	8	0.3	0.12			
საშუალო	<b>215</b>	<b>81</b>	<b>18.6</b>	<b>1</b>	<b>0.19</b>			
3	105	55	13	0.8	0.02	ნაპრალო ზედაპირები ძირითადად ბრტყელი და გლუვი. მტკროვან თიხიანი ტემპერატურის ძარღვებით.	15.4	0.96
	111	51	17	1.3	0.11			
	110	55	28	1.7	0.09			
	105	60	30	0.6	0.25			
	102	60	35	0.5	0.15			
	105	52	27	2.2	0.18			
	103	55	17	2.5	0.25			
	100	52	22	1.8	0.07			
	105	52	18	0.7	0.16			
	108	57	20	0.8	0.22			
	110	58	25	0.7	0.12			
	100	56	18	1.3	0.03			
	102	50	27	1.8	0.12			
	105	52	23	1.7	0.05			
საშუალო	<b>105</b>	<b>55</b>	<b>22.9</b>	<b>1.31</b>	<b>0.13</b>			

**ქონტრაქტი №. GC-1838**

ზუგდიდი-მესტია-ლასდიდის საავტომობილო გზის 116 კმ-ზე მეწყრული მონაკვეთის  
ასაქცევი გვირაბის სამშენებლო უბნის საინჟინრო-გეოლოგიური გამოკვლევა.  
**ნაპრალოვნების შესწავლა №9**

რიგ.№	ვაკანგბის აზიმუტი (°)	ღასტრის ძუღარები (°)	ნაპრალო სისტემა	ქანდილი (სმ)	სივრცე (მ)	ზედაპირის ფორმა	შემაგრებელი
1	357	45	1	8.6	9	0.16	ბრტყელი და გლუები, ზოგან საფეხურებრივი
2	215	81	2	18.6	1	0.19	
3	105	55	3	22.9	1.31	0.13	

**Jv= 21.4****RQD= 44.4**

ქანის აღმოჩენა	საკლასიფიკაციო პარამეტრები და მათი რეზისიგნები											
	A-1		A-2		A-3		A-4		A-5			
	სიმტკიცე RC, მპა	რეზისიგნები	RQD, %	რეზისიგნები	მანძილი ნაპრალო ქორის, მმ.	რეზისიგნები	ნაპრალო მდგრადირეობა	სიგრძე, ხორცლიანობა, შემაგრებელი, გამოფიტვა.	რეზისიგნები	გრუნტის წევალი	რეზისიგნები	
სუსტად გამოფიტული თიხაფიქალი	34.7	4	44.4	8	167	8			12	სეპლი	7	39
IV - ცუდი												

ჯაჭვირი რეზისიგნები RMR

კლილებანი მასივის კლასი

**პროექტი:** ზუგდიდი-მესტია-ლასდილის საავტომობილო გზის 116 კმ-ზე მეწყრული მონაკვეტის ასაქცევი გვირაბის სამშენებლო უბნის საინჟინრო-გეოლოგიური გამოკვლევა. (GC-1838)

**დაკვირვების წერტილი:** 14

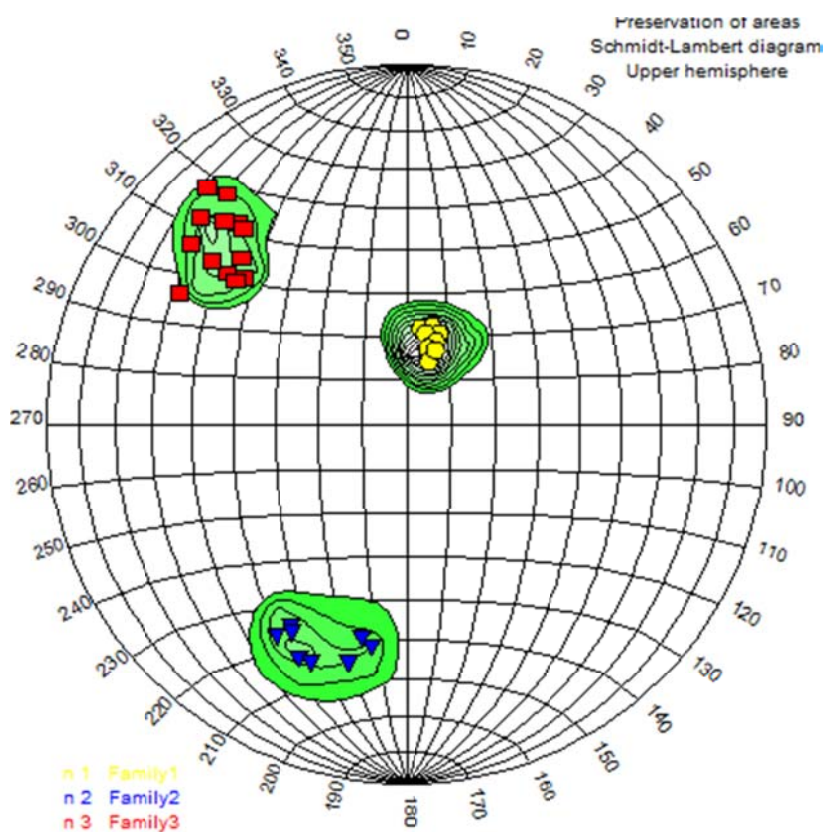
**ნაპრალოვნების შესწავლის №10**

**ადგილმდებარეობა:** X 299900 Y 4766685;

**კლდოვანი მასივის აღწერა:** თიხაფიქალები ნაცრისფერი, თხელ და ფურცლოვან შრეებით.



დიაგრამა



GC-1838-ზუგდიდი-მესტია-ლასდილის საავტომობილო გზის 116 კმ-ზე მეწყრული მონაკვეთის ასაქცევი გვირაბის სამშენებლო უბნის საინჟინრო-გეოლოგიური გამოკვლევა.  
ნაპრალოვნების შესწავლის №10

ნაპრალოთა სისტემა	ლაქანების აზიმუტი გრად.	დახრის კვატებ	მანძილი ნაპრალებს ჭორის, სმ	ნაპრალოთა სიგრძე, მ	ლრულობა, სმ	ნაპრალოთა ზედაპირები და შემავსებული	ულოკურიბა B, სმ	ლრულობა P, %
1	8	22	2	10	0.05	ნაპრალოთა ზედაპირები და შემავსებული გვირცის მარჯვებით.	11.6	1.11
	15	20	1	10	0.05			
	15	23	0.5	10	0.07			
	20	22	4	10	0.18			
	20	20	1.2	10	0.09			
	12	21	0.8	10	0.18			
	15	18	7	10	0.23			
	17	17	15	10	0.22			
	20	20	0.4	10	0.07			
	16	18	1.8	10	0.27			
	20	15	1.1	10	0.14			
	22	18	3.2	2.2	0.08			
საშუალო	<b>17</b>	<b>20</b>	<b>3.17</b>	<b>9.35</b>	<b>0.14</b>			
2	205	60	23	0.8	0.15	ნაპრალოთა ზედაპირები და შემავსებული გვირცის მარჯვებით.	11.6	1.11
	210	54	18	2.2	0.38			
	189	52	12	1.2	0.28			
	192	50	20	2	0.25			
	212	58	38	2.2	0.12			
	209	55	18	1.5	0.22			
	202	60	42	1.3	0.17			
	194	57	8	0.3	0.12			
საშუალო	<b>202</b>	<b>56</b>	<b>22.4</b>	<b>1.44</b>	<b>0.21</b>			
3	310	55	13	0.8	0.23	ნაპრალოთა ზედაპირები მირთმადად ბრტყელი და გლუვი. მტკროვან თიხიანი შემაქსებლით, ზოგან გვარცის მარჯვებით.	11.6	1.11
	312	51	17	2.2	0.11			
	310	55	20	1.7	0.18			
	315	55	30	0.5	0.25			
	320	62	17	0.5	0.42			
	318	65	27	1.8	0.18			
	320	75	42	2.5	0.17			
	310	60	22	2.2	0.07			
	315	70	35	0.7	0.32			
	310	52	20	1.3	0.22			
	300	62	8	0.7	0.3			
	320	60	18	2	0.03			
	322	70	20	1.8	0.12			
	310	67	17	2.2	0.02			
საშუალო	<b>314</b>	<b>61</b>	<b>21.9</b>	<b>1.49</b>	<b>0.19</b>			

**ქონტრაქტი №. GC-1838**

ზუგდიდი-მესტია-ლასდიდის საავტომობილო გზის 116 კმ-ზე მეწყრული მონაცემთის  
ასაქცევი გვირაბის სამშენებლო უბნის საინჟინრო-გეოლოგიური გამოკვლევა.  
**ნაპრალოვნების შესწავლა №10**

რიგ №	ლაქანების აზიმუტი (°)	ლაქანის კუთხე (°)	ნაპრალო სისტემა	მანძილი (მ)	სიგრძე (მ)	დრულობა(მმ)	ზედაპირის ფორმა	შემაგრებელი
1	17	20	ნაპრალო სისტემა	3.17	9.35	0.14	ბრტყელი და გლუვი, ზოგან საფეხურებრივი	მტკერი და თიხა
2	202	56		22.4	1.44	0.21		
3	314	61		21.9	1.49	0.19		

**Jv= 40.6****RQD= 0.0**

ქანის აღწერა	საკლასიფიკაციო პარამეტრები და მათი რეიტინგები										
	A-1		A-2		A-3		A-4		A-5		
სიმტკიცე RC, მ.მ	რეტინგი	RQD, %	რეტინგი	მანძილი ნაპრალო ჭრის, მ.	რეტინგი	ნაპრალო მდგრმარეობა	რეტინგი	არენტის წარლი	რეტინგი	ჯამური რეიტინგი RMR	კლიენტის მასივის კლასი
9.9	2	0	3	158	8	სიგრძე, ხორცლიანობა, შემაგრებელი, გამოფიტვა.	12	სგელი	7	32	IV-კლ

**პროექტი:** ზუგდიდი-მესტია-ლასდილის საავტომობილო გზის 116 კმ-ზე მეწყრული მონაკვეტის ასაქცევი გვირაბის სამშენებლო უბნის საინჟინრო-გეოლოგიური გამოკვლევა. (GC-1838)

**დაპერვების წერტილი:** 18

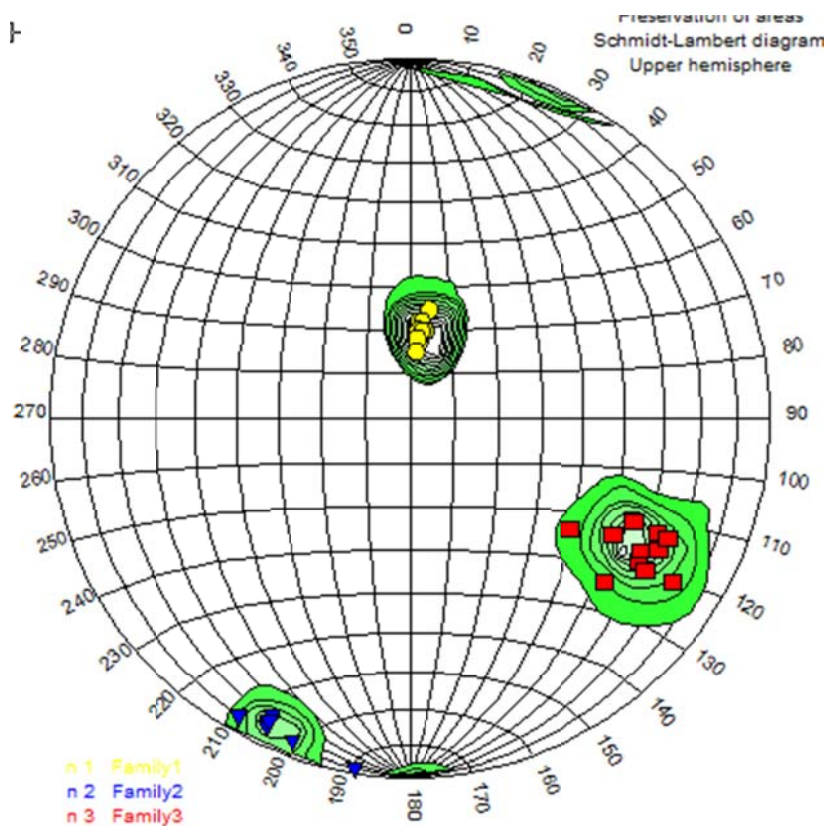
ნაპრალოვნების შესწავლის №11

ადგილმდებარეობა: X 299727 Y 4766723;

კლდოვანი მასივის აღწერა: თიხაფიქალები ნაცრისფერი, თხელ და ფურცლოვან შრეებით



დიაგრამა



GC-1838-ზუგდიდი-მქსტია-ლასდილის საავტომობილო გზის 116 კმ-ზე მეწყრული მონაკვეთის ასაქცევი გვირაბის სამშენებლო უბნის საინჟინრო-გეოლოგიური გამოკვლევა.  
ნაპრალოვნების შესწავლის №11

ნაპრალო სისტემა	ჯაჭანების აზიმუტი გრად.	დახრის გუთხე	მანძილი ნაპრალებს შორის, სმ	ნაპრალო სიგრძე, მ	ღრულობა, სმ	ნაპრალო სიგრძე, მ	ნაპრალო ზედაპირები და ფერმაველები	ბლოკურობა B, სმ	ღრულობა P, %
1	5	22	4	10	0.05	ნაპრალო სიგრძე, მ	ნაპრალო ზედაპირები და ფერმაველები	16.7	0.62
	7	18	7	10	0.07				
	10	25	8	10	0.15				
	7	17	8	10	0.05				
	7	22	4	10	0.07				
	10	20	6	10	0.22				
	5	20	3	10	0.15				
	8	20	4	10	0.15				
	10	20	5	10	0.09				
	8	20	6	10	0.26				
	5	18	8	10	0.08				
	5	15	2	10	0.15				
საშუალო	7	20	5.4	10	0.12				
2	205	80	12	0.5	0.07	ნაპრალო სიგრძე, მ	ნაპრალო ზედაპირები და ფერმაველები	16.7	0.62
	210	85	45	0.8	0.08				
	189	88	50	1.8	0.13				
	205	83	45	2	0.25				
	200	85	42	2.8	0.12				
	205	80	35	1.5	0.18				
	205	84	30	1.7	0.22				
	205	82	25	0.3	0.05				
საშუალო	203	83	35.5	1.43	0.14				
3	120	63	45	1.5	0.23	ნაპრალო ზედაპირები მირთმედად პირებელი და გლუვი. მიწოდებული მიწა გარემონტის მარდგრებით.	ნაპრალო ზედაპირები მირთმედად პირებელი და გლუვი. მიწოდებული მიწა გარემონტის მარდგრებით.	16.7	0.62
	115	58	18	0.7	0.08				
	122	64	20	0.5	0.09				
	115	58	25	1.8	0.18				
	120	55	48	1.8	0.28				
	118	67	50	2.2	0.18				
	122	75	17	1.5	0.06				
	115	65	15	3.5	0.07				
	115	68	10	1	0.17				
	120	55	22	1.5	0.18				
	125	45	25	0.7	0.13				
	130	60	15	0.9	0.25				
	120	63	20	1.6	0.08				
	123	67	12	1.8	0.06				
საშუალო	120	62	24.4	1.5	0.15				

**ქონტრაქტი №. GC-1838**

ზუგდიდი-მესტია-ლასდიდის საავტომობილო გზის 116 კმ-ზე მეწყრული მონაკვეთის  
ასაქცევი გვირაბის სამშენებლო უბნის საინჟინრო-გეოლოგიური გამოკვლევა.  
**ნაპრალოვნების შესწავლა №11**

რიგ.№	ღარენა და განხილვის აზიმუტი (°)	ღარენის დრო (დღე)	ნაპრალო სისტემა	მანძილი (ლმ)	სივრცე (მ)	დრულობა(მმ)	ზედაპირის ფორმა	შემავსებელი
1	7	20	1	5.4	10	0.12		
2	203	83	2	35.5	1.43	0.14	ბრტყელი და გლუვი, ზოგან საფეხურებრივი	მტკერი და თიხა
3	120	62	3	24.4	1.5	0.15		

**Jv= 25.4****RQD= 31.3**

ქანის აღწერა	საკლასიფიკაციო პარამეტრები და მათი რეიტინგები							ჯამური რეიტინგი RMR
	A-1	A-2	A-3	A-4	A-5			
საუბალ გამოფიტებული თიხაფიქალი	სიმტკიცე RC, მპა	რეიტინგი	რეიტინგი	ანალიზი ნაკრალთა შეირის, მმ.	რეიტინგი	ნაპრალო მდგრმარეობა	რეიტინგი	ჯამური რეიტინგი RMR
14.5-55.8	4	31.3	8	218	10	სიგრძე, ხორციანობა, შემავსებელი, გამოფიტება.	14	სველი გრანიტის რეიტინგი
							სველი გრანიტის რეიტინგი	43
								III-საუბალო კლდოვანი მასივის კლასი

**პროექტი:** ზუგდიდი-მესტია-ლასდილის საავტომობილო გზის 116 კმ-ზე მეწყრული მონაკვეტის ასაქცევი გვირაბის სამშენებლო უბნის საინჟინრო-გეოლოგიური გამოკვლევა. (GC-1838)

**დაკვირვების წერტილი:** 25

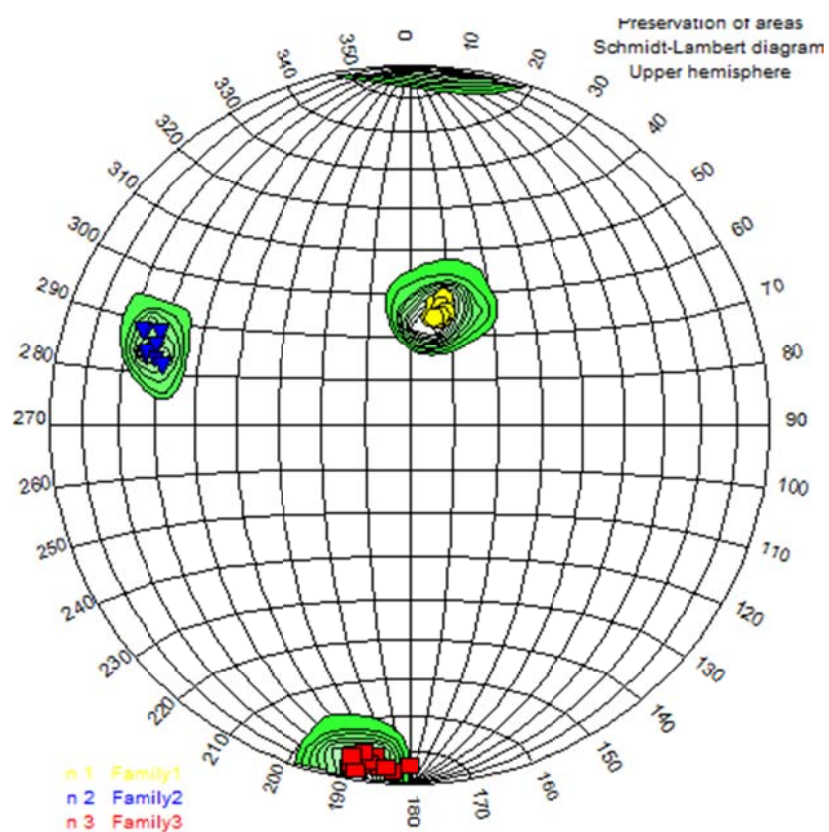
ნაპრალოვნების შესწავლის №12

ადგილმდებარეობა: X 299727 Y 4766723;

კლდოვანი მასივის აღწერა: თიხაფიქალები ნაცრისფერი, თხელ და ფურცლოვან შრეებით



დიაგრამა



GC-1838-ზუგდიდი-მესტია-ლასდილის საავტომობილო გზის 116 კმ-ზე მეწყრული მონაკვეთის ასაქცევი გვირაბის სამშენებლო უბნის საინჟინრო-გეოლოგიური გამოკვლევა.  
ნაპრალოვნების შესწავლის №12

ნაპრალოთა სისტემა	დაქანების აზიმუტი გრად.	დახრის გუთხე	მანძილი ნაპრალებს შორის, სმ	ნაპრალოთა სიგრძე, მ	ლრულობა, სმ	ნაპრალოთა ზედამიზები და ფერმაველები	ულოგურობა B, სმ	ლრულობა P, %
1	11	25	7	10	0.08	ნაპრალოთა ზედამიზები და ფერმაველები მცირდებან თიხიანი შემავალით, ზოგან კვარცის ძარღვებით.	7.8	1.36
	15	27	2	10	0.07			
	15	27	5	10	0.04			
	12	28	1.5	10	0.05			
	15	27	4	10	0.05			
	17	25	2.5	10	0.22			
	16	28	2	10	0.15			
	15	30	1.5	10	0.07			
	15	28	0.5	10	0.09			
	18	27	5	10	0.26			
	15	25	3	10	0.08			
	16	26	2.5	10	0.22			
საშუალო	<b>15</b>	<b>27</b>	<b>3.0</b>	<b>10</b>	<b>0.115</b>			
2	285	62	7	1.5	0.07	ნაპრალოთა ზედამიზები და ფერმაველები მცირდებან თიხიანი შემავალით, ზოგან კვარცის ძარღვებით.	7.8	1.36
	285	65	8	0.7	0.08			
	290	67	15	0.6	0.25			
	291	63	12	0.5	0.25			
	287	63	20	1.2	0.18			
	285	62	15	1	0.18			
	286	65	25	0.7	0.09			
	284	60	17	0.5	0.05			
	288	63	7	1.8	0.17			
	290	68	8	0.7	0.08			
საშუალო	<b>287</b>	<b>64</b>	<b>13.4</b>	<b>0.92</b>	<b>0.14</b>			
3	183	86	13	0.8	0.13	ნაპრალოთა ზედამიზები მცირდებან ბრტყელი და გლუვები. მცირდებან თიხიანი შემავალით, ზოგან კვარცის ძარღვებით.	7.8	1.36
	185	85	18	0.3	0.18			
	180	84	15	1.6	0.05			
	188	85	7	1.4	0.04			
	190	86	6	1.1	0.06			
	186	82	5	1.8	0.07			
	187	84	5	1.3	0.17			
	190	85	15	0.7	0.18			
	188	81	22	0.9	0.09			
	189	87	12	1.6	0.25			
	184	85	13	0.7	0.28			
	190	83	8	1.6	0.08			
საშუალო	<b>187</b>	<b>84</b>	<b>11.6</b>	<b>1.15</b>	<b>0.13</b>			

კონტრაქტი №. GC-1838

ზუგდიდი-მესტია-ლასდილის საავტომობილო გზის 116 კმ-ზე მეწყრული მონაკვეთის  
ასაქცევი გვირაბის სამშენებლო უბნის საინჟინრო-გეოლოგიური გამოკვლევა.  
**ნაპრალოვნების შესწავლა №12**

№	კოდი	სახელი	გვარი	მომსახურებული	მომსახურებული	მომსახურებული	მომსახურებული	მომსახურებული
1	15	27	1	3.0	10	0.12	ბრტყელი და გლუკი, ზოგან საფეხურებრივი	მტვერი და თიხა
2	287	64	2	13.4	0.92	0.14		
3	187	84	3	11.6	1.15	0.13		

Jv= 49.8

RQD= 0.0

ქანის აღმუშავება	საქლასიფიკაციო პარამეტრები და მათი რეიტინგები								
	A-1		A-2		A-3		A-4		A-5
	სიმტკიცე RC, მმ	რეიტინგი	RQD, %	რეიტინგი	მანძილი ნაპრალო შირის, მმ.	რეიტინგი	ნაპრალო მდგომარეობა	რეიტინგი	გრუნტის წყალი
30.4	4	0	3	152	8	სიგრძე, ხორციანობა, შემავსებელი, გამოფიტვა.	12	სველი	ჯამური რეიტინგი RMR
	IV-ტური								კლოვანი მასივის კაბი

**პროექტი:** ზუგდიდი-მესტია-ლასდილის საავტომობილო გზის 116 კმ-ზე მეწყრული მონაკვეტის ასაქცევი გვირაბის სამშენებლო უბნის საინჟინრო-გეოლოგიური გამოკვლევა. (GC-1838)

**დაკვირვების წერტილი:** 28

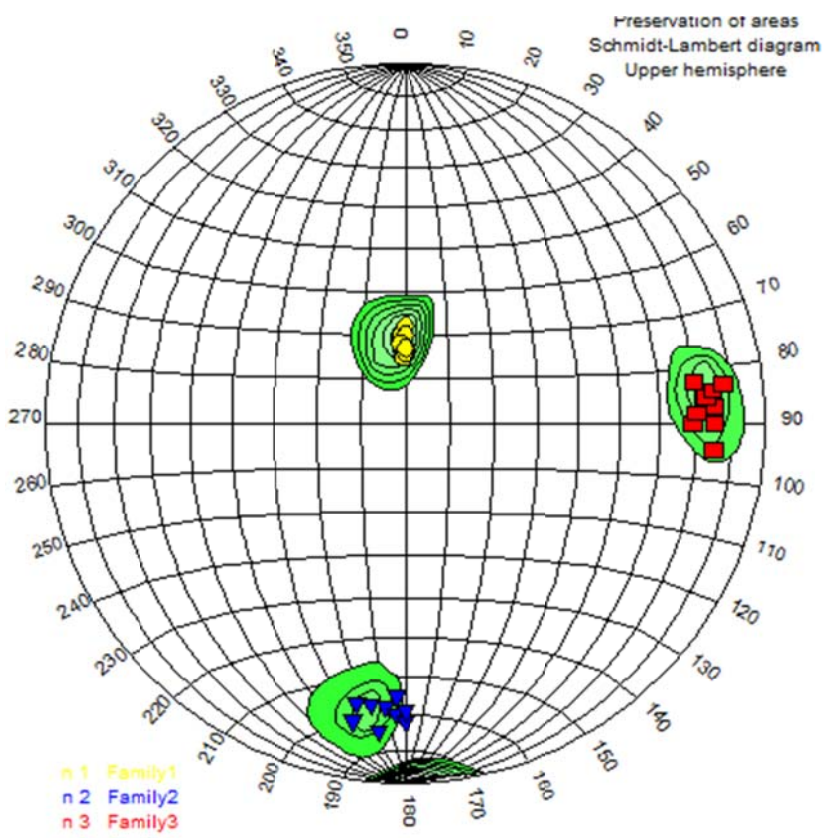
**ნაპრალოვნების შესწავლის №13**

**ადგილმდებარეობა:** X 299437 Y 4766817;

**კლდოვანი მასივის აღწერა:** თიხაფიქალები ნაცრისფერი, თხელ და ფურცლოვან შრეებით.



დიაგრამა



GC-1838-ზუგდიდი-მესტია-ლასდილის საავტომობილო გზის 116 კმ-ზე მეწყრული მონაკვეთის ასაქცევი გვირაბის სამშენებლო უბნის საინჟინრო-გეოლოგიური გამოკვლევა. ნაპრალოვნების შესწავლის №13

ნაპრალო სისტემა	ლაქცენტის აზიმუტი გრად.	დახრის გუთხე	მანძილი ნაპრალობის შორის, მმ	ნაპრალოს სიგრძე, მ	ლრწვლილი, მმ	ნაპრალოს სიგრძე, მ	ნაპრალოს სიგრძე, მ	ლრწვლილი P, %
1	360	18	0.8	10	0.17	ნაპრალოს სიგრძე, მ ლრწვლილი, მმ ნაპრალოს სიგრძე, მ ნაპრალოს სიგრძე, მ	ნაპრალოს სიგრძე, მ ლრწვლილი, მმ ნაპრალოს სიგრძე, მ ნაპრალოს სიგრძე, მ	ნაპრალოს სიგრძე, მ ლრწვლილი, მმ ნაპრალოს სიგრძე, მ ნაპრალოს სიგრძე, მ
	358	17	2	10	0.08			
	357	20	2	10	0.12			
	360	22	3	10	0.15			
	360	15	5	10	0.05			
	357	17	0.4	10	0.25			
	357	15	4	10	0.15			
	358	15	7	10	0.07			
	358	18	4	10	0.08			
	360	16	3	10	0.26			
	360	20	3	10	0.15			
	356	18	2.8	10	0.22			
	360	17	1.5	10	0.07			
საშუალო	<b>359</b>	<b>18</b>	<b>3.0</b>	<b>10</b>	<b>0.14</b>			
2	184	68	7	0.8	0.15	ნაპრალოს სიგრძე, მ ლრწვლილი, მმ ნაპრალოს სიგრძე, მ ნაპრალოს სიგრძე, მ	ნაპრალოს სიგრძე, მ ლრწვლილი, მმ ნაპრალოს სიგრძე, მ ნაპრალოს სიგრძე, მ	ნაპრალოს სიგრძე, მ ლრწვლილი, მმ ნაპრალოს სიგრძე, მ ნაპრალოს სიგრძე, მ
	190	68	35	0.6	0.25			
	185	75	20	0.7	0.18			
	182	70	18	1.2	0.18			
	180	72	20	1.5	0.18			
	187	68	22	0.7	0.25			
	190	73	18	0.8	0.05			
	182	65	15	1.8	0.25			
	180	69	20	1.7	0.08			
საშუალო	<b>184</b>	<b>70</b>	<b>19.4</b>	<b>1.09</b>	<b>0.17</b>			
3	82	70	7	0.8	0.32	ნაპრალოს სიგრძე, მ ლრწვლილი, მმ ნაპრალოს სიგრძე, მ ნაპრალოს სიგრძე, მ	ნაპრალოს სიგრძე, მ ლრწვლილი, მმ ნაპრალოს სიგრძე, მ ნაპრალოს სიგრძე, მ	ნაპრალოს სიგრძე, მ ლრწვლილი, მმ ნაპრალოს სიგრძე, მ ნაპრალოს სიგრძე, მ
	85	72	42	0.3	0.18			
	90	75	25	2.2	0.15			
	87	75	28	1.4	0.04			
	82	70	25	0.7	0.15			
	85	73	20	1.8	0.12			
	84	75	25	0.5	0.17			
	82	70	18	1.3	0.08			
	83	78	24	0.9	0.09			
	90	69	18	0.8	0.12			
	95	75	25	0.7	0.28			
	88	70	20	1.2	0.03			
საშუალო	<b>86</b>	<b>73</b>	<b>23.1</b>	<b>1.05</b>	<b>0.14</b>			

ნაპრალოს სიგრძე, მ  
ლრწვლილი, მმ  
ნაპრალოს სიგრძე, მ  
ნაპრალოს სიგრძე, მ

11.0 1.00

კონტრაქტი №. GC-1838

ზუგდიდი-მექტია-ლასდილის საავტომობილო გზის 116 კმ-ზე მეწყრული მონაკვეთის  
ასაცევი გვირაბის სამშენებლო უბნის საინჟინრო-გეოლოგიური გამოკვლევა.  
**ნაპრალოვნების შესწავლა №13**

რიგ №	დაქანების აზიმუტი (°)	დახრის გულხე (°)	ნაპრალთა სისტემა	განძილი (სმ)	სივრცე (მ)	დროულობა(სმ)	ზედაპირის ფორმა	შემავსებელი
1	359	18	1	3.0	10	0.14		
2	184	70	2	19.4	1.09	0.17		
3	86	73	3	23.1	1.05	0.14		

Jv= 43.2

RQD= 0.0

ქანის აღწერა	საქლასიფიკაციო პარამეტრები და მათი რეიტინგები											
	A-1	A-2	A-3	A-4	A-5							
ზომიერად გამოვიტული თიხაფიქალი	9.9-7.9	2	0	3	152	8	სიგრძე, ხორციანობა, შემავსებელი, გამოვიტგა.	11	სვენი	კატერი რეიტინგი RMR	31	IV-ტექნიკი
	სიმტკიცე RC, მპ	რეტინგი	RQD, %	რეტინგი	მანძილი ნაპრალია შორის, მმ.	რეტინგი	ნაპრალთა მდგრმარევა	რეტინგი	გრუნტის წყლი	რეტინგი	კლდოვანი მასივის კლასი	

**პროექტი:** ზუგდიდი-მესტია-ლასდილის საავტომობილო გზის 116 კმ-ზე მეწყრული მონაკვეტის ასაქცევი გვირაბის სამშენებლო უბნის საინჟინრო-გეოლოგიური გამოკვლევა. (GC-1838)

**დაკვირვების წერტილი:** 31

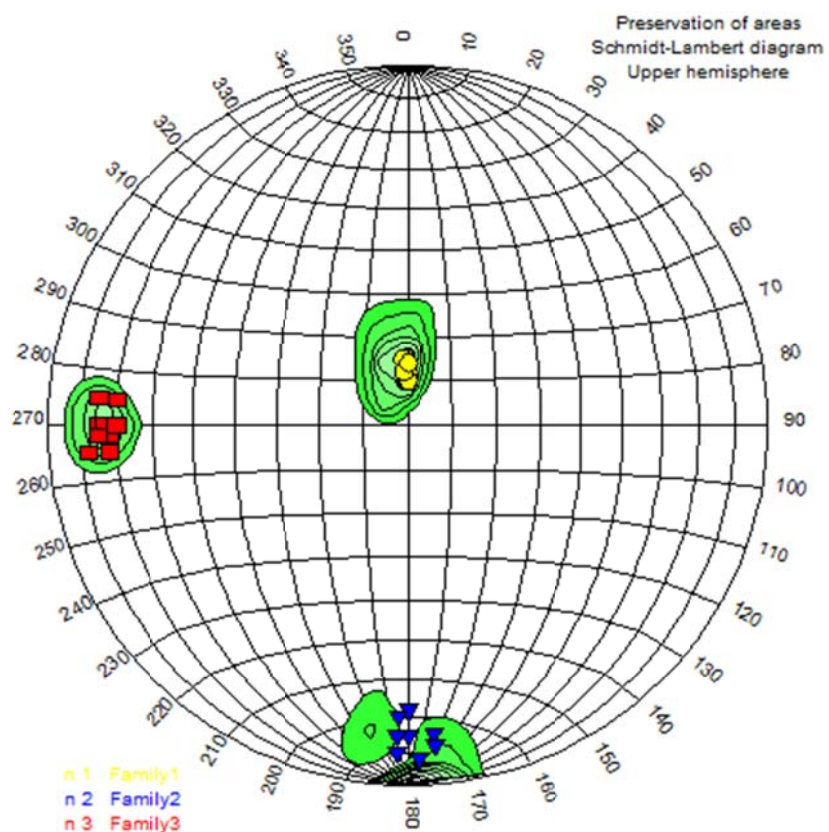
**ნაპრალოვნების შესწავლის №14**

**ადგილმდებარეობა:** X 299481 Y 4766853;

**კლდოვანი მასივის აღწერა:** თიხაფიქალები ნაცრისფერი, თხელ და ფურცლოვან შრეებით



დიაგრამა



GC-1838-ზუგდიდი-მესტია-ლასდილის საავტომობილო გზის 116 კმ-ზე მეწყრული  
მონაკვეთის ასაქცევი გვირაბის სამშენებლო უბნის საინჟინრო-გეოლოგიური გამოკვლევა.  
ნაპრალოვნების შესწავლის №14

ნაპრალთა სისტემა	დაქანების აზიმუტი გრად.	დასრის კუთხე	მანძილი ნაპრალებს შორის, სმ	ნაპრალთა სიგრძე, მ	ლრულობა, სმ	ნაპრალთა ზედაპირები და შემავსებელი	ბლოკურობა B, სმ	ლრულობა P, %
1	355	15	2	10	0.02	ნაპრალთა ზედაპირები და შემავსებელი	ნაპრალთა ზედაპირები და შემავსებელი	ნაპრალთა ზედაპირები და შემავსებელი
	358	10	2	10	0.08			
	360	12	4	10	0.05			
	360	10	5	10	0.15			
	355	12	2	10	0.05			
	357	15	3	10	0.05			
	355	10	4	10	0.15			
	358	10	5	10	0.18			
	358	15	2	10	0.32			
	355	15	2	10	0.26			
	360	10	3	10	0.25			
	355	12	2	10	0.05			
	360	14	5	10	0.07			
საშუალო	<b>357</b>	<b>12</b>	<b>3</b>	<b>10</b>	<b>0.13</b>			
2	175	75	15	0.9	0.02	ნაპრალთა ზედაპირები და შემავსებელი	ნაპრალთა ზედაპირები და შემავსებელი	ნაპრალთა ზედაპირები და შემავსებელი
	180	68	7	0.6	0.22			
	182	80	25	1.8	0.18			
	182	70	20	2.2	0.15			
	178	82	18	1.5	0.18			
	175	78	28	2.5	0.22			
	180	75	15	0.8	0.05			
	182	75	12	0.5	0.2			
	178	82	15	1.7	0.09			
საშუალო	<b>124</b>	<b>53</b>	<b>11.9</b>	<b>0.96</b>	<b>0.10</b>			
3	270	70	20	0.8	0.25	ნაპრალთა ზედაპირები მიზანობად ბრტყელი და გლუები. მცველობა თიხიანი შემავსებლით, ზოგად ქვარცის ძარღვებით.	ნაპრალთა ზედაპირები მიზანობა ბრტყელი და გლუები. მცველობა თიხიანი შემავსებლით, ზოგად ქვარცის ძარღვებით.	ნაპრალთა ზედაპირები მიზანობა ბრტყელი და გლუები. მცველობა თიხიანი შემავსებლით, ზოგად ქვარცის ძარღვებით.
	275	75	7	0.8	0.18			
	270	75	9	1.7	0.32			
	268	75	12	2.2	0.04			
	270	75	15	1.1	0.33			
	270	73	13	1.8	0.12			
	275	70	20	0.5	0.02			
	268	72	22	2.3	0.08			
	265	78	15	1.8	0.15			
	270	70	18	0.8	0.12			
	268	75	20	1.5	0.35			
	265	72	11	2.2	0.22			
საშუალო	<b>270</b>	<b>73</b>	<b>15.2</b>	<b>1.46</b>	<b>0.18</b>			

**ქონტრაქტი №. GC-1838**

ზუგდიდი-მესტია-ლასდიდის საავტომობილო გზის 116 კმ-ზე მეწყრული მონაცემთის  
ასაქცევი გვირაბის სამშენებლო უბნის საინჟინრო-გეოლოგიური გამოკვლევა.  
**ნაპრალოვნების შესწავლა №14**

რიგ №	ლაქანების აზიმუტი (°)	ლახრის გუთხე (°)	ნაპრალო სისტემა	მანქილი (ლტ)	სიგრძე (მ)	ლრულობა(სტ)	ზედაპირის ფორმა	შემავსებელი
1	357	12	1	3	10	0.13	ბრტყელი და გლუვი, ზოგან საფეხურებრივი	ბტვერი და თიხა
2	124	53	2	11.9	0.96	0.10		
3	270	73	3	15.2	1.46	0.18		

Jv= 46.7

RQD= 0.0

ქანის აღწერა	საკლასიფიკაციო პარამეტრები და მათი რეიტინგები									
	A-1		A-2		A-3		A-4		A-5	
სიმტკიცე RC, მპ	რეტენგი	RQD, %	რეტენგი	ანაბილო ნაპრალო შროის, მმ.	რეტენგი	ნაპრალო მდგრმარეობა	რეტენგი	გრუნტის წალი	რეტენგი	
7.9	2	0	3	100	8	სიგრძე, ხორჯლიანობა, შემავსებელი, გამოფიტვა.	10	სეელი	7	30
								ჯამური რეტენგი RMR		
								კლდოვანი მასივის კლასი		
								IV-კუდი		

**პროექტი:** ზუგდიდი-მესტია-ლასდილის საავტომობილო გზის 116 კმ-ზე მეწყრული მონაკვეტის ასაქცევი გვირაბის სამშენებლო უბნის საინჟინრო-გეოლოგიური გამოკვლევა. (GC-1838)

**დაკვირვების წერტილი:** 37

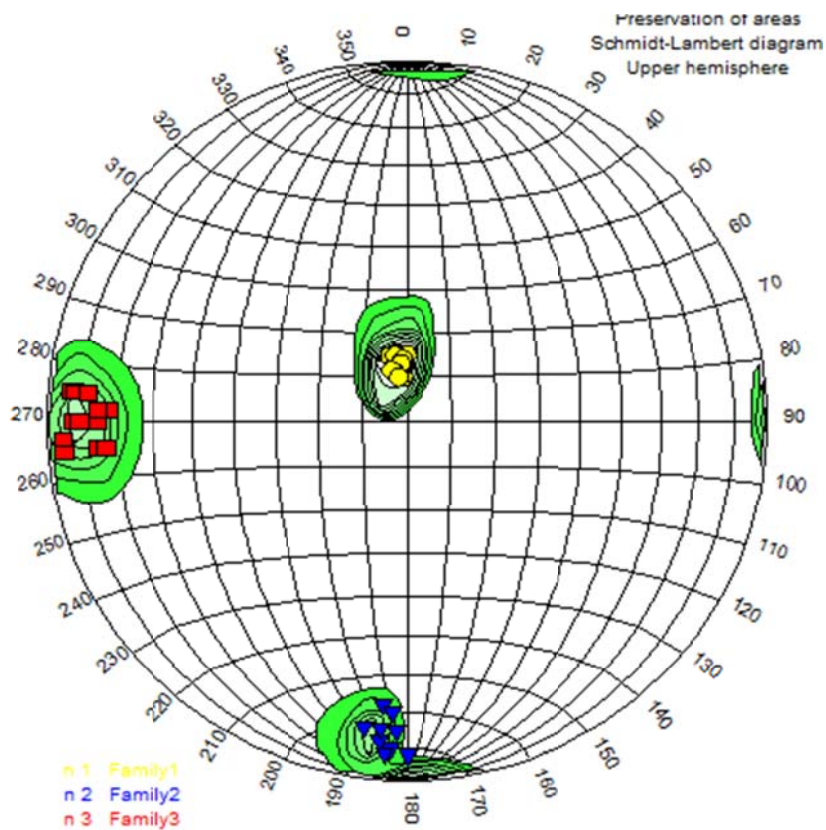
**ნაპრალოვნების შესწავლის №15**

**ადგილმდებარეობა:** X 299694 Y 476798;

**კლდოვანი მასივის აღწერა:** თიხაფიქალები ნაცრისფერი, თხელ და ფურცლოვან შრებრი



დიაგრამა



GC-1838-ზუგდიდი-მექატია-ლასდილის სავტომობილო გზის 116 კმ-ზე მეწყრული მონაკვეთის ასაქცევი გვირაბის სამშენებლო უბნის საინჟინრო-გეოლოგიური გამოკვლევა.  
ნაპრალოვნების შესწავლის №15

ნაპრალთა სისტემა	დაქცევის ზომა გარე.	დახრის გუთხე	მანძილი ნაპრალთას შორის, სმ	ნაპრალთა სივრცე, მ	კუთხითი ნაპრალთა გადატყობინება, გა	ნაპრალთა გადატყობინება, გა	ბლოკურობა B, სმ	ლრულობა P, %
1	355	12	2	10	0.08	ნაპრალთა სივრცე, მ გადატყობინება, გა ნაპრალთა გადატყობინება, გა	0.08 0.07 0.05 0.22 0.15 0.22 0.15 0.18 0.18 0.07 0.22 0.18 0.07	
	345	15	12	10	0.07			
	360	15	0.5	10	0.05			
	345	12	7	10	0.22			
	355	10	7	10	0.15			
	348	12	5	10	0.22			
	349	15	4	10	0.15			
	355	14	3	10	0.18			
	352	12	0.5	10	0.18			
	353	13	4	10	0.07			
	345	11	5	10	0.22			
	342	12	8	10	0.18			
	348	10	0.5	10	0.07			
საშუალო	<b>350</b>	<b>13</b>	<b>4.5</b>	<b>10</b>	<b>0.14</b>			
2	182	75	7	1.2	0.02	ნაპრალთა სივრცე, მ გადატყობინება, გა ნაპრალთა გადატყობინება, გა	0.02 0.35 0.22 0.08 0.05 0.07 0.05 0.18 0.35	
	185	68	12	0.6	0.35			
	183	80	45	1.5	0.22			
	183	70	18	2.2	0.08			
	184	82	25	1.5	0.05			
	185	78	8	2.5	0.07			
	188	75	50	1.2	0.05			
	185	75	42	0.5	0.18			
	180	82	34	0.8	0.35			
	საშუალო	<b>184</b>	<b>76</b>	<b>26.8</b>	<b>1.33</b>	<b>0.15</b>		
3	275	83	20	0.5	0.25	ნაპრალთა სივრცე, მ გადატყობინება, გა ნაპრალთა გადატყობინება, გა	0.25 0.18 0.32 0.04 0.22 0.2 0.02 0.15 0.07 0.12 0.08 0.15	
	270	75	7	0.8	0.18			
	270	82	9	1.7	0.32			
	265	75	8	2.2	0.04			
	270	80	12	1.1	0.22			
	265	73	22	1.8	0.2			
	275	82	20	0.5	0.02			
	272	72	30	1.5	0.15			
	265	85	8	0.8	0.07			
	275	78	42	0.8	0.12			
	272	75	32	0.5	0.08			
	267	85	20	1.7	0.15			
საშუალო	<b>270</b>	<b>79</b>	<b>19.2</b>	<b>1.16</b>	<b>0.15</b>			

**ქონტრაქტი №. GC-1838**

ზუგდიდი-მესტია-ლასდიდის საავტომობილო გზის 116 კმ-ზე მეწყრული მონაკვეთის  
ასაქცევი გვირაბის სამშენებლო უბნის საინჟინრო-გეოლოგიური გამოკვლევა.  
**ნაპრალოვნების შესწავლა №15**

რიგ.№	ლაქანების აზიმუტი (°)	ლაქანის კუთხე (°)	ნაპრალო სისტემა	მანძილი (ლმ)	საფრთხე (მ)	ღრულობა(მმ)	ზედაპირის ფორმა	შემავსებელი
1	350	13	1	4.5	10	0.14		
2	184	76	2	26.8	1.33	0.15	ბრტყელი და გლუვი, ზოგან საფეხურებრივი	მტერი და თიხა
3	270	79	3	19.2	1.16	0.15		

**Jv= 31.2****RQD= 12.1**

ქანის აღწერა	საქლასიფიკაციო პარამეტრები და მათი რეიტინგები								
	A-1	A-2	A-3	A-4	A-5	ჯამური რეიტინგი RMR	კლასი წელის წელი	რეიტინგი	კლასი წელის წელი
ხომიურად გაძოვიტული თიხაფიქალი	სიმტკიცე RC, მმ	რეიტინგი	RQD, %	რეიტინგი	განძილი ნაპრალო შორის, მმ.	რეიტინგი	ნაპრალო მდგრადრეობა	რეიტინგი	რეიტინგი
5.0-25.0	2	12.1	3	168	8	სიგრძე, ხორცლიანობა, შემავსებელი, გამოფიტვა.	12	სველი	7
									IV-ტექნიკური კლასი წელის წელი

**პროექტი:** ზუგდიდი-მესტია-ლასდილის საავტომობილო გზის 116 კმ-ზე მეწყრული მონაკვეტის ასაქცევი გვირაბის სამშენებლო უბნის საინჟინრო-გეოლოგიური გამოკვლევა. (GC-1838)

**დაკვირვების წერტილი: 42**

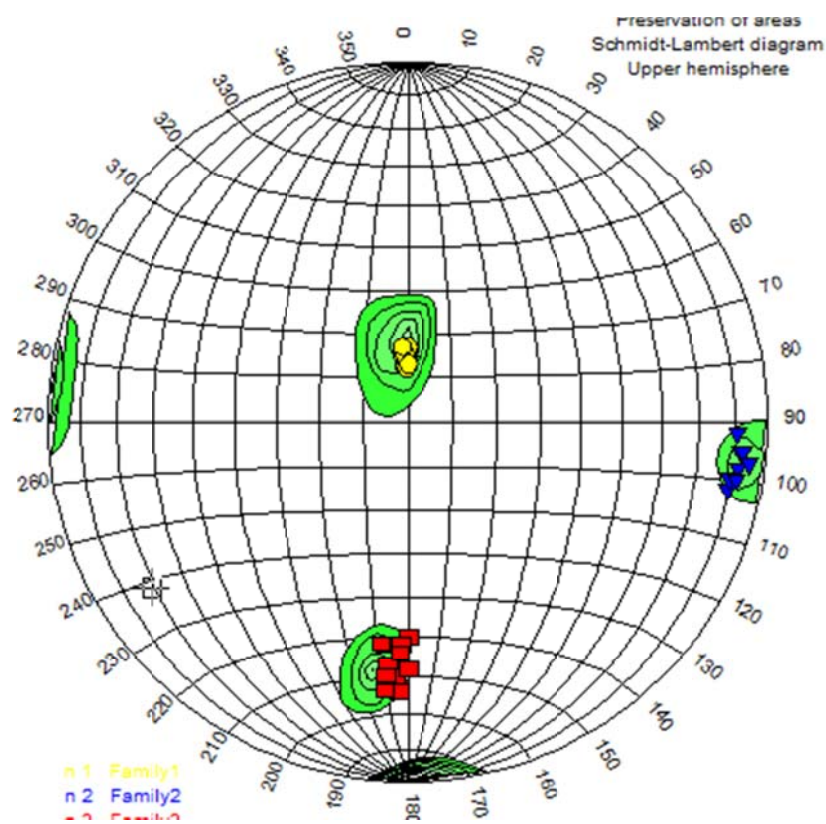
ნაპრალოვნების შესწავლის №16

ადგილმდებარეობა: X 300022 Y 476750;

კლდოვანი მასივის აღწერა: თიხაფიქალები ნაცრისფერი, თხელ და ფურცლოვან შრეებით



დიაგრამა



GC-1838-ზუგდიდი-მესტია-ლასდილის საავტომობილო გზის 116 კმ-ზე მეწყრული  
მონაცენის ასაქცევი გვირაბის სამშენებლო უბნის საინჟინრო-გეოლოგიური გამოკვლევა.  
ნაპრალოგნების შესწავლის №16

ნაპრალთა სისტემა	დაქანების აზიმუტი გრად.	დახრის კუთხე	მანძილი ნაპრალებს შორის, სმ	ნაპრალთა სიგრძე, მ	ღრულობა, სმ	ნაპრალთა ზედაპირები და ჭემაგსებელი	ბლოკურობა B, სმ	ღრულობა P, %
1	355	16	2	10	0.03	ნაპრალთა ზედაპირები და ჭემაგსებელი კვარცის ძარღვებით.	10.5	1.10
	360	15	0.3	10	0.05			
	360	15	0.5	10	0.35			
	360	14	2	10	0.22			
	355	13	4	10	0.32			
	360	17	3	10	0.45			
	355	15	4	10	0.22			
	360	14	3	10	0.02			
	358	14	0.5	10	0.05			
	357	15	2	10	0.15			
	355	17	3	10	0.07			
	358	12	4	10	0.33			
	360	13	0.5	10	0.22			
საშუალო	<b>358</b>	<b>15</b>	<b>2.2</b>	<b>10</b>	<b>0.19</b>			
2	98	82	12	1.5	0.05			
	95	83	12	2	0.15			
	102	80	45	0.9	0.02			
	100	80	18	0.7	0.05			
	95	82	25	1	0.08			
	92	81	8	2.2	0.33			
	95	83	50	1.1	0.25			
	97	85	42	1.6	0.17			
	100	82	34	1.7	0.05			
საშუალო	<b>97</b>	<b>82</b>	<b>27.3</b>	<b>1.41</b>	<b>0.13</b>			
3	186	52	20	2.2	0.08	ნაპრალთა ზედაპირები ძირითადად ბრტყელი და გლუვი. მგვროვან თიხიანი შემაცევულით, ზოგან კვარცის ძარღვებით.	10.5	1.10
	185	57	7	1.8	0.22			
	182	63	9	0.5	0.04			
	187	52	8	0.7	0.24			
	180	50	12	1.1	0.15			
	182	64	22	2.2	0.22			
	183	60	20	1.3	0.48			
	185	60	30	0.8	0.08			
	182	52	8	0.4	0.13			
	182	54	42	1.5	0.34			
	180	58	32	2.2	0.45			
	185	64	20	0.8	0.22			
საშუალო	<b>183</b>	<b>57</b>	<b>19.2</b>	<b>1.29</b>	<b>0.22</b>			

**ქონტრაქტი №. GC-1838**

ზუგდიდი-მესტია-ლასდიდის საავტომობილო გზის 116 კმ-ზე მეწყრული მონაცემთის  
ასაქცევი გვირაბის სამშენებლო უბნის საინჟინრო-გეოლოგიური გამოკვლევა.  
**ნაპრალოვნების შესწავლა №16**

რიგ №	ღარისძიების აზიმუტი (°)	ღარისძიების გულხევი (°)	ნაპრალო სისტემა	მანძილი (მ)	სიგრძე (მ)	ლრულობა(მმ)	ზედაპირის ფორმა	შემაგრებელი
1	358	15	1	2.2	10	0.19	ბრტყელი და გლუვი, ზოგან საფეხურებრივი	მტვერი და თიხა
2	97	82	2	27.3	1.41	0.13		
3	183	57	3	19.2	1.29	0.22		

Jv= 54.0

RQD= 0.0

ქანის აღწერა	საქლასიფიკაციო პარამეტრები და მათი რეიტინგები								
	A-1		A-2		A-3		A-4		A-5
	სიმტკიცე R <sub>c</sub> , მმ	რეიტინგი	RQD, %	რეიტინგი	განძილებულობრივი, მმ	რეიტინგი	განძილებულობრივი, მმ	რეიტინგი	რეიტინგი
სუბტრად გამოფიტული თიხაფიქალი	35.2	4	0	3	162	8	სიგრძე, ხორციანობა, შემავსებელი, გამოფიტგა.	14	სველი

ჯამური რეიტინგი RMR	კლდოვანი მასივის კლასი
36	IV-ტუდი

**პროექტი:** ზუგდიდი-მესტია-ლასდილის საავტომობილო გზის 116 კმ-ზე მეწყრული მონაკვეტის ასაქცევი გვირაბის სამშენებლო უბნის საინჟინრო-გეოლოგიური გამოკვლევა. (GC-1838)

**დაკვირვების წერტილი:** 57

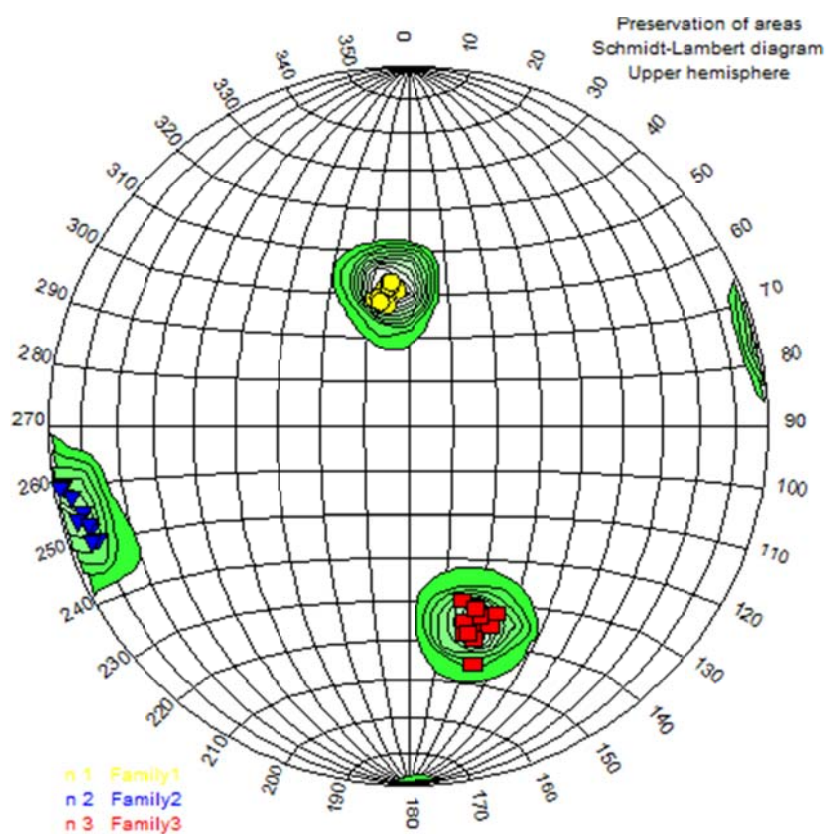
**ნაპრალოვნების შესწავლის №17**

**ადგილმდებარეობა:** X 300226 Y 4766313;

**კლდოვანი მასივის აღწერა:** თიხაფიქალები ნაცრისფერი, თხელ და ფურცლოვან შრეებით.



დიაგრამა



ზუგდიდი-მესტია-ლასდილის საავტომობილო გზის 116 კმ-ზე მეტყრული მონაკვეთის  
ასაქცევი გვირაბის სამშენებლო უბნის საინჟინრო-გეოლოგიური გამოკვლევა.  
ნაპრალოგნების შესწავლის №17

ნაპრალთა სისტემა	დაქანების აზიმუტი გრად.	დახრის კუთხე	მანძილი ნაპრალთა შეორის, სმ	ნაპრალთა სიგრძე, მ	ლრჯლობა, სმ	ნაპრალთა ზედაპირები ზა ჰეტერენციალი	ნაპრალთა ბლოკურობა B, სმ	ლრჯლობა P, %
1	350	30	2	10	0.25	ნაპრალთა ზედაპირები ზა ჰეტერენციალი ზემავსებდით, ზოგან გვარცის ძარღვებით.	13.4	1.15
	350	32	1.5	10	0.05			
	348	30	0.5	10	0.35			
	352	32	2	10	0.33			
	355	31	5	10	0.32			
	345	30	7	10	0.25			
	350	30	14	10	0.22			
	352	33	12	10	0.02			
	347	30	0.5	10	0.05			
	350	28	12	10	0.15			
	352	32	7	10	0.28			
	353	33	6	10	0.33			
	347	29	4	10	0.22			
საშუალო	<b>350</b>	<b>31</b>	<b>5.7</b>	<b>10</b>	<b>0.22</b>			
2	252	82	8	2	0.05	ნაპრალთა ზედაპირები ზა ჰეტერენციალი ზემავსებდით, ზოგან გვარცის ძარღვებით.	13.4	1.15
	255	83	42	2	0.22			
	260	87	45	2.2	0.17			
	258	85	32	0.7	0.05			
	260	88	25	1.5	0.13			
	250	81	18	2.2	0.33			
	250	83	22	1.8	0.15			
	254	85	15	1.6	0.17			
	253	82	34	0.8	0.15			
საშუალო	<b>255</b>	<b>84</b>	<b>26.8</b>	<b>1.64</b>	<b>0.16</b>			
3	160	45	20	2.2	0.08	ნაპრალთა ზედაპირები ძორითადად ბრტყელი და გლუვი. მტკროვან თიხიანი შემავსებდით, ზოგან გვარცის ძარღვებით.	13.4	1.15
	165	58	15	0.5	0.25			
	162	50	18	0.5	0.04			
	158	50	8	2.2	0.2			
	155	48	17	1.1	0.22			
	163	52	22	1.3	0.22			
	160	47	16	1.3	0.03			
	165	50	15	1.2	0.33			
	163	42	9	0.4	0.13			
	164	47	20	0.6	0.16			
	160	45	17	2.2	0.55			
	164	50	15	1.3	0.03			
საშუალო	<b>162</b>	<b>49</b>	<b>16.0</b>	<b>1.23</b>	<b>0.19</b>			

**ქონტრაქტი №. GC-1838**

ზუგდიდი-მესტია-ლასდიდის საავტომობილო გზის 116 კმ-ზე მეწყრული მონაცემთის  
ასაქცევი გვირაბის სამშენებლო უბნის საინჟინრო-გეოლოგიური გამოკვლევა.  
**ნაპრალოვნების შესწავლა №17**

რიგ №	ღარების აზიმუტი (°)	ღარების გუთხე (°)	ნაპრალო სისტემა	მანძილი (მ)	სიგრძე (მ)	დრულობა(მმ)	ზედაპირის ფორმა	შემავსებელი
1	350	31	1	5.7	10	0.22	ბრტყელი და გლუვი, ზოგან საფეხურებრივი	გტგრი და თიხა
2	255	84	2	26.8	1.64	0.16		
3	162	49	3	16.0	1.23	0.19		

**Jv= 27.7****RQD= 23.7**

ქანის აღწერა	საკლასიფიკაციო პარამეტრები და მათი რეიტინგები										
	A-1		A-2		A-3		A-4		A-5		
თიხაფიქლები	სიმტკიცე RC, მკა	რეიტინგი	RQD, %	რეიტინგი	მანძილი ნაპრალო შირის, მმ.	რეიტინგი	ნაპრალო მდგრადარწევა	რეიტინგი	რეიტინგი	ჯაჭვი რეიტინგი RMR	გლობიტენი მასივის კლასი
	28.4	4	23.7	3	161	8	სიგრძე, ხორჯლიანობა, შემავსებელი, გამოფიტვა.	12	სველი	7	34

IV-ტექნიკი

# **დანართი 6**

## **ფოტოდოკუმენტაცია**

ଓଡ଼ିଆ ଲେଖକ ଶମନାନ୍ଦା

**პროექტის დასახელება:** GC-1838. ზუგდიდი-მესტია-ლასდილის საავტომობილო გზის 116 კმ-ზე მეწყრული მონაკვეთის ასაქცევი გვირაბის სამშენებლო უბნის საინჟინრო-გეოლოგიური გამოკვლევა.

**BH-2**



## ვოტოლდოკუმენტაცია

**პროექტის დასახელება:** GC-1838. ზუგდიდი-მესტია-ლასდილის საავტომობილო გზის 116 კმ-ზე მეწყული მონაკვეთის ასაქცევი გვირაბის სამშენებლო უბნის საინჟინრო-გეოლოგიური გამოკვლევა.

BH-2



ଓଡ଼ିଆ ଲେଖକ ପରିଚୟ

**პროექტის დასახელება:** GC-1838. ზუგდიდი-მესტია-ლასღილის საავტომობილო გზის 116 კმ-ზე მეწყრული მონაკვეთის ასაქცევი გვირაბის სამშენებლო უბნის საინჟინრო-გეოლოგიური გამოკვლევა.

**BH-2**



**BH-3**



## ფოტოდოკუმენტაცია

**პროექტის დასახელება:** GC-1838. ზუგდიდი-მესტია-ლასდილის საავტომობილო გზის 116 კმ-ზე მეწყრული მონაკვეთის ასაქცევი გვირაბის სამშენებლო უბნის საინჟინრო-გეოლოგიური გამოკვლევა.

**BH-3**



ଓଡ଼ିଆ ଲେଖକ ଶମନାନ୍ଦ

**პროექტის დასახელება:** GC-1838. ზუგდიდი-მესტია-ლასდილის საავტომობილო გზის 116 კმ-ზე მეწყრული მონაკვეთის ასაქცევი გვირაბის სამშენებლო უბნის საინჟინრო-გეოლოგიური გამოკვლევა.

BH-3



BH-3a



### ვოტოდოკუმენტაცია

**პროექტის დასახელება:** GC-1838. ზუგდიდი-მესტია-ლასდილის საავტომობილო გზის 116 კმ-ზე მეწყრული მონაკვეთის ასაქცევი გვირაბის სამშენებლო უბნის საინჟინრო-გეოლოგიური გამოკვლევა.

#### BH-3a



### ვოტოდოკუმენტაცია

**პროექტის დასახელება:** GC-1838. ზუგდიდი-მესტია-ლასდილის საავტომობილო გზის 116 კმ-ზე მეწყრული მონაკვეთის ასაქცევი გვირაბის სამშენებლო უბნის საინჟინრო-გეოლოგიური გამოკვლევა.

#### BH-3a



ფოტოდოკუმენტაცია

**პროექტის დასახელება:** GC-1838. ზუგდიდი-მესტია-ლასდილის საავტომობილო გზის 116 კმ-ზე მეწყრული მონაკვეთის ასაქცევი გვირაბის სამშენებლო უბნის საინჟინრო-გეოლოგიური გამოკლევა.

BH-3a



## ଓଡ଼ିଆ ଲେଖକ ଶର୍ମିତା ଦେବ

**პროექტის დასახელება:** GC-1838. ზუგდიდი-მესტია-ლასდილის საავტომობილო გზის 116 კმ-ზე მეწყრული მონაკვეთის ასაქცევი გვირაბის სამშენებლო უბნის საინჟინრო-გეოლოგიური გამოკვლევა.

BH-3a



## ვოტოლიკუმენტაცია

**პროექტის დასახელება:** GC-1838. ზუგდიდი-მესტია-ლასღილის საავტომობილო გზის 116 კმ-ზე მეწყრული მონაკვეთის ასაქცევი გვირაბის სამშენებლო უბნის საინჟინრო-გეოლოგიური გამოკვლევა.

**BH-4**



ଓଡ଼ିଆ ଲେଖକଙ୍କ ମହାନ୍ତିର

**პროექტის დასახელება:** GC-1838. ზუგდიდი-მესტია-ლასინის საკუთრივო ბილ გზის 116 კმ-ზე მეწყრული მონაკვეთის ასაქცევი გვირაბის სამშენებლო უბნის საინჟინრო-გეოლოგიური გამოკვლევა.

BH-4



**დანართი 7**  
**ტექნიკური დავალება**

## ტექნიკური დავალება

შპს „ჯეოინჟინირინგის“ გენერალურ დირექტორს, ლ. მიქაბერიძეს

### ტექნიკური დავალება საინიციალ-გეოლოგიური კალებების ჩატარებაზე

#### ობიექტის დასახელება:

ზუგდიდი-მესტია-ლასდილის საავტომობილო გზის  
116 კმ-ზე მეწყრული მონაკვეთის ასაქცევი გვირაბის  
სამშენებლო უბნის საინჟინრო-გეოლოგიური  
გამოკვლევა

#### დამკვეთი

საპროექტო ინსტიტუტი „ტრანსპროექტი“

#### დაპრემირების სტადია

პროექტი

#### ობიექტის ტექნიკური დახასიათება

საპროექტო გვირაბის საორიენტაციო  
სიგრძე – 1200 მ;  
გვირაბის გაბარიტი – 8.5 მ;  
სამოძრაო ზოლების რაოდენობა – 2.

#### საინიციალ-გეოლოგიური გამოკვლევის ამოცანა

განხორციელდეს გვირაბის განლაგების უბნის საინჟინრო-გეოლოგიური გამოკვლევა,  
ქვემოთ მოცემული შესასრულებელი სამუშაოების ძირითადი სახეობებისა და  
სავარაუდო მოცულობის მიხედვით, რაც შეიძლება შეიცვალოს საჭიროებიდან  
გამომდინარე.

№	დასახელება	განზომილების ერთეული	რაოდენობა
1	<b>საგელე სამუშაოები</b>		
1.1	მისასვლელი გზების და გვირაბის ზოლის საინჟინრო-გეოლოგიური ოგეგმვა მ-ბით 1:2000, გრუნტების ზედაპირული ნიმუშების აღებით.	1 კმ	1,7
1.2	ვერტიკალური ჭაბურღილების ბურღვა, გრუნტების დარღვეველი და დაურღვეველი სტრუქტურის ნიმუშების აღებით. სულ 2 ჭაბურღილი საერთო მოცულობით 100 კრდ.მ.	ჭაბ/გრდ.მ.	2/100
1.3	პორიზონტალური ჭაბურღილის ბურღვა სიდრმით 120 მეტრი, გრუნტების დარღვეველი და დაურღვეველი სტრუქტურის ნიმუშების აღებით.	ჭაბ/გრდ.მ.	1/120
1.5	გეოფიზიკური გამოკვლევა -გრუნტების ვერტიკალური ელექტროზონდირება გვირაბის დერძის გასწვრივ და მის პორტალურ უბნებზე	ვეზი	20
1.6	გეოფიზიკური გამოკვლევა - გრუნტების ვერტიკალური ელექტროზონდირება საპროექტო სიდის განაპირა ბურჯებზე	ვეზი	2

№	დასახელება	განზომილების ერთეული	რაოდენობა
2	<b>ლაბორატორიული კვლევები</b>		
2.1	არაკლდოვანი და კლდოვანი გრუნტების ფიზიკურ-მექანიკური თვისებების გამოკვლევა	კომპლექსი	საჭიროების მიხედვით
2.2	გრუნტების და გრუნტის წყლების ქიმიური ანალიზი და აგრესიულობა	ანალიზი	საჭიროების მიხედვით
3	საველე და ლაბორატორიული კვლევების მასალების საოფისე დამუშავება. საინჟინრო-გეოლოგიური რუკის და ჭრილების შედგენა, გრუნტების ფიზიკურ-მექანიკური თვისებების მახასიათებლების ნორმაზიული და საანგარიშო მნიშვნელობების განსაზღვრა	კომპლექტი	1
3.3	ანგარიშის შედგენა საინჟინრო-გეოლოგიური პირობების შესახებ	ანგარიში	1

საინჟინრო-გეოლოგიური გამოკვლევის ტექნიკური დოკუმენტაცია წარმოდგენილი იქნება 2 ეგზემპლარად.

დანართი – გვირაბის განლაგების უბნის ტოპოგრაფიული გეგმა, მ-ბი 1:2000.

საპროექტო ინსტიტუტ „ტრანსპროექტი“-ს

მთავარი გეოლოგი ----- რ. ნებიურიძე

4 ოქტომბერი, 2018წ.